

Química Orgânica Avançada

Módulo I

Prof. Pierre Mothé Esteves

pesteves@iq.ufrj.br

2562-7444

Labs 622/629A



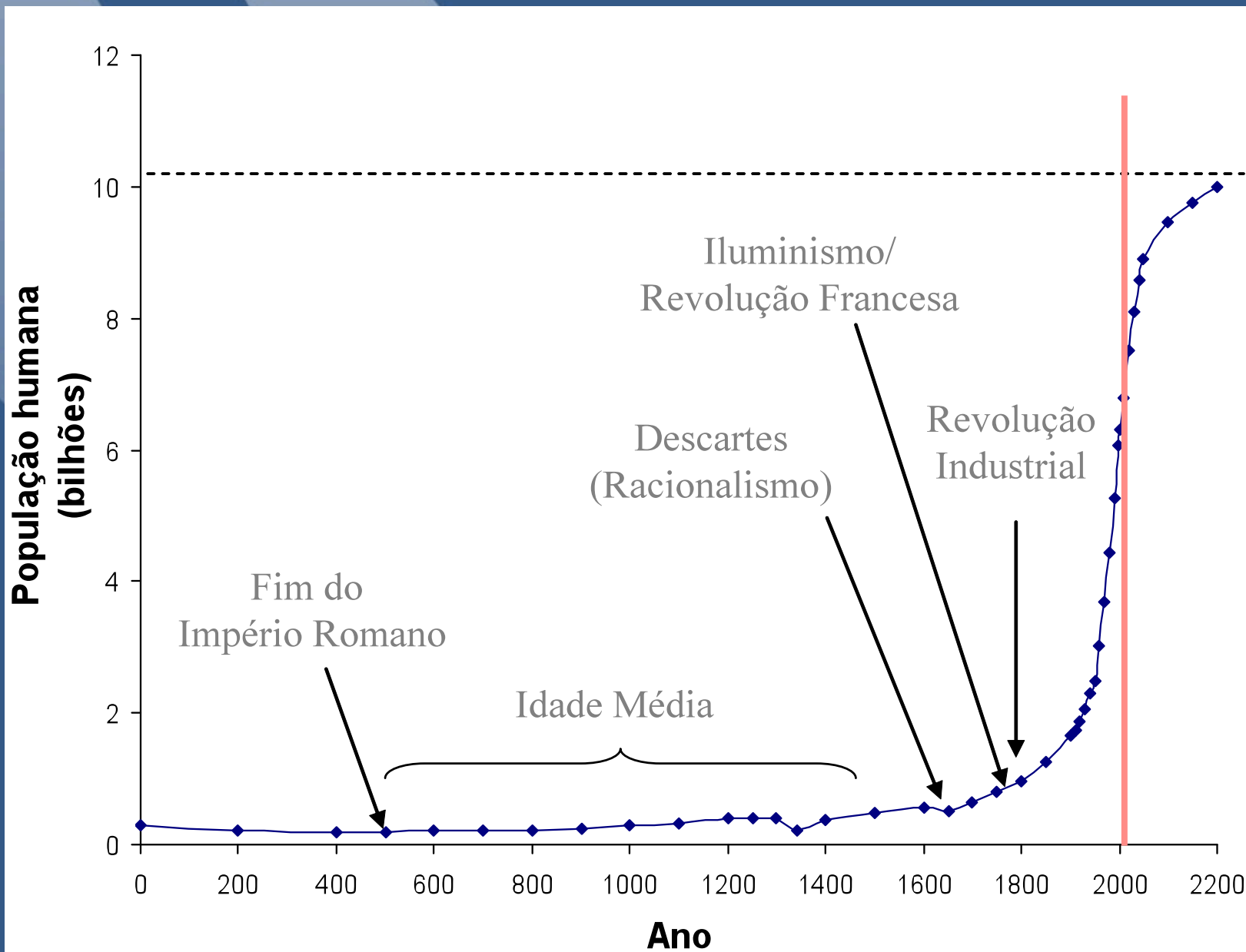
instituto de química

Universidade Federal do Rio de Janeiro

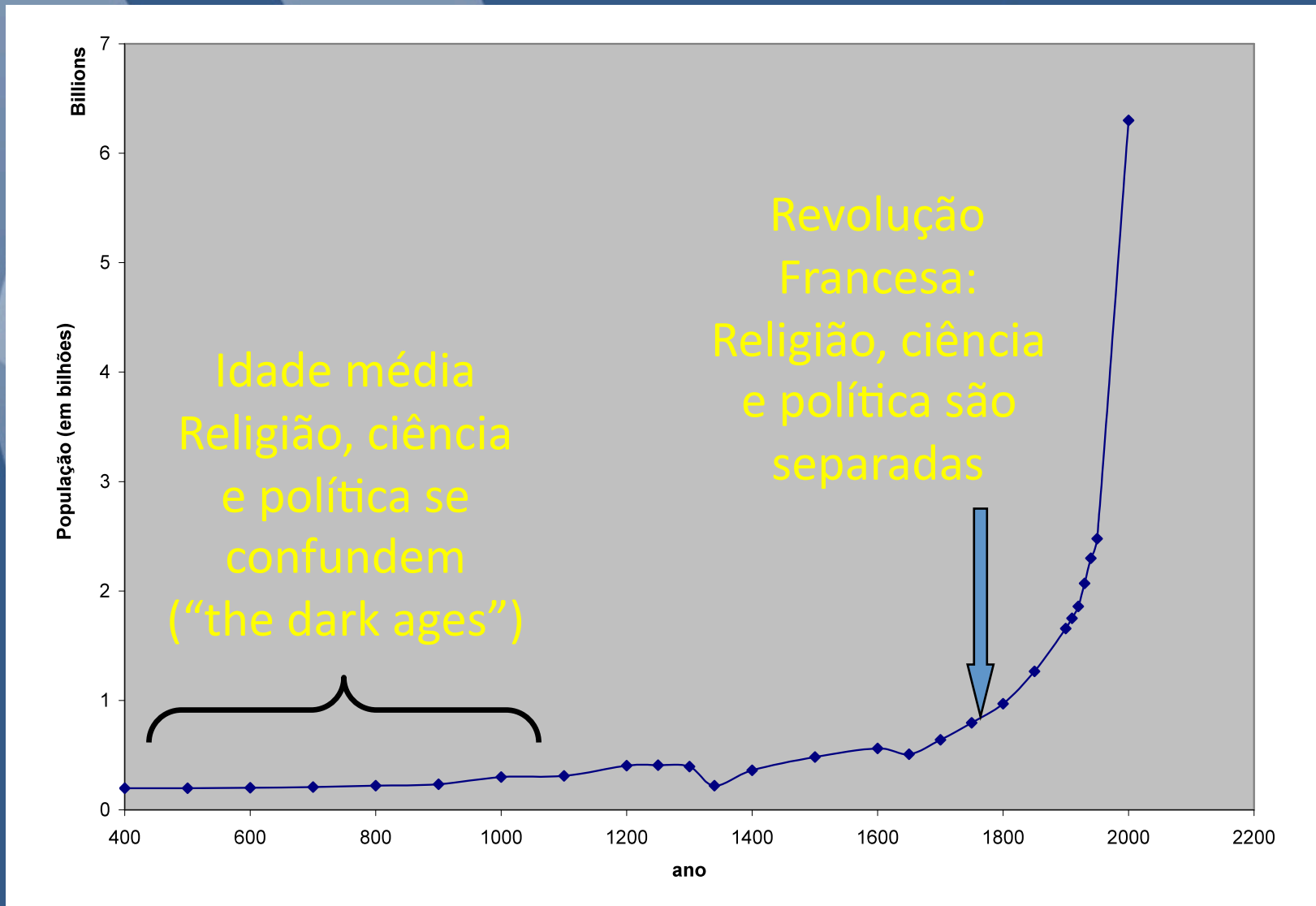
www.iq.ufrj.br

Tel.: 2562-7001 2562-7002

Crescimento Populacional (Dados da ONU)



Ode à razão e à lógica



No quê trabalhar

- Olhar o passado ajuda a enxergar o futuro
- O que será importante em 2050?
 - População humana estimada: ~ 10 bilhões de pessoas
 - Rio de Janeiro:
 - Hoje: 6 milhões (1 em cada 5 mora em “comunidades”)
 - 2020: 13 milhões (1 em cada 3 mora em “comunidades”)
 - 2050: 23 milhões ? (1 em cada 1 mora em “comunidades”?)
 - Eu terei 78 anos em 2050,
 - E vocês?



instituto de química
Universidade Federal do Rio de Janeiro

www.iq.ufrj.br

Tel.: 2562-7001 2562-7002

O que vai faltar?

- Água (petróleo do futuro)
- Energia = Conforto
- Saúde
- Planejamento urbano



instituto de química

Universidade Federal do Rio de Janeiro

www.iq.ufrj.br

Tel.: 2562-7001 2562-7002

Onde está a Química?

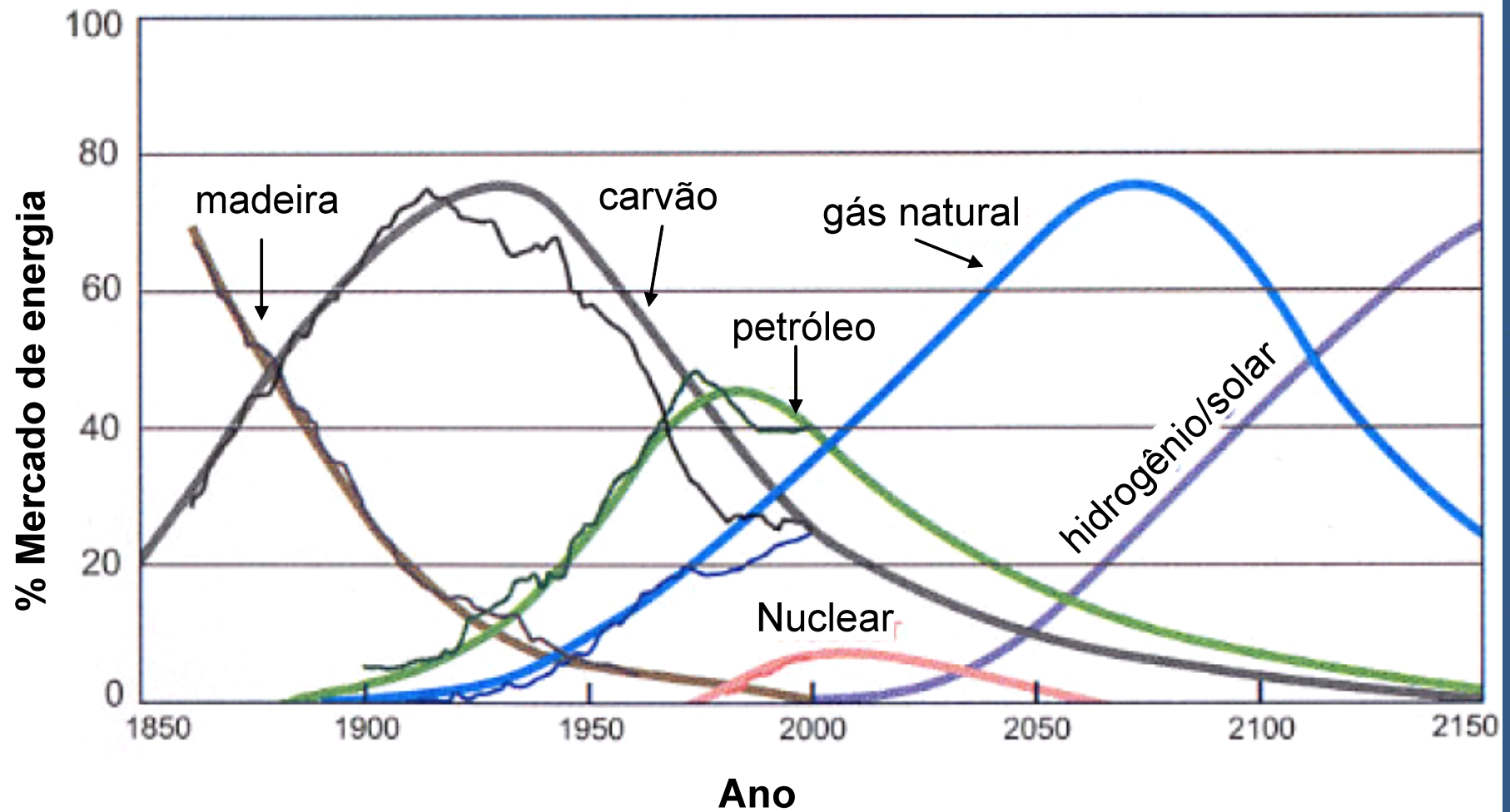
- ✿ Água (petróleo do futuro)
- ✿ Energia = Conforto
- ✿ Saúde
- ✿ Planejamento urbano
- ✿ Etc



instituto de química
Universidade Federal do Rio de Janeiro

www.iq.ufrj.br
Tel.: 2562-7001 2562-7002

Projeções para o uso de algumas formas de energia no futuro.



Exemplo Química do século XIX

- Derivatização



instituto de química

Universidade Federal do Rio de Janeiro

www.iq.ufrj.br

Tel.: 2562-7001 2562-7002

Química século XX

- Descoberta do elétron (1898) e sua utilização na Química (Lewis, 1916)
- Mecânica Quântica (1926)
- RMN (Rabi, 1938; Bloch & Purcell 1946)
- Massas (Thomson, Dempster, Aston 1897-1919)
- IV
- UV-Vis
- Cinética → Mecanismos → Novas reações



Instituto de **química**
Universidade Federal do Rio de Janeiro

www.iq.ufrj.br

Tel.: 2562-7001 2562-7002

Qual será a Química do século XXI?

- Mais do mesmo
- Novas ferramentas, que vêm mundo atômico com muito mais detalhe permitirão a descoberta de novos fenômenos e a elucidação de problemas moleculares
- Eletrônica molecular
- Química além da molécula (supramolecular)
 - Nanociência/nanotecnologia
 - Bioquímica
 - Tratamento com células tronco substituirão os fármacos?

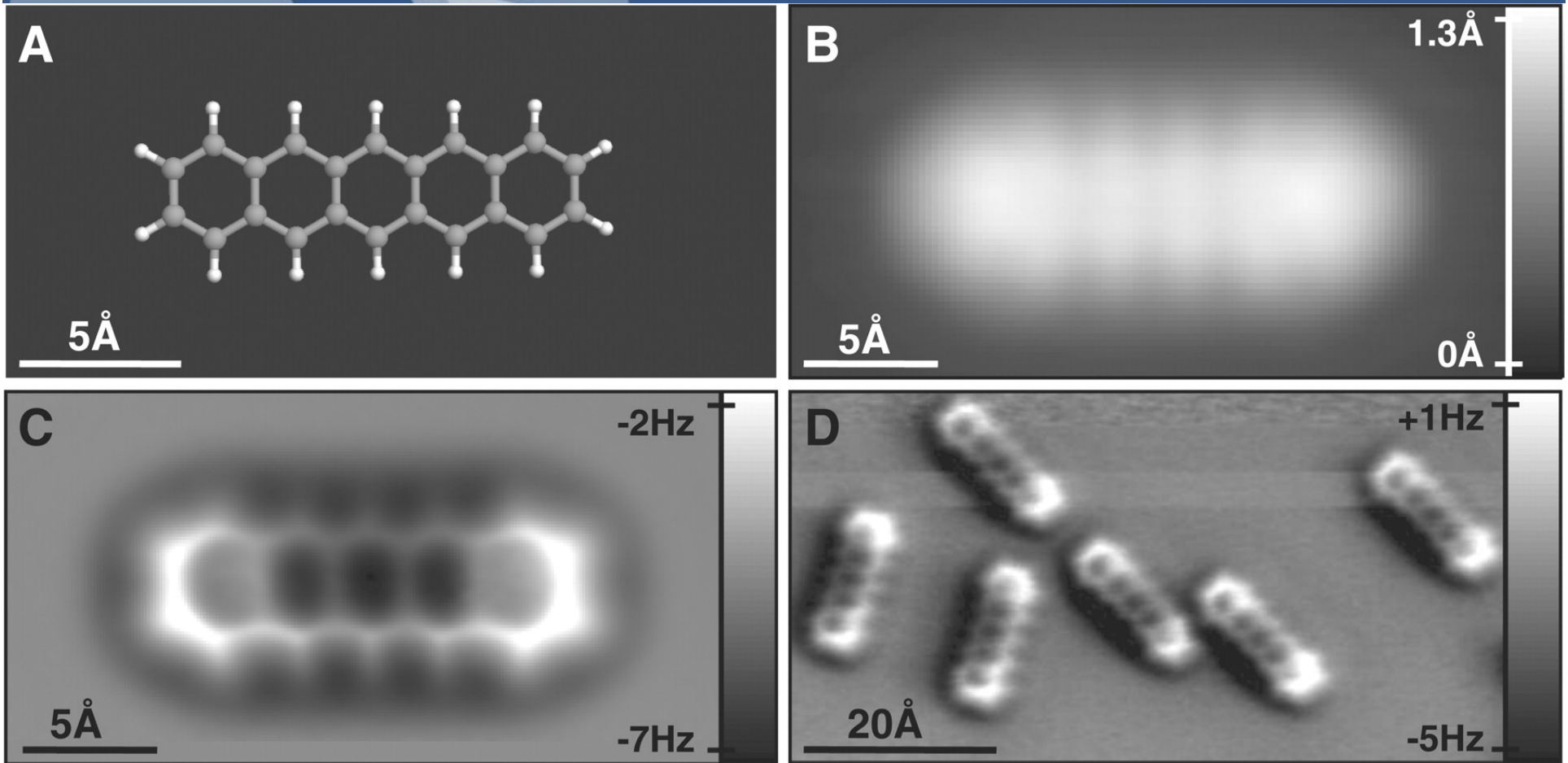


instituto de química
Universidade Federal do Rio de Janeiro

www.iq.ufrj.br

Tel.: 2562-7001 2562-7002

Atualidades: Do que somos capazes? Primeira "foto" de uma molécula (2009)



STM and AFM imaging of pentacene on Cu(111). (A) Ball-and-stick model of the pentacene molecule. (B) Constant-current STM and (C and D) constant-height AFM images of pentacene acquired with a CO-modified tip. Imaging parameters are as follows: (B) set point $I = 110$ pA, $V = 170$ mV; (C) tip height $z = -0.1$ Å [with respect to

*The Chemical Structure of a
Molecule Resolved by*

Atomic Force Microscopy

Leo Gross, Fabian Mohn,

Nikolaj Moll, Peter

Liljeroth, Gerhard Meyer

Science

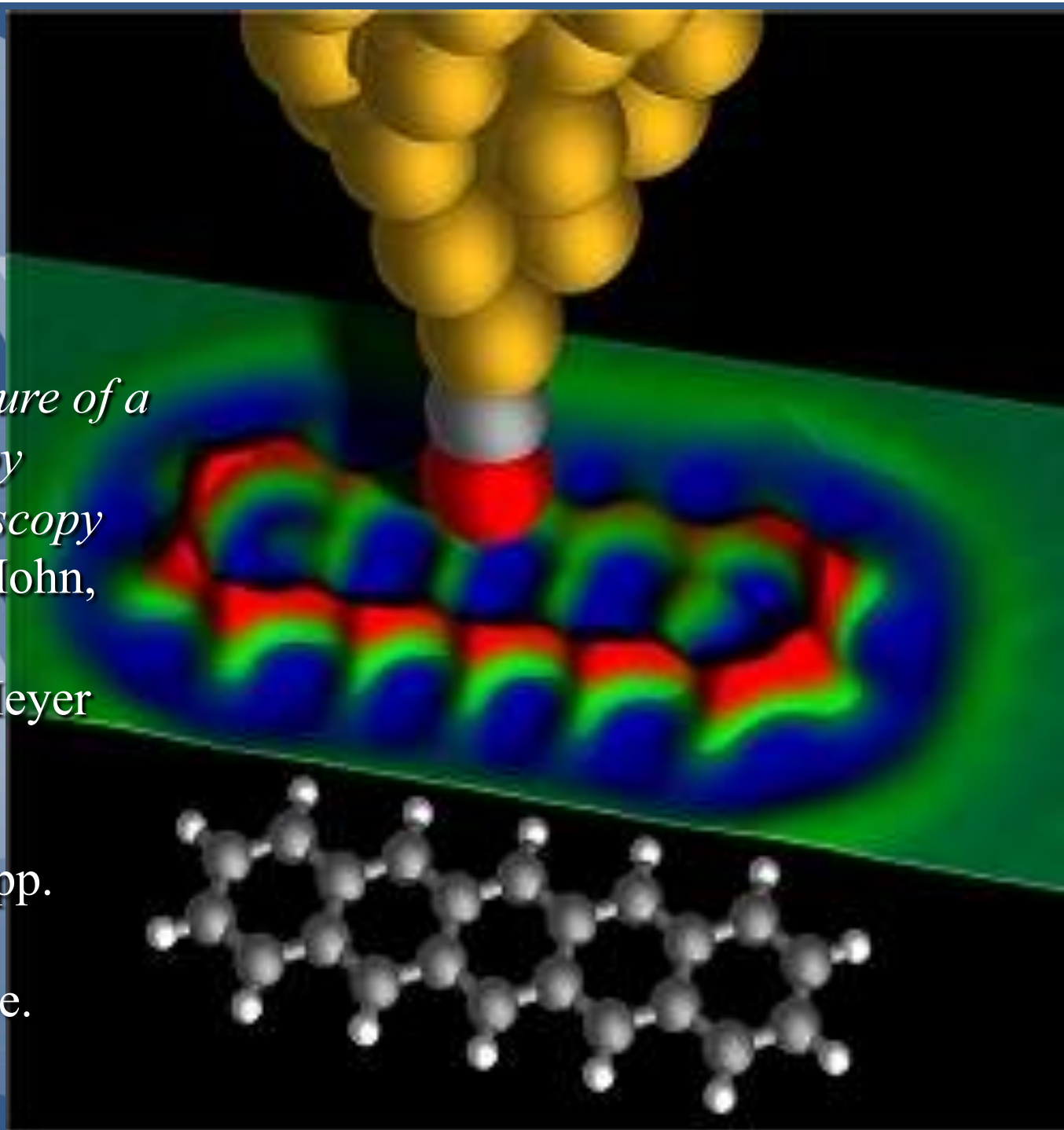
28 August 2009

Vol.: 325. no. 5944, pp.

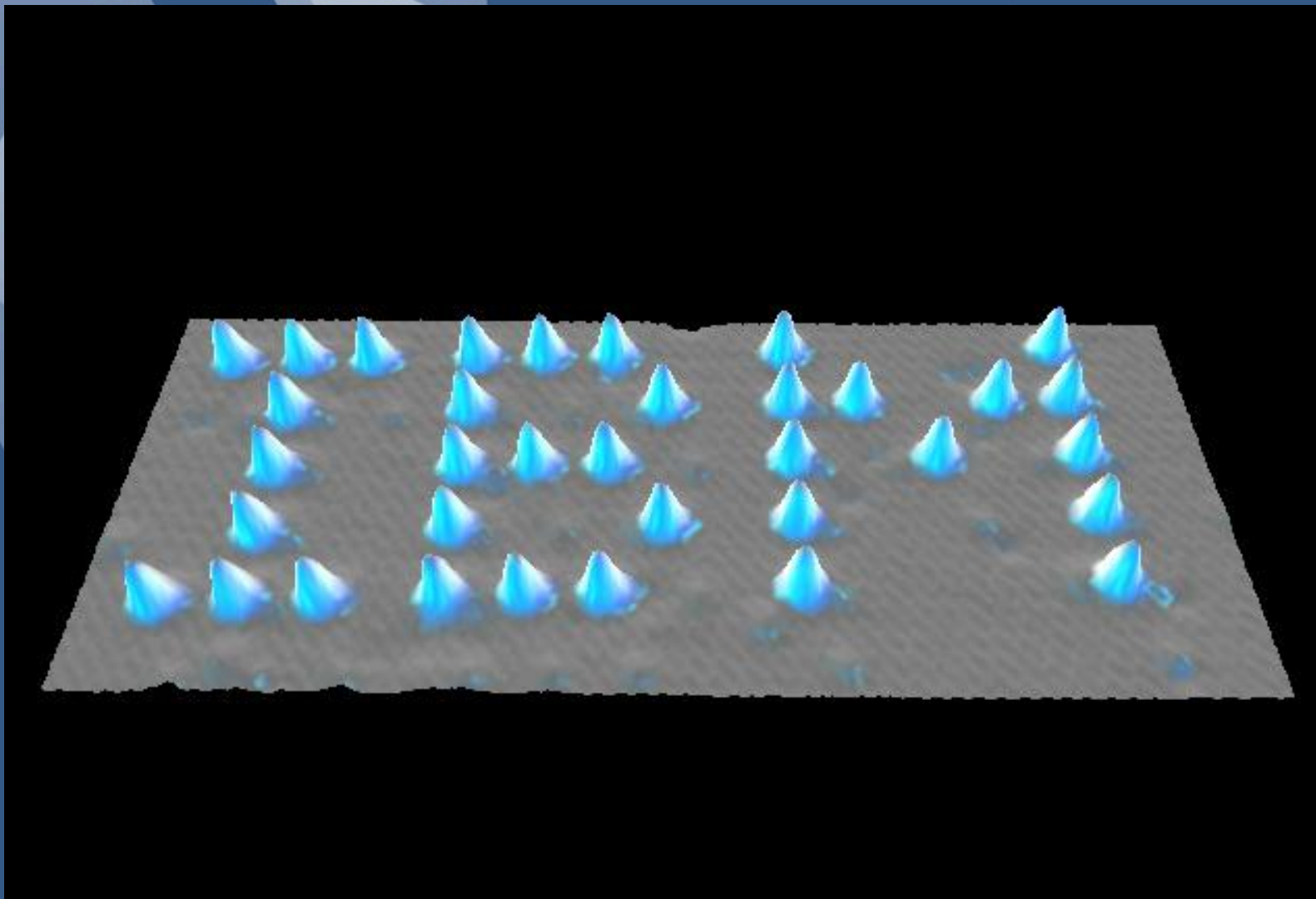
1110 - 1114

DOI: 10.1126/science.

1176210



Manipulando átomos



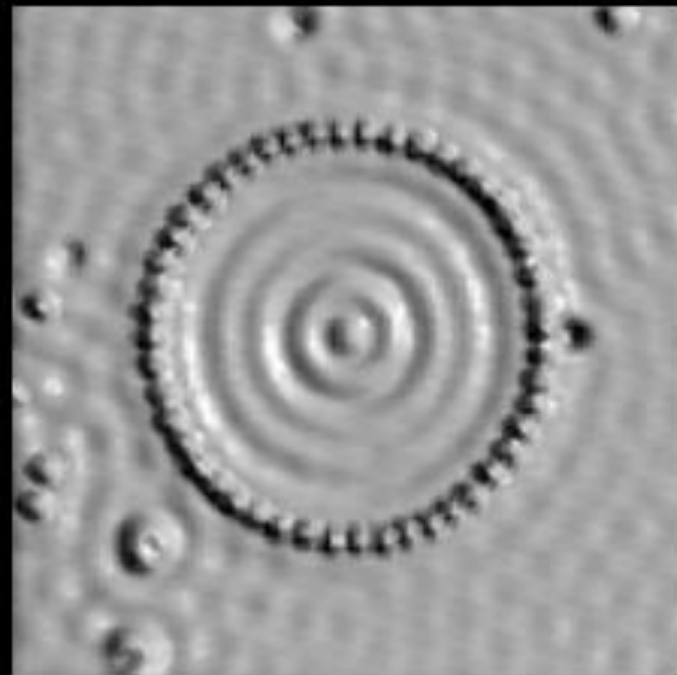
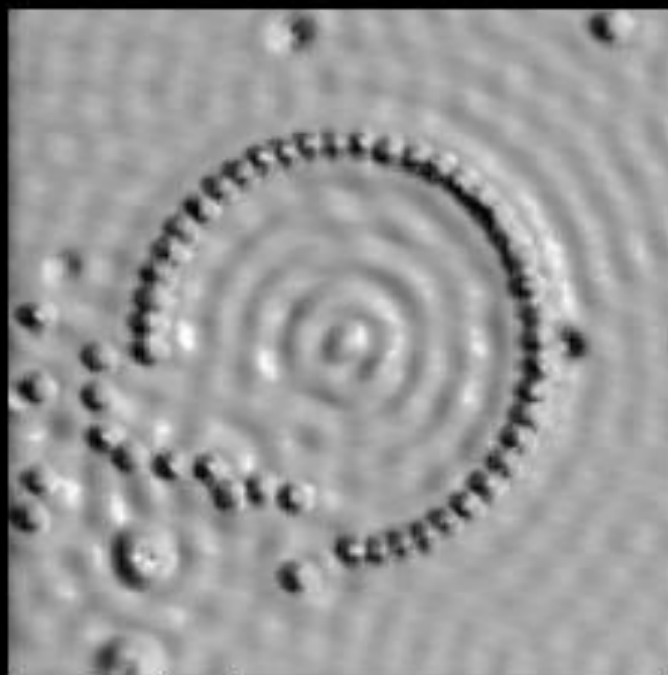
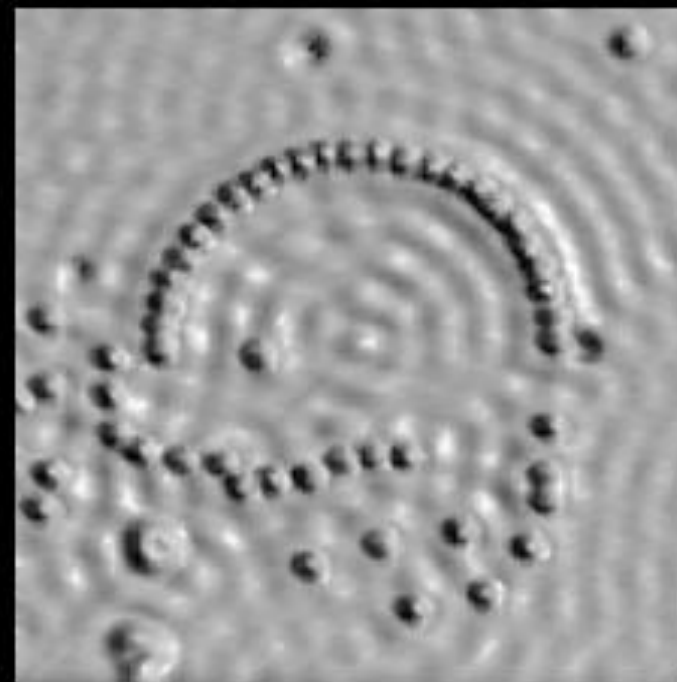
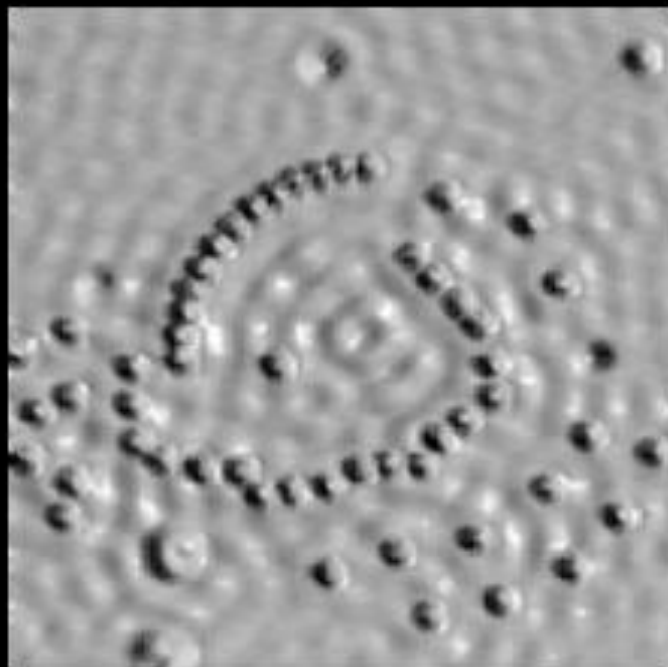
nica

Janeiro

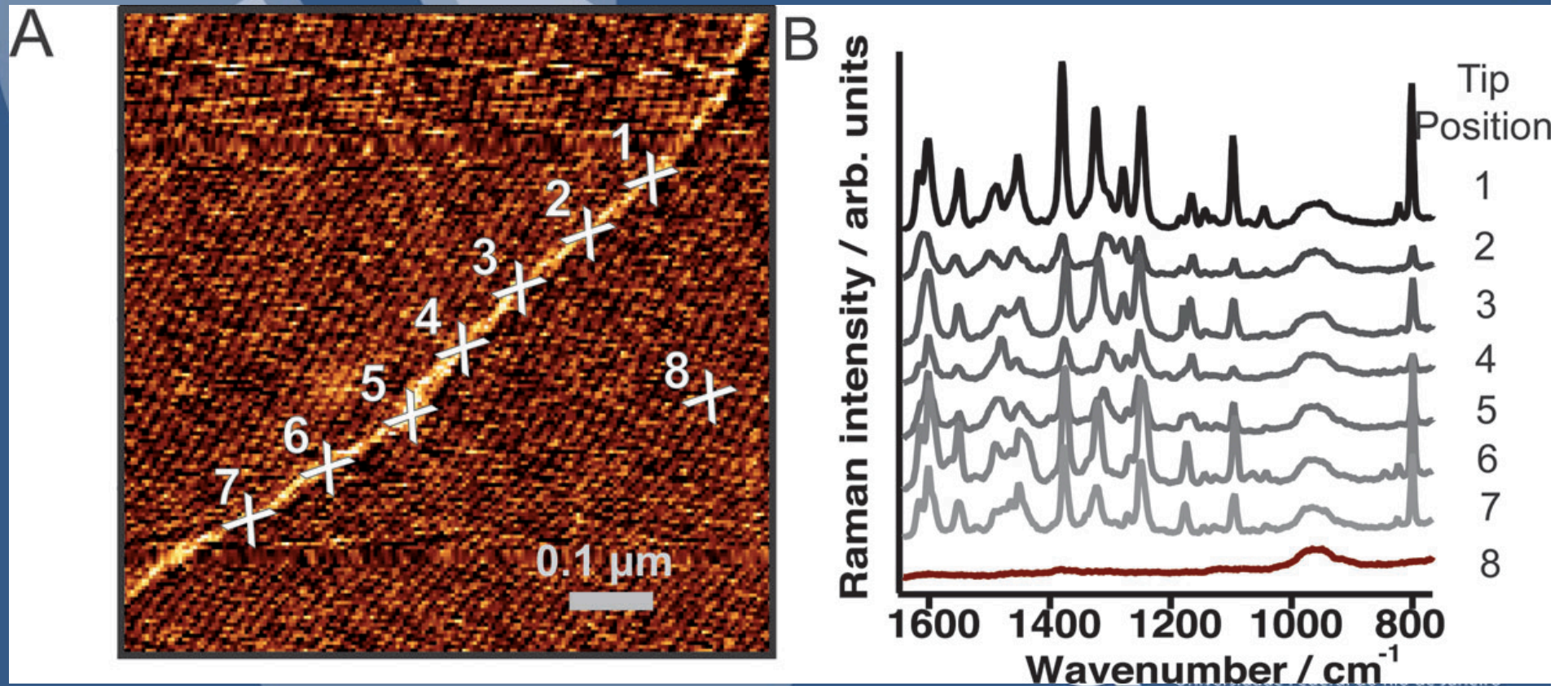
ufrj.br

-7002

Curral Quântico



Tip Enhanced Raman Spectroscopy (TERS) em uma fita de DNA



E. Bailo and V. Deckert, *Angew. Chem., Int. Ed.*, 2008, 47, 1658.

DOI: 10.1039/b705967c

www.iq.ufrj.br

Tel.: 2562-7001 2562-7002

Femtoquímica

- Ver trabalhos de Ahmed Zewail
 - <http://www.its.caltech.edu/~femto/>
- Espectroscopia de estados de transição



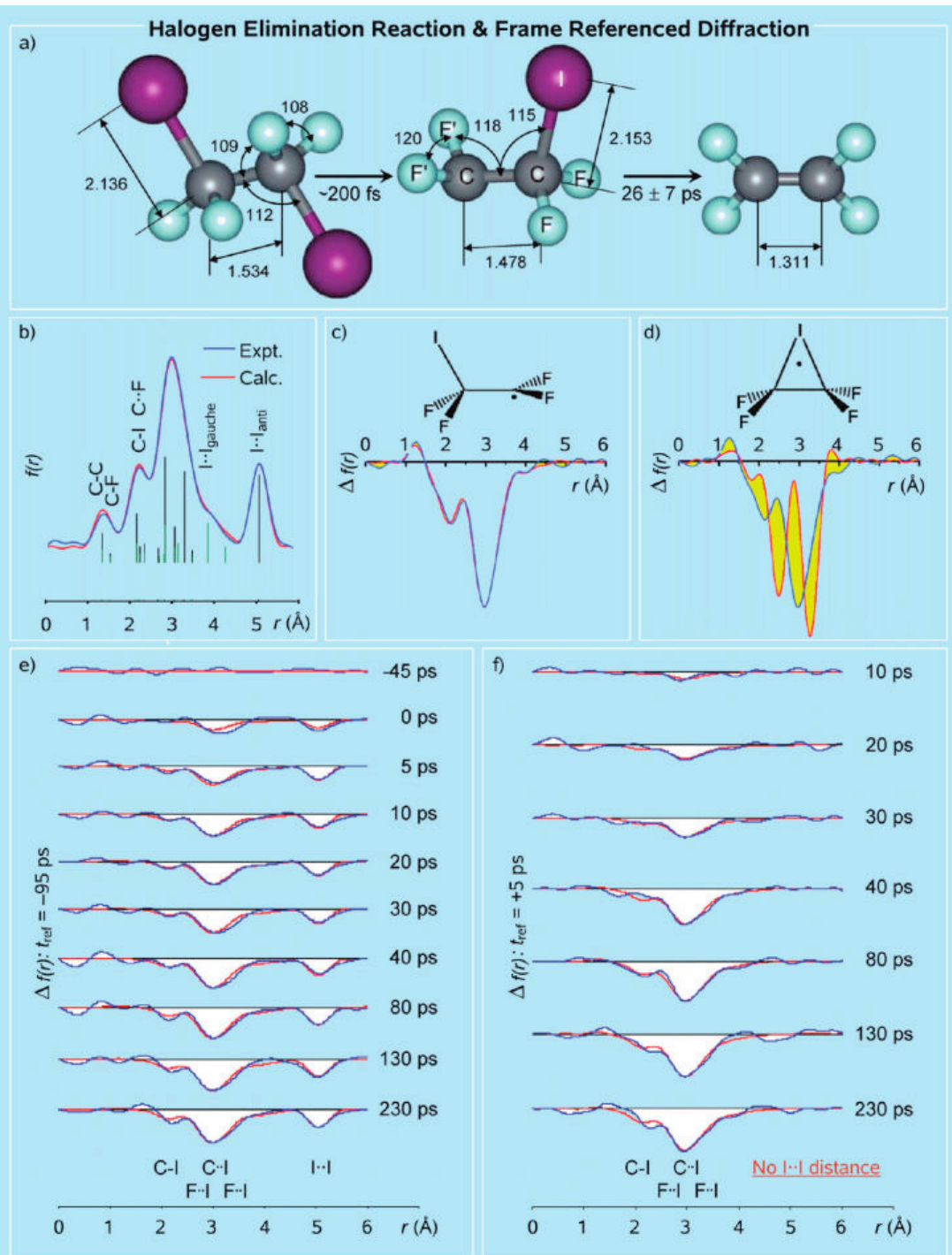
instituto de química
Universidade Federal do Rio de Janeiro

www.iq.ufrj.br
Tel.: 2562-7001 2562-7002

TEM 4D

- Imagem em escala atômica com resolução temporal
- “Filme” molecular

J. Am. Chem. Soc., 2009, 131 (50), pp 17998–18015
DOI: 10.1021/ja907432p



Novas ferramentas

- Ampliação das antigas ferramentas (RMN, MS, IV, química computacional, etc)
- Novas ferramentas
 - Microscopia
 - com resolução atômica: STM, AFM, SEM, TEM
 - TERS, SERS
 - Raman Confocal
 - com resolução atômica e temporal:
 - ultrafast electron diffraction (UED),
 - ultrafast electron crystallography (UEC),
 - ultrafast electron microscopy (UEM)



instituto de química
Universidade Federal do Rio de Janeiro

www.iq.ufrj.br

Tel.: 2562-7001 2562-7002

Twenty-first century chemistry represents the forefront of the molecular sciences. New theories, concepts, and ideas facilitated by advances in analytical techniques and instrumentation revolutionized the practice of chemistry in the latter part of the 20th century. Advances in NMR spectroscopy, mass spectrometry, synchrotron and X-ray techniques, single-molecule spectroscopy, microscopy, computations, lasers, and others, along with tremendous strides in synthesis and coupled with tools of biology such as genetic engineering, allow us to examine complex chemical and biological phenomena, unimagined just a few decades ago, at the molecular, atomic, and even subatomic levels.

Peter J. Stang

J. Am. Chem. Soc., 2009, 131 (35), p 12496

DOI: 10.1021/ja903812n



instituto de química

Universidade Federal do Rio de Janeiro

www.iq.ufrj.br

Tel.: 2562-7001 2562-7002

Algumas coisas não mudam

- Criatividade é a mais valorizadas das habilidades humanas
- Estar em dia com a literatura (estudo contínuado) é a uma das chaves do sucesso
 - Tipos de literatura
 - Notas
 - Comunicações
 - Artigos
 - Revisões
 - Livros
 - Pespectivas



instituto de química
Universidade Federal do Rio de Janeiro

www.iq.ufrj.br
Tel.: 2562-7001 2562-7002

Algumas coisas não mudam

- Trabalho duro e sério



instituto de química

Universidade Federal do Rio de Janeiro

www.iq.ufrj.br

Tel.: 2562-7001 2562-7002

Exercício: Absorvância x tempo para hidrólise de benzoato de p-nitrofenila

- Concentração inicial éster: 8×10^{-6} mol/L
- Força iônica = 0.2 M
- 25.0 °C
- Medidas a 400nm, cubeta 5 cm

<i>t/s</i>	<i>A_t</i>
0	0.168
20	0.218
40	0.265
60	0.303
80	0.342
120	0.402
160	0.451
200	0.488
∞	0.634

Reaction	Rate law	Integrated rate law
$A \rightarrow P$	$d[P]/dt = k[A]$	$\ln([A]/[A]_0) = -kt$
$2A \rightarrow P$	$d[P]/dt = k[A]^2$	$1/[A] = kt + 1/[A]_0$
$3A \rightarrow P$	$d[P]/dt = k[A]^3$	$0.5(1/[A]^2 - 1/[A]_0^2) = kt$
$A + B \rightarrow P$	$d[P]/dt = k[A][B]$	$[1/([B]_0 - [A]_0)] \ln([A]_0[B]/[B]_0[A]) = kt$
$A + B + C \rightarrow P$	$d[P]/dt = k[A][B][C]$	$[1/([A]_0 - [B]_0)([B]_0 - [C]_0)([C]_0 - [A]_0)] \ln\left(\frac{[A]}{[A]_0}\right)^{([B]_0 - [C]_0)} \left(\frac{[B]}{[B]_0}\right)^{([C]_0 - [A]_0)} \left(\frac{[C]}{[C]_0}\right)^{([A]_0 - [B]_0)} = kt$
$2A + B \rightarrow P$	$d[P]/dt = k[A]^2[B]$	$[2/(2[B]_0 - [A]_0)]\left\{\frac{1}{[A]} - \frac{1}{[A]_0}\right\} + [2/(2[B]_0 - [A]_0)^2] \ln\left(\frac{[B]_0[A]}{[A]_0[B]}\right) = kt$



instituto de química

Universidade Federal do Rio de Janeiro

www.iq.ufrj.br

Tel.: 2562-7001 2562-7002

$$\frac{d[P]}{dt} = k[A][B]$$

$$\left(\frac{1}{[B]_0 - [A]_0} \right) \ln \left(\frac{[A]_0 [B]}{[B]_0 [A]} \right) = kt$$



$$\frac{d[x]}{dt} = k_f([A]_0 - [x]) - k_r([B]_0 + [x])$$

$$\ln \left(\frac{k_f[A]_0 - k_r[B]_0}{k_f[A]_0 - k_r[B]_0 - (k_f + k_r)[x]} \right) = (k_f + k_r)t$$



instituto de química
Universidade Federal do Rio de Janeiro

www.iq.ufrj.br
Tel.: 2562-7001 2562-7002

Ion Cyclotron Resonance (FTMS)



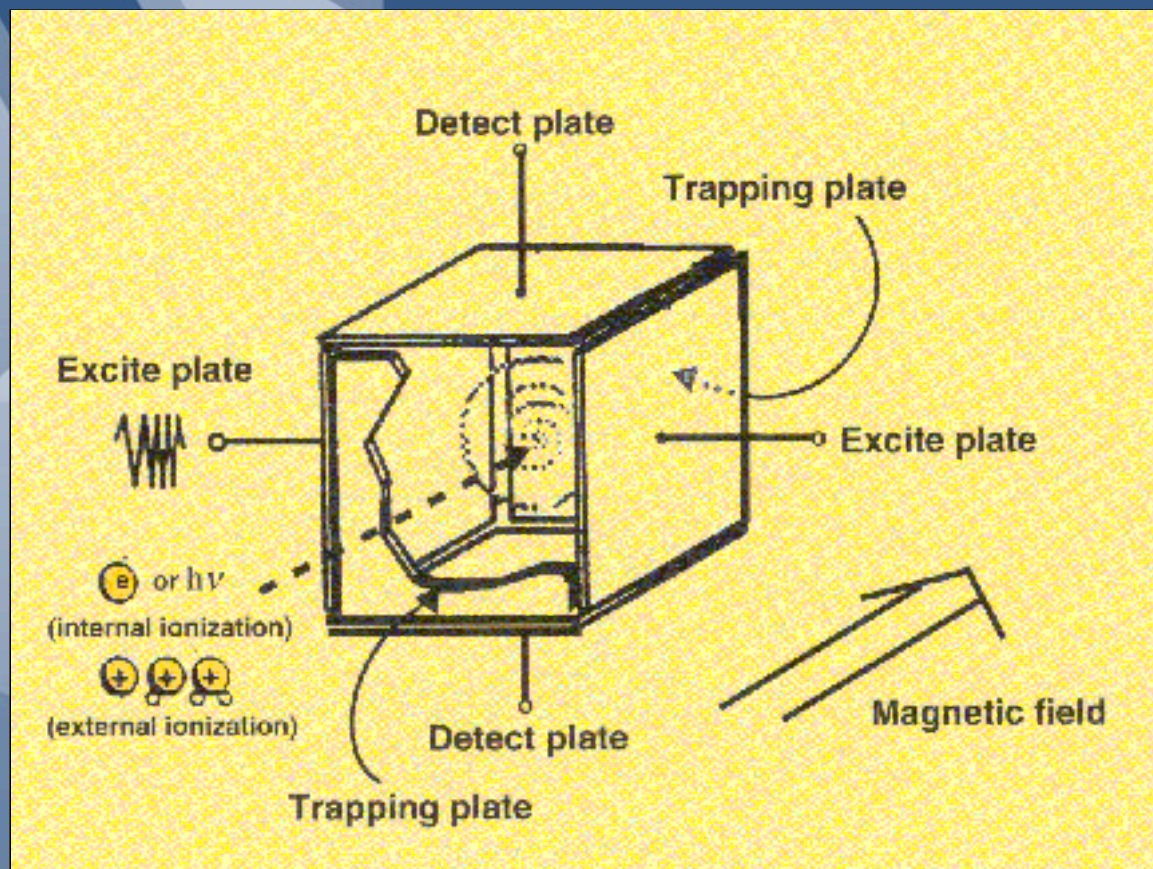
instituto de química

Universidade Federal do Rio de Janeiro

www.iq.ufrj.br

Tel.: 2562-7001 2562-7002

FT-ICR-MS



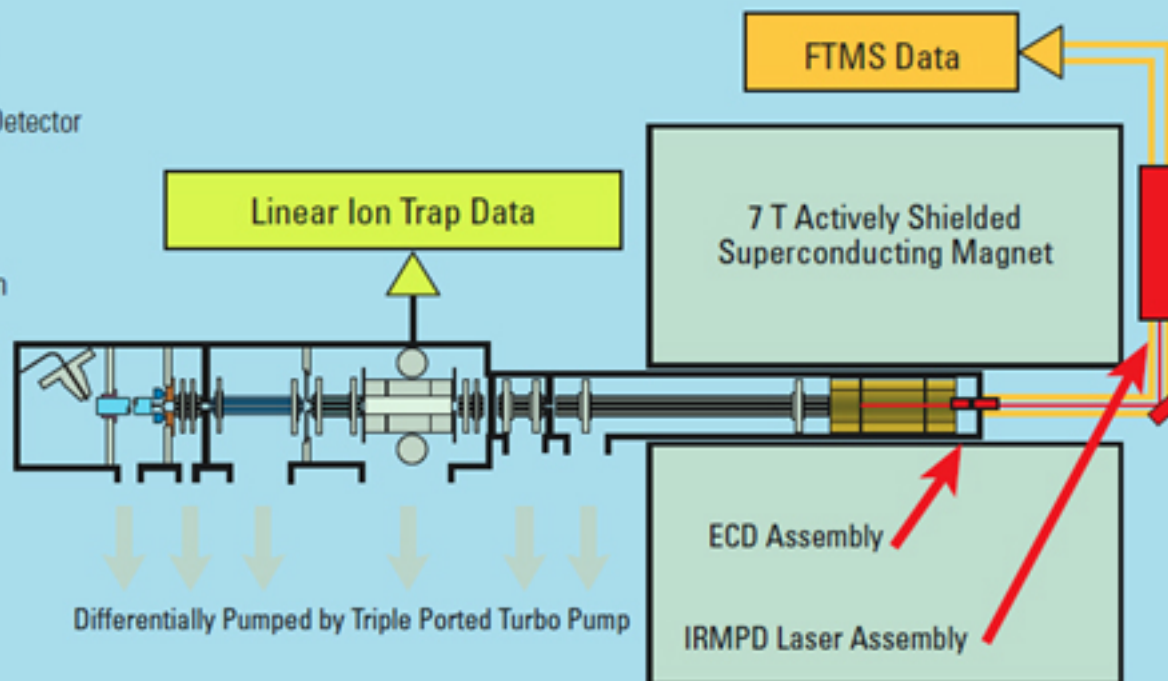
Funcionamento

Linear Ion Trap MS

- MS, MS/MS and MSⁿ Analysis
- AGC Control
- Secondary Electron Multiplier Detector

FTICR MS

- Ion Image Current Detector
- Accurate Mass, High Resolution
- ECD, IRMPD



instituto de química

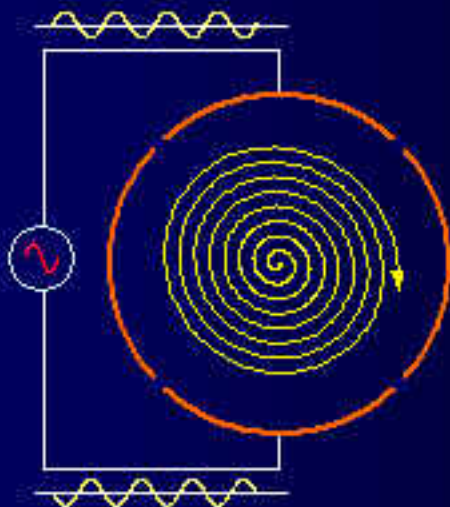
Universidade Federal do Rio de Janeiro

www.iq.ufrj.br

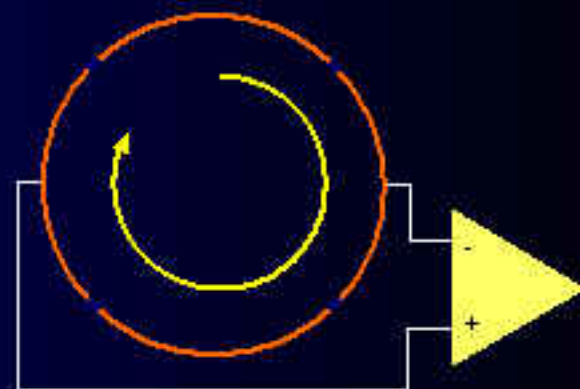
Tel.: 2562-7001 2562-7002



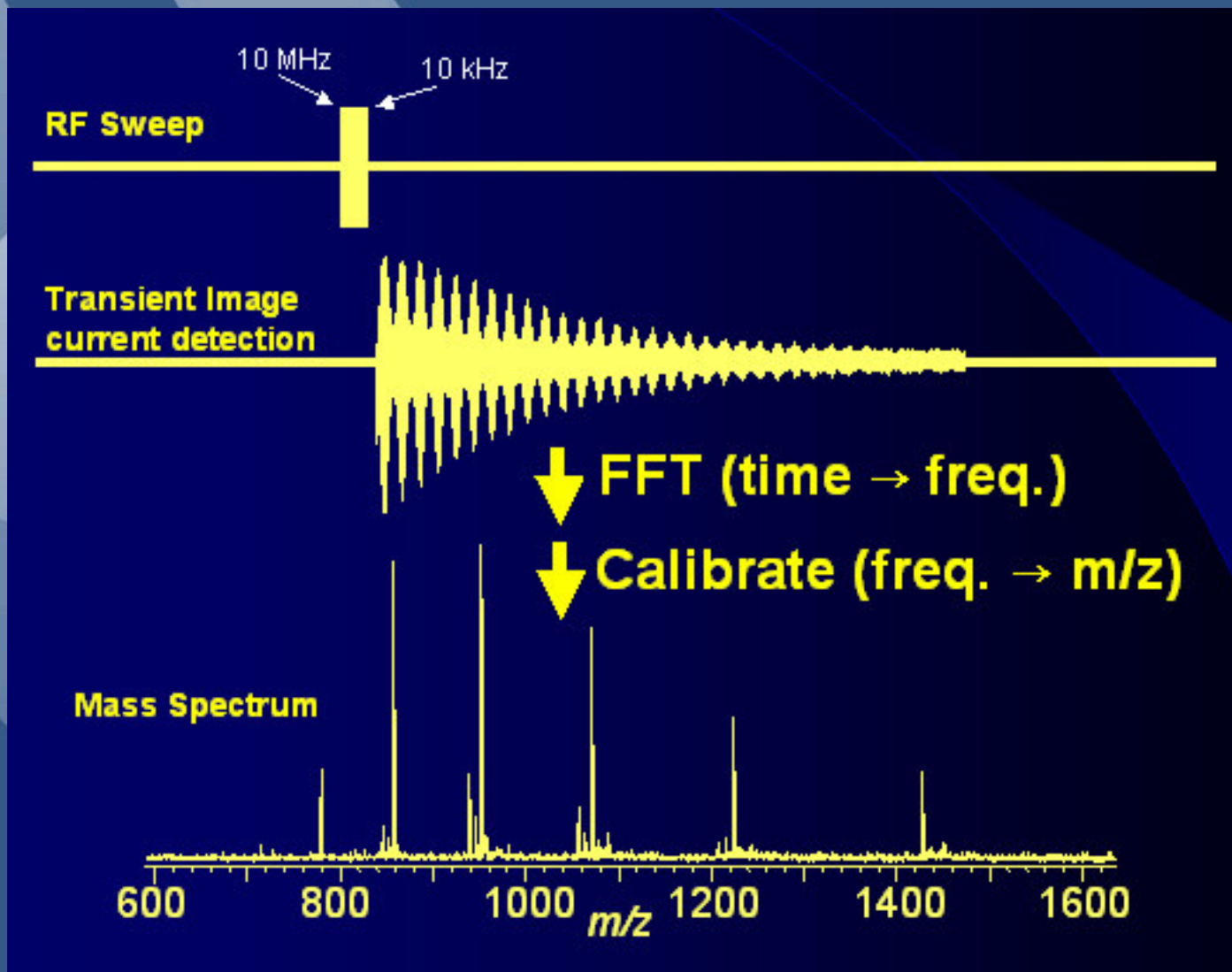
Ions are trapped and oscillate with low, incoherent, thermal amplitude



Excitation sweeps resonant ions into a large, coherent cyclotron orbit



Preamplifier and digitizer pick up the induced potentials on the cell.



(a) $\text{PhNO}_2 + \text{HO}^-$
 (b) $\text{PhNO}_2 + \text{F}^-$

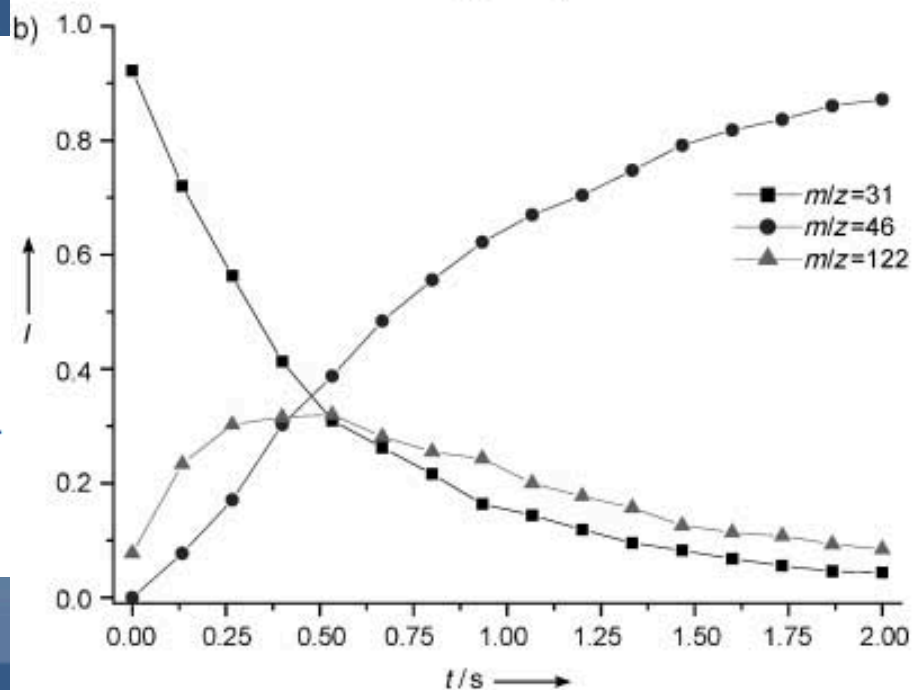
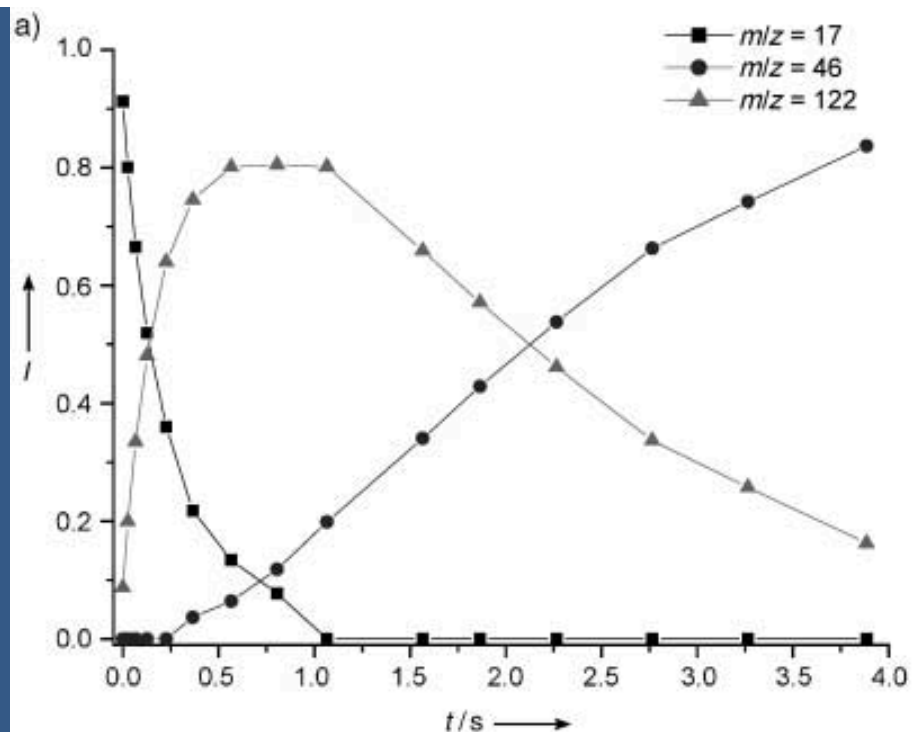
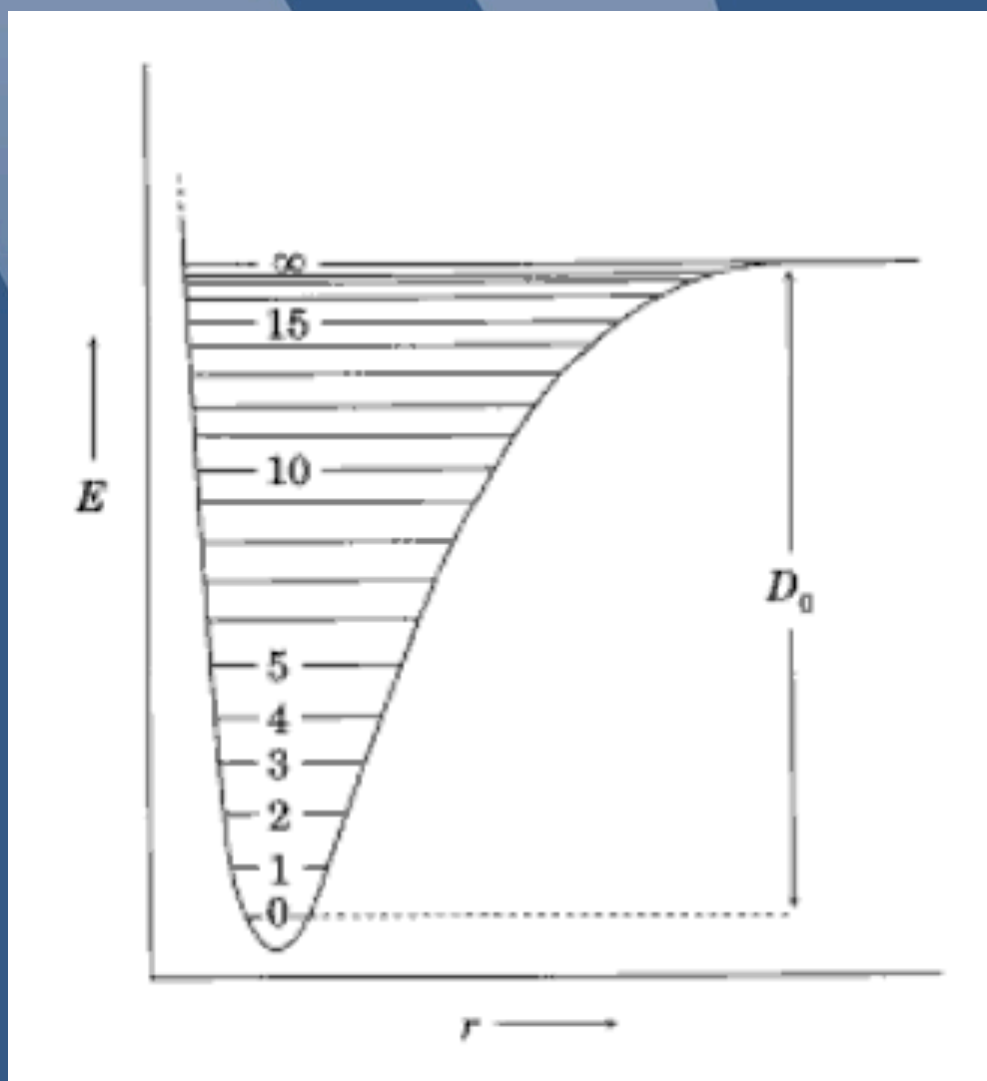


Figure 2. a) Kinetic plot of the gas-phase reaction of OH^- ($m/z = 17$) with nitrobenzene reveals rapid proton transfer to yield $\text{C}_6\text{H}_4\text{NO}_2^-$ ($m/z = 122$) and H_2O . The subsequent reaction of the $\text{C}_6\text{H}_4\text{NO}_2^-$ ion with neutral H_2O yields NO_2^- ($m/z = 46$) and phenol. This secondary reaction is clearly observed from the delay in the appearance of the NO_2^- ion. b) A similar kinetic plot of the gas-phase reaction of MeO^- ($m/z = 31$) with nitrobenzene reveals competition between proton transfer (to yield $\text{C}_6\text{H}_4\text{NO}_2^-$ ($m/z = 122$) and methanol) and NO_2^- ($m/z = 46$) displacement (with formation of anisole). $\text{C}_6\text{H}_4\text{NO}_2^-$ ($m/z = 122$) then undergoes a subsequent reaction with neutral H_2O (used to generate MeO^- from the reaction of OH^- with MeOH) to yield NO_2^- ($m/z = 46$) and phenol as in Figure 2a.

Efeito de Isótopos na Cinética



instituto de química
Universidade Federal do Rio de Janeiro

www.iq.ufrj.br
Tel.: 2562-7001 2562-7002



instituto de química

Universidade Federal do Rio de Janeiro

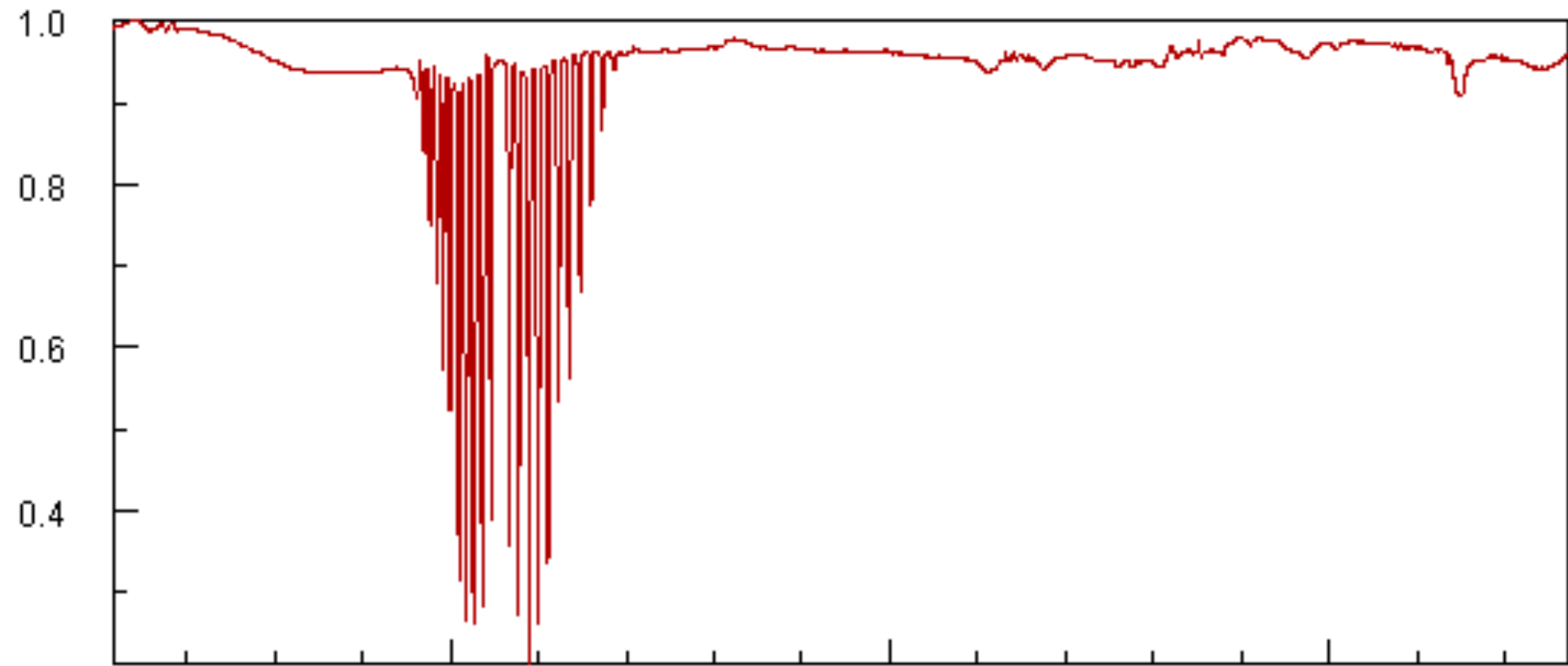
www.iq.ufrj.br

Tel.: 2562-7001 2562-7002

HYDROGEN CHLORIDE

INFRARED SPECTRUM

Transmittance



3000.

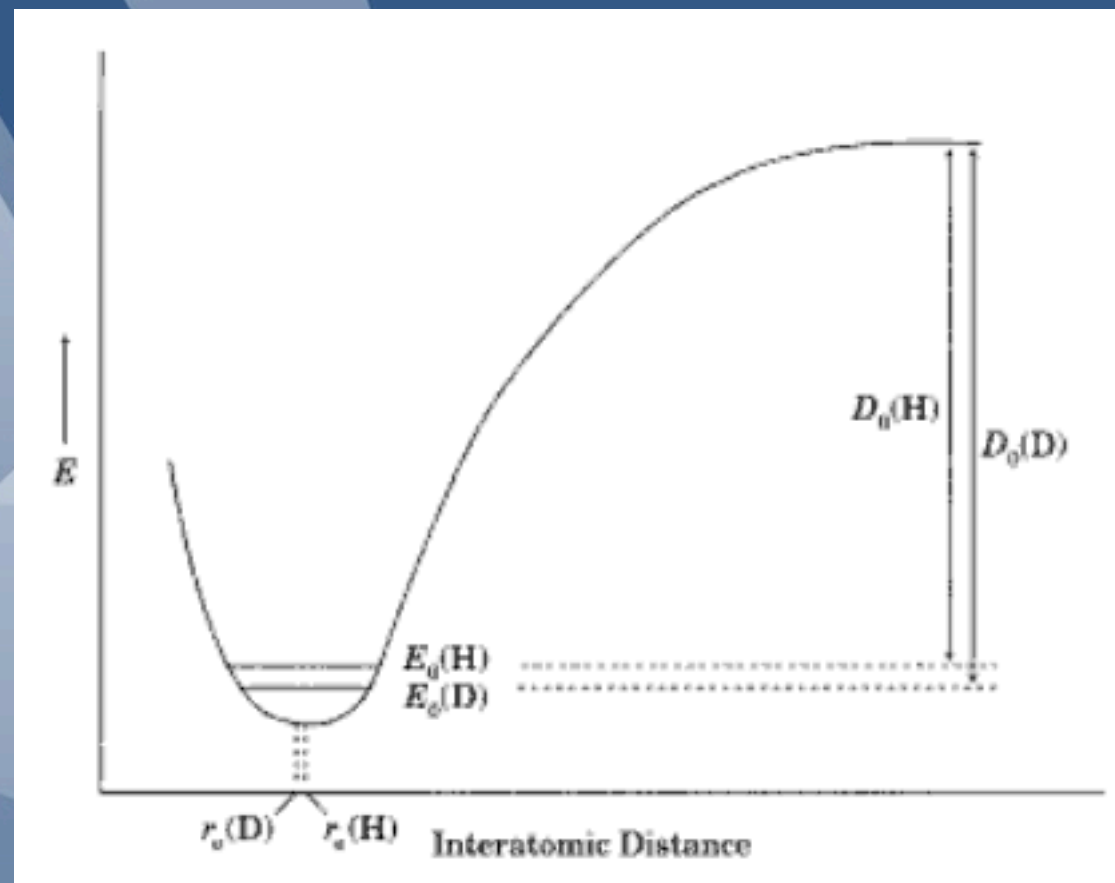
2000.

1000.

Wavenumber (cm-1)

www.iq.ufrj.br

Tel.: 2562-7001 2562-7002



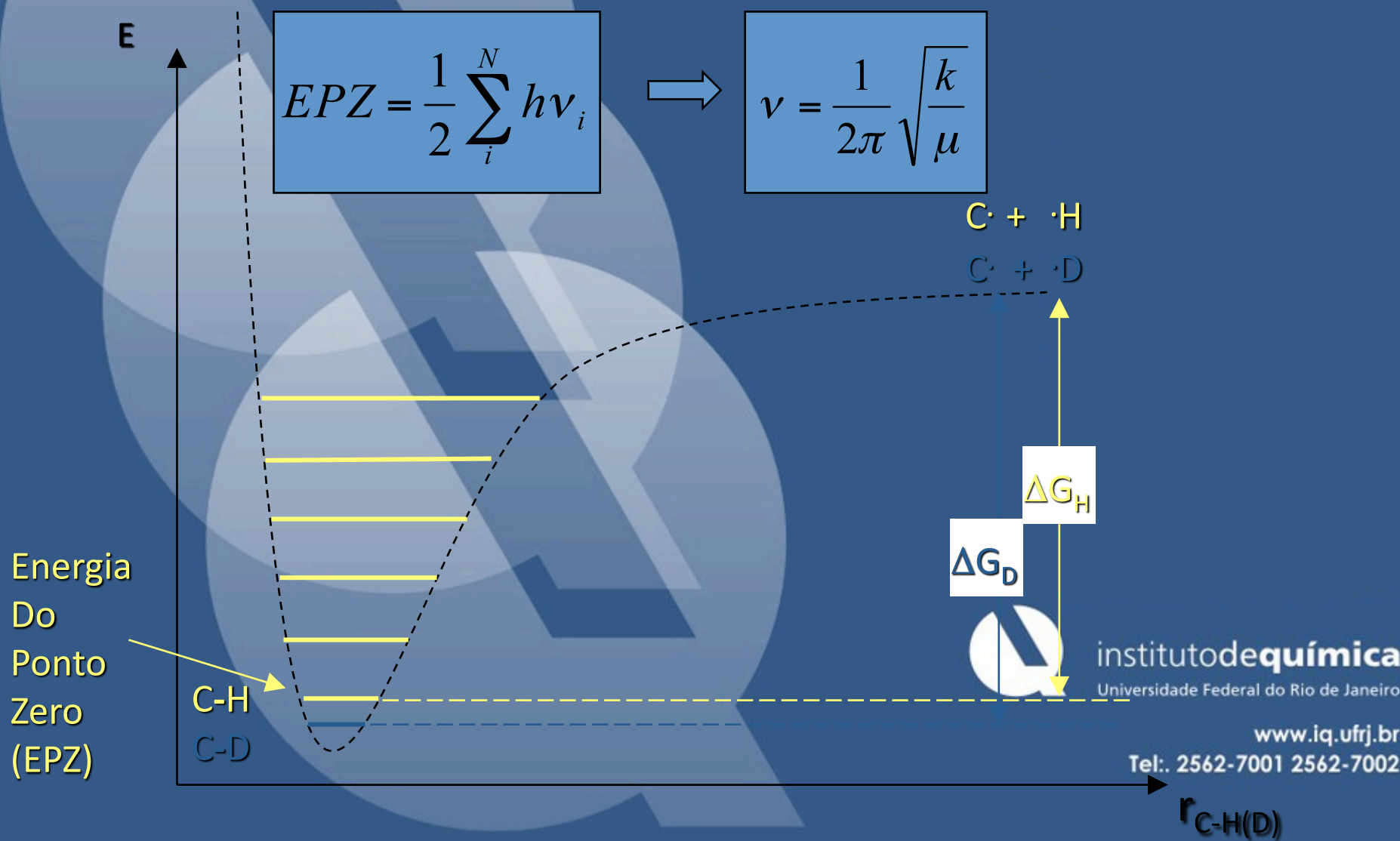
instituto de química

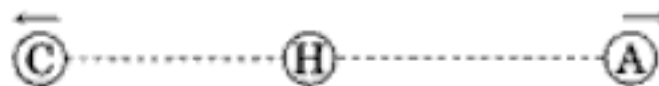
Universidade Federal do Rio de Janeiro

www.iq.ufrj.br

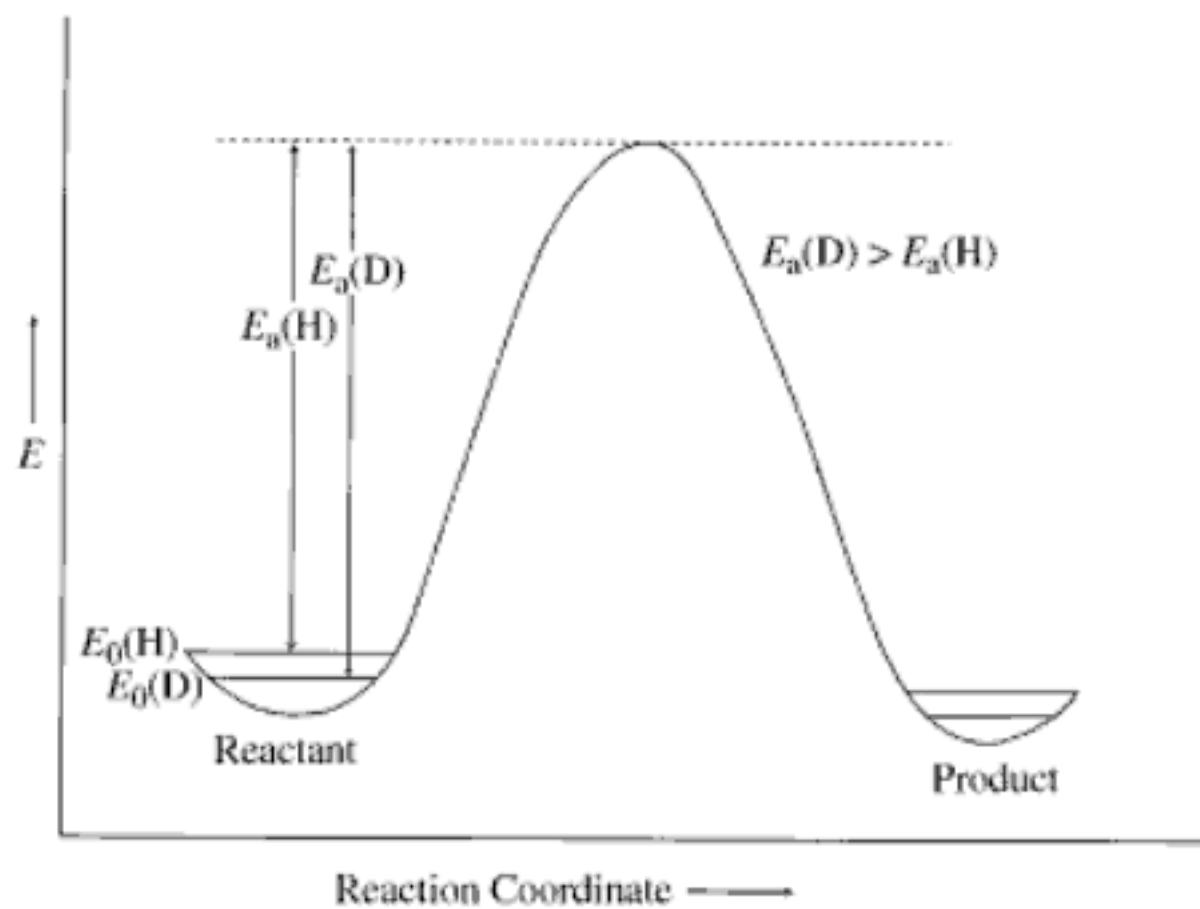
Tel.: 2562-7001 2562-7002

Efeito Cinético Isotópico





Symmetric Transition State



Instituto de Química

Federal do Rio de Janeiro

www.iq.ufrj.br

2-7001 2562-7002

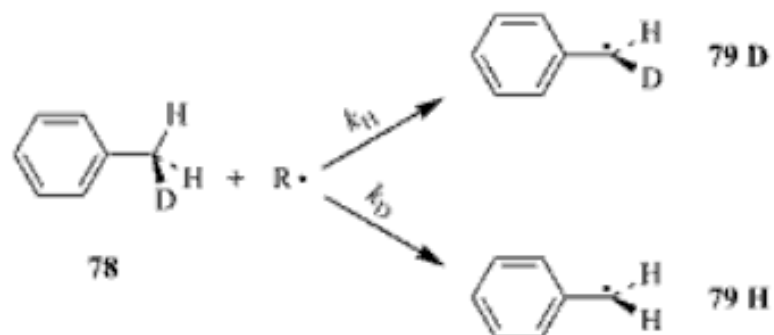
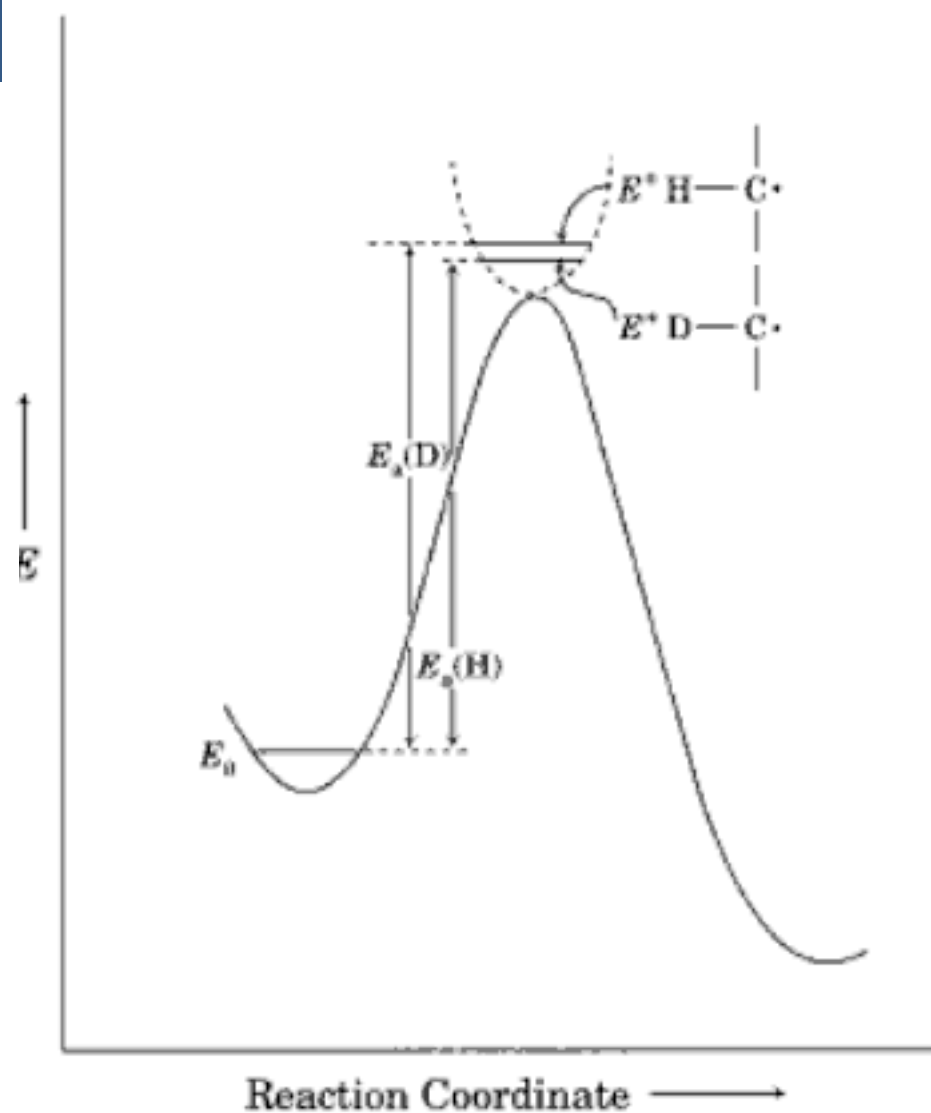
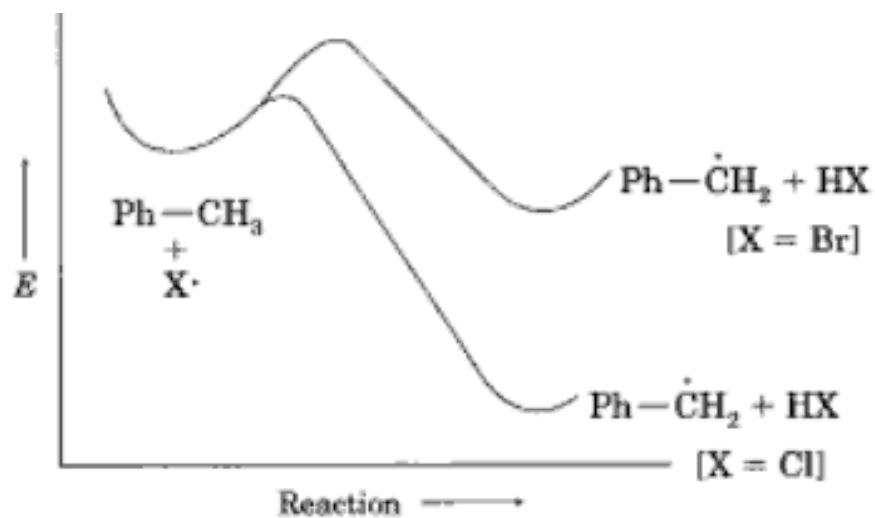


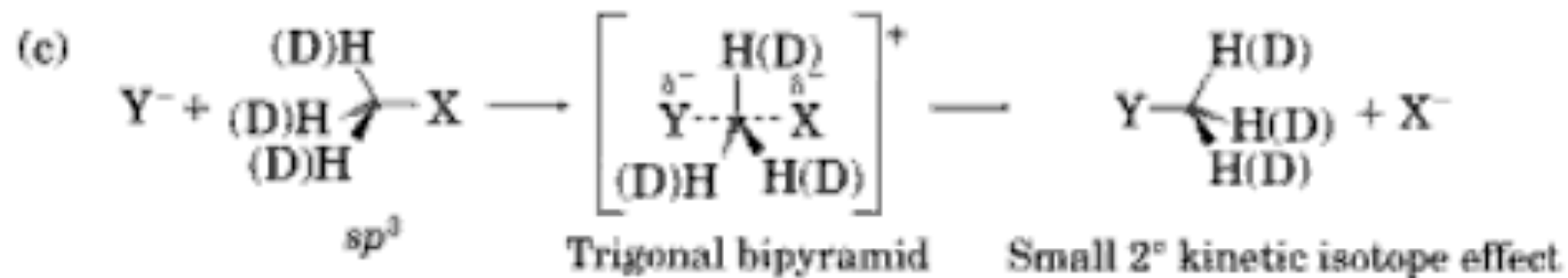
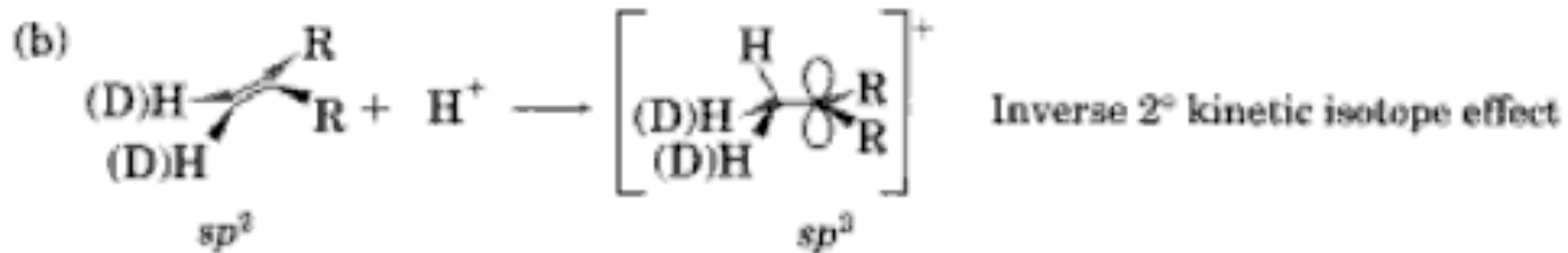
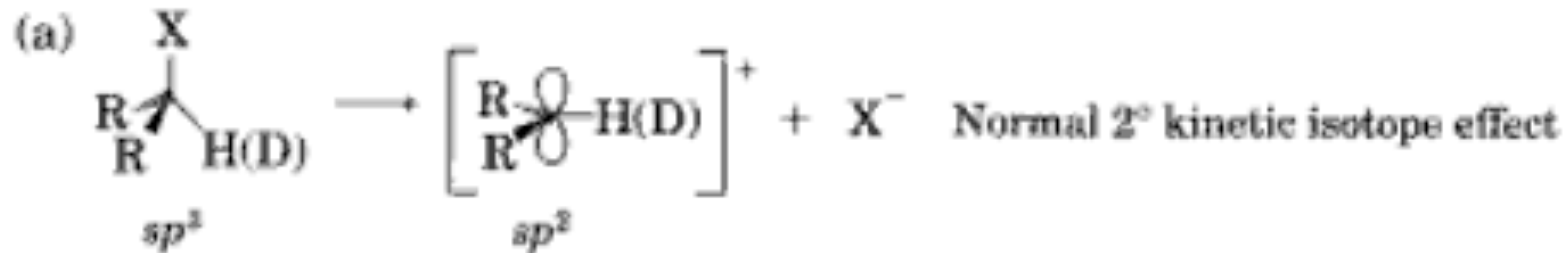
TABLE 6.4 Values of k_H/k_D for Gas Phase Bromination of α -Deuteriotoluene

T ($^{\circ}\text{C}$)	k_H/k_D
121	6.69
130	6.53
142	6.17
150	5.93
160	5.69

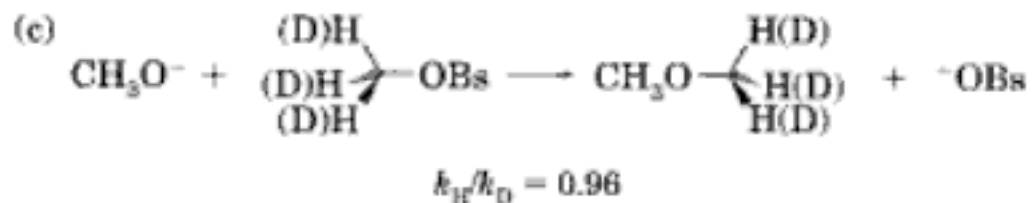
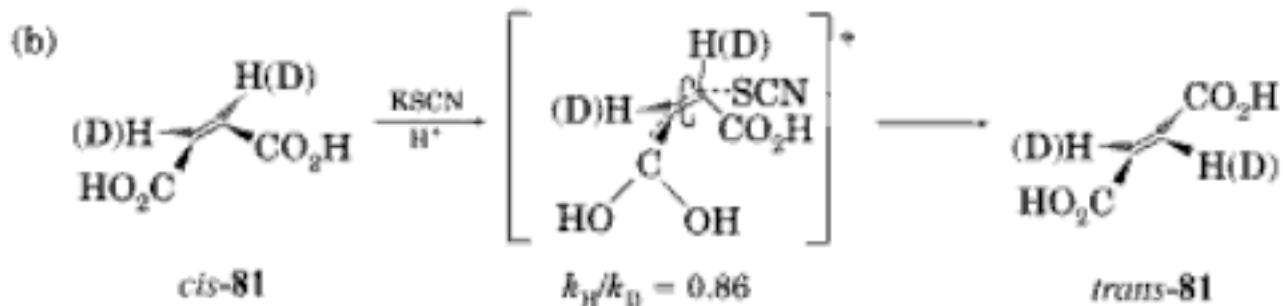
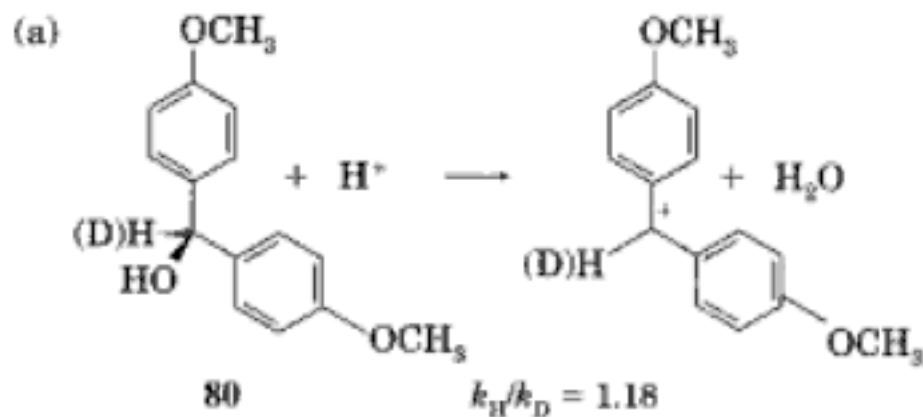
Source: Reference 144.

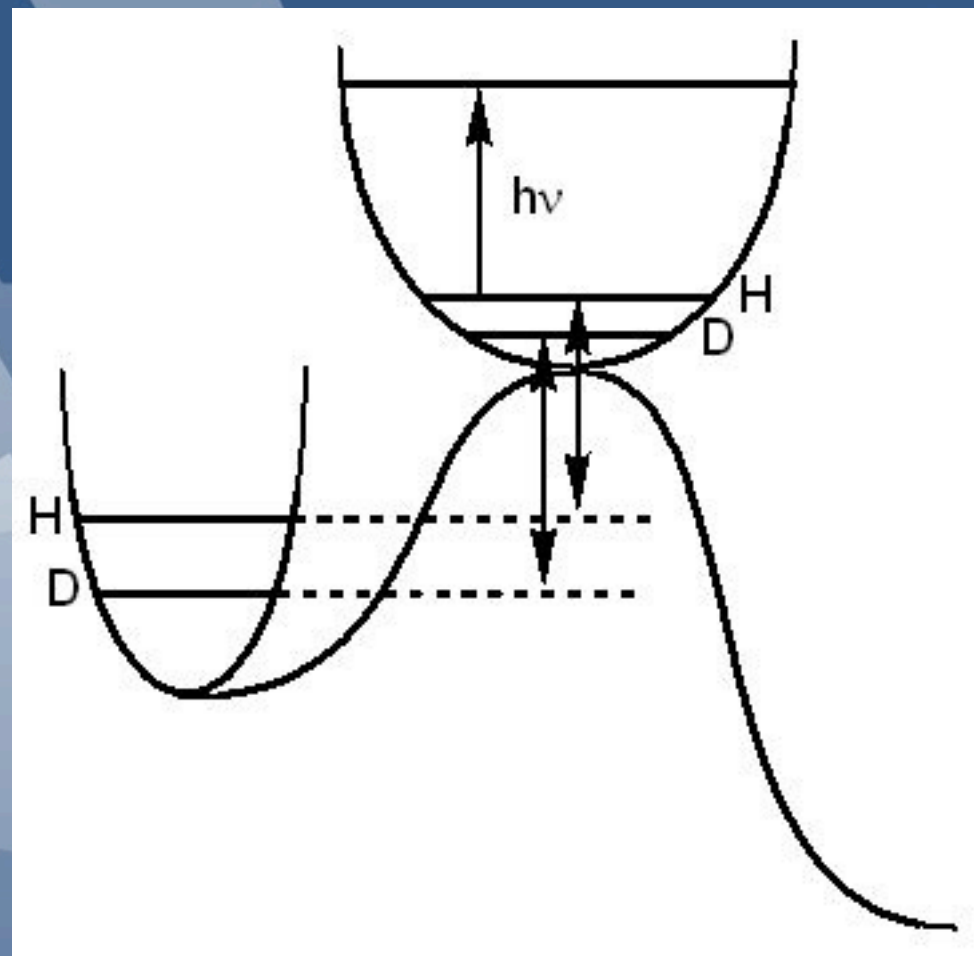


Tipos de Efeito secundário



Efeito isotópico secundário



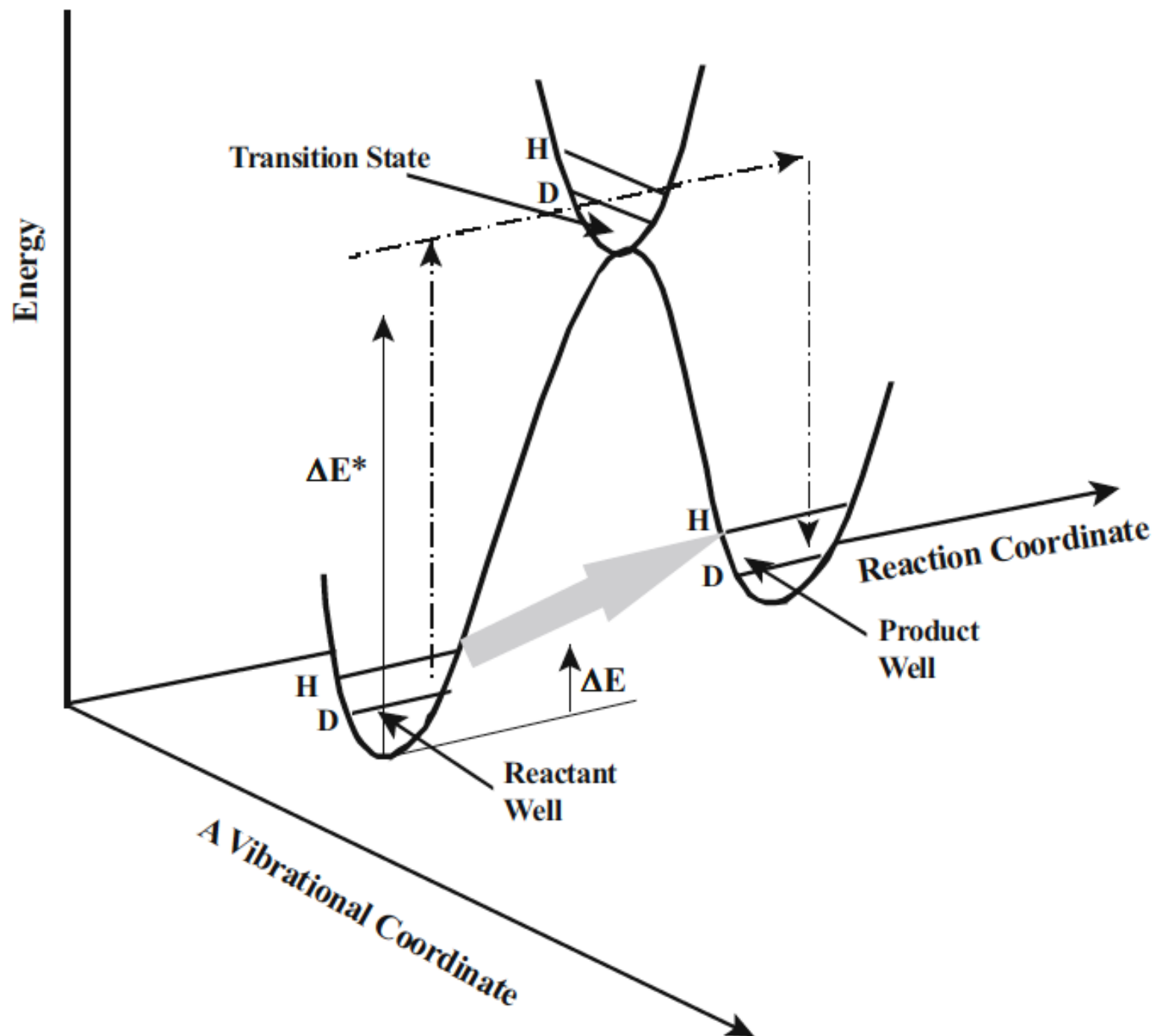


instituto de química

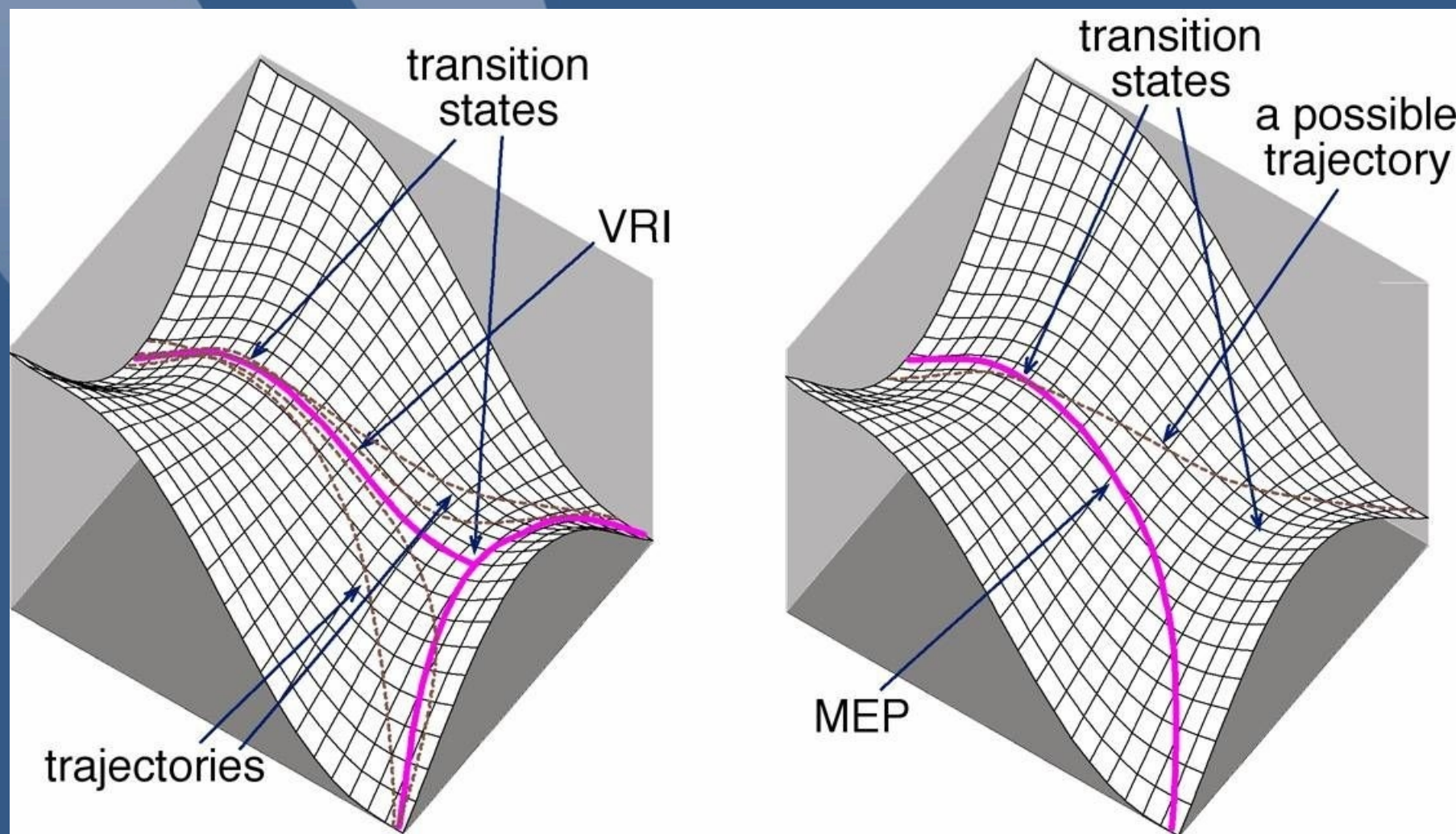
Universidade Federal do Rio de Janeiro

www.iq.ufrj.br

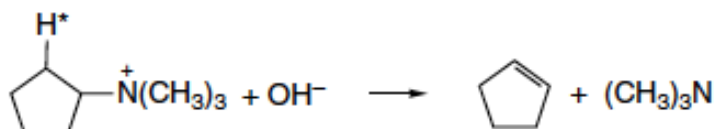
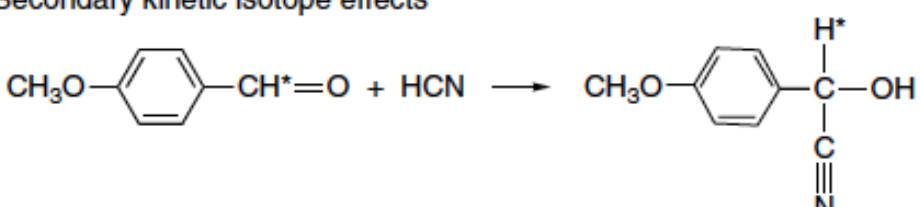
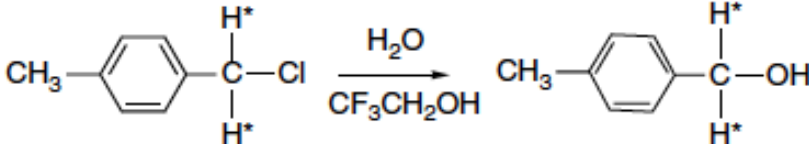
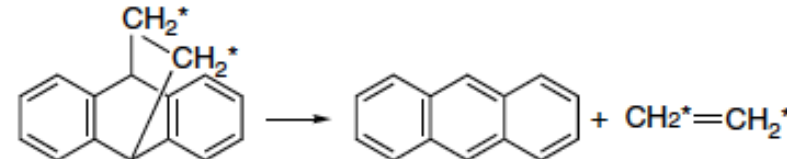
Tel.: 2562-7001 2562-7002



Falhas na teoria do estado de transição



Scheme 3.4. Some Representative Kinetic Isotope Effects

Reaction	k_H/k_D ($^{\circ}\text{C}$)
A. Primary kinetic isotope effects	
1 ^b $\text{PhCH}_2\text{-H}^* + \text{Br}\cdot \longrightarrow \text{Ph-CH}_2\cdot + \text{H}^*\text{-Br}$	4.6 (77)
2 ^c $(\text{CH}_3)_2\underset{\text{H}^*}{\text{C}}-\overset{\text{O}}{\parallel}{\text{C}}-\underset{\text{H}^*}{\text{C}}(\text{CH}_3)_2 + \text{OH}^- \longrightarrow (\text{CH}_3)_2\underset{\text{H}^*}{\text{C}}-\overset{\text{O}^-}{\text{C}}=\text{C}(\text{CH}_3)_2$	6.1 (25)
3 ^d 	4.0 (191)
B. Secondary kinetic isotope effects	
4 ^e 	0.73 (25)
5 ^f 	1.30 (25)
6 ^g 	1.37 (50)

a. Temperature of measurement is indicated in parentheses.

b. K. B. Wiberg and L. H. Slaugh, *J. Am. Chem. Soc.*, **80**, 3033 (1958).

c. R. A. Lynch, S. P. Vincenti, Y. T. Lin, L. D. Smucker, and S. C. Subba Rao, *J. Am. Chem. Soc.*, **94**, 8351 (1972).

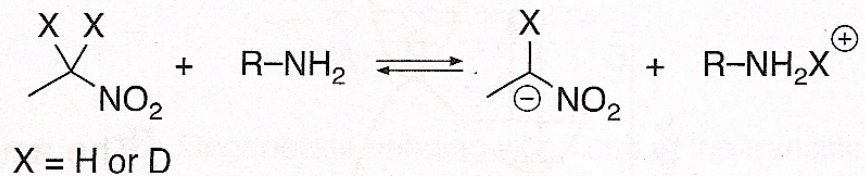
d. W. H. Saunders, Jr., and T. A. Ashe, *J. Am. Chem. Soc.*, **91**, 473 (1969).

e. L. do Amaral, H. G. Bull, and E. H. Cordes, *J. Am. Chem. Soc.*, **94**, 7579 (1972).

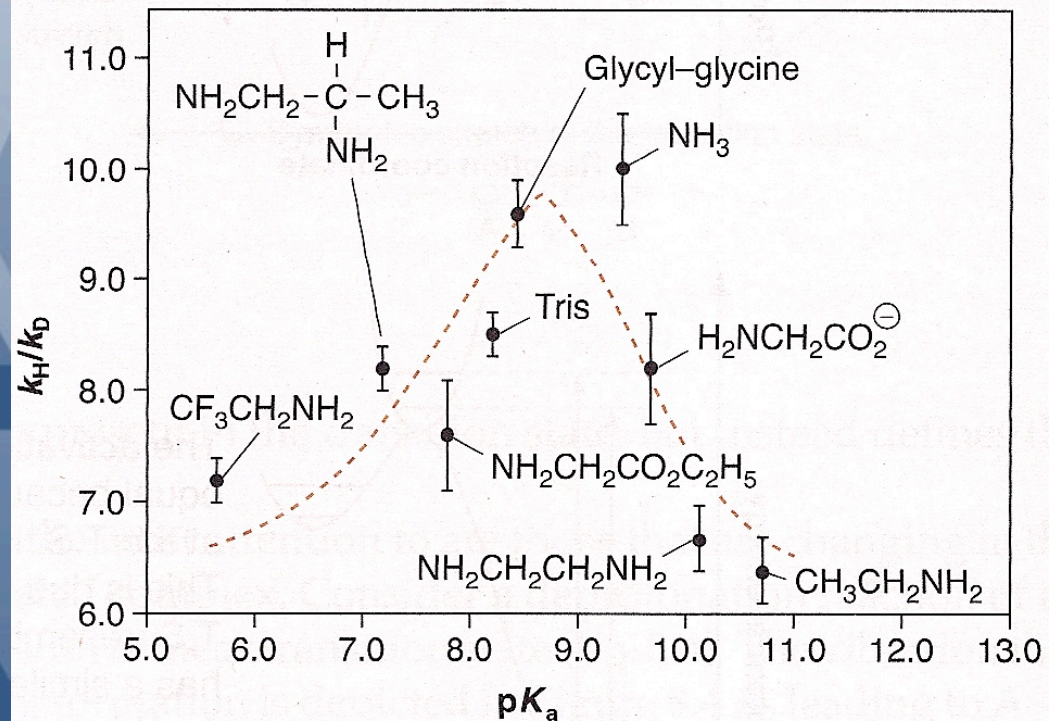
f. V. J. Shiner, Jr., M. W. Rapp, and H. R. Pinnick, Jr., *J. Am. Chem. Soc.*, **92**, 232 (1970).

g. M. Taagepera and E. R. Thornton, *J. Am. Chem. Soc.*, **94**, 1168 (1972).

Efeito isotópico como indicação da geometria do ET_{cvt}

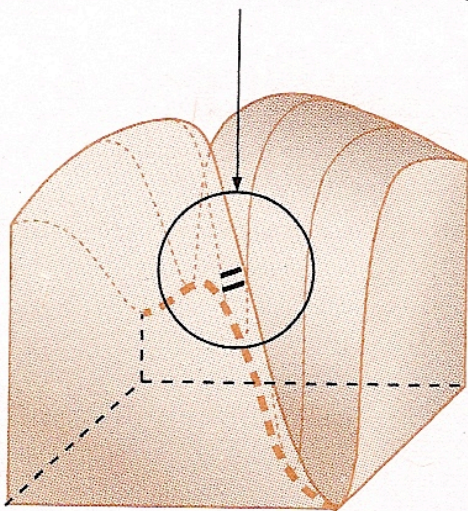


Nitroethane deprotonation

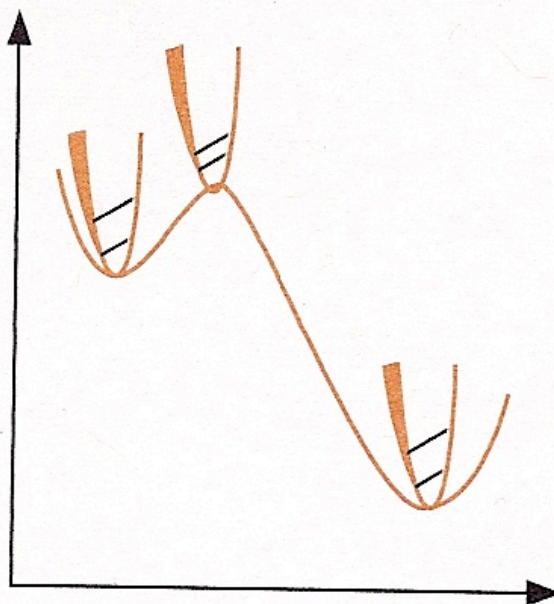


A.

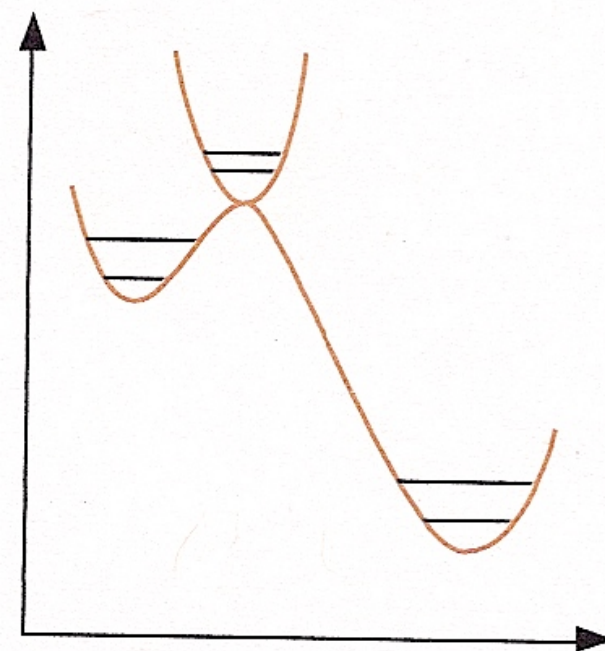
A potential energy well perpendicular to the reaction coordinate with the associated C-H and C-D vibrational states



B.



C.

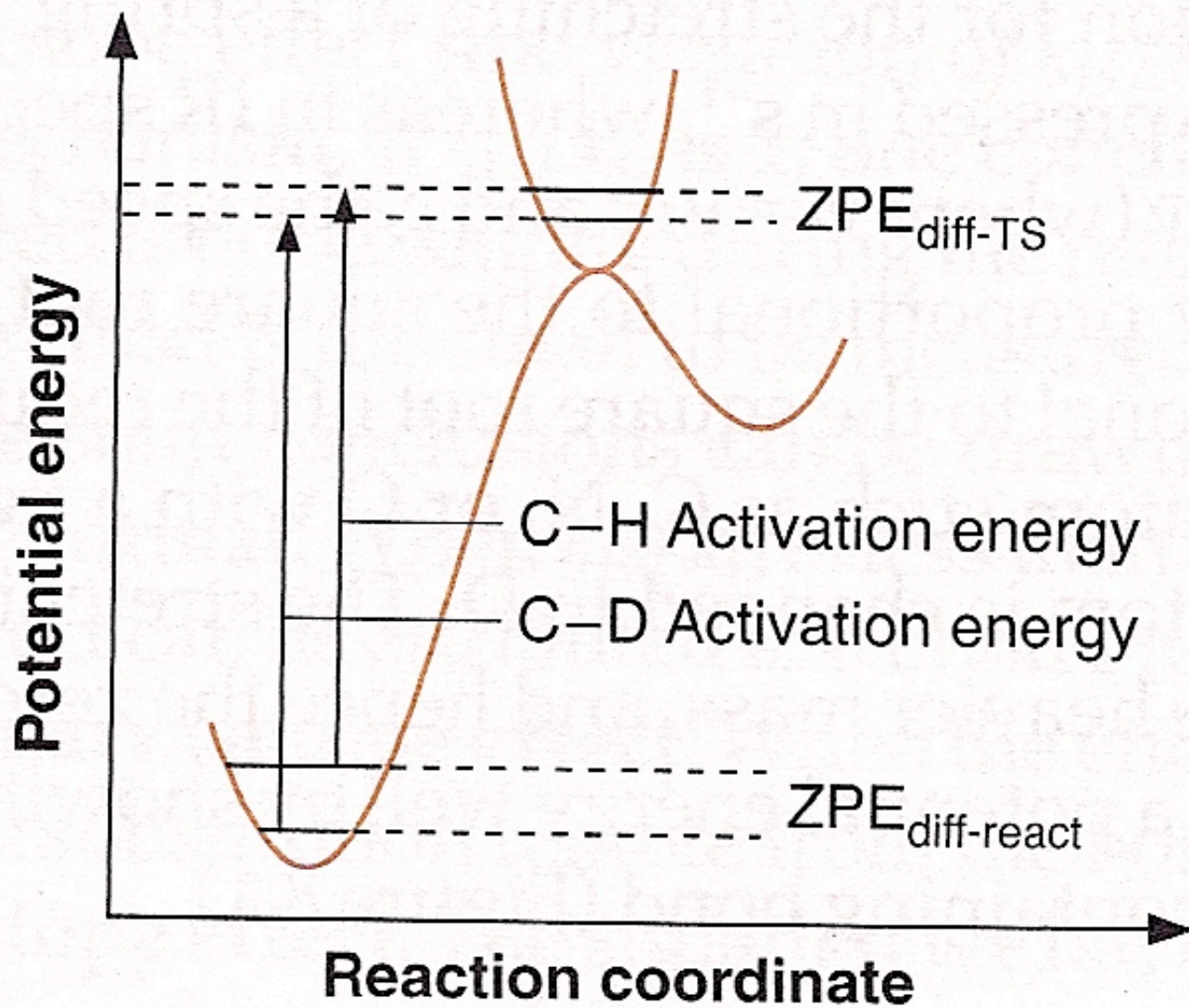


instituto de química

Universidade Federal do Rio de Janeiro

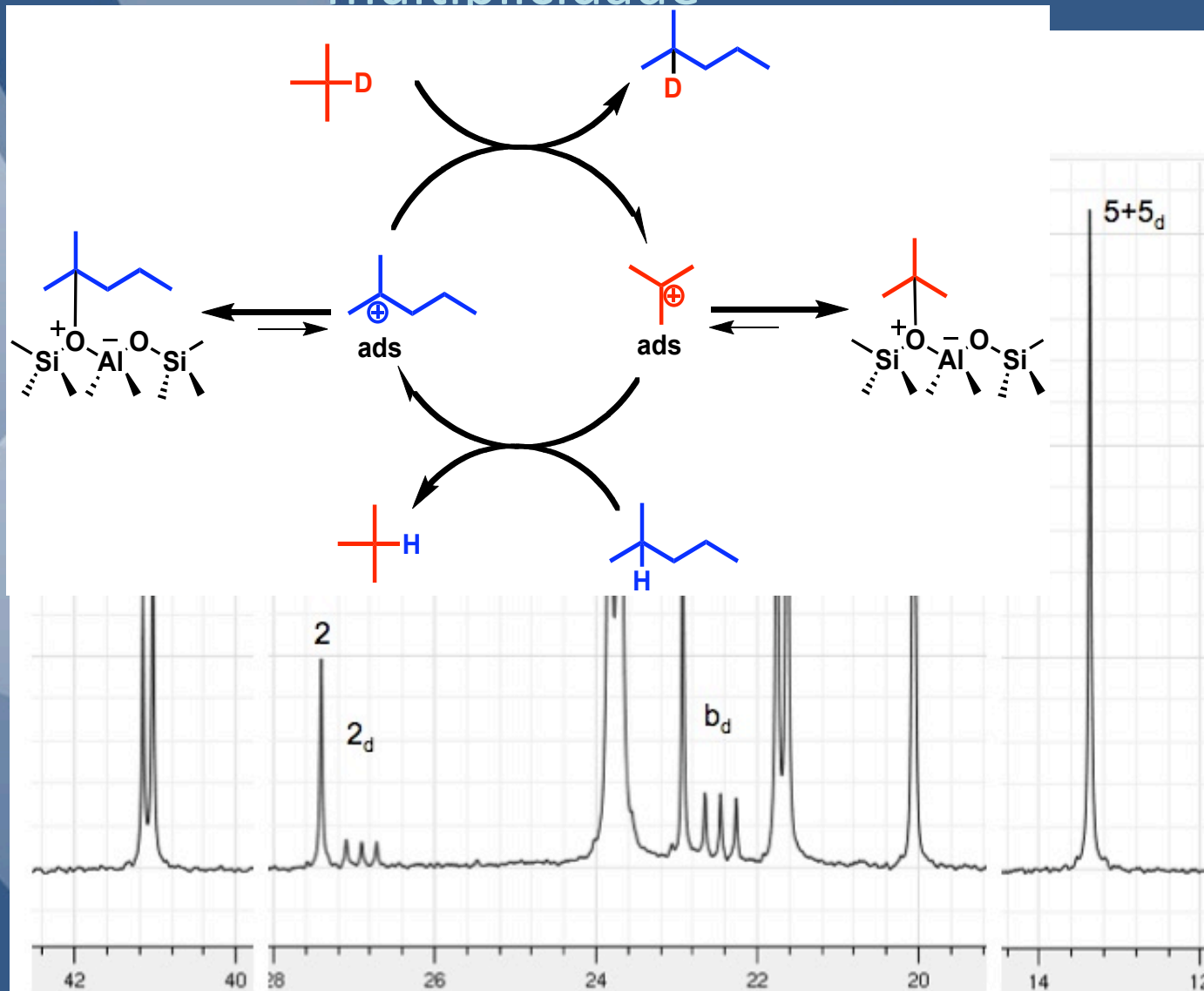
www.iq.ufrj.br

Tel.: 2562-7001 2562-7002



Uso de isótopos: RMN ^{13}C permite determinar equilíbrio químico pela variação do δ devido à anarmonicidade e multiplicidade

Sido, Barbiche e
Sommer Chem.
Comm. 2010



Medindo efeitos de isótopos pesados na cinética com RMN em abundância natural

- Daniel A. Singleton (Texas A&M)

Singleton & Thomas *JACS*, 1995, 117, 9357-8



instituto de química

Universidade Federal do Rio de Janeiro

www.iq.ufrj.br

Tel.: 2562-7001 2562-7002

$$R/R_0 = (1 - F)^{(1/KIE)-1} \quad (1)$$

$$KIE_{\text{calcd}} = \frac{\ln(1 - F)}{\ln[(1 - F)R/R_0]} \quad (2)$$

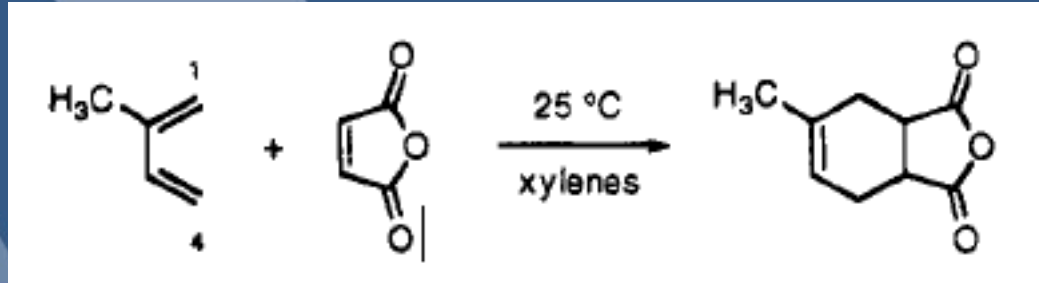
$$\Delta KIE_F = \frac{\partial KIE}{\partial F} \Delta F = \frac{-\ln(R/R_0)}{(1 - F) \ln^2[(1 - F)R/R_0]} \Delta F \quad (3)$$

$$\begin{aligned} \Delta KIE_R &= \frac{\partial KIE}{\partial (R/R_0)} \Delta(R/R_0) \\ &= \frac{-\ln(1 - F)}{(R/R_0) \ln^2[(1 - F)R/R_0]} \Delta(R/R_0) \end{aligned} \quad (4)$$

- R/R_0 = proporção do componente isotópico minoritário no material recuperado comparado ao material de partida
- F = conversão fracional
- KIE = efeito isotópico
- $KIE = 1.05$ corresponde a um enriquecimento de 25% do componente que reage mais lentamente a 99% de conversão



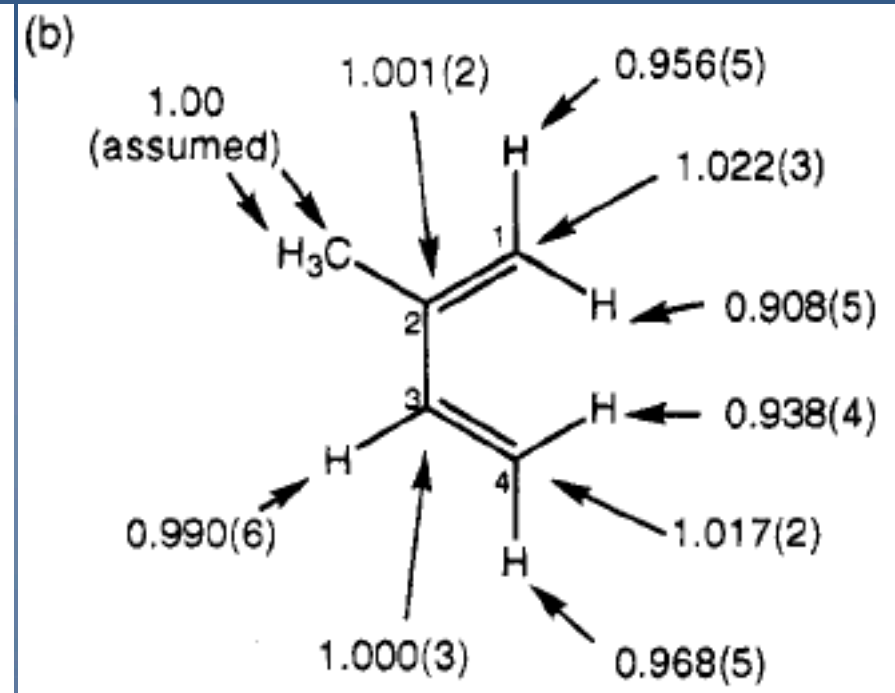
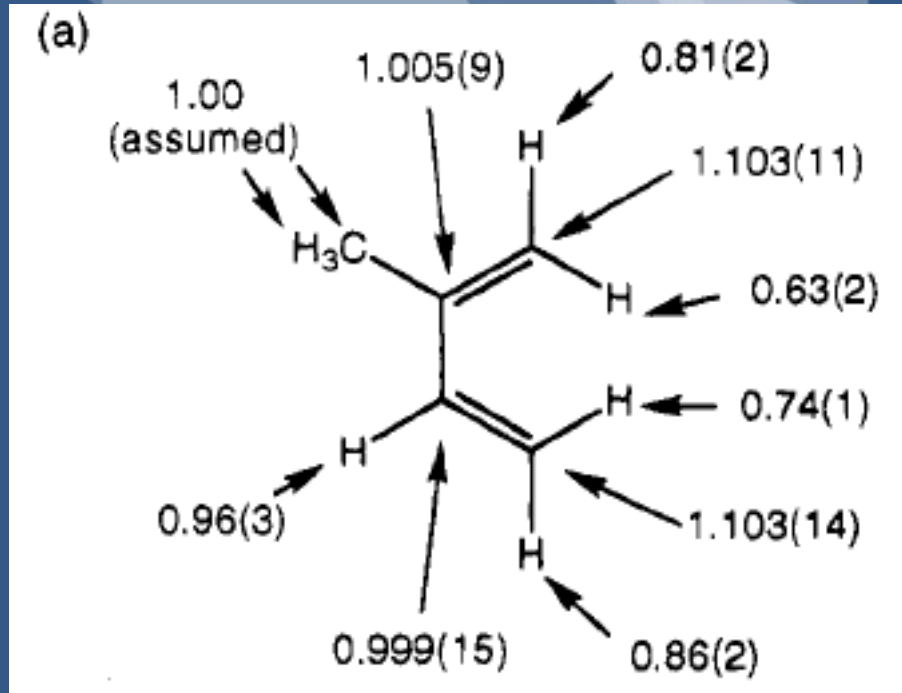
Resultados



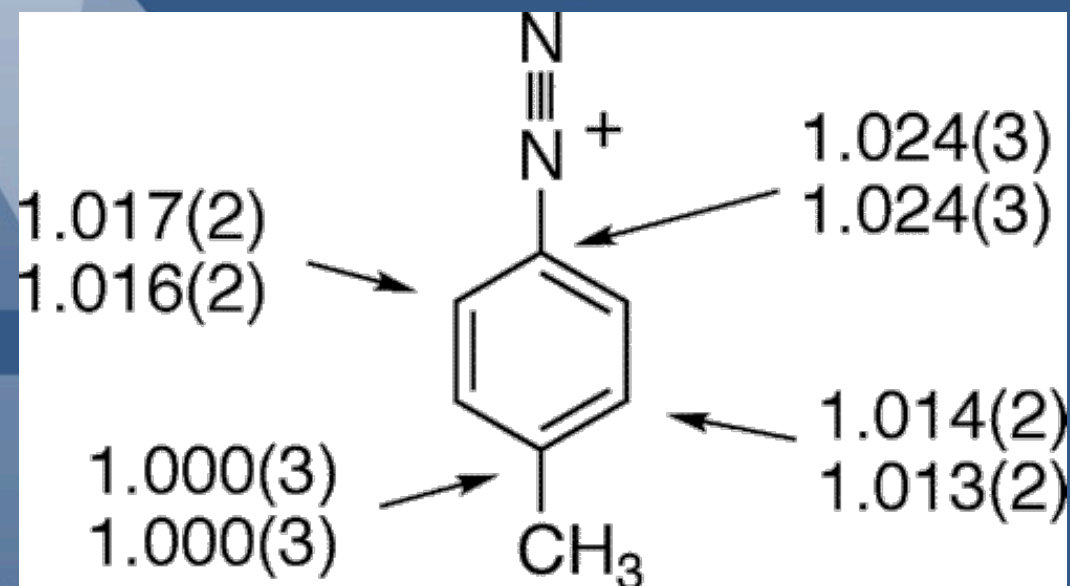
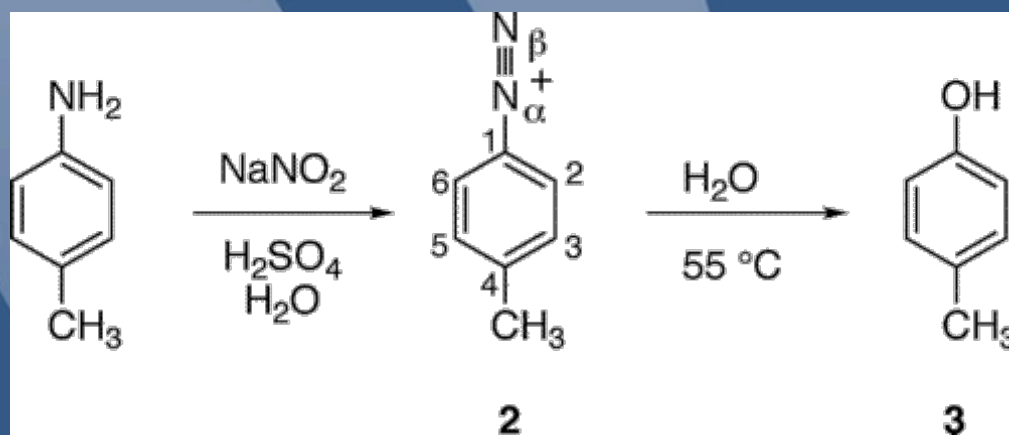
Composição isotópica de ^2H e ^{13}C no isopreno recuperado após 98.9 % de conversão

$k_{\text{H}}/k_{\text{D}}$

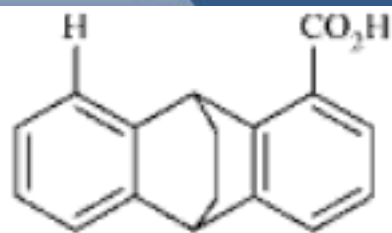
$k_{^{12}\text{C}}/k_{^{13}\text{C}}$



Decomposição de sais de diazônio

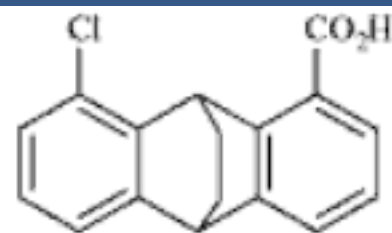


Efeito de Substituintes



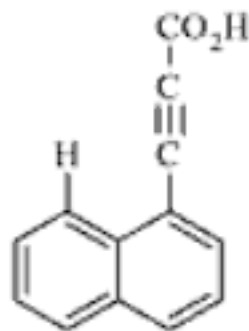
$pK_a = 6.04 \pm 0.03$

85



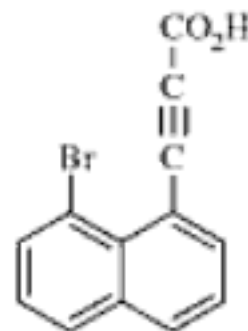
$pK_a = 6.25 \pm 0.02$

86



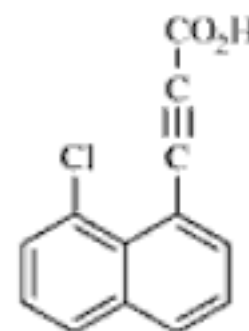
$pK_a = 4.42$

87



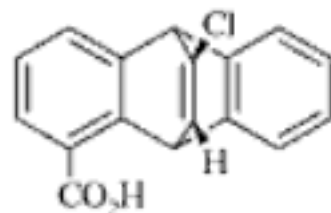
$pK_a = 4.70$

88

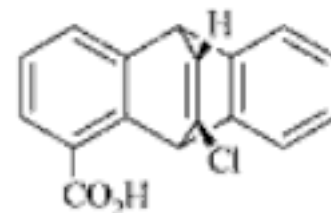


$pK_a = 4.90$

89



$pK_a = 5.72 \pm 0.01$



$pK_a = 5.90 \pm 0.01$

instituto de química

Universidade Federal do Rio de Janeiro

www.iq.ufrj.br

Tel.: 2562-7001 2562-7002

Valores de pKa e σ de ácidos, fenóis e anilinas

Grupo	pKa Anilina	pKa Fenol	pKa Ácido	σ	σ^+	σ^-
4-NH ₂	6,16	10,3	4,92	- 0,66	-1,3	
3-NH ₂	4,98	9,87	4,78	-0,16		
4-CH ₃ O	5,34	10,20	4,47	-0,27	-0,78	
3-CH ₃ O	4,24	9,65	4,09	+0,12		
4-CH ₃	5,08	10,19	4,36	-0,14	-0,3	
3-CH ₃	4,73	10,08	4,27			
H	4,63	9,95	4,19	0	0	0
4-Cl	4,15	9,38	3,98	+0,24	+0,11	
3-Cl	3,46	9,02	3,82	+0,37		
4-CN		7,95	3,55	+0,71		+0,99
3-CN	2,75	8,61	3,6	+0,62		
4-NO ₂	1,0	7,14	3,41	+0,78		+1,23
3-NO ₂	2,47	8,35	3,47	+0,71		

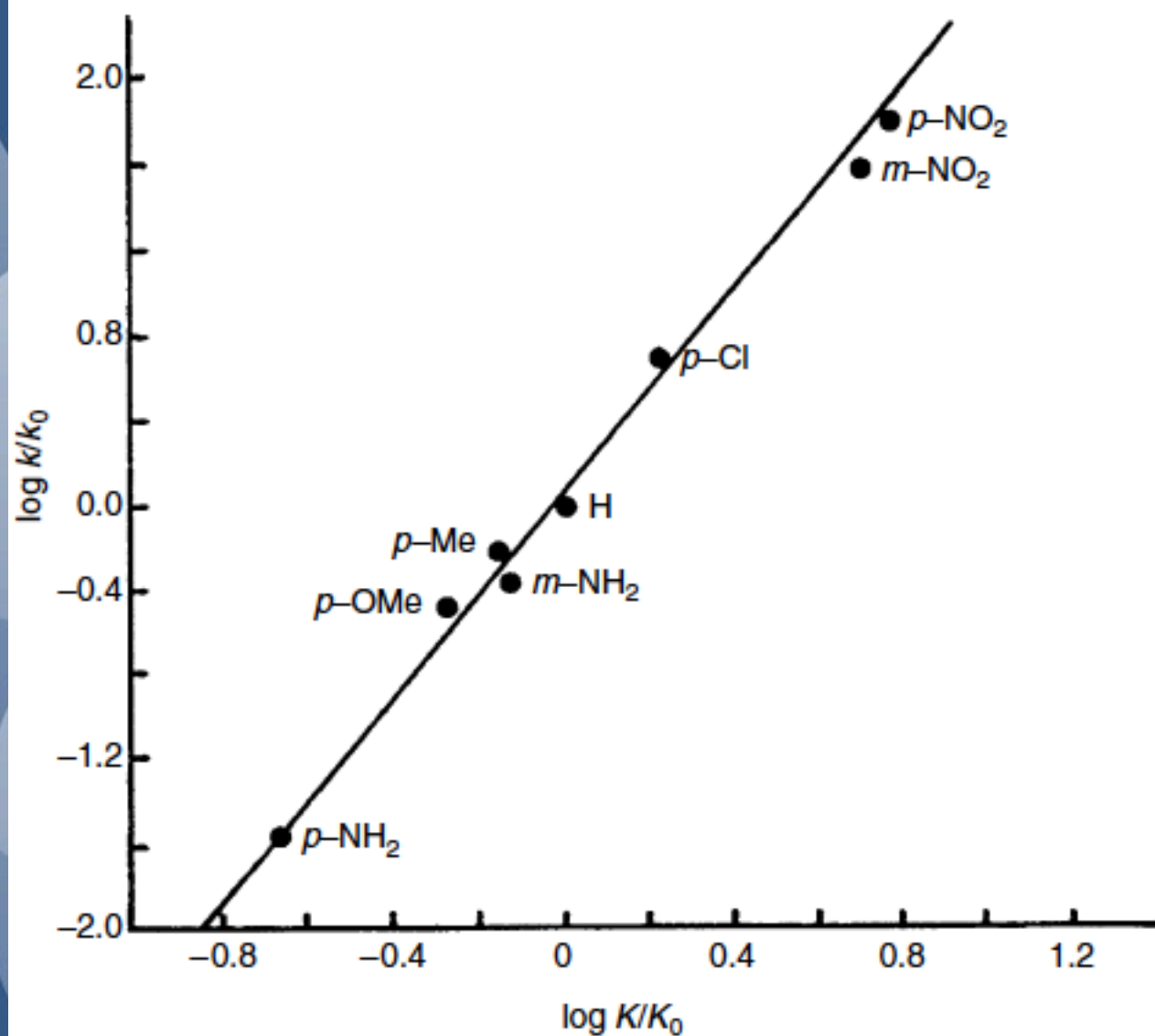


Fig. 3.25. Correlation of acid dissociation constants of benzoic acids with rates of basic hydrolysis of ethyl benzoates.

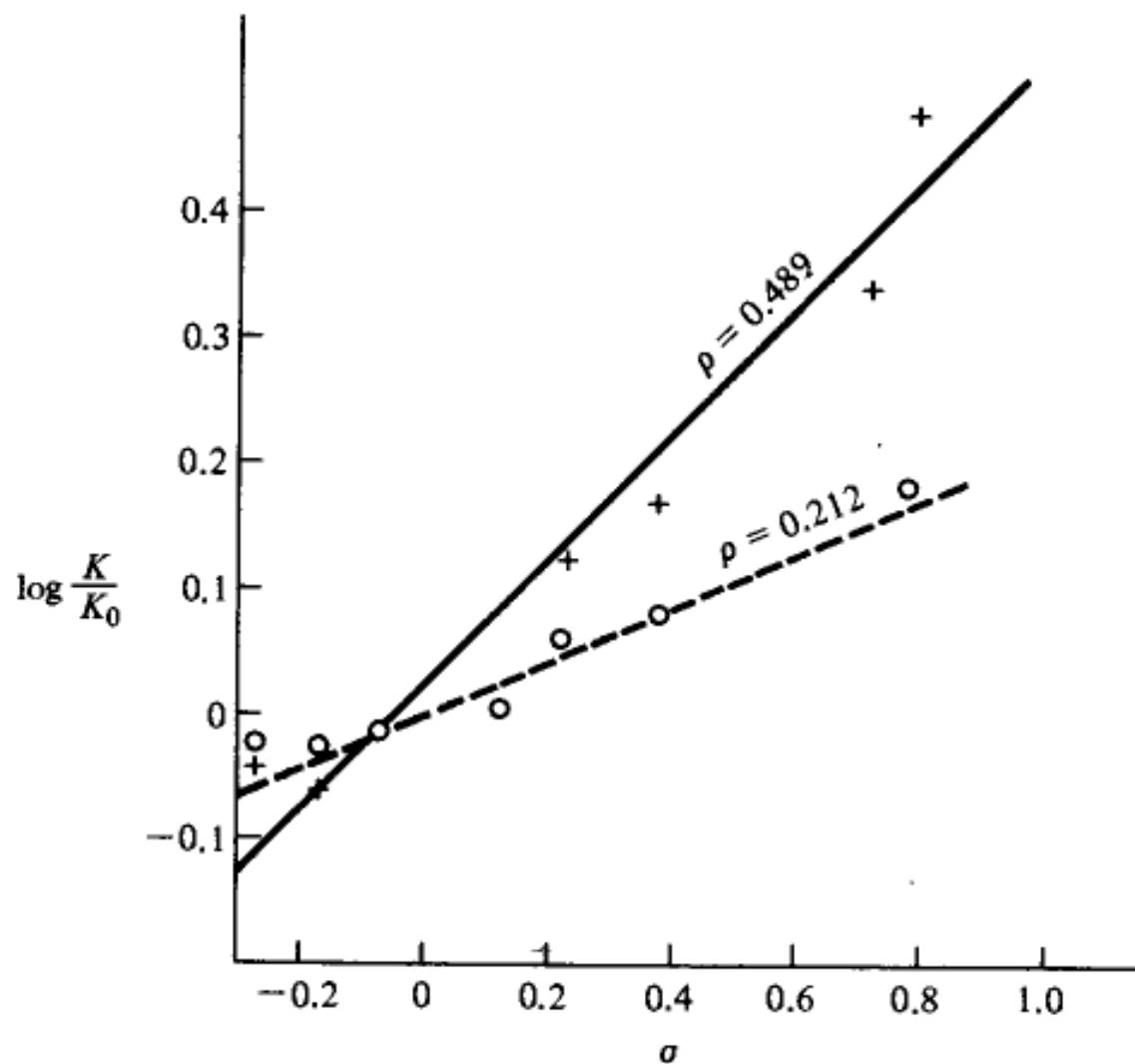


Figure 2.5 Plot of K/K_0 vs. σ constants for dissociation of $X-C_6H_4CH_2COOH$ (\times) and of $X-C_6H_4CH_2CH_2COOH$ (O). The data are from Dippy, J. F. J.; Page, J. E. *J. Chem. Soc.* **1938**, 357, and the ρ values from a least-squares analysis of the data by Jaffe, H. H. *J. Chem. Phys.* **1953**, 21, 415.

Table 2.2 σ VALUES OF COMMON SUBSTITUENTS

Substituent	$\sigma_{\text{meta}}^{a,c}$	$\sigma_{\text{para}}^{a,c}$	$\sigma^{+a,d}$	$\sigma^{-a,d}$	\mathcal{F}^b	\mathcal{R}^b
NH ₂	-0.16	-0.66	-1.3	—	0.38	-2.52
CH ₃	-0.07	-0.17	-0.31	—	0.01	-0.41
C ₆ H ₅	0.06	-0.01	-0.17	—	0.25	-0.37
OH	0.12	-0.37	-0.92	—	0.46	-1.89
OCH ₃	0.12	-0.27	-0.78	-0.2	0.54	-1.68
F	0.34	0.06	-0.07	-0.02	0.74	-0.60
I	0.35	0.18	0.13	—	0.65	-0.12
CO ₂ H	0.37	0.45	0.42	—	0.44	0.66
Cl	0.37	0.23	0.11	—	0.72	-0.24
COCH ₃	0.38	0.50	—	0.87	0.50	0.90
Br	0.39	0.23	0.15	—	0.72	—
CO ₂ R	0.37	0.45	0.48	0.68	0.47	0.67
CF ₃	0.43	0.54	—	—	0.64	0.76
CN	0.56	0.66	0.66	0.90	0.90	0.71
NO ₂	0.71	0.78	0.79	1.24	1.00	1.00

^aValues are those given by Ritchie, C. D.; Sager, W. F. *Prog. Phys. Org. Chem.* **1964**, 2, 323.

^bValues are those given by Swain, C. G.; Unger, S. H.; Rosenquist, N. R.; Swain, M. S. *J. Am. Chem. Soc.* **1983**, 105, 492.

^cValues are those given by Hansch, C.; Leo, A.; Unger, S.; Kim, K. H.; Nikaitani, D.; Liem, E. J. *J. Med. Chem.* **1973**, 16, 1207.

^d σ^+ and σ^- values are given for para substituents only. σ^+ values for some meta substituents have been measured, but they do not differ appreciably from the σ_{meta} values.

Table 3.26. Substituent Constants^a

Substituent	Structure	σ_m	σ_p	σ^+	σ^-	σ_I	σ_R
Acetamido	CH ₃ CONH	0.21	0.00	-0.60	0.46	0.28	-0.35
Acetoxy	CH ₃ CO ₂	0.37	0.45	0.19		0.38	-0.23
Acetyl	CH ₃ CO	0.38	0.50		0.84	0.30	0.20
Amino	NH ₂	-0.16	-0.66	-1.30	-0.15	0.17	-0.80
Bromo	Br	0.37	0.23	0.15	0.25	0.47	-0.25
<i>t</i> -Butyl	(CH ₃) ₃ C	-0.10	-0.20	-0.26	-0.13	-0.01	-0.18
Carboxy	HO ₂ C	0.37	0.45	0.42	0.77	0.30	0.11
Chloro	Cl	0.37	0.23	0.11	0.19	0.47	-0.25
Cyano	N≡C	0.56	0.66	0.66	1.00	0.57	0.08
Diazonium	N ⁺ ≡N	1.76	1.91		3.43		
Dimethylamino	(CH ₃) ₂ N	-0.16	-0.83	-1.70	-0.12	0.13	-0.88
Ethoxy	C ₂ H ₅ O	0.10	-0.24	-0.81	-0.28	0.28	-0.57
Ethenyl	CH ₂ =CH	-0.06	0.04	-0.16		0.11	-0.15
Ethyl	C ₂ H ₅	-0.07	-0.15	-0.30	-0.19	-0.01	-0.14
Ethynyl	HC≡C	0.21	0.23	0.18	0.53	0.29	-0.04
Fluoro	F	0.34	0.06	-0.07	-0.03	0.54	-0.48
Hydrogen	H	0.0	0.0	0.0	0.0	0.0	0.0
Hydroxy	HO	0.12	-0.37	-0.92	-0.37	0.24	-0.62
Methanesulfonyl	CH ₃ SO ₂	0.60	0.72		1.13	0.59	0.11
Methoxy	CH ₃ O	0.12	-0.27	-0.78	-0.26	0.30	-0.58
Methoxycarbonyl	CH ₃ OCO	0.37	0.45	0.49	0.74	0.32	0.11
Methyl	CH ₃	-0.07	-0.17	-0.31	-0.17	-0.01	-0.16
Methylthio	CH ₃ S	0.15	0.00	-0.60	0.06	0.30	
Nitro	NO ₂	0.71	0.78	0.79	1.27	0.67	0.10
Phenyl	C ₆ H ₅	0.06	0.01	-0.18	0.02	0.12	-0.11
Trifluoromethyl	CF ₃	0.43	0.54	0.61	0.65	0.40	0.11
Trimethylammonio	(CH ₃) ₃ N ⁺	0.88	0.82	0.41	0.77	1.07	-0.11
Trimethylsilyl	(CH ₃) ₃ Si	-0.04	-0.07	0.02		-0.11	0.12

a. Values of σ_m , σ_p , σ^+ , and σ^- are from C. Hansch, A. Leo, and R. W. Taft, *Chem. Rev.*, **91**, 165 (1991); Values of σ_I and σ_R are from M. Charton, *Prog. Phys. Org. Chem.*, **13**, 119 (1981).

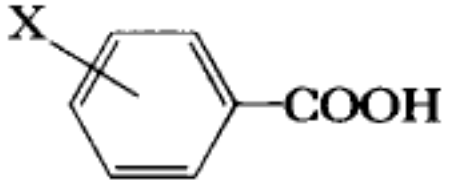
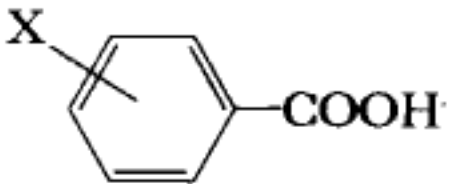
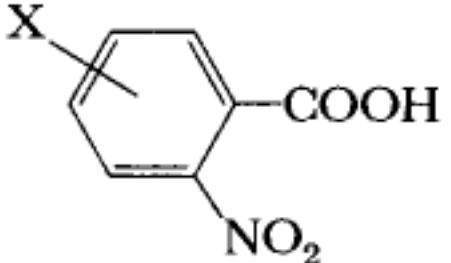
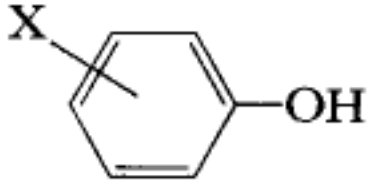
odequímica

Federal do Rio de Janeiro

www.iq.ufrj.br

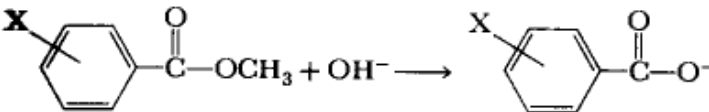
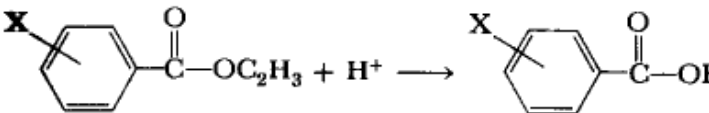
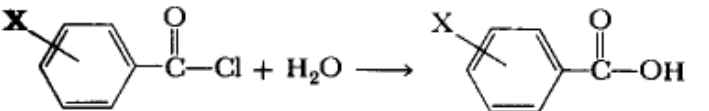
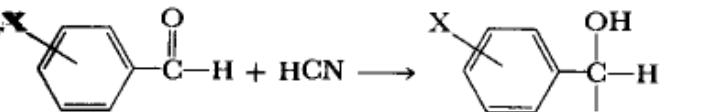
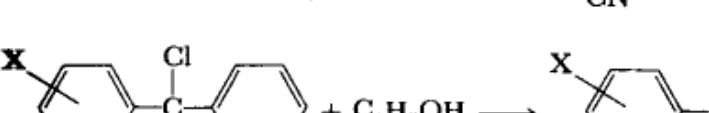
562-7001 2562-7002

Table 2.3 ρ VALUES FOR ACID DISSOCIATIONS^a

Acid	Solvent	Temperature (°C)	ρ
	H ₂ O	25	1.00
	C ₂ H ₅ OH	25	1.957
	H ₂ O	25	0.905
	H ₂ O	25	2.113

^aReprinted with permission from Jaffe, H. H. *Chem. Rev.* **1953**, *53*, 191. Copyright 1953 American Chemical Society. Refer to this source for more complete data.

Table 2.4 ρ VALUES DERIVED FROM RATES OF HETEROLYTIC REACTIONS^a

Reaction	Solvent	Temperature (°C)	ρ
	60% acetone	25	2.229
	60% acetone	100	0.106
	50% acetone	0	0.797
	95% ethanol	20	2.329
	ethanol	25	-5.090

^aReprinted with permission from Jaffe, H. H. *Chem. Rev.* **1953**, *53*, 191. Copyright 1953 American Chemical Society. Refer to this source for more complete data.

Química
Instituto de Química
Rio de Janeiro

www.iq.ufrj.br
Tel.: 2562-7001 2562-7002

Table 3.27. Reaction Constants^a

Reaction		p
ArCO ₂ H	\rightleftharpoons ArCO ₂ ⁻ + H ⁺ , water	1.00
ArCO ₂ H	\rightleftharpoons ArCO ₂ ⁻ + H ⁺ , ethanol	1.57
ArCH ₂ CO ₂ H	\rightleftharpoons ArCH ₂ CO ₂ ⁻ + H ⁺ , water	0.56
ArCH ₂ CH ₂ CO ₂ H	\rightleftharpoons ArCH ₂ CH ₂ CO ₂ ⁻ + H ⁺ , water	0.24
ArOH	\rightleftharpoons ArO ⁻ + H ⁺ , water	2.26
ArNH ₃ ⁺	\rightleftharpoons ArNH ₂ + H ⁺ , water	3.19
ArCH ₂ NH ₃ ⁺	\rightleftharpoons ArCH ₂ NH ₂ + H ⁺ , water	1.05
ArCO ₂ C ₂ H ₅ + ⁻ OH	\longrightarrow ArCO ₂ ⁻ + C ₂ H ₅ OH	2.61
ArCH ₂ CO ₂ C ₂ H ₅ + ⁻ OH	\longrightarrow ArCH ₂ CO ₂ ⁻ + C ₂ H ₅ OH	1.00
ArCH ₂ Cl + H ₂ O	\longrightarrow ArCH ₂ OH + HCl	-1.31
ArC(CH ₃) ₂ Cl + H ₂ O	\longrightarrow ArC(CH ₃) ₂ OH + HCl	-4.48
ArNH ₂ + PhCOCl	\longrightarrow ArNHCOPh + HCl	-3.21

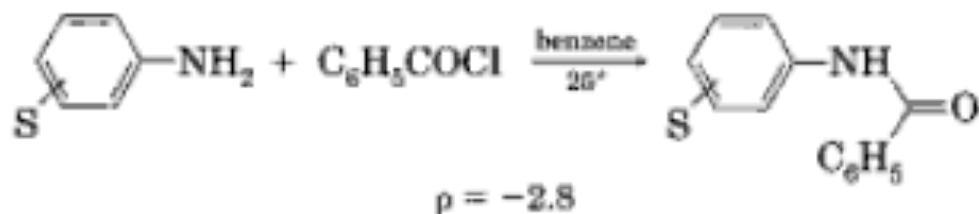
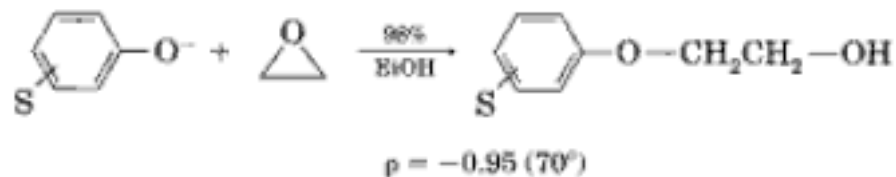
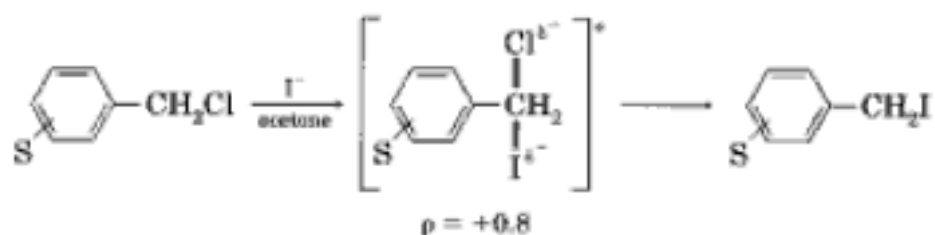
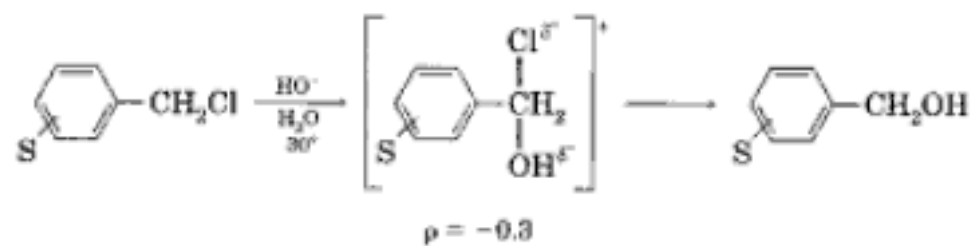
a. From R. P. Wells, *Linear Free Energy Relationships*, Academic Press, New York, 1968, pp. 12-13.

Departamento de Química

Instituto de Física de Federal do Rio de Janeiro

www.iq.ufrj.br

2562-7001 2562-7002



instituto de química

Universidade Federal do Rio de Janeiro

www.iq.ufrj.br

Tel.: 2562-7001 2562-7002

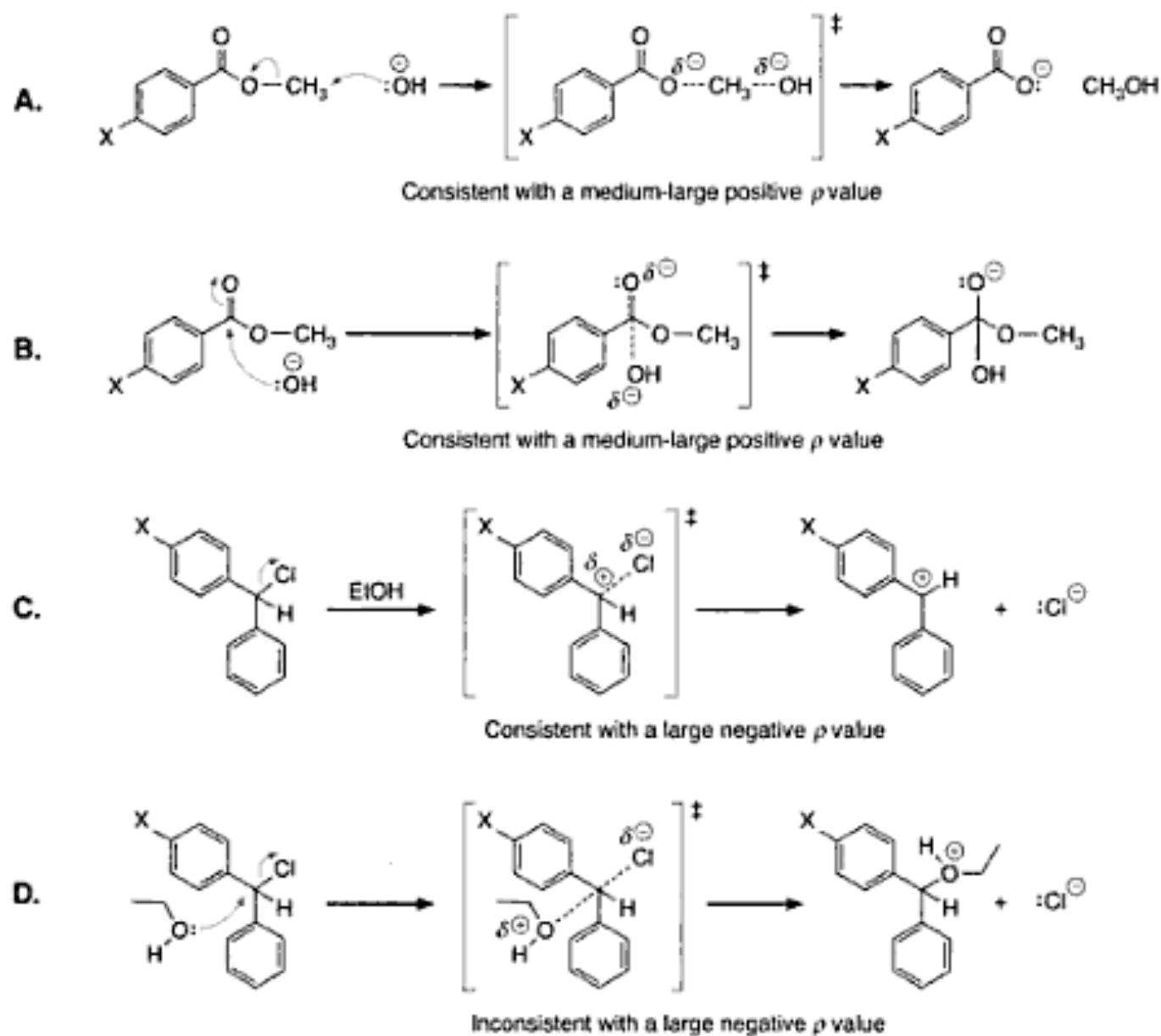


Figure 8.12

Examples of reactions and expected ρ values. A ρ value of 2.33 for the reactions shown in **A** and **B** does not distinguish between these two mechanistic alternatives. A ρ value of -5.09 for the first step of the substitution reaction given in **C** and **D** supports alternative **C**.

Table 8.6
A Summary of the Most Common LFERs Used*

LFER	Substituent constant	Reference reaction	Used to study	Reaction constant and its meaning relative to the reference reaction
Hammett	σ	Ionization of benzoic acid	Inductive effects	$\rho > 1$, more sensitive $0 < \rho < 1$, less sensitive $\rho = 0$, not sensitive $\rho < 0$, positive charge created
Hammett	σ^-	Ionization of phenol	Resonance in addition to induction	Same as above
Hammett	σ^+	Ionization of phenyldimethyl chloromethane	Resonance in addition to induction	Same as above
Taft	E_s	Hydrolysis of methyl esters	Steric size	$\delta > 1$, more sensitive $\delta < 1$, less sensitive
Grunwald-Winstein	Y	Ionization of <i>t</i> -BuCl in 80:20 EtOH/H ₂ O	Ionizing power of solvent	$m > 1$, more sensitive $m < 1$, less sensitive
Swain-Scott	n	S _N 2 reaction of methyl iodide in water	Nucleophilicity	$s > 1$, more sensitive $s < 1$, less sensitive
Brønsted	pK_a	Acidity in water	Nucleophilicity	$\beta_{Nuc} > 1$, more sensitive $\beta_{Nuc} < 1$, less sensitive
Brønsted	pK_a	Acidity in water	Leaving group departure	$\beta_{LG} > -1$, more sensitive $\beta_{LG} < -1$, less sensitive
Brønsted	pK_a	Acidity in water	Acid catalysis	$\alpha > 1$, more sensitive $\alpha < 1$, less sensitive
Brønsted	pK_a	Acidity in water	Basic catalysis	$\beta > 1$, more sensitive $\beta < 1$, less sensitive

*Not all of the LFERs discussed in the text are included in Table 8.6. Only those most likely to be encountered in modern research are included.

Swain-Lupton

- Relação com dois parâmetros
 - Efeito de campo (F)
 - Efeito de Ressonância (R)

$$\log\left(\frac{k}{k_0}\right) = fF + rR$$



instituto de química
Universidade Federal do Rio de Janeiro

www.iq.ufrj.br

Tel.: 2562-7001 2562-7002

TABLE 6.9 Selected Substituent Constants^a

Substituent	σ_p	σ_m	σ_p^+	F	R	σ^*	E_s	σ_x	σ_α	σ_F	σ_R	σ_R^-
H	0.000	0.000	0.000	0.000	0.000	0.490		0.000	0.000	0.000	0.000	0.000
CH ₃	-0.170	-0.069	-0.256	-0.052	-0.141	0.000	0.00	0.00	-0.35	0.00	-0.08	
CH ₂ CH ₃	-0.151	-0.07	-0.218	-0.065	-0.114	-0.1000	-1.31					
C(CH ₃) ₃	-0.197	-0.10	-0.275	-0.104	-0.138	-0.3000	-2.78	-0.02	-0.75	-0.00	-0.07	
C ₆ H ₅	-0.01	0.06	-0.085	0.139	-0.088	0.600	-3.82					
CO ₂ H	0.45	0.37	0.472	0.552	0.140	2.94						
CO ₂ ⁻	0.0	-0.1	0.109	-0.221	0.124	0.92						
COCH ₃	0.502	0.376	0.567	0.534	0.202	1.65		-0.04	-0.55	0.26	0.17	0.00
CO ₂ CH ₂ CH ₃	0.45	0.37	0.472	0.552	0.140	2.26						
CO ₂ CH ₃						2.00		0.04	-0.49	0.24	0.16	0.00
CN	0.660	0.56	0.674	0.847	0.184	3.64	-0.51	0.30	-0.46	0.60	0.10	0.00
CF ₃	0.54	0.43	0.582	0.631	0.186	2.6	-2.40	0.02	-0.25	0.44	0.07	0.00
NH ₂	-0.66	-0.16	-1.111	0.037	-0.681	0.62	-0.61	0.33	-0.16	0.14	-0.52	-0.28
N(CH ₃) ₃ ⁺	0.82	0.88	0.636	1.460	0.000	4.16		0.46	-0.26	0.65	0.18	0.00
NO ₂	0.778	0.710	0.740	1.109	0.155	4.66	-2.52					
OH	-0.37	0.121	-0.853	0.487	-0.643	1.37	-0.55	0.54	-0.03	0.30	-0.38	-0.28
OCH ₃	-0.268	0.115	-0.648	0.413	-0.500	1.77	-0.55	0.55	-0.17	0.25	-0.42	-0.27
F	0.062	0.337	-0.247	0.708	-0.336	3.19	-0.55	0.70	0.13	0.44	-0.25	
Cl	0.227	0.373	0.035	0.690	-0.161	2.94	-0.97	0.16	-0.43	0.45	-0.17	
Br	0.232	0.391	0.025	0.727	-0.176	2.80	-1.16					
I	0.18	0.352	-0.034	0.672	-0.197	2.22	-1.62					
SCH ₃	0.00	0.15	-0.164	0.332	-0.186	1.56	-1.07	-0.15	-0.68	0.25	-0.27	
S(CH ₃) ₂ ⁺	0.90	1.00	0.660	1.687	-0.042	5.09						
Si(CH ₃) ₃	-0.070	-0.040	-0.040	-0.093	-0.047	-0.14	-2.91		-0.072	-0.02	0.02	0.00

^aValues of σ_p and σ_m are taken from reference 196. Values of σ_p^+ , F , and R are taken from reference 211. Values of σ^* and E_s are taken from reference 217. Values of σ_x , σ_α , σ_F , σ_R , and σ_R^- are taken from reference 216.

Conjugação Direta: Hammett dá falhas

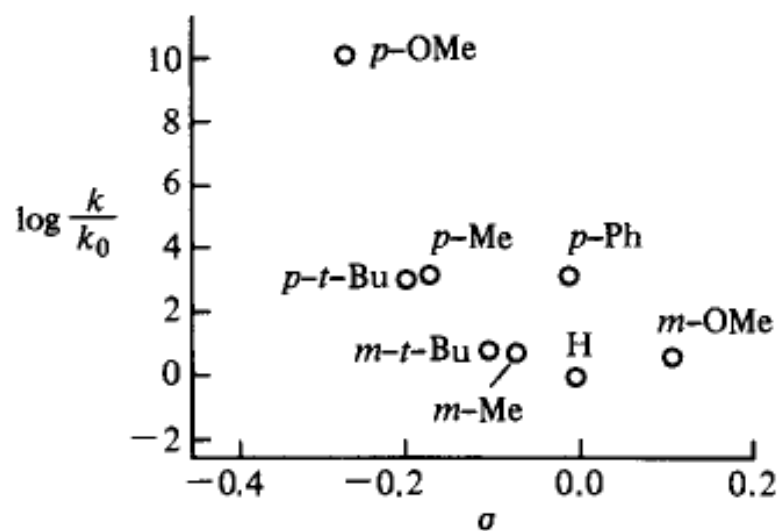
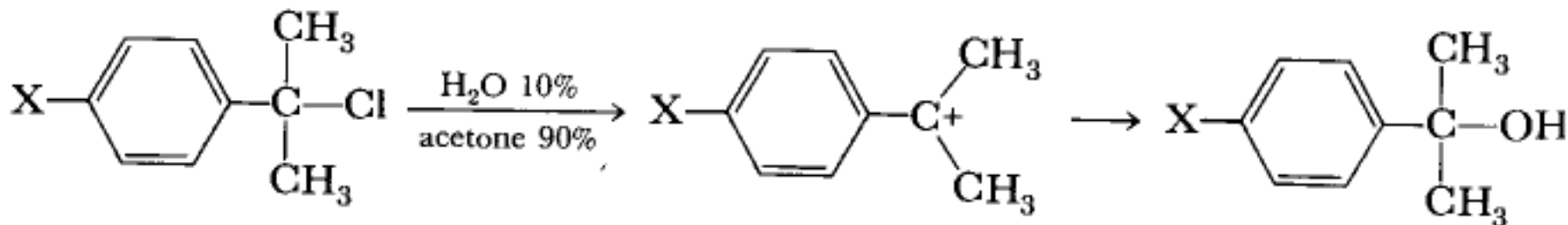


Direct resonance interaction with cationic center

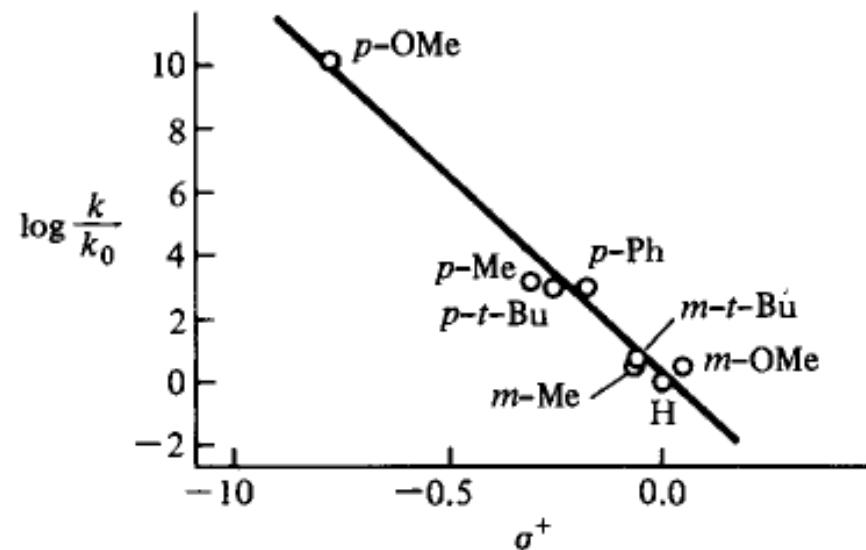


Direct resonance interaction with anionic center

Falhas para σ : Uso de σ^+



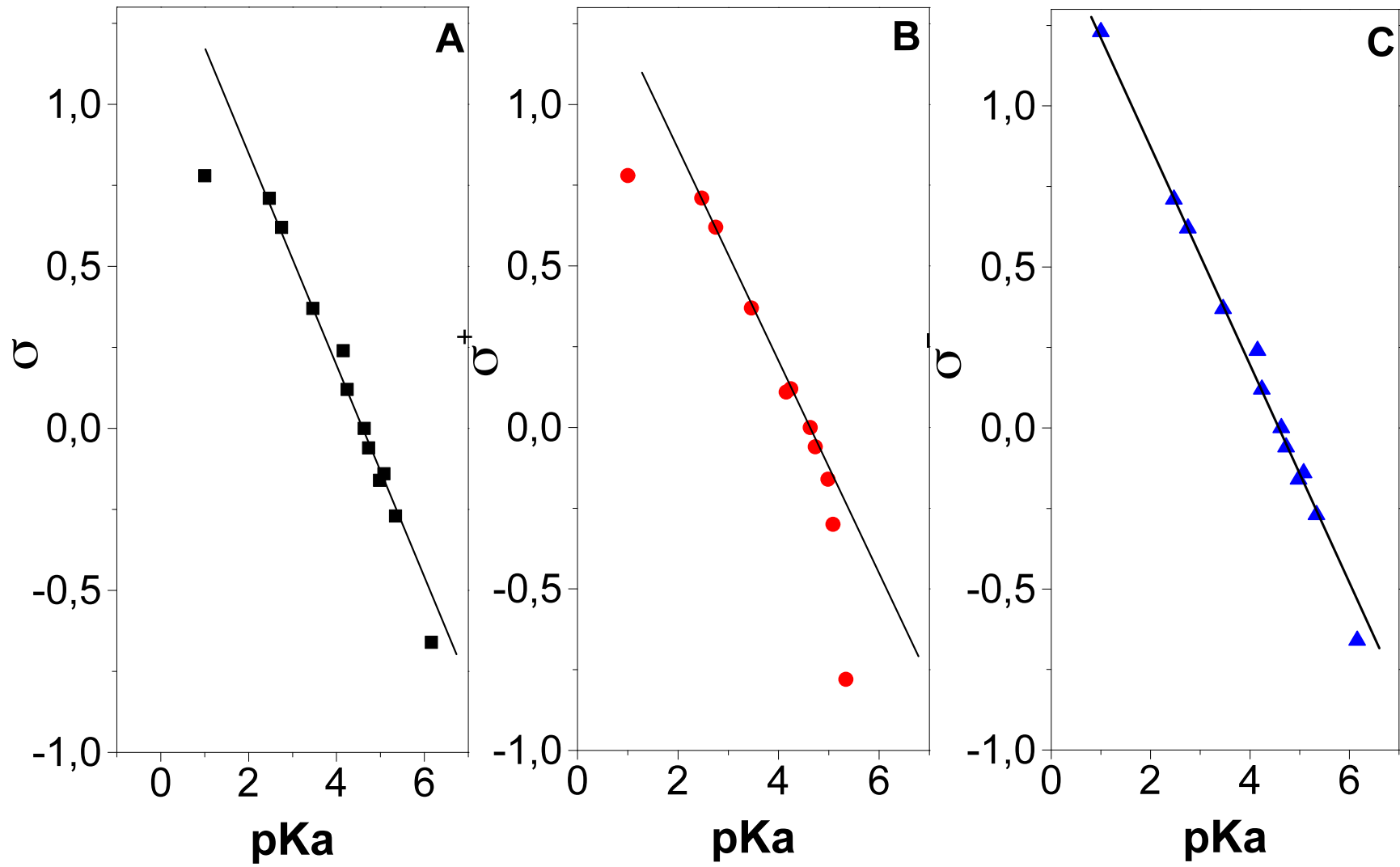
(a)



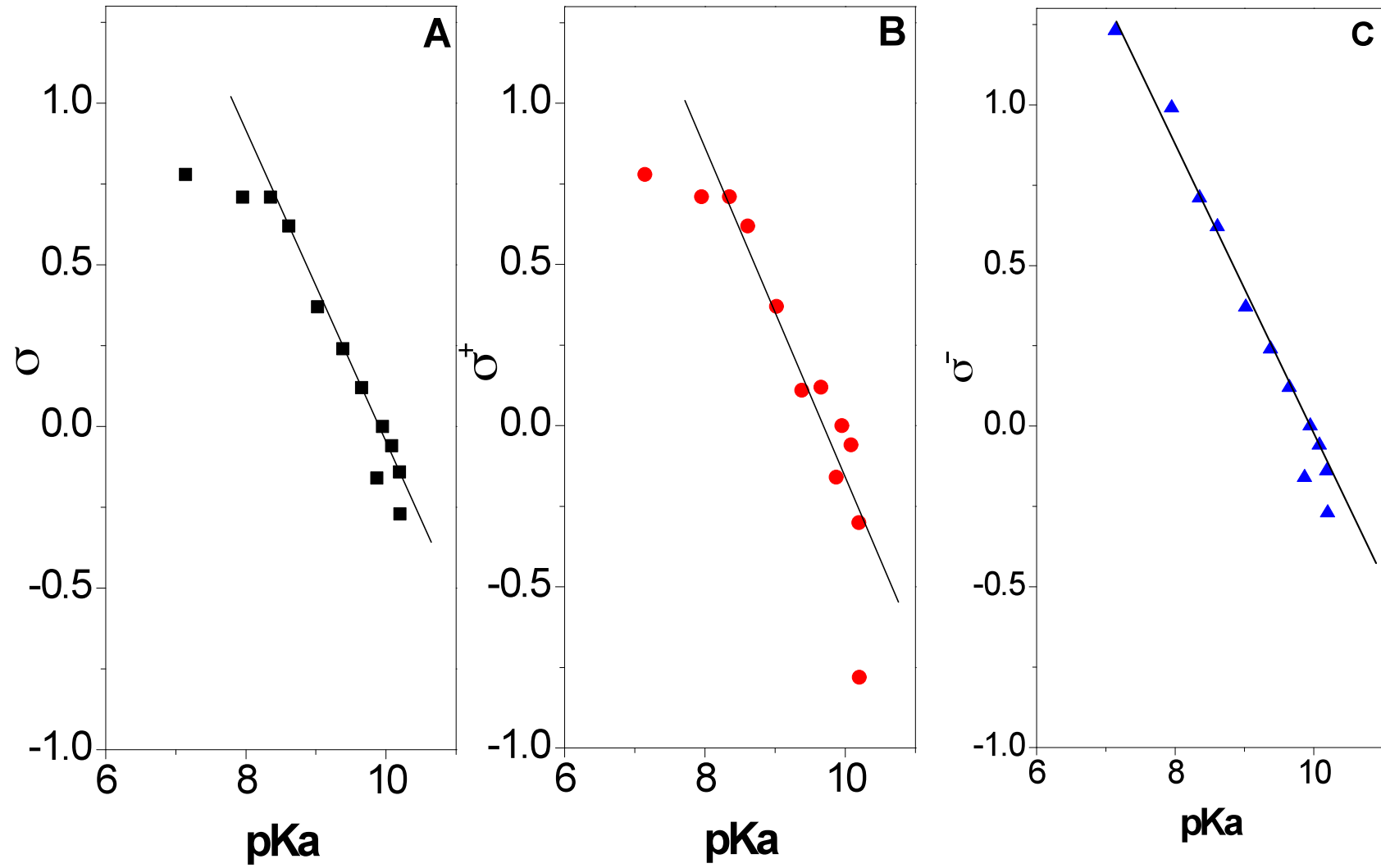
(b)

Figure 2.7 Bromination of monosubstituted benzenes in acetic acid. In (a) data are plotted against σ ; in (b) against σ^+ . Reprinted with permission from Brown, H. C.; Okamoto, Y. *J. Am. Chem. Soc.* **1958**, *80*, 4979. Copyright 1958 American Chemical Society.

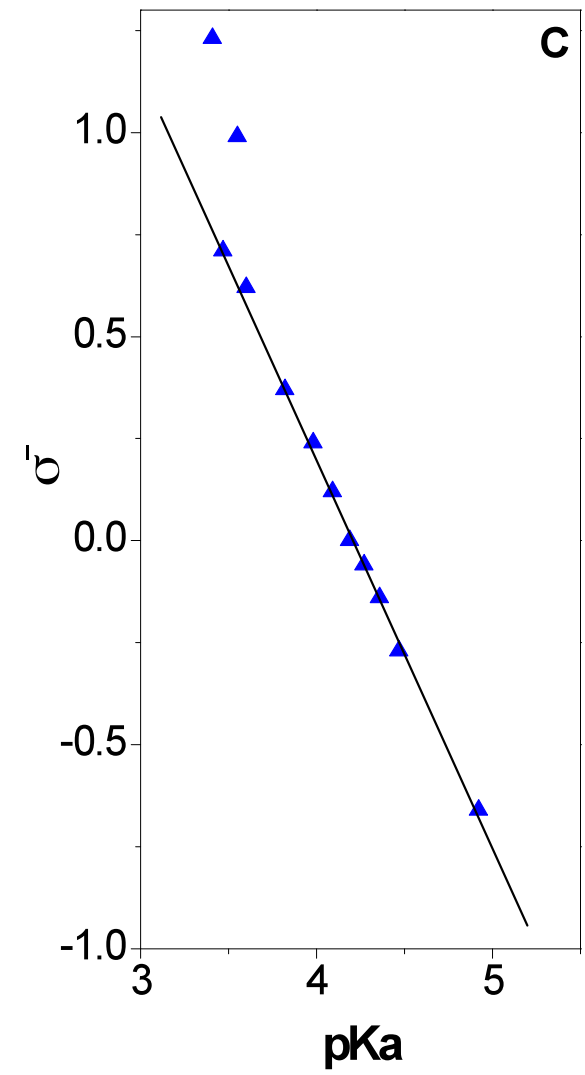
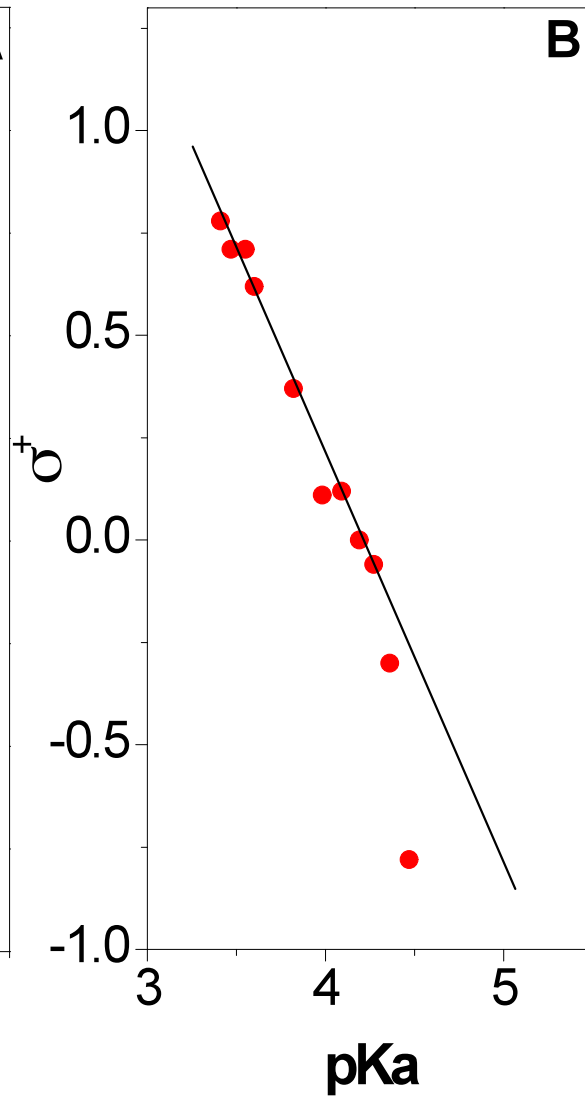
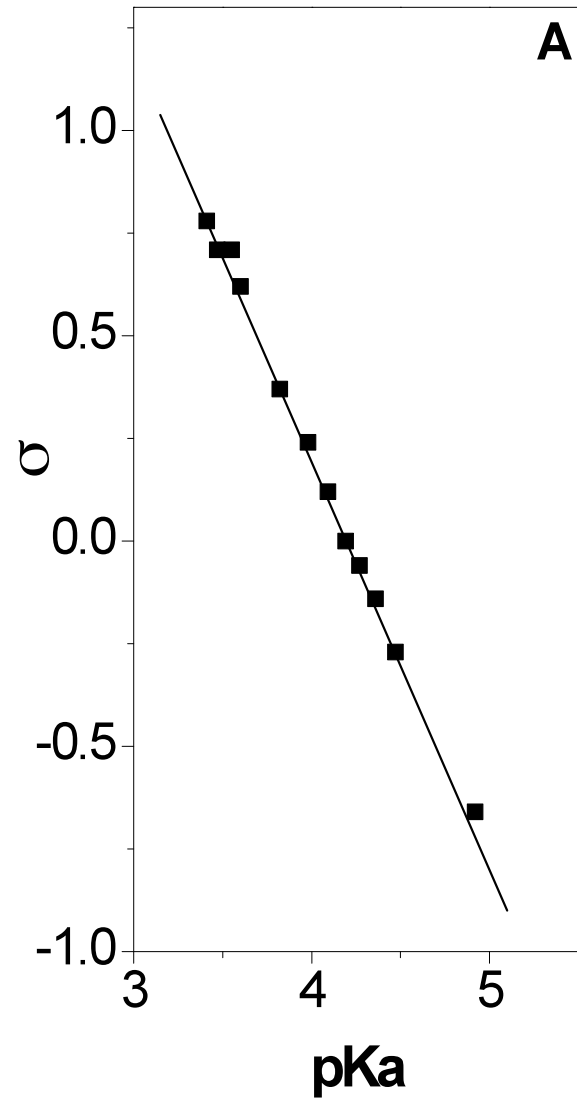
Anilina



Fenol



Ácido



Equações de Brown-Okamoto

Para ressonância direta (através do anel) entre G e o centro da reação:

1- Carga *positiva* no centro reacional, está sendo estabilizada pelo substituinte G (*doador de elétrons*):

$$\text{Log } (k_{\text{G}} \text{ ou } K_{\text{G}} / k_{\text{H}} \text{ ou } K_{\text{H}}) = \rho^{+}_{(\text{Reação ou equilíbrio})} \sigma^{+}_{\text{G}}$$

2- Carga *negativa* no centro reacional, está sendo estabilizada pelo substituinte G (*aceitador de elétrons*):

$$\text{Log } (k_{\text{G}} \text{ ou } K_{\text{G}} / k_{\text{H}} \text{ ou } K_{\text{H}}) = \rho^{-}_{(\text{Reação ou equilíbrio})} \sigma^{-}_{\text{G}}$$

3- Casos "intermediários", Equação de Yukawa-Tsuno

$$\text{Log } (k_{\text{G}} \text{ ou } K_{\text{G}} / k_{\text{H}} \text{ ou } K_{\text{H}}) = \rho(\sigma + r(\sigma^{+}_{\text{G}} \text{ ou } \sigma^{-}_{\text{G}} - \sigma))$$

Onde r = grau de participação da ressonância direta do grupo G com o centro da reação.

Para $r = 0$, não há ressonância direta → Eq. de Hammett,

Para $r = 1$, a ressonância é direta → Brown-Okamoto



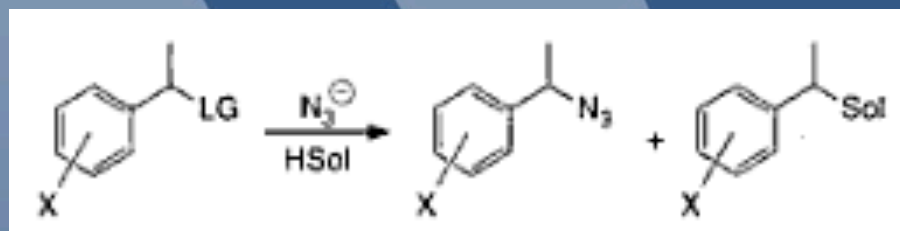
instituto de química

Universidade Federal do Rio de Janeiro

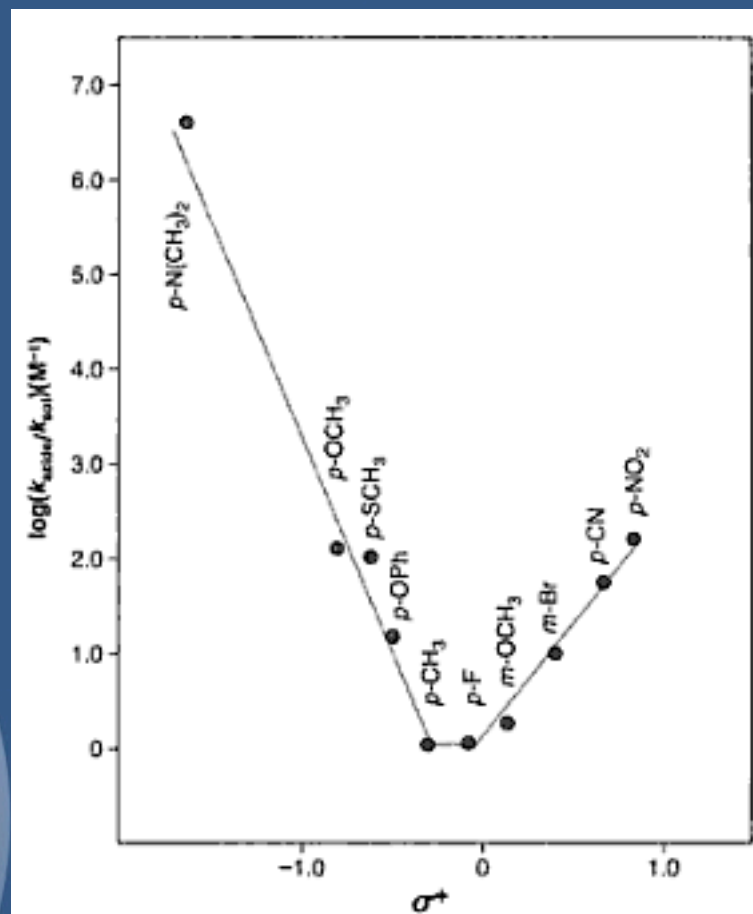
www.iq.ufrj.br

Tel.: 2562-7001 2562-7002

Desvios da Linearidade em Hammett



- Mudança de S_N1 para S_N2



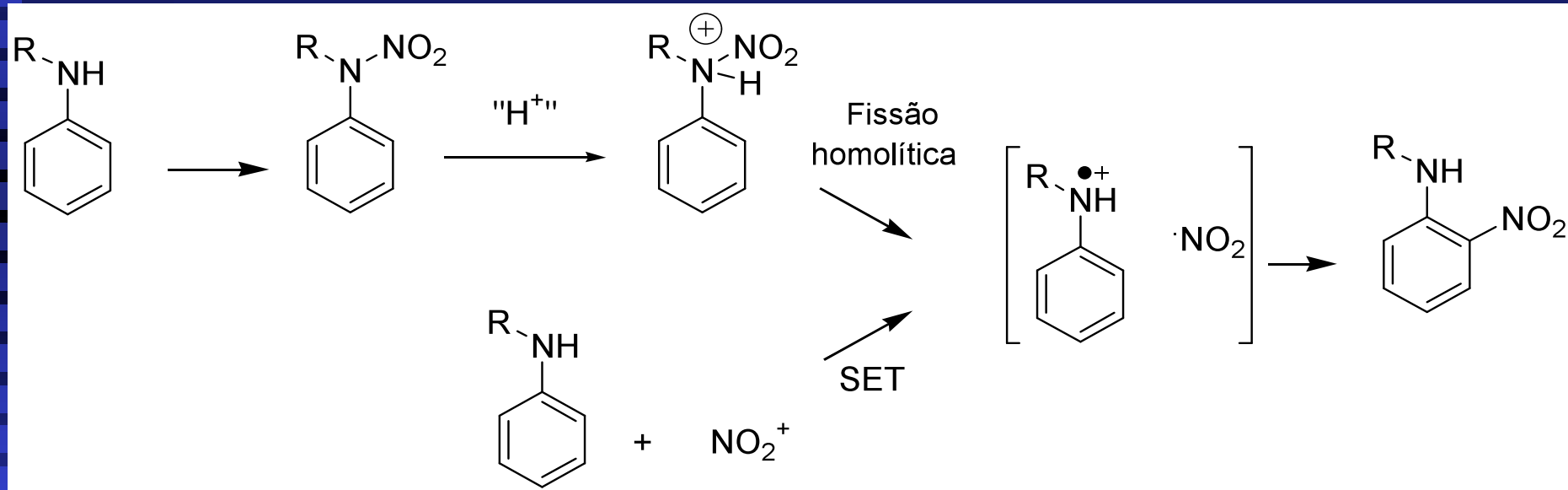
Richard, J. P., and Jencks, W. P. "A Simple Relationship between Carbocation Lifetime and Reactivity-Selectivity Relationships for the Solvolysis of Ring-Substituted 1-Phenylethyl Derivatives." *J. Am. Chem. Soc.*, **104**, 4689-4691 (1982).

ca
neiro

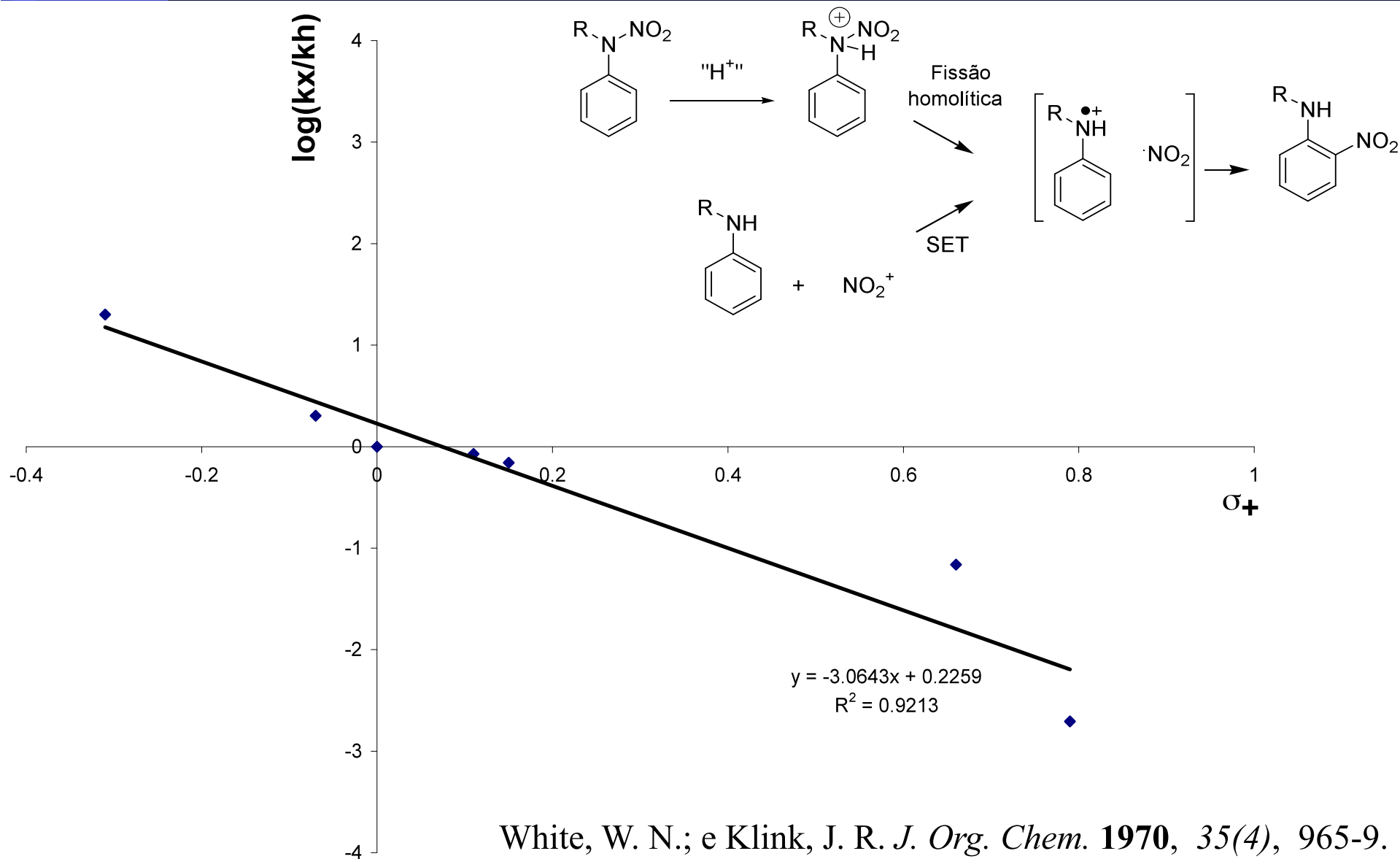
www.fq.ufj.br

Tel.: 2562-7001 2562-7002

Rearrangement of N-Nitroanilines

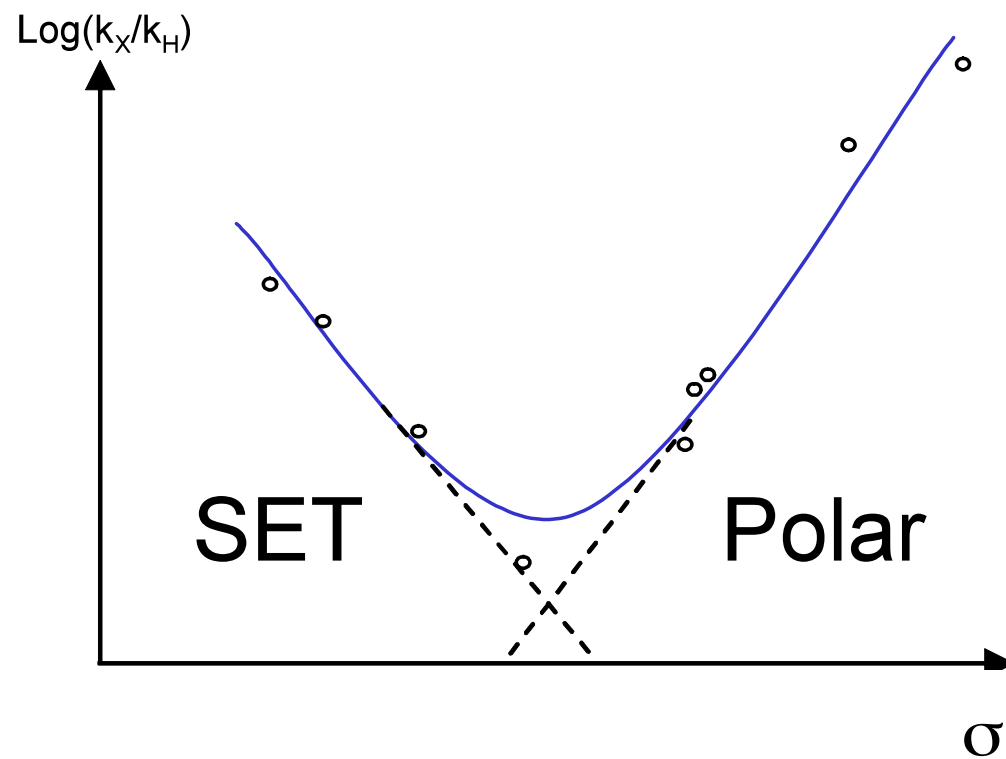
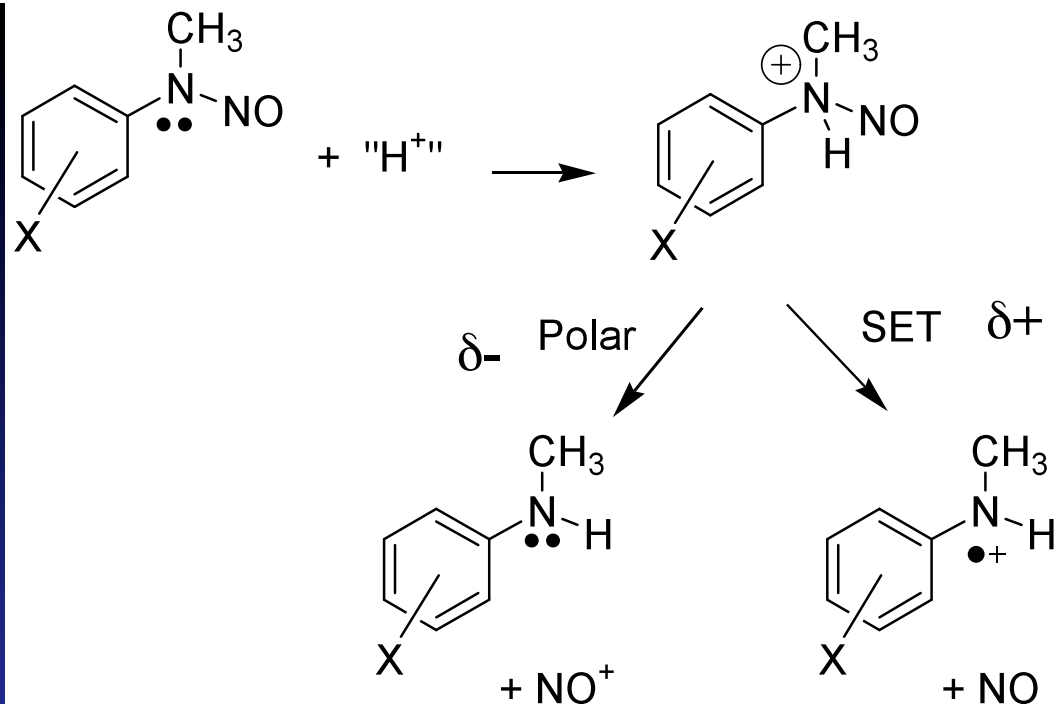


Hammett correlation



White, W. N.; e Klink, J. R. *J. Org. Chem.* **1970**, *35*(4), 965-9.

Rearrangement of N-Nitrosoanilines



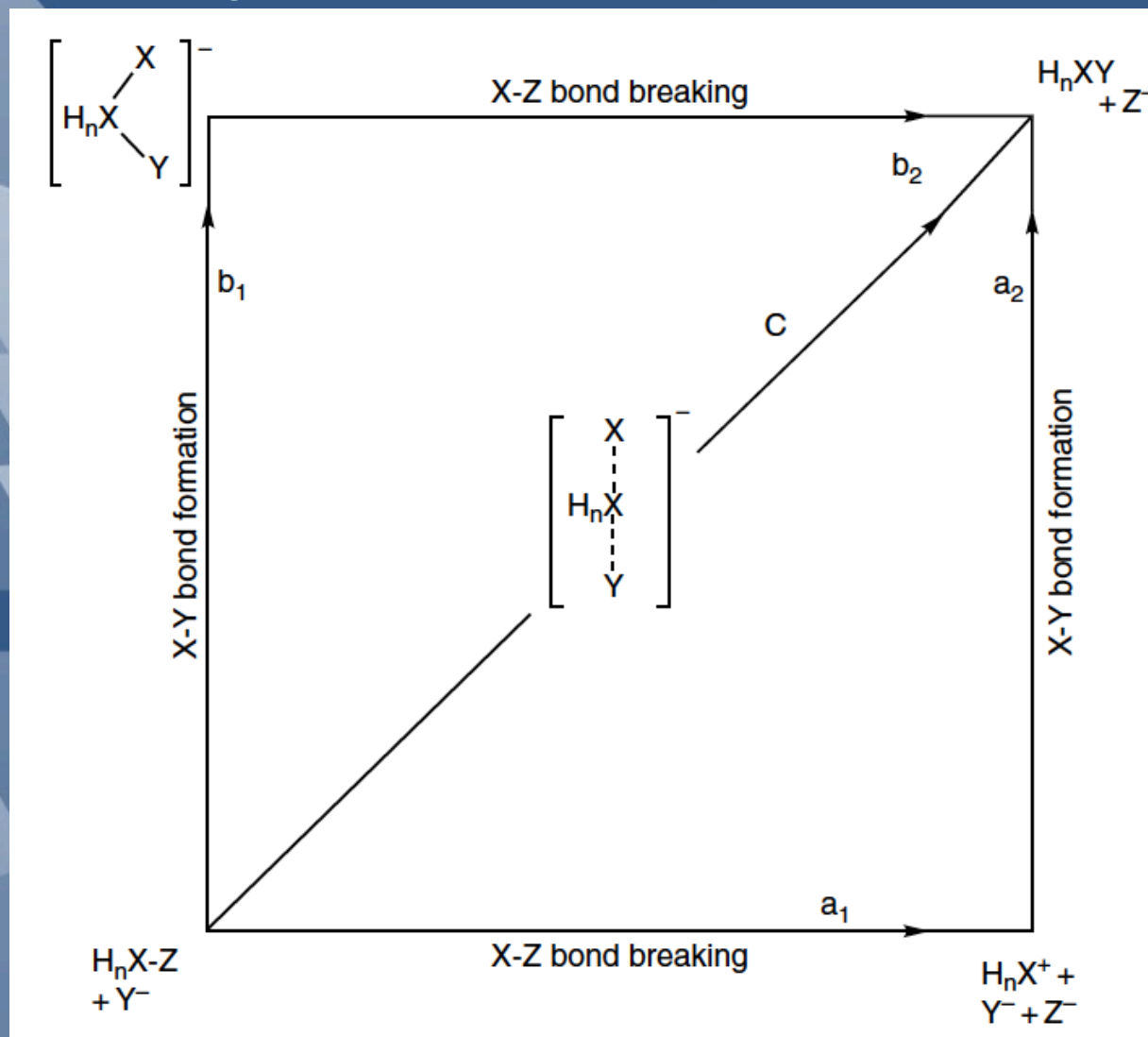
Diagramas de Albery-More O'Ferrall-Jencks



R. A. More O'Ferrall

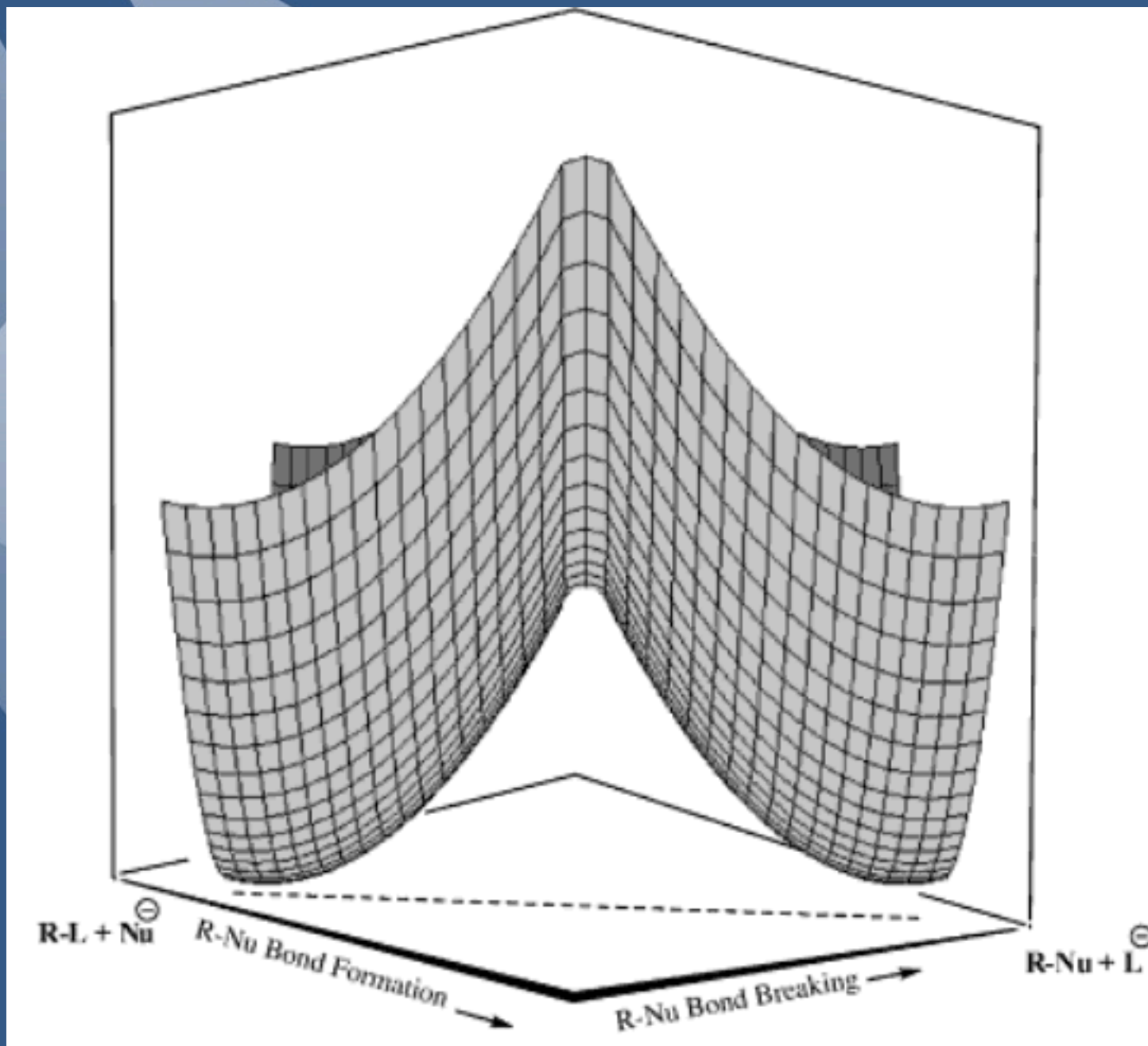


William P. Jencks



W. J. Albery, *Prog. React. Kinetics*, **4**, 353 (1967);
 R. A. More O'Ferrall, *J. Chem. Soc. B*, 274 (1970);
 W. P. Jencks, *Chem. Rev.*, **72**, 705 (1972).

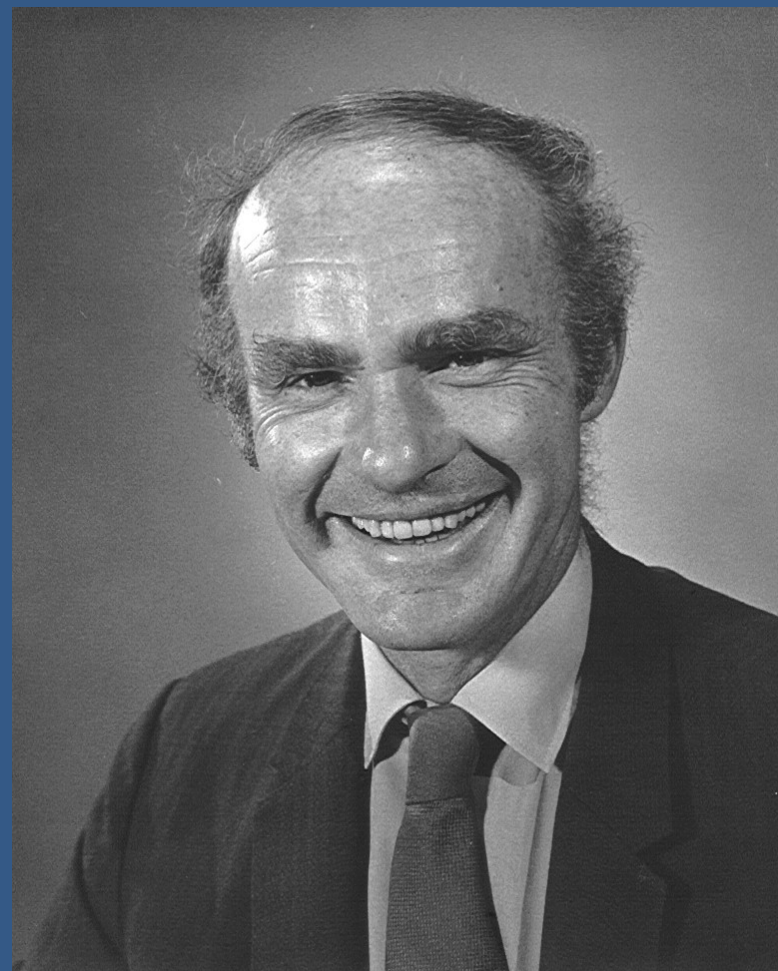
www.iq.ufrj.br
 Tel.: 2562-7001 2562-7002



Postulado de Hammond

“If two states, as, for example, a transition state and an unstable intermediate, occur consecutively during a reaction process and have nearly the same energy content, their interconversion will involve only a small reorganization of molecular structure.”

G. S. Hammond, *J. Am. Chem. Soc.*, **77**, 334
(1955)



www.iq.ufrj.br

Tel.: 2562-7001 2562-7002

George Simms Hammond (1921 - 2005)

“If two states, as, for example, a transition state and an unstable intermediate, occur consecutively during a reaction process and have nearly the same energy content, their interconversion will involve only a small reorganization of molecular structure.”

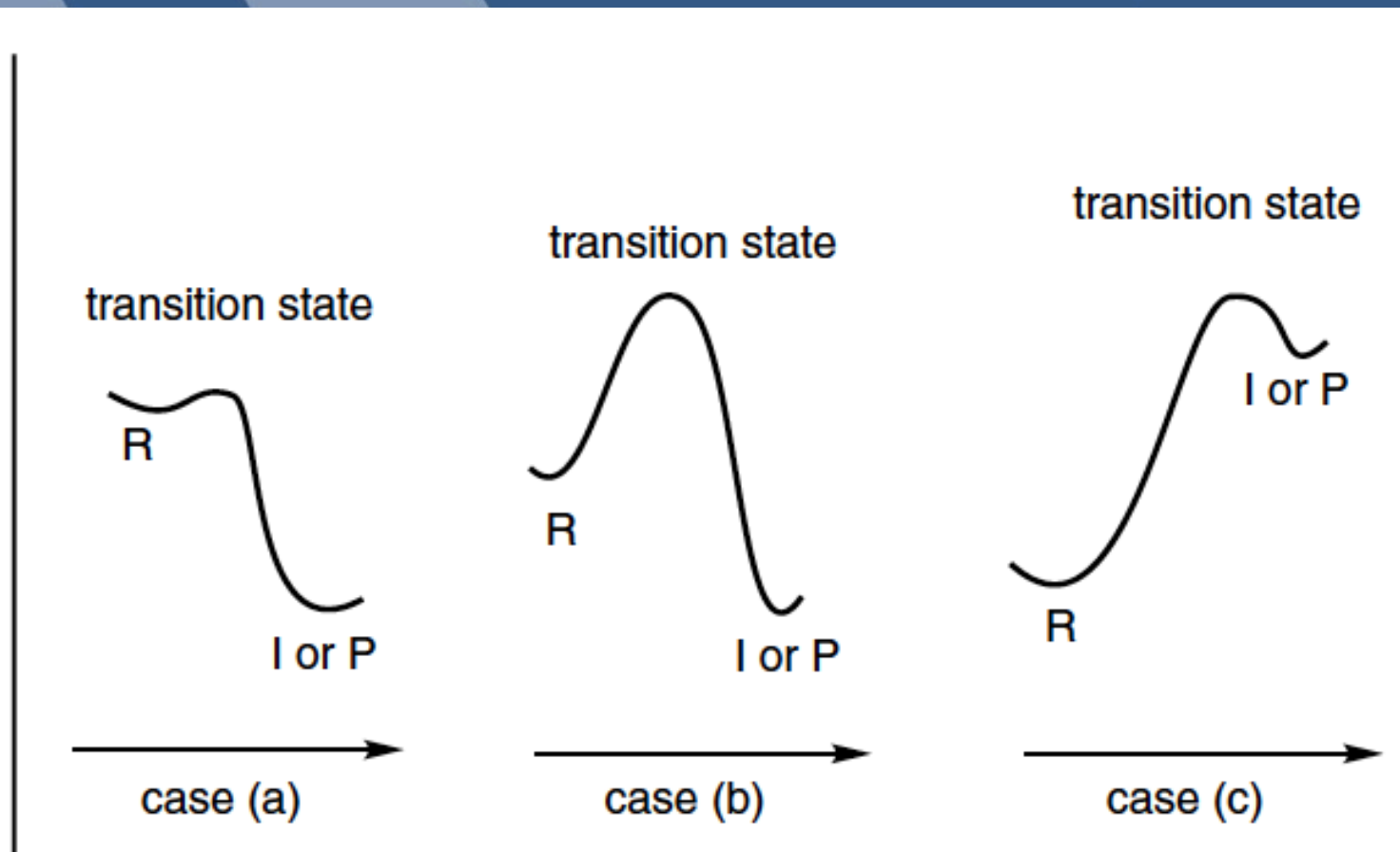


Fig. 3.11. Reaction energy diagram illustrating Hammond's postulate: (a) early transition structure resembles reactant, (b) midpoint transition structure resembles neither reactant or product, (c) late transition structure resembles intermediate or product.

Gráfico da E_a x ΔH

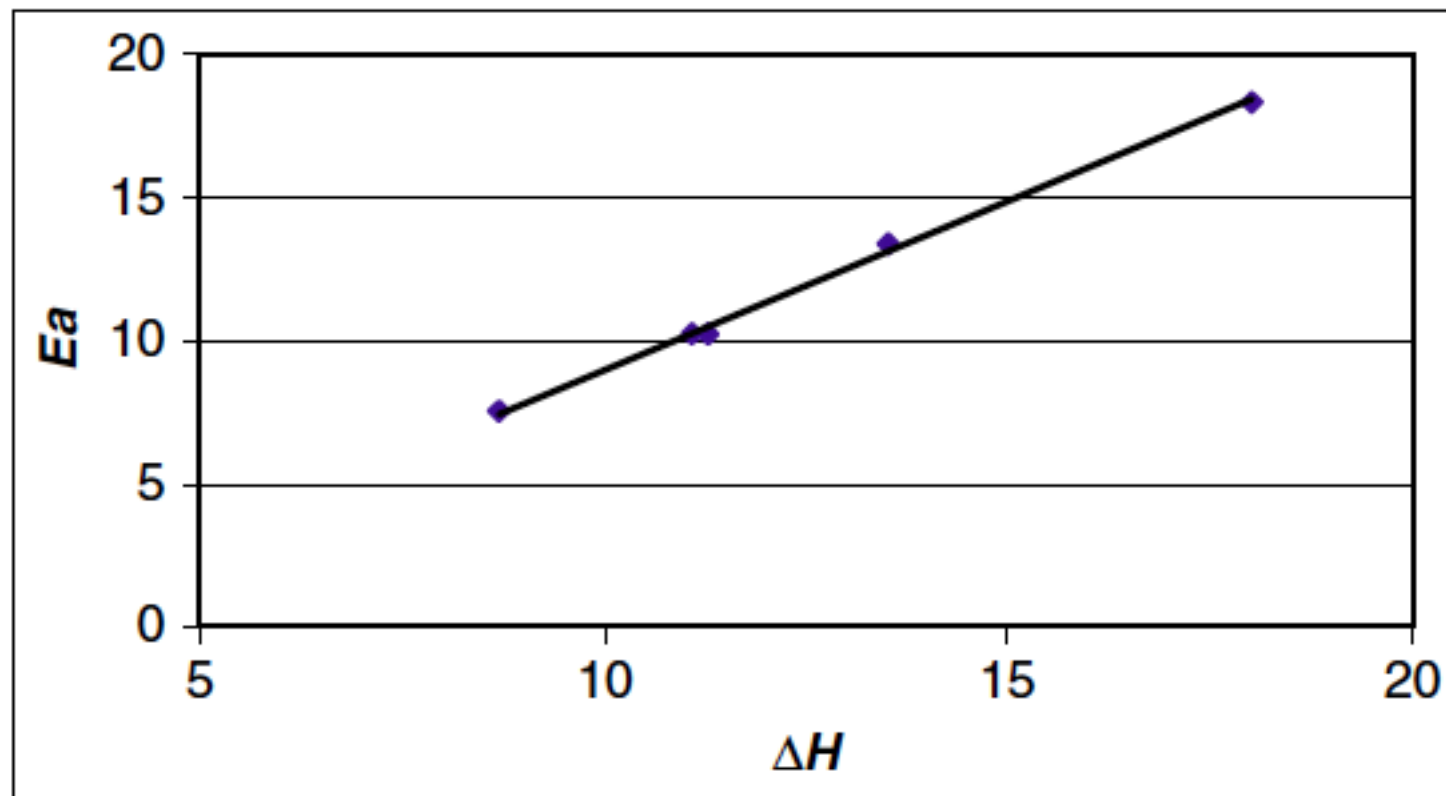


Fig. 3.10. Plot of E_a for abstraction of hydrogen from alkanes by bromine atom versus ΔH .

Fatores que alteram a
acidez e a basicidade:
efeitos da estrutura
e do solvente

3

Acidez e basicidade são conceitos termodinâmicos

□ Acidez/basicidade são regidos pela equação de Gibbs

□ $\Delta G^\circ = \Delta H^\circ - T\Delta S^\circ$

ΔH° = estabilidade, “conforto molecular”

ΔS° = liberdade

O pK_a correlaciona-se linearmente com o ΔG°



$$K_{eq} = \frac{[A^-][H_3O^+]}{[HA][H_2O]}$$

$$K_{eq}[H_2O] = \frac{[A^-][H_3O^+]}{[HA]} \approx cte = K_a$$

$$pK_a = -\log K_a$$

$$pK_a = -\log (K_{eq} \cdot [H_2O])$$

O pK_a correlaciona-se linearmente com o ΔG°

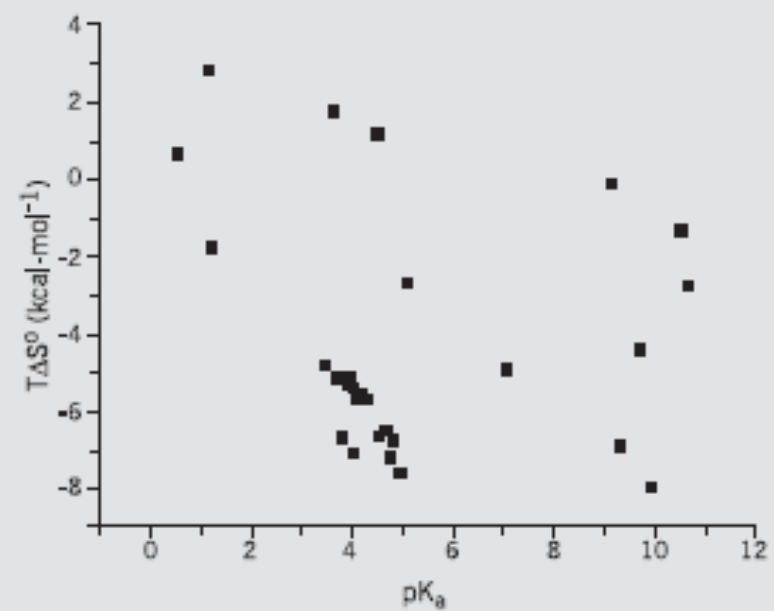
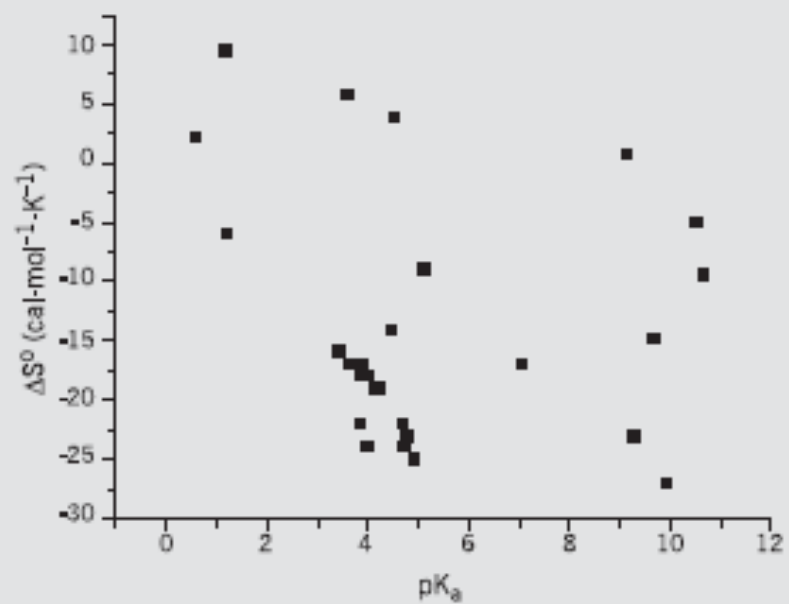
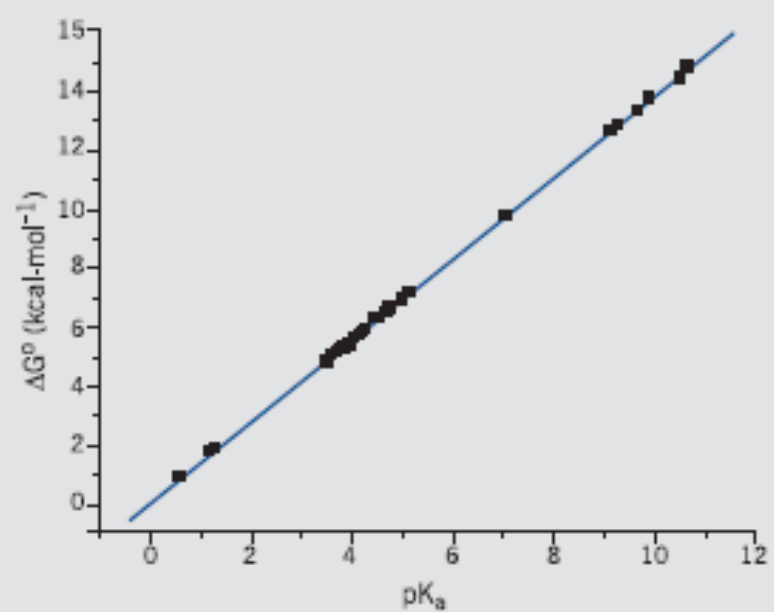
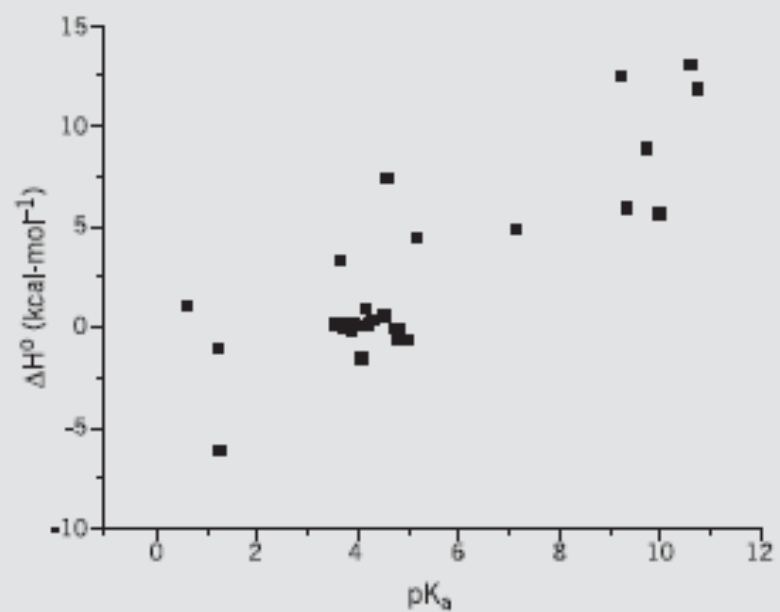
$$pK_a = -\log K_{eq.} - \log[H_2O]$$

$$-\log K_{eq.} = pK_a + \log[H_2O]$$

$$\Delta G^\circ = -RT \ln K_{eq} = 2,303 RT (-\log K_{eq})$$

$$\Delta G^\circ = 2,303 RT (pK_a + \log[H_2O])$$

$$\Delta G^\circ = 1,4 pK_a + 2,34 \quad (T = 298 \text{ K})$$

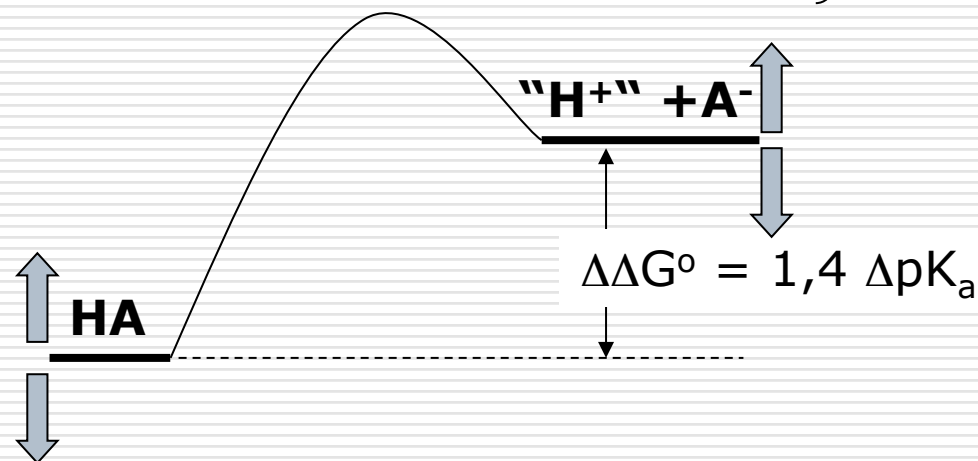


Tudo o que afeta ΔG° deverá afetar posição do equilíbrio

- Estabilidade dos reagentes
- Estabilidade do produto
- Solvatação nos reagentes e nos produtos

Propriedade Intrínseca

Depende do meio



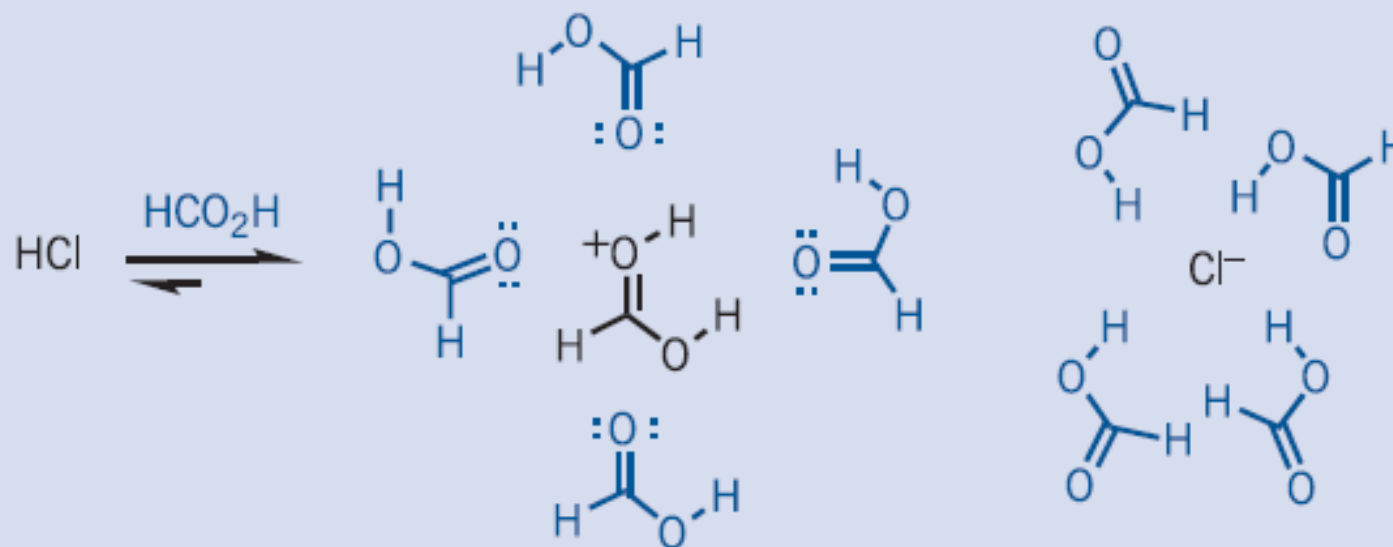
Estrutura Molecular & Solvatação

Solvatação Eletrofílica

ácido fórmico
solvente polar prótico

solvatação
nucleofílica

solvatação
eletrofílica

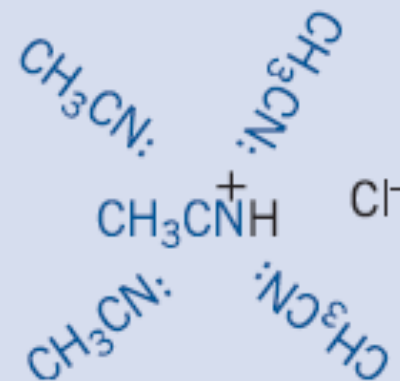
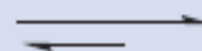


Solvatação Nucleofílica

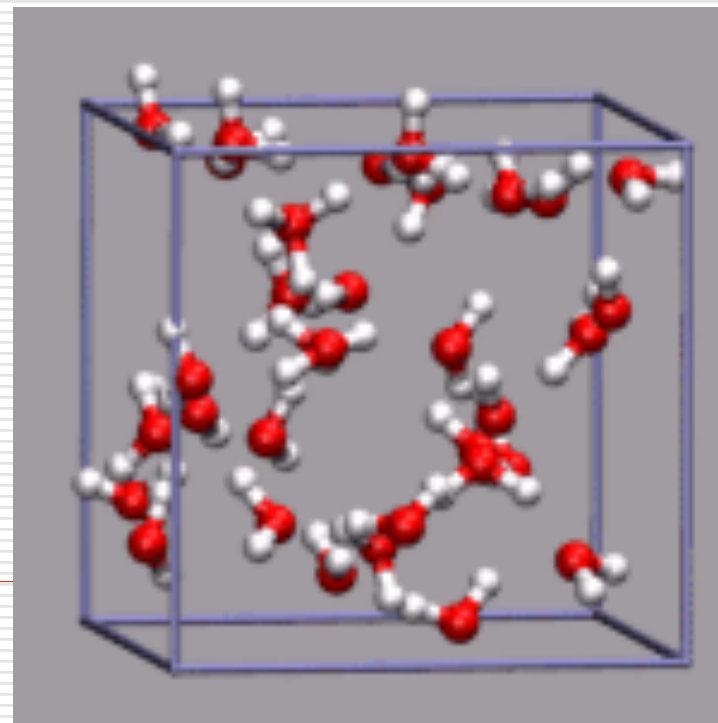
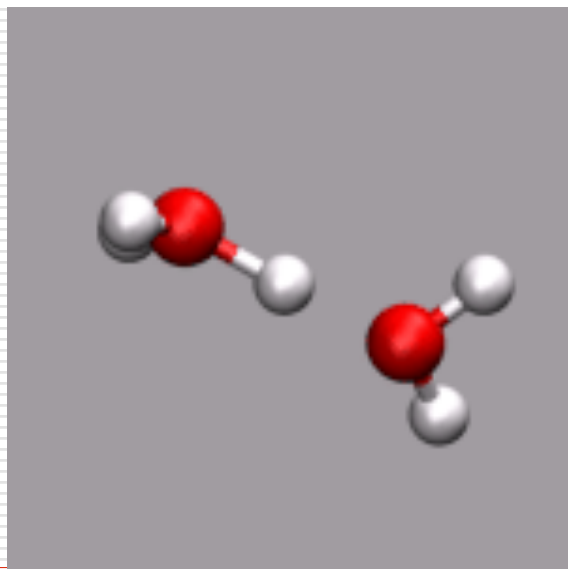
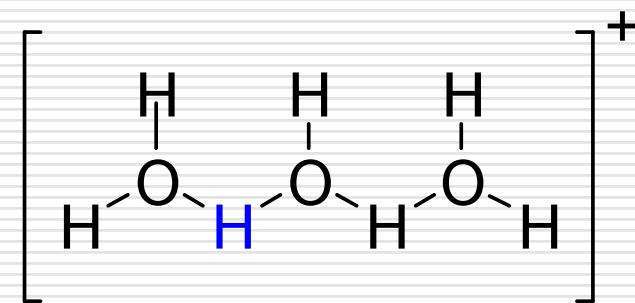
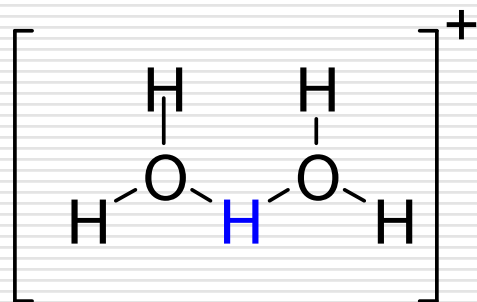
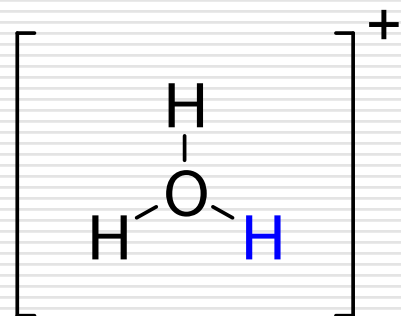
acetonitrila
solvente polar aprótico

H-Cl

$\text{CH}_3\text{CN:}$



Solvatação Nucleofílica do H_3O^+

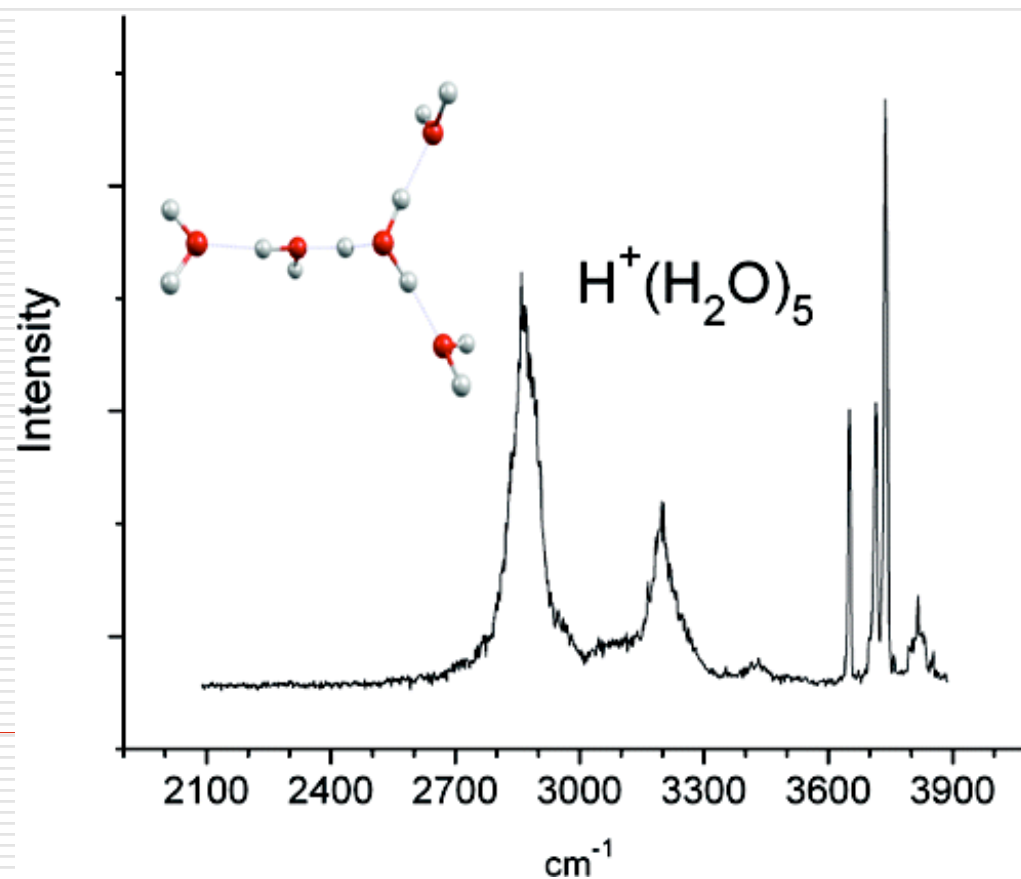


Infrared Spectroscopy of Small Protonated Water Clusters, $\text{H}^+(\text{H}_2\text{O})_n$ ($n = 2-5$): Isomers, Argon Tagging, and Deuteration

G. E. Douberly,[†] R. S. Walters,[†] J. Cui,[‡] K. D. Jordan,[‡] and M. A. Duncan^{*,†}

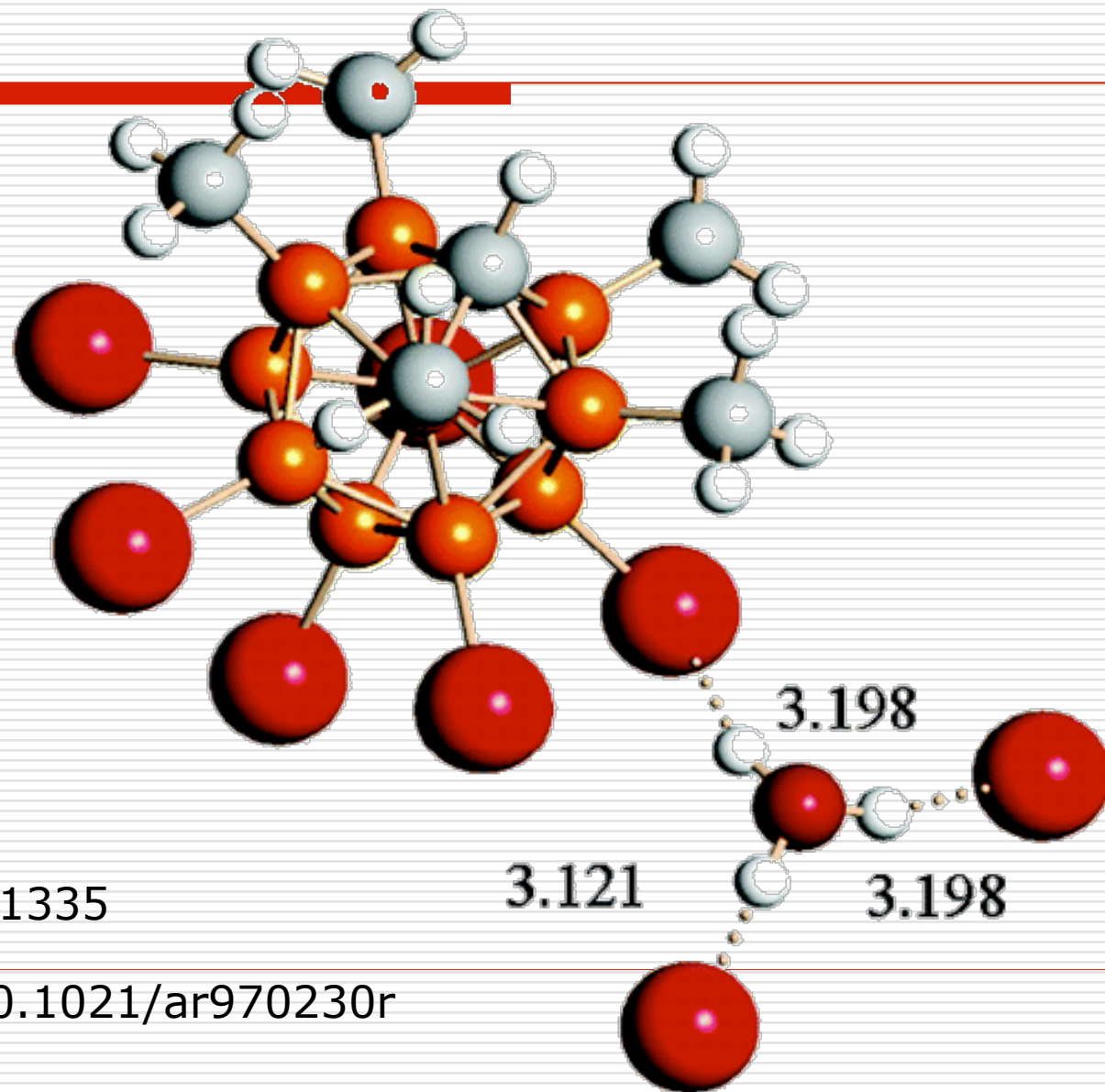
Department of Chemistry, University of Georgia, Athens, Georgia 30602-2556, and Department of Chemistry, University of Pittsburgh, 219 Parkman Avenue, Pittsburgh, Pennsylvania 15260

Received: January 26, 2010; Revised Manuscript Received: March 1, 2010



DOI: 10.1021/jp100778s

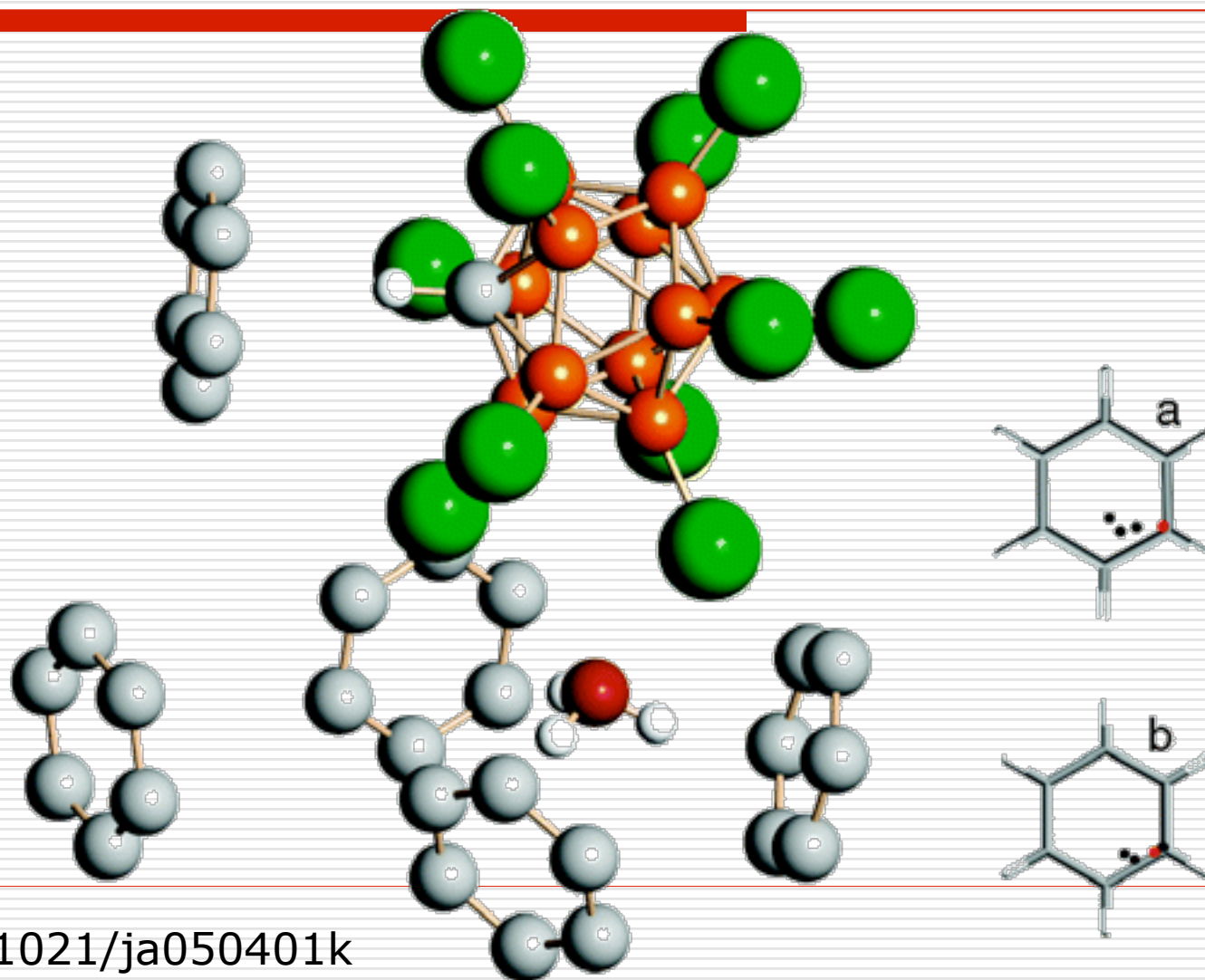
Estrutura do $\text{H}_3\text{O}^+\{\text{CHB}_{11}\text{Me}_5\text{Br}_6\}^-$



DOI: 10.1021/ja0551335

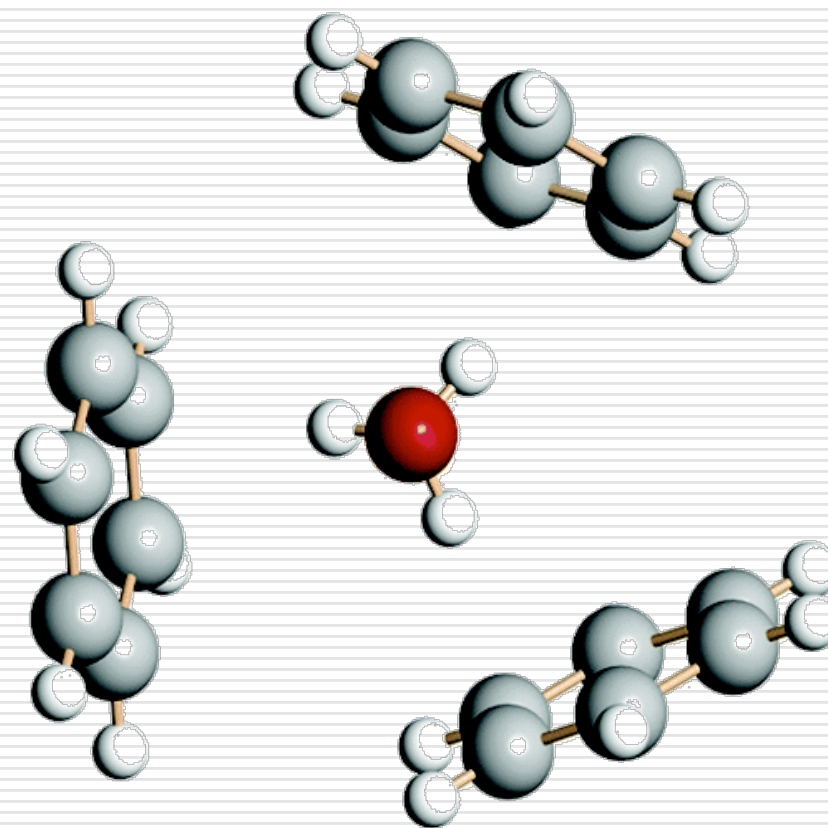
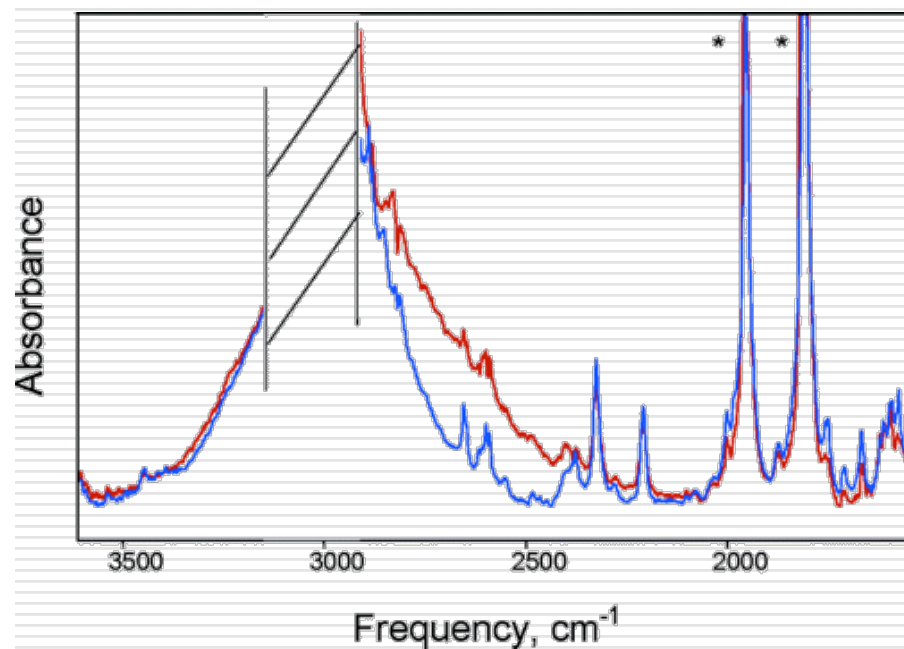
Carboranas: DOI: 10.1021/ar970230r

Estrutura (raios-X) do $[\text{H}_3\text{O}\cdot 3\text{C}_6\text{H}_6]$ $[\text{CHB}_{11}\text{Cl}_{11}]\cdot\text{C}_6\text{H}_6$



DOI: 10.1021/ja050401k

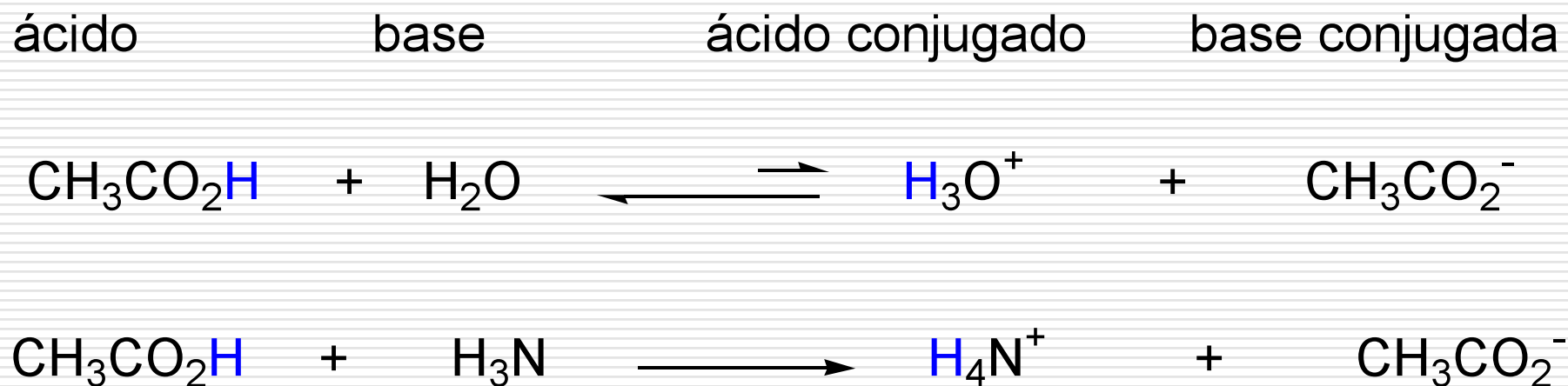
Estrutura do $\text{H}_3\text{O}^+ \cdot 3\text{PhH}$ na estrutura de raios-X do sal $\text{CHB}_{11}\text{Cl}_{11}^-$



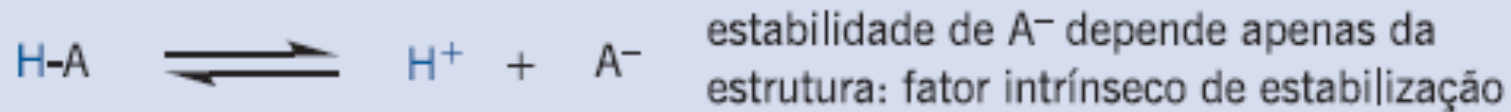
DOI: 10.1021/ja0551335

Alguns termos

Esquema 1.5 Exemplos de dissociações do ácido acético



Fase gasosa íons isolados, sem solvatação



$$\Delta G^\circ = \Delta H^\circ - T\Delta S^\circ$$

$S^\circ_{(p)} > S^\circ_{(r)}$ ΔS° positivo (+15 a +25 cal/mol.K), favorável

$H^\circ_{(p)} > H^\circ_{(r)}$ ΔH° positivo (+100 a +400 Kcal/mol), desfavorável

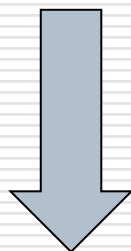
contribuição
 $\Delta H^\circ \gg \Delta S^\circ$

dissociação controlada
pela variação de entalpia

ΔG° muito grande ($\sim +100$ a $+400$ Kcal/mol),
processos altamente desfavoráveis

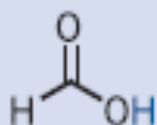
Fase gasosa

- Entalpia mais importante que entropia

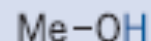


Dominado por fatores estruturais
(estabilidade do de HA e de A⁻)

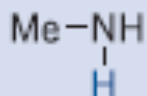
Parâmetros Termodinâmicos para dissociação na fase gasosa



ΔG°	ΔH°	ΔS°	$T\Delta S^\circ$
338,3	345,3	23,5	7,0



ΔG°	ΔH°	ΔS°	$T\Delta S^\circ$
375,1	382,0	23,1	6,9



ΔG°	ΔH°	ΔS°	$T\Delta S^\circ$
394,5	402,0	25,2	7,5

ΔS° varia pouco
 ΔH° domina

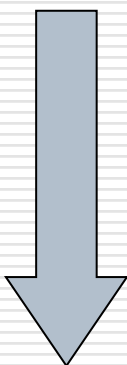


**Efeitos
Estruturais
Intrínsecos
dominam**

$[\Delta G^\circ] = \text{kcal/mol}$; $[\Delta H^\circ] = \text{kcal/mol}$; $[\Delta S^\circ] = \text{cal/mol.K}$; $[T\Delta S^\circ] = \text{kcal/mol}$

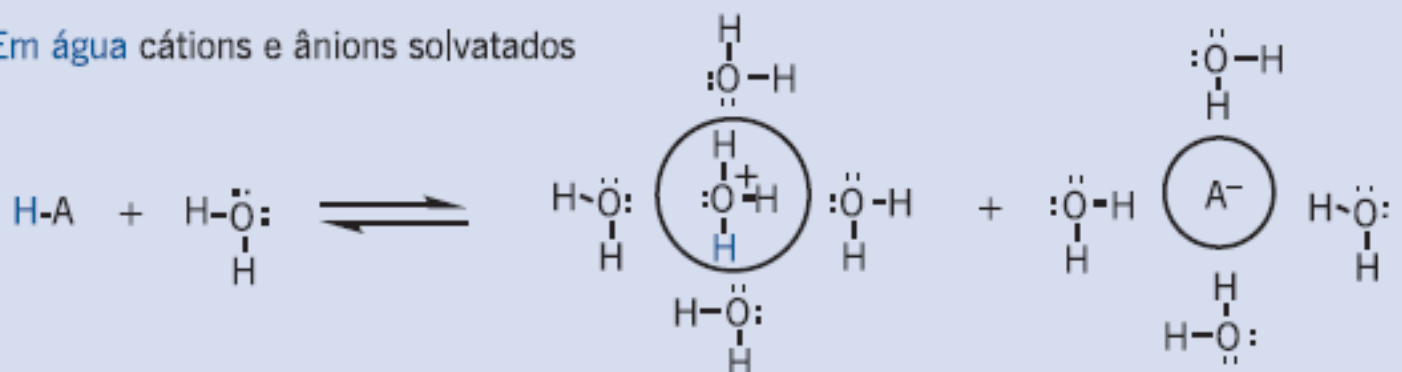
Em solução

□ ΔH° e $T\Delta S^\circ$ são comparáveis



Acidez ($\Delta G^\circ = 1.4 \text{ pK}_a$, $T=298\text{K}$)
depende da **solvatação** e de fatores
intrínsecos (**estruturais**)

Em água cátions e ânions solvatados



solvatação nucleofílica

solvatação eletrofílica

$\Delta G^\circ, \Delta H^\circ, T\Delta S^\circ$
em Kcal/mol
 ΔS° em cal/mol·K

$$\Delta G^\circ = \Delta H^\circ - T\Delta S^\circ$$

$S^\circ_{(p)} < S^\circ_{(r)}$ $T\Delta S^\circ$ é negativo

$H^\circ_{(p)} < H^\circ_{(r)}$ ΔH° positivo

ou

$H^\circ_{(p)} < H^\circ_{(r)}$ ΔH° negativo

se a contribuição

$$\Delta H^\circ > T\Delta S^\circ$$

{ dissociação controlada
pela variação de entalpia

se a contribuição

$$\Delta H^\circ < T\Delta S^\circ$$

{ dissociação controlada
pela variação de entropia

ΔG° pouco positivo ou negativo

ΔG° e posição do equilíbrio

□ **ΔG° for menor -3.11 kcal/mol**

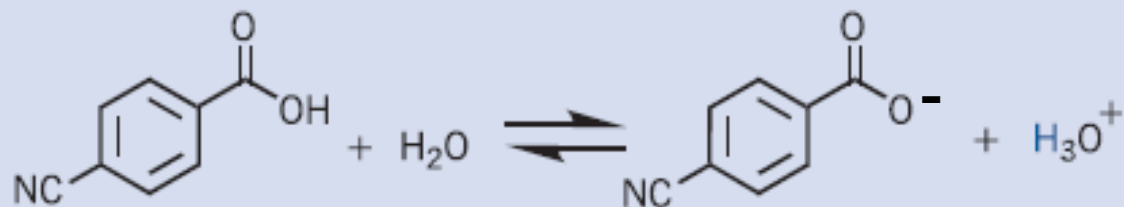
→ completamente deslocado no sentido dos produtos

□ **ΔG° for maior $+3.11$ kcal/mol**

→ completamente deslocado no sentido dos reagentes



ΔG°	ΔH°	ΔS°	$T\Delta S^\circ$	pK_a
5,1	-0,04	-17,0	-5,2	3,75



ΔG°	ΔH°	ΔS°	$T\Delta S^\circ$	pK_a
4,8	0,29	-16,0	-4,85	3,55

ESQUEMA 3.4

Parâmetros termodinâmicos para a dissociação do ácido fórmico e 4-cianobenzóico em água (ΔG° , ΔH° , $T\Delta S^\circ$ em Kcal/mol, ΔS° em cal/mol.K).

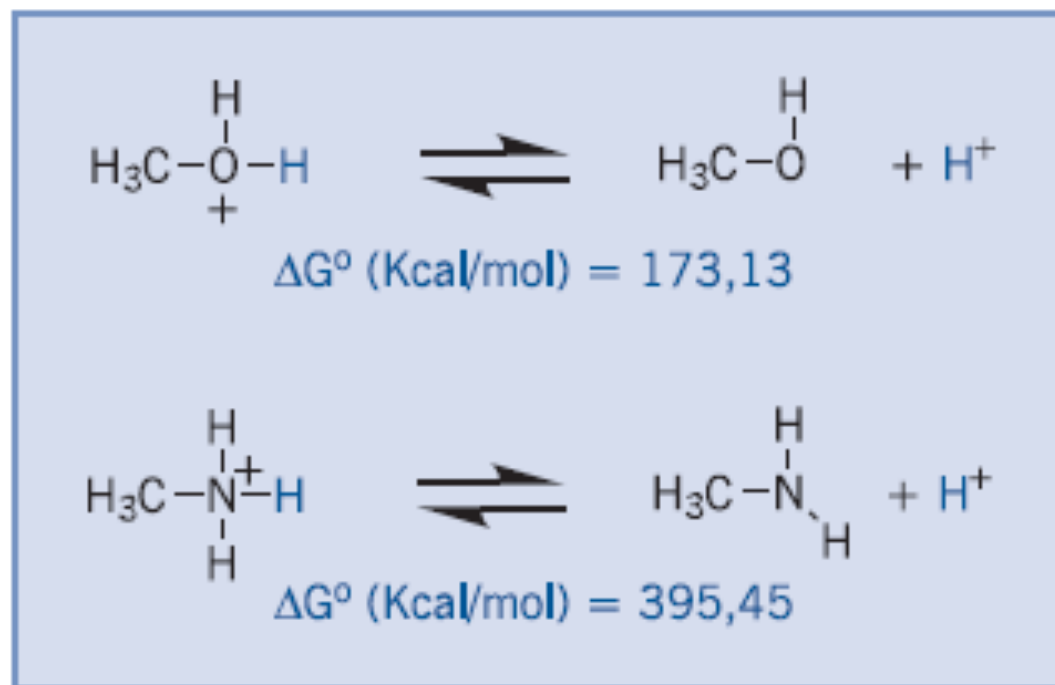
Controlado pelo fator entrópico ($T\Delta S^\circ$)

$[\Delta G^\circ] = \text{kcal/mol}$; $[\Delta H^\circ] = \text{kcal/mol}$; $[\Delta S^\circ] = \text{cal/mol.K}$; $[T\Delta S^\circ] = \text{kcal/mol}$

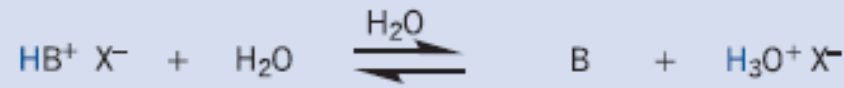
Organização do solvente em torno
dos íons faz o termo entrópico
desfavorável

Se os reagentes forem iônicos

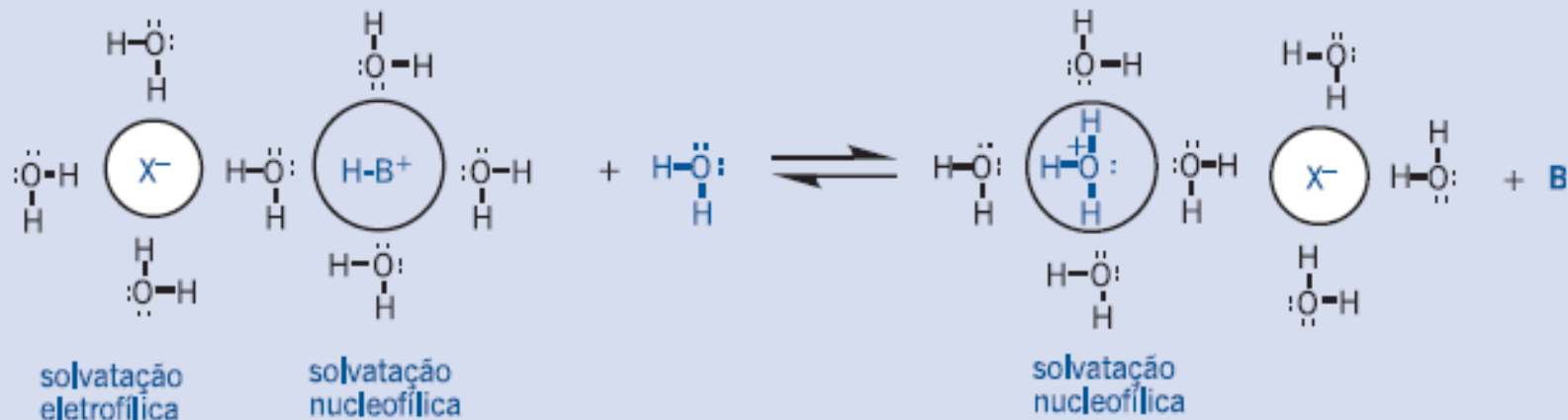
- Na fase gasosa entropia parecida (um corpo (BH^+) gerando dois corpos ($B + H^+$))
- Entalpia governa processo



ESQUEMA 3.6 Parâmetros termodinâmicos para a dissociação do metanol e da metilamina protonados em fase gasosa.



Em água cátions e ânions solvatados



$$\Delta G^\circ = \Delta H^\circ - T\Delta S^\circ$$

$S^\circ_{(p)} > S^\circ_{(r)} \rightarrow T\Delta S^\circ$ positivo

$H^\circ_{(p)} > H^\circ_{(r)}$

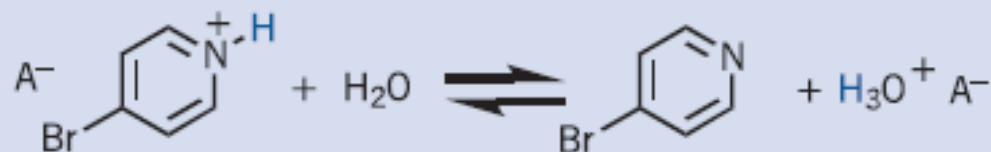
$S^\circ_{(p)} < S^\circ_{(r)} \rightarrow T\Delta S^\circ$ negativo

$\Delta H^\circ \rightarrow$ positivo

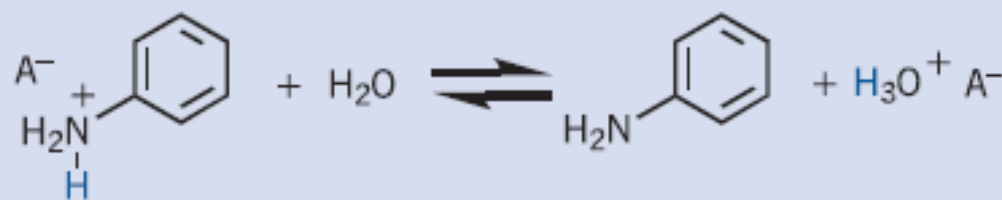
ΔG° controlado entalpicamente ou entropicamente, dependendo da contribuição de cada termo

Em água

- Termo entrópico vai depender da solvatação diferencial entre reagentes (BH^+ e H_2O) e dos produtos (B e H_3O^+)



ΔG°	ΔH°	ΔS°	$T\Delta S^\circ$	pK_a
5,0	3,3	5,7	1,7	3,68



ΔG°	ΔH°	ΔS°	$T\Delta S^\circ$	pK_a
6,27	7,38	3,7	1,10	4,6

ESQUEMA 3.8

Parâmetros termodinâmicos para a dissociação do 4-bromopiridínio e do anilínio em água (ΔG° , ΔH° e $T\Delta S^\circ$ em Kcal/mol e ΔS° em cal/mol·K).

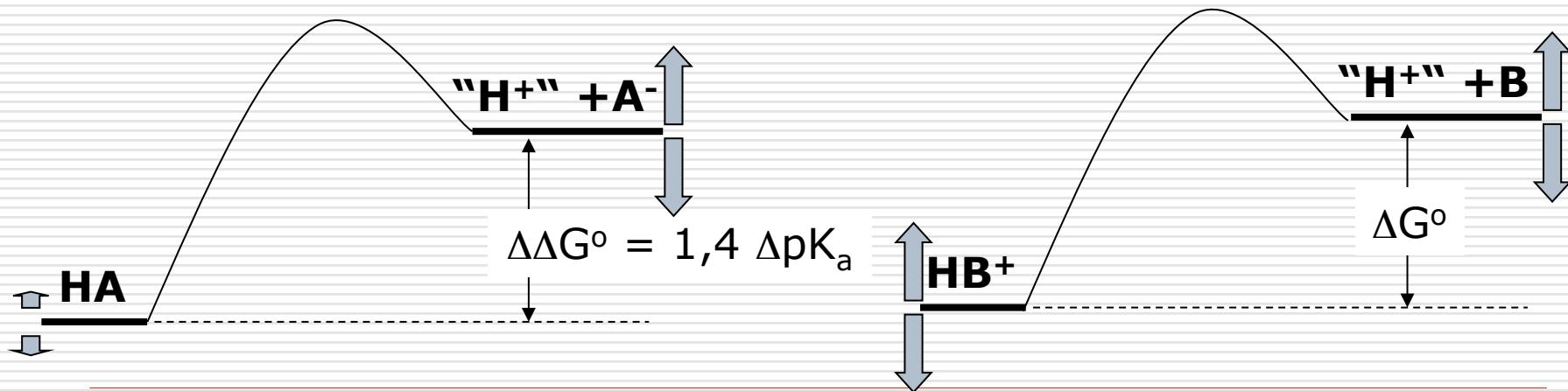
Energias de solvatação de alguns íons

ΔG° hidratação em cal/mol

H ⁺	-1.056	F ⁻	-472
Li ⁺	-481	Cl ⁻	-347
Na ⁺	-375	Br ⁻	-321
K ⁺	-304	I ⁻	-283
Mg ²⁺	-1.838	HO ⁻	-439
Al ³⁺	-4.531	SO ₄ ²⁻	-1.090

Efeitos de solvente

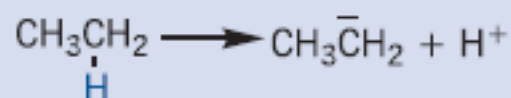
- ❑ Solvatação é muito mais importante para espécies carregadas (íons)
- ❑ Moléculas neutras são menos susceptíveis à efeitos de solvatação



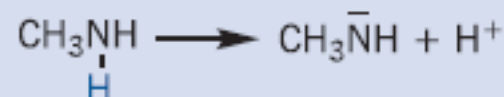
Fatores Intrínsecos que afetam a basicidade

- Eletronegatividade
 - Volume do átomo ligado ao hidrogênio
 - Hibridação
 - Efeito Polar
 - Efeito Ressonância
-

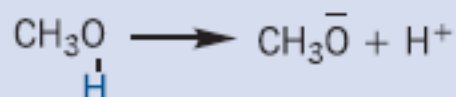
Eletronegatividade



ΔG°	ΔH°	ΔS°	$T\Delta S^\circ$
411,7	420,1	28,2	8,4



ΔG°	ΔH°	ΔS°	$T\Delta S^\circ$
394,5	402,0	25,2	7,5



ΔG°	ΔH°	ΔS°	$T\Delta S^\circ$
375,1	382,0	23,1	6,9



ΔG°	ΔH°	ΔS°	$T\Delta S^\circ$
365,5	371,3	19,5	5,8

Forças de ligação

C-H ~96-105 Kcal/mol

HO-H 119 Kcal/mol

C₂N-H 107 Kcal/mol

F-H 135,8 Kcal/mol

ESQUEMA 3.9 Dissociação em fase gasosa (Kcal/mol) para ligações C-H, O-H, N-H e F-H (ΔG° , ΔH° e $T\Delta S^\circ$ em Kcal/mol e ΔS° em cal/mol·K).

pK_a

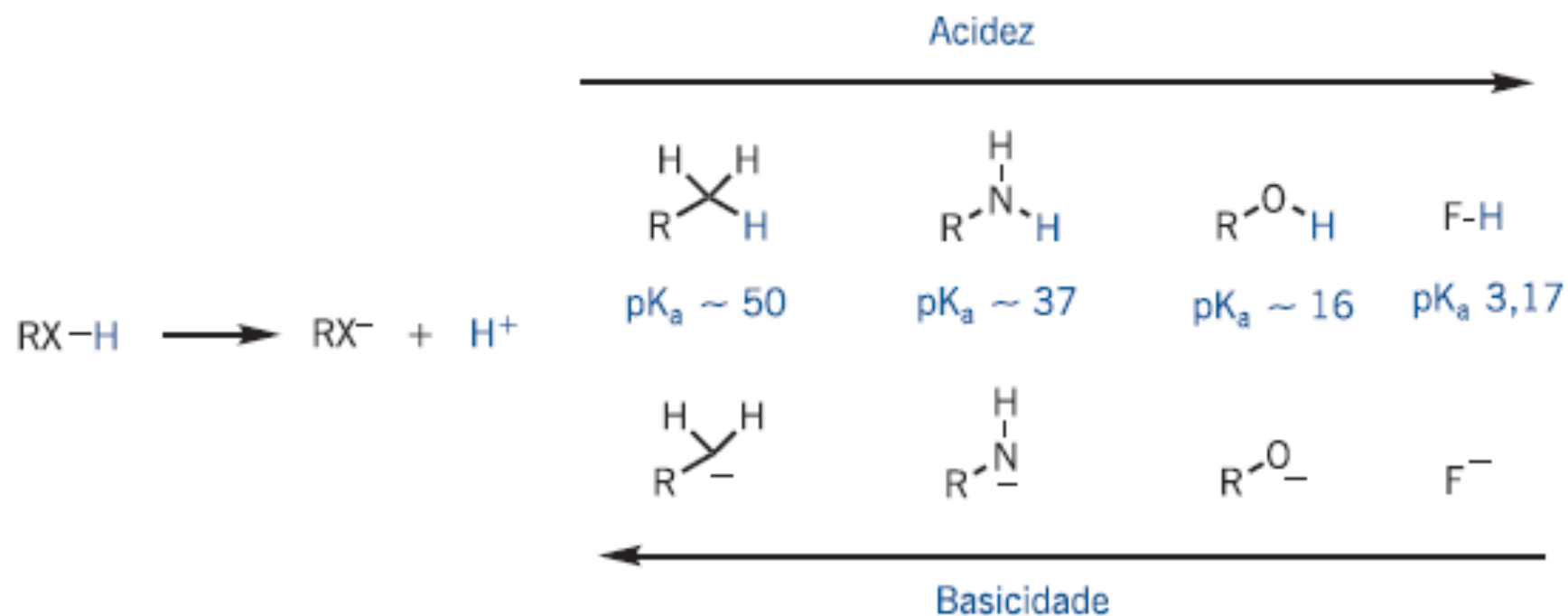
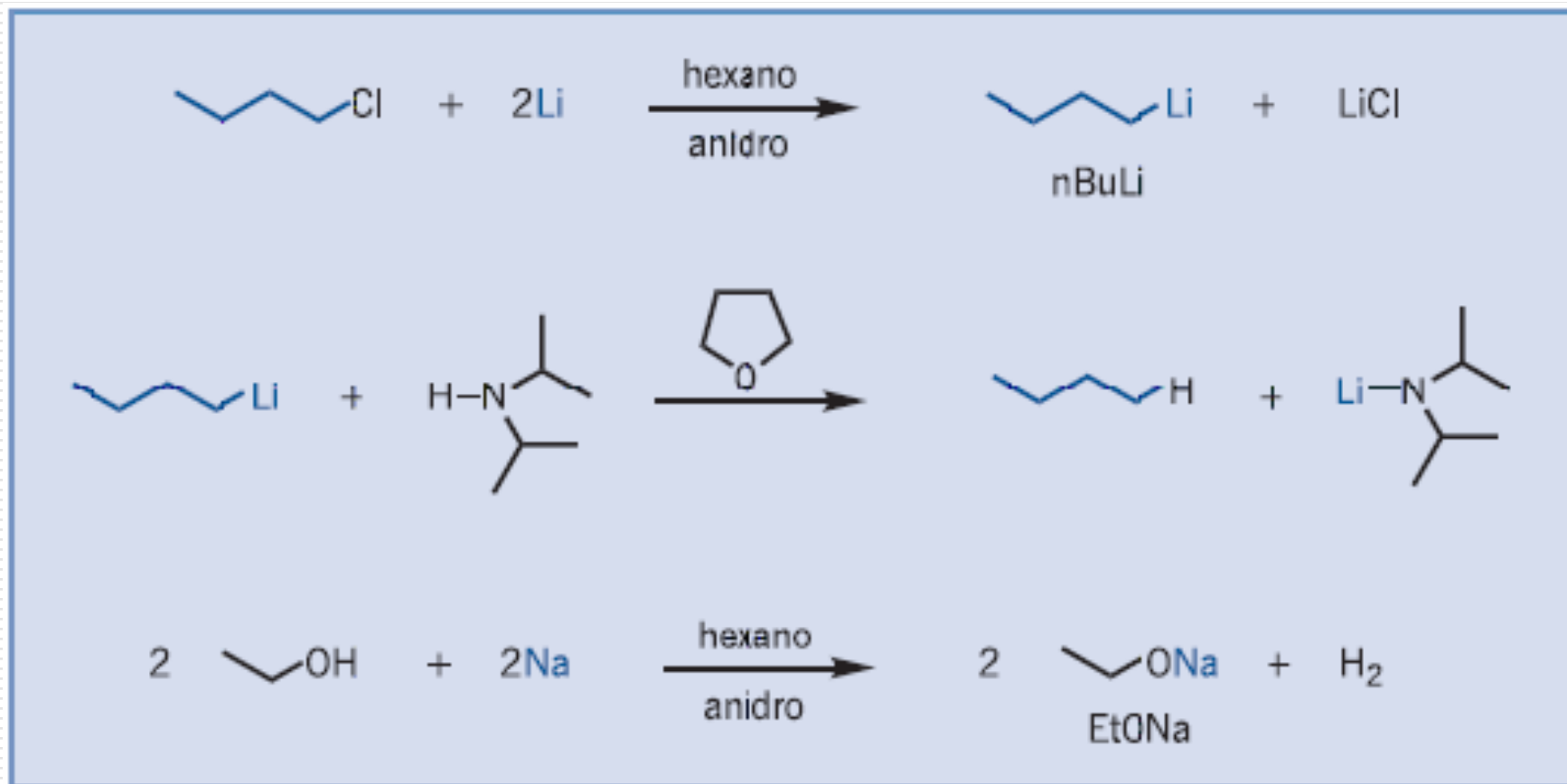


FIGURA 3.1 Comparação dos valores de pK_a para alcanos, aminas, alcoóis e HF.

Formação de Amidetos e Alcóxidos



Volume molecular: Ordem fase gasosa t-BuOH > i-PrOH > EtOH > MeOH

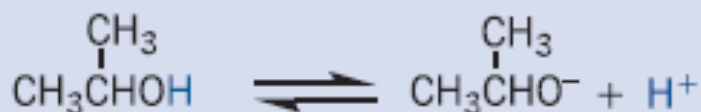
Mais ácido ← ————— Menos ácido



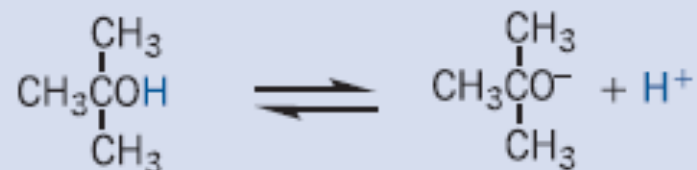
ΔG°	ΔH°	ΔS°	$T\Delta S^\circ$
375,1	382,0	23,1	6,9



ΔG°	ΔH°	ΔS°	$T\Delta S^\circ$
371,7	378,3	22,1	6,6



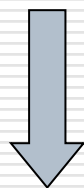
ΔG°	ΔH°	ΔS°	$T\Delta S^\circ$
368,5	375,1	22,1	6,6



ΔG°	ΔH°	ΔS°	$T\Delta S^\circ$
368,1	374,7	22,1	6,6

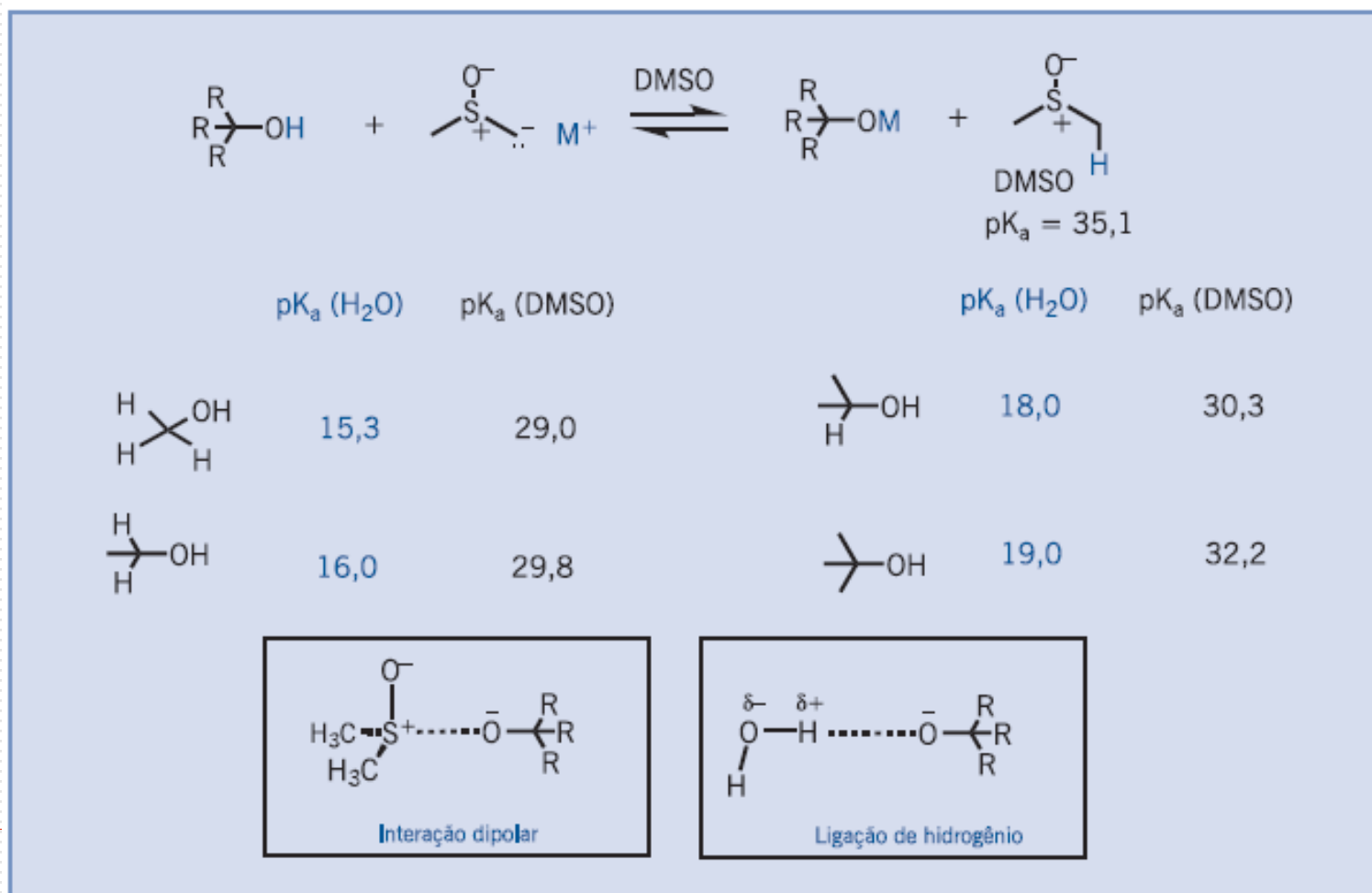
ESQUEMA 3.11 Dissociação de alcoóis em fase gasosa (ΔG° , ΔH° e $T\Delta S^\circ$ em Kcal/mol e ΔS° em cal/mol·K).

-
- Ânions volumosos são mais estáveis
 - Maior superfície molecular aumenta distância média entre elétrons levando a uma diminuição da repulsão carga-carga



Abaixamento da energia potencial (ΔH°)

Volume molecular: Ordem em DMSO MeOH > EtOH > i-PrOH > t-BuOH



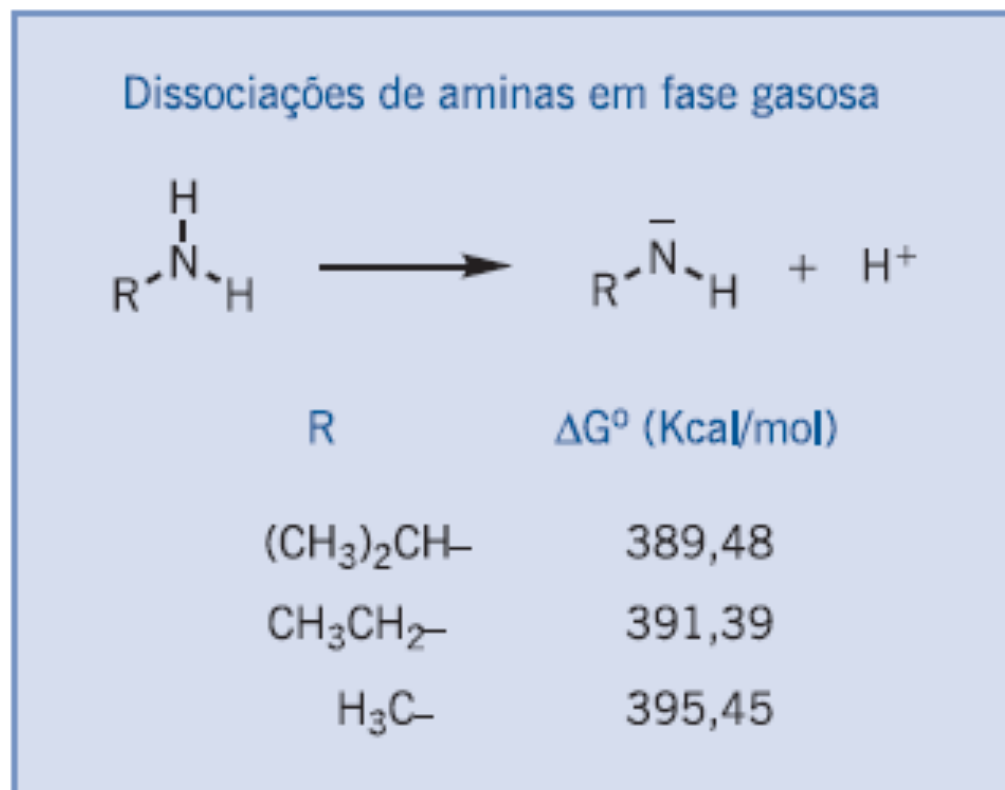
ESQUEMA 3.12 Dissociação de alcoóis em DMSO-Dimsil M.

Porquê ordem de acidez inverte?

- ❑ Efeitos de solvente
 - ❑ Interpretação que t-BuOH é menos ácido que MeOH devido ao efeito indutivo doador de elétrons do grupo metila, desestabilizando o alcóxido, está **errada!!!**
-

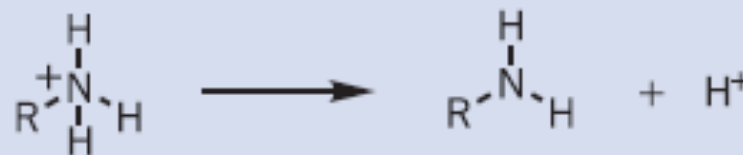
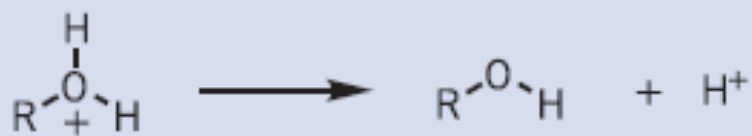
Aminas

- Aumento da superfície molecular do ânion o estabiliza



ESQUEMA 3.13 Dissociação de aminas em fase gasosa.

Oxônios x Alquilamônios



R	ΔG° (Kcal/mol)
(CH ₃) ₃ C-	184,35
(CH ₃) ₂ CH-	182,20
CH ₃ CH ₂ -	178,14
H ₃ C-	157,61

R	ΔG° (Kcal/mol)
(CH ₃) ₃ C-	214,92
(CH ₃) ₂ CH-	212,29
CH ₃ CH ₂ -	209,67
H ₃ C-	206,56

ESQUEMA 3.14 Dissociações de hidrônios e amônios em fase gasosa.

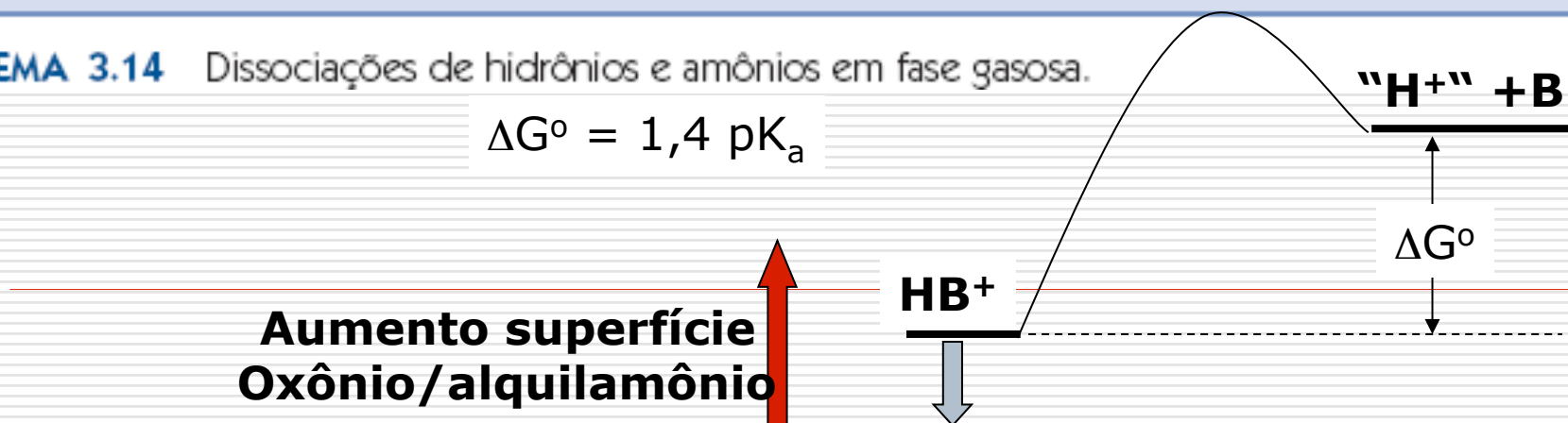
$$\Delta G^\circ = 1,4 \text{ pK}_a$$

**Aumento superfície
Oxônio/alquilamônio**

HB⁺

"H⁺" + B

ΔG°



Outros alquilamônios

fase gasosa		água							
$\text{R}^2\text{-}\overset{\text{R}^1}{\underset{\text{R}^3}{\text{N}}^+\text{-H} \longrightarrow \text{R}^2\text{-}\overset{\text{R}^1}{\underset{\text{R}^3}{\text{N}}} + \text{H}^+$		$\text{X}^- \text{R}^2\text{-}\overset{\text{R}^1}{\underset{\text{R}^3}{\text{N}}^+\text{-H} + \text{H}_2\text{O} \longrightarrow \text{R}^2\text{-}\overset{\text{R}^1}{\underset{\text{R}^3}{\text{N}}} + \text{H}_3\text{O}^+ \text{X}^-$							
	ΔG°	ΔH°	ΔS°	$\text{T}\Delta\text{S}^\circ$	ΔG°	ΔH°	ΔS°	$\text{T}\Delta\text{S}^\circ$	
$\text{R}^1=\text{R}^2=\text{R}^3=\text{H}$	195,7	204,0	27,8	8,3	12,6	12,4	0,7	+0,2	$\text{pK}_a = 9,24$
$\text{R}^1=\text{Me}, \text{R}^2=\text{R}^3=\text{H}$	206,6	214,9	27,8	8,3	14,4	13,0	-5,0	-1,4	$\text{pK}_a = 10,62$
$\text{R}^1=\text{R}^2=\text{Me}, \text{R}^3=\text{H}$	214,3	222,2	26,5	7,9	14,7	11,8	-9,5	-2,84	$\text{pK}_a = 10,77$
$\text{R}^1=\text{R}^2=\text{R}^3=\text{Me}$	219,4	226,8	24,8	7,4	13,3	8,8	-15,0	-4,47	$\text{pK}_a = 9,80$

ESQUEMA 3.15 Dissociação de íons amônio e alquilamônio em fase gasosa e em água (ΔG° , ΔH° e $\text{T}\Delta\text{S}^\circ$ em Kcal/mol e ΔS° em cal/mol·K).

Solvatação dos cátions R_3NH^+ ($R=H$,alquila)

- Entalpia e entropia disputam controle do equilíbrio
- NH_4^+ e H_3O^+ são semelhantes
 - $T\Delta S^\circ = +0,2$ kcal/mol (pequeno)
 - $NH_4^+ \rightarrow 4$ ligações de hidrogênio
 - $H_3O^+ \rightarrow 3$ ligações de hidrogênio
- Quanto menos solvatado o R_3NH^+ , no estado inicial (menor n° de lig. hidrogênio), maior a organização que o solvente sofre quando passa a solvatar o H_3O^+

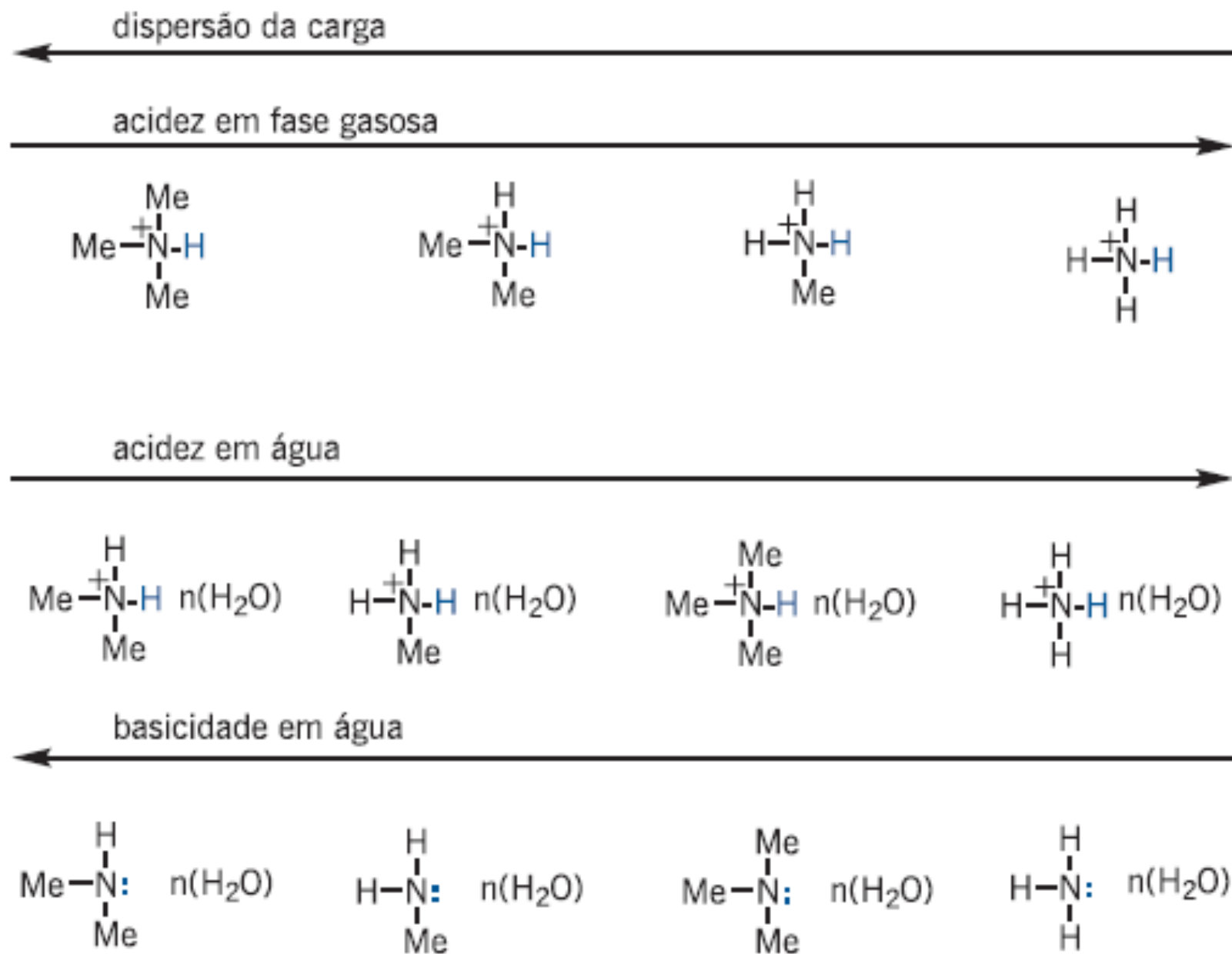


FIGURA 3.2 Basicidade de aminas em fase gasosa e em água.

Volume do átomo ligado ao hidrogênio

$\text{H-F} \rightleftharpoons \text{H}^+ + \text{F}^-$				$\text{H-Cl} \rightleftharpoons \text{H}^+ + \text{Cl}^-$			
ΔG°	ΔH°	ΔS°	$T\Delta S^\circ$	ΔG°	ΔH°	ΔS°	$T\Delta S^\circ$
365,50	371,3	19,5	5,8	327,10	333,4	17,4	5,2
$\text{H-Br} \rightleftharpoons \text{H}^+ + \text{Br}^-$				$\text{H-I} \rightleftharpoons \text{H}^+ + \text{I}^-$			
ΔG°	ΔH°	ΔS°	$T\Delta S^\circ$	ΔG°	ΔH°	ΔS°	$T\Delta S^\circ$
318,30	323,5	17,4	5,2	314,3	309,20	17,1	5,1
Forças de ligação							
F-H	135 Kcal/mol	Cl-H	103 Kcal/mol	Br-H	88 Kcal/mol	I-H	71 Kcal/mol

ESQUEMA 3.16
 Dissociação de ácidos halogenídricos em fase gasosa (ΔG° , ΔH° e $T\Delta S^\circ$ em Kcal/mol e ΔS° em cal/mol·K).

- Maior área superficial no haleto estabiliza produto

Ácidos halogenídricos

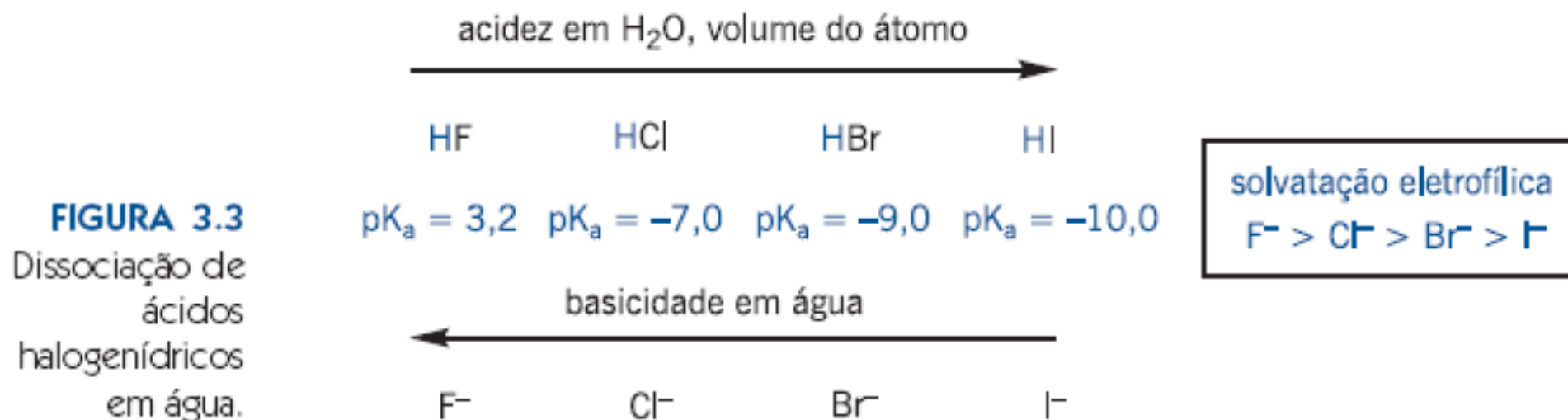


FIGURA 3.3
Dissociação de
ácidos
halogenídricos
em água.

- Maior solvatação do F⁻ levaria a uma maior estabilização deste (ΔH°).
- Entretanto organiza mais o solvente quando dissociado, desfavorecendo a dissociação pelo fator entrópico ($T\Delta S^\circ$).

S x O

ESQUEMA 3.17

Dissociação de alcoóis e tióis em fase gasosa (ΔG° , ΔH° e $T\Delta S^\circ$ em Kcal/mol e ΔS° em cal/mol-K).

MeSH	\rightleftharpoons	H ⁺ + MeS ⁻	EtSH	\rightleftharpoons	H ⁺ + MeS ⁻		
ΔG°	ΔH°	ΔS°	$T\Delta S^\circ$	ΔG°	ΔH°	ΔS°	$T\Delta S^\circ$
350,6	357,6	23,5	7,0	348,9	355,7	22,8	6,8
MeOH	\rightleftharpoons	H ⁺ + MeO ⁻	EtOH	\rightleftharpoons	H ⁺ + MeO ⁻		
ΔG°	ΔH°	ΔS°	$T\Delta S^\circ$	ΔG°	ΔH°	ΔS°	$T\Delta S^\circ$
375,1	382,0	23,1	6,9	371,7	378,3	22,1	6,6

- Maior área superficial do S em relação ao O faz os tióis mais ácidos

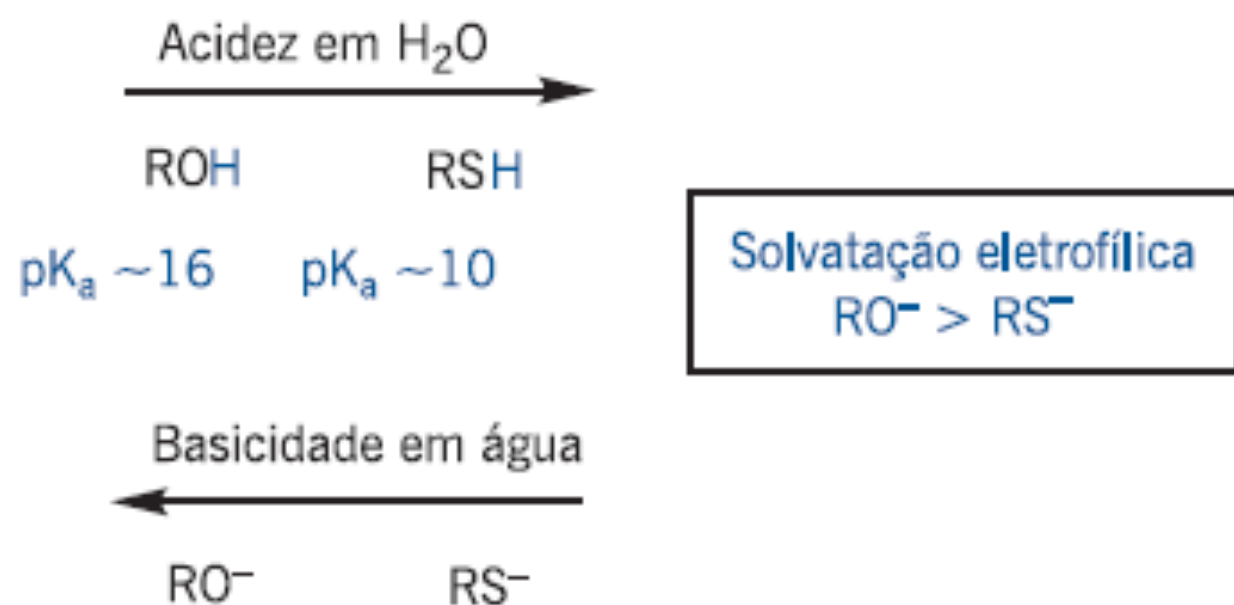
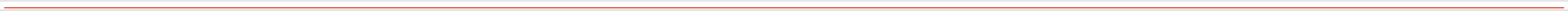
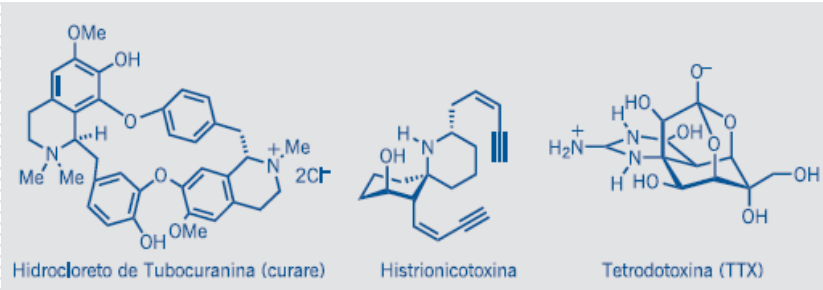
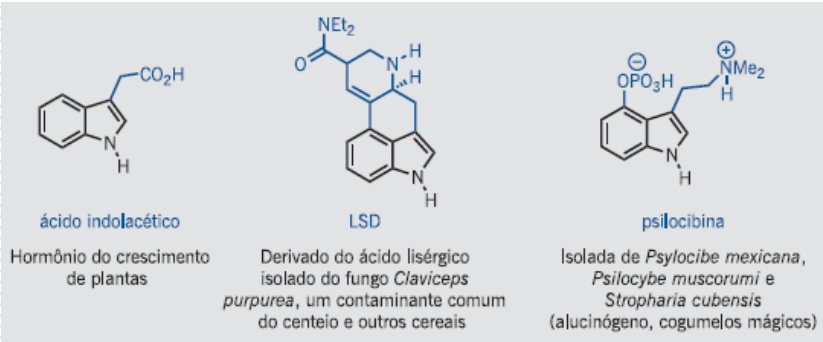
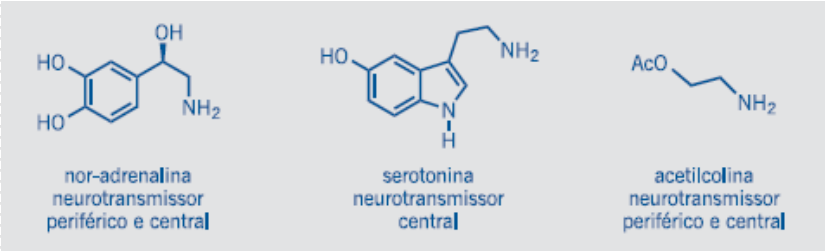
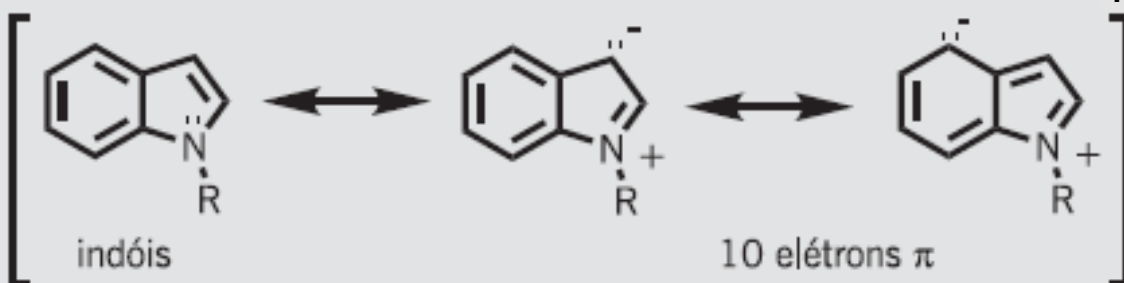
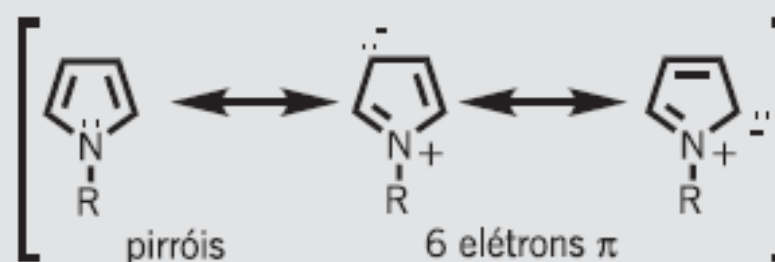
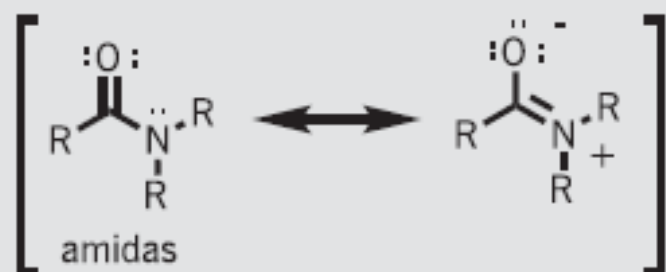


FIGURA 3.4 Dissociação de alcoóis e tióis em água.



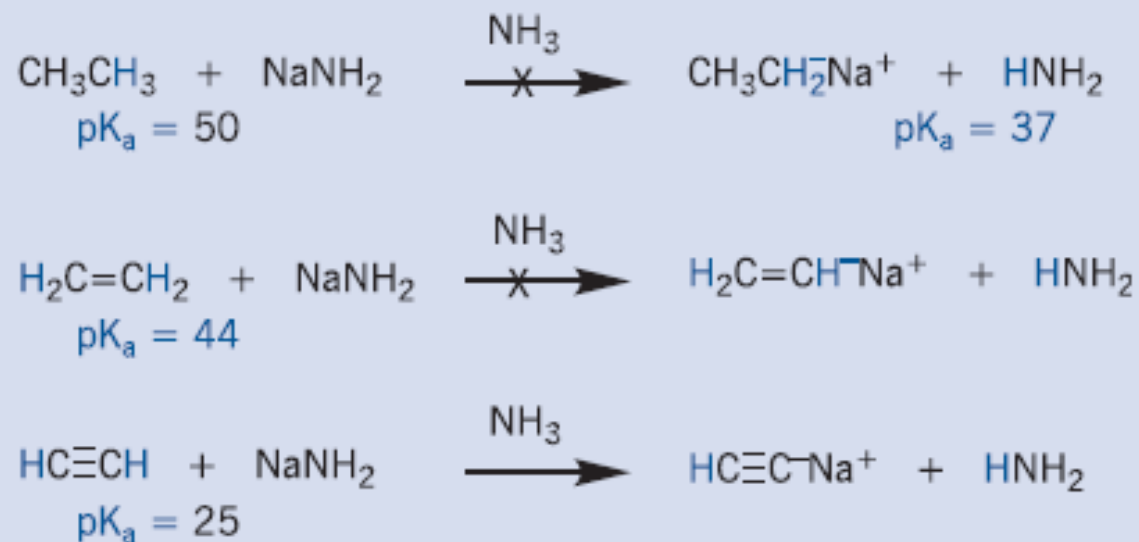
Basicidade de amidas, pirróis e indóis



regra de Huckel

Substâncias aromáticas são planares e possuem número de elétrons $\pi = 4n + 2$, onde $n =$ número inteiro.

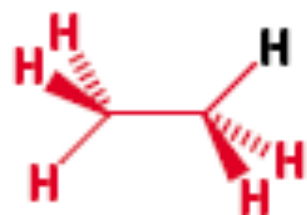
Hibridação



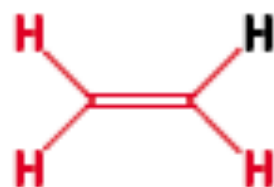
ESQUEMA 3.18

Hibridação e acidez de ligações C-H.

Carácter s do orbital com o par de eletróns



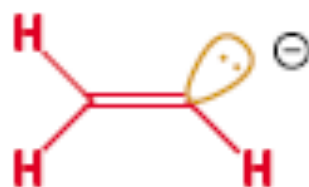
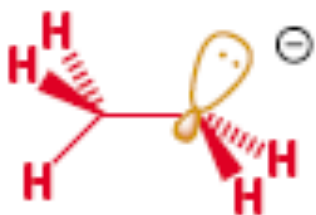
pK_a ca. 50



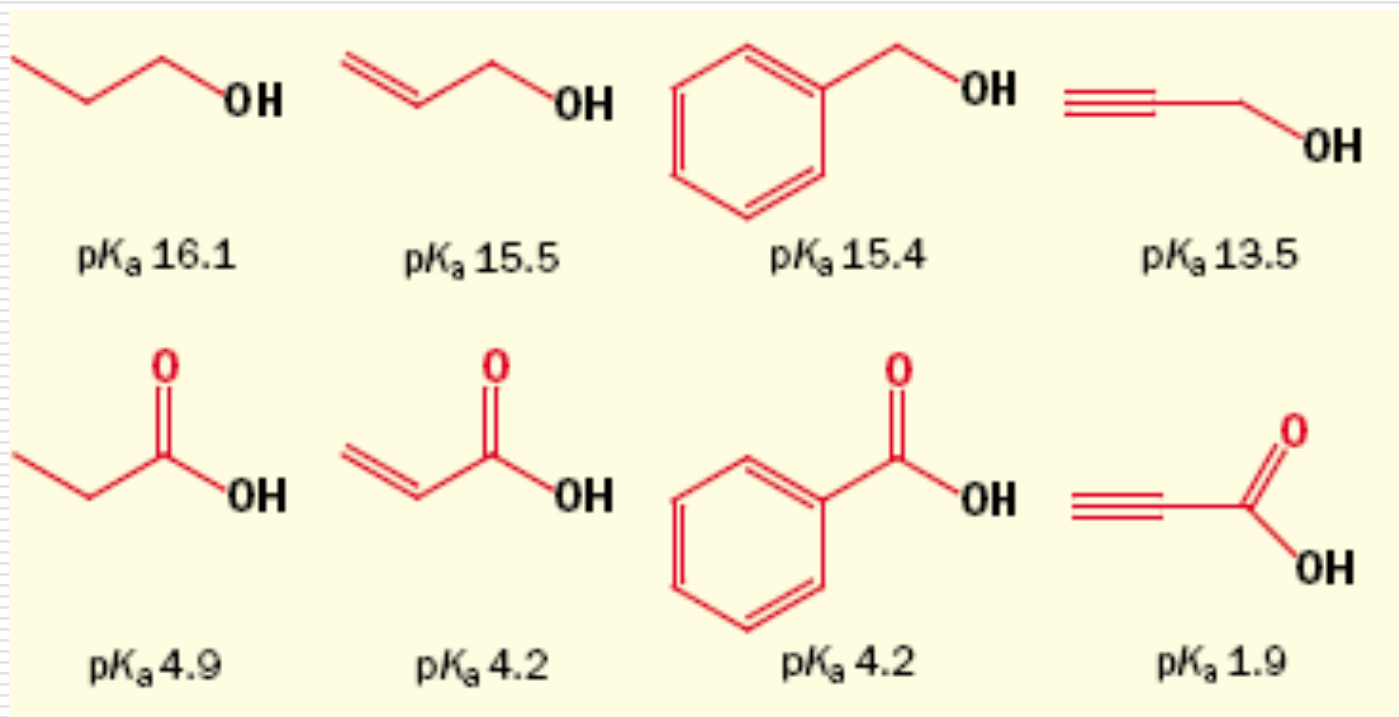
pK_a ca. 44



pK_a ca. 26

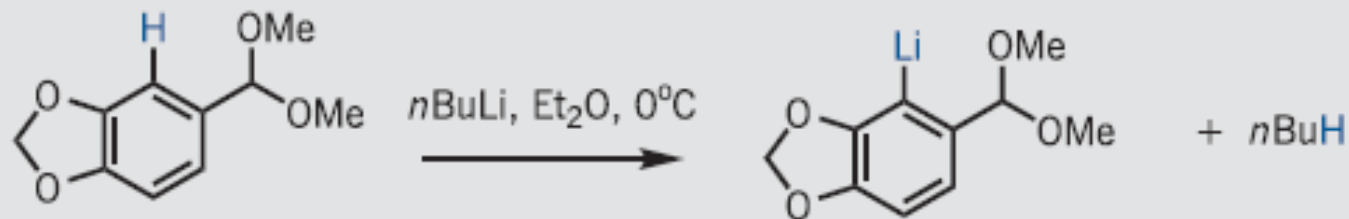
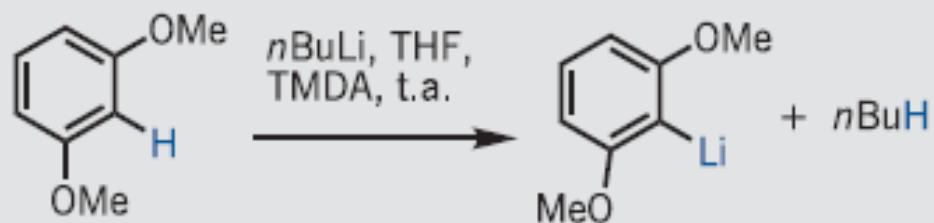
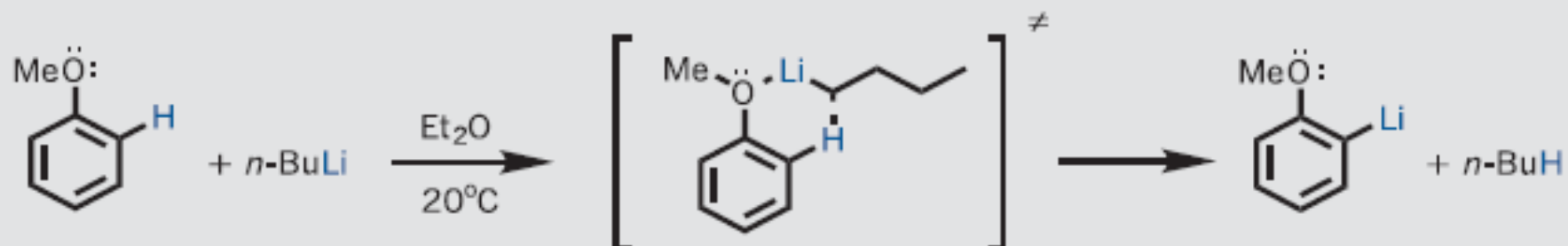


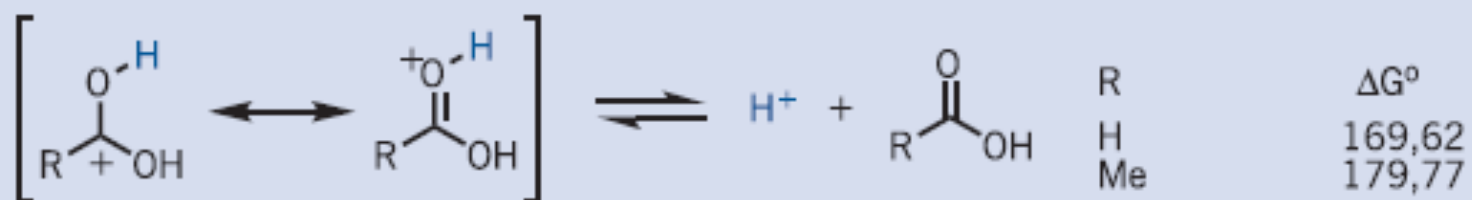
Hibridação nos grupos vizinhos também é importante



Maior caráter s no vizinho maior a eletronegatividade deste

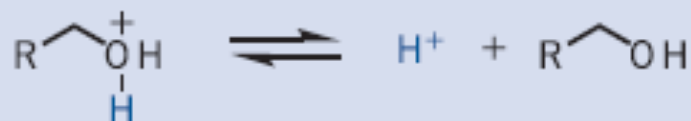
Litiação de substâncias aromáticas





R
H
Me

ΔG°
169,62
179,77



H
Me

173,13
178,14

ESQUEMA 3.19

Dissociação de alcoóis e derivados carbonilados protonados em fase gasosa (Kcal/mol).

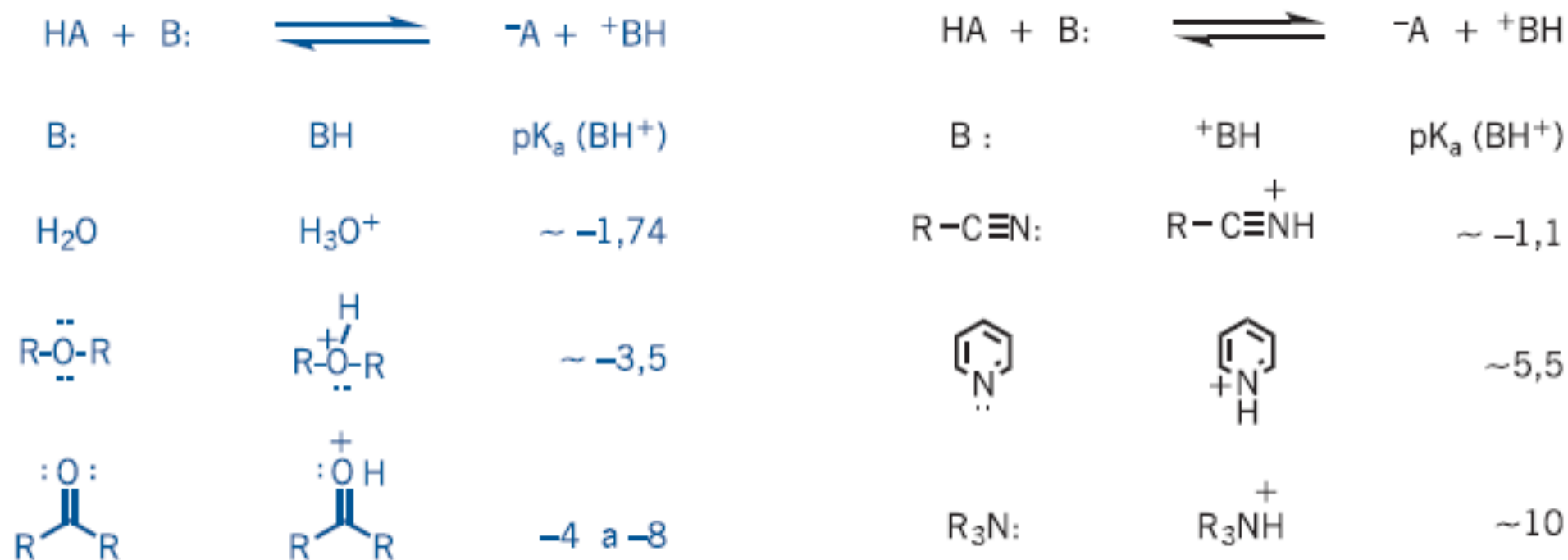
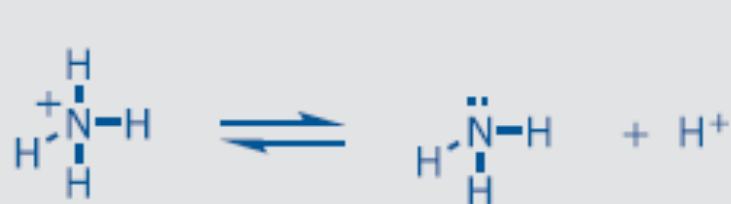


FIGURA 3.5 O efeito da hibridação na basicidade de derivados oxigenados e nitrogenados.

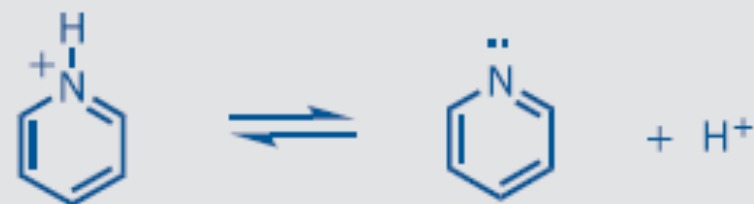
Piridina x NH_3

- ❑ Na fase gasosa piridina é mais básica que NH_3
 - ❑ Contraria hibridização: Nsp^2 na piridina deveria ser menos básico do que o Nsp^3 no NH_3
 - ❑ Cátion piridínio tem maior área superficial do que NH_4^+ , tornando o íon mais estável
 - ❑ Com o efeito do solvente \rightarrow ordem se inverte \rightarrow fatores entrópicos
-

(ΔG° , ΔH° e $T\Delta S^\circ$ em Kcal/mol e ΔS° em cal/mol·K)



ΔG°	ΔH°	ΔS°	$T\Delta S^\circ$
195,7	204,0	27,8	8,3



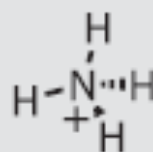
ΔG°	ΔH°	ΔS°	$T\Delta S^\circ$
214,7	222,0	24,5	7,3



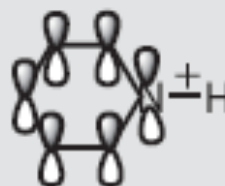
ΔG°	ΔH°	ΔS°	$T\Delta S^\circ$	pK_a
12,6	12,4	+0,7	-0,2	9,24



ΔG°	ΔH°	ΔS°	$T\Delta S^\circ$	pK_a
7,1	4,4	-9,1	-2,75	5,21



cátion mais solvatado,
4 átomos de H



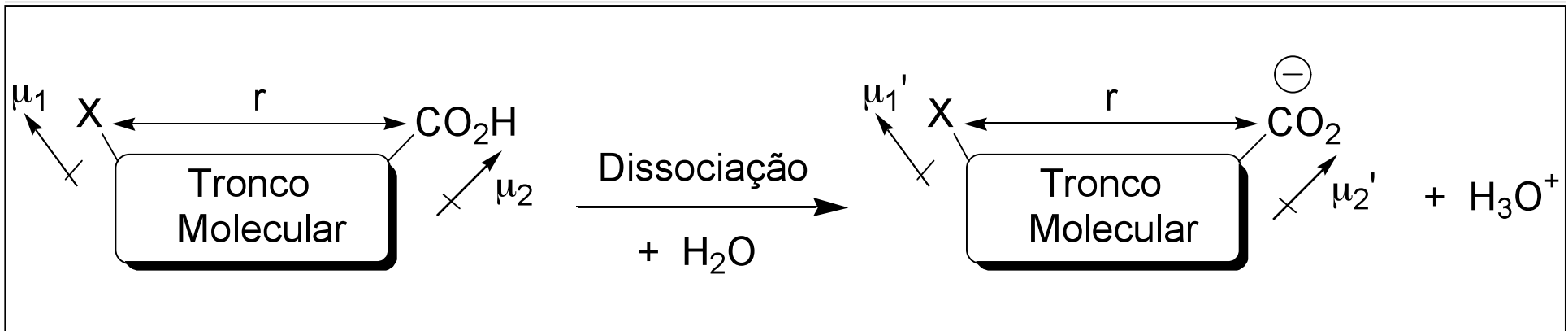
cátion menos solvatado,
1 átomo de H

Efeito Polar:

Efeito Indutivo x Efeito de Campo

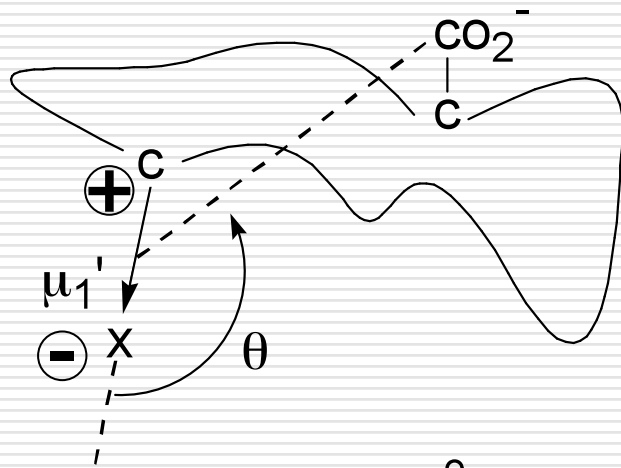
- Principais interações, em termos energéticos, são de natureza eletrostática
 - Carga-carga
 - Carga-dipolo (permanente)
 - Dipolo-Dipolo (permanente)
 - Ligação hidrogênio
 - Dipolo-Dipolo instantâneo
 - Dipolo instantâneo-Dipolo instantâneo (London)
-

Na dissociação de um ácido

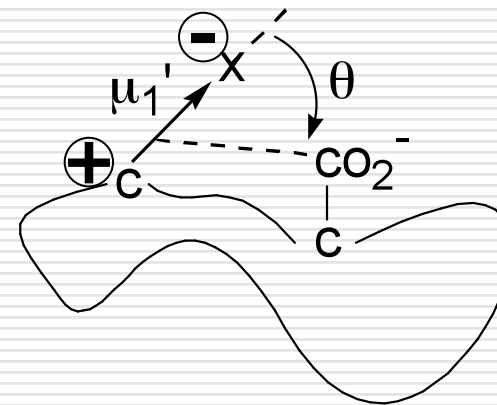


- ❑ Espécie não dissociada: dipolo-dipolo
 - ❑ Ânion: carga-dipolo
-

Interação carga-dipolo no ânion



$$\theta > 90^\circ$$
$$\cos\theta < 0$$



$$\theta < 90^\circ$$
$$\cos\theta > 0$$

$$E_{c \text{ arg } a\text{-dipolo}} = (cte) x \frac{\mu \cdot \cos\theta}{r}$$

Efeito indutivo? Não seria efeito de campo em átomos vizinhos?

- **Efeito indutivo:** seria transmitido através das ligações químicas
- **Efeito de campo:** transmitido através do espaço

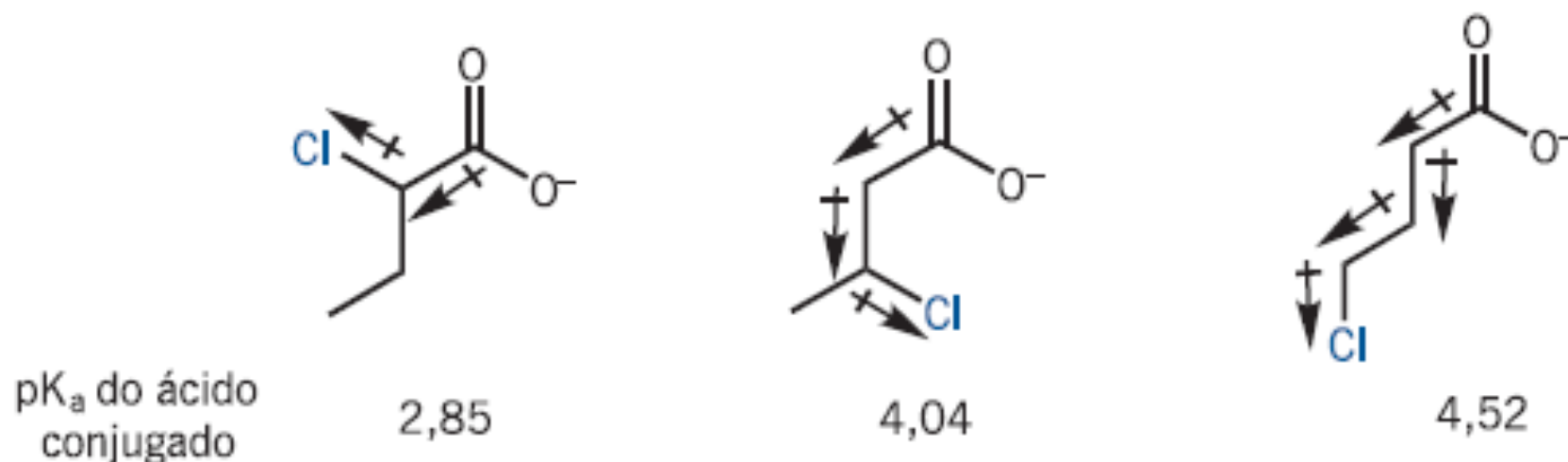
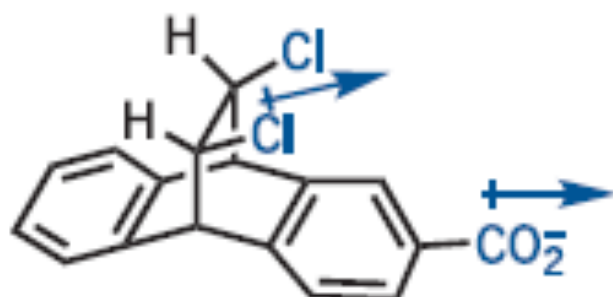
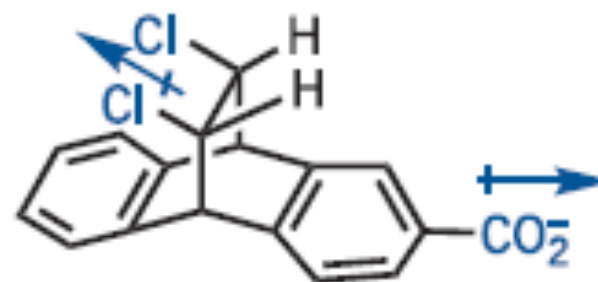


FIGURA 3.6 Efeito polar do cloro na dissociação (pK_a) de ácidos clorobutíricos isoméricos.

Efeito de campo



pK_a (ácido conjugado) = 6,07



pK_a (ácido conjugado) = 5,67

FIGURA 3.7 Efeito de campo na acidez de ácidos carboxílicos isoméricos.

Maior número de interações carga-dipolo estabiliza sistema

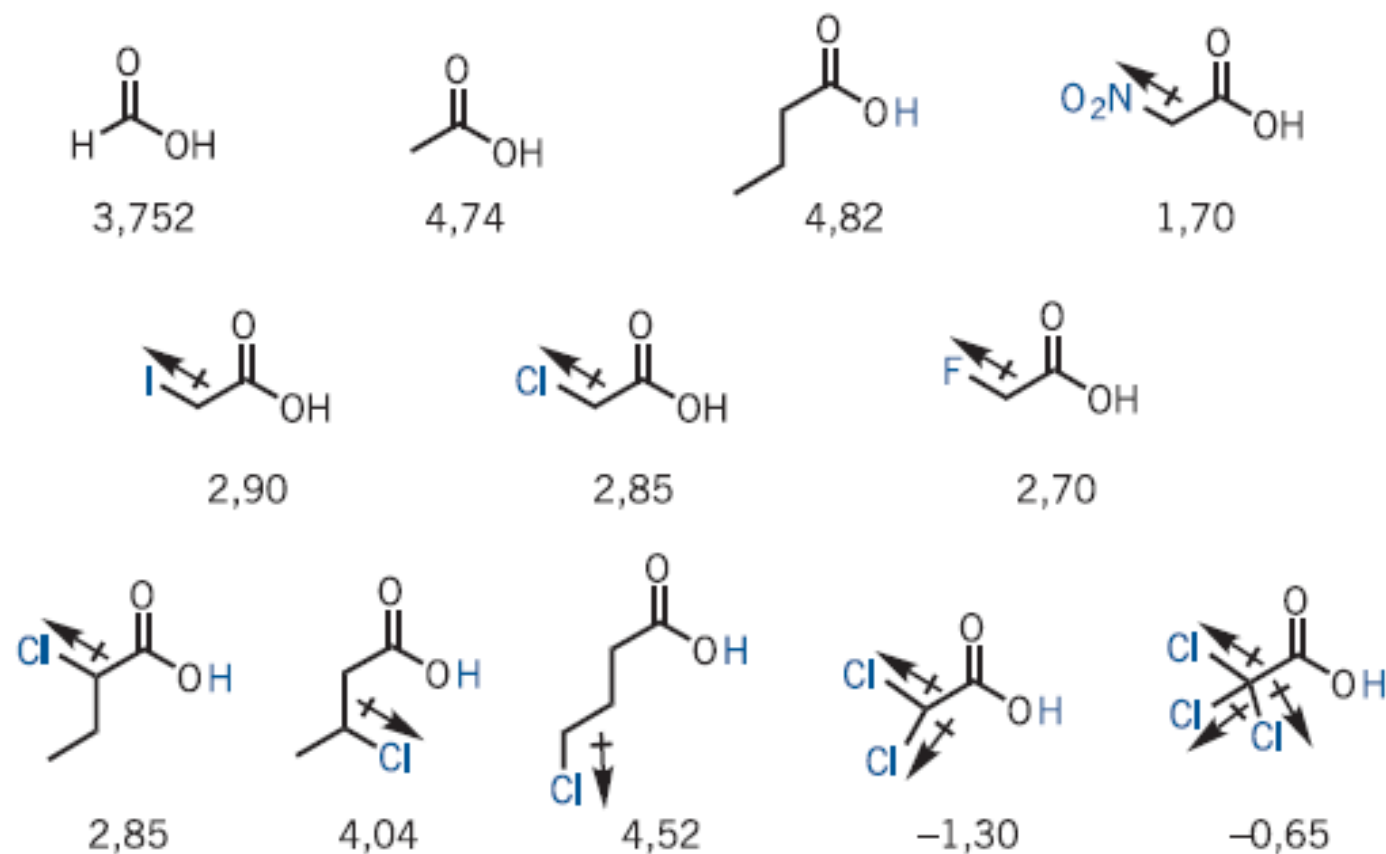
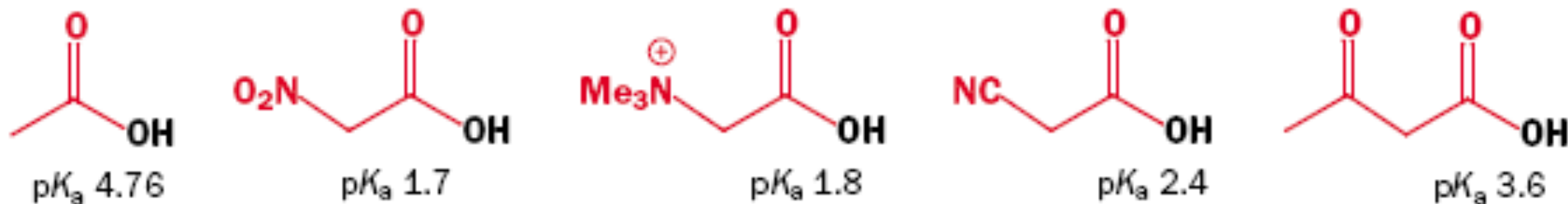
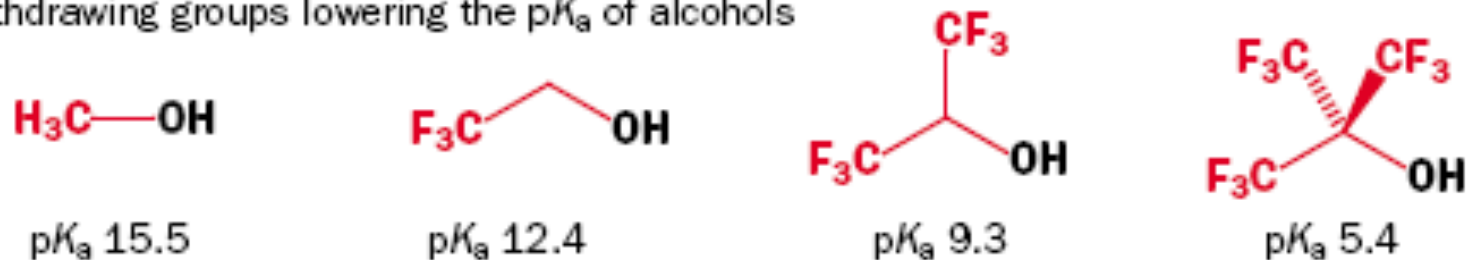


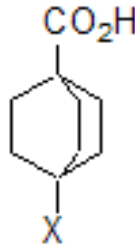
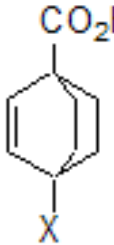
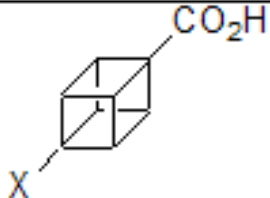

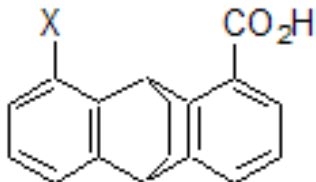
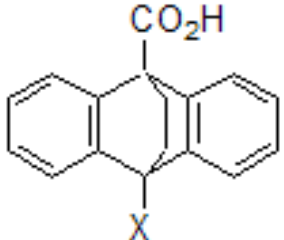
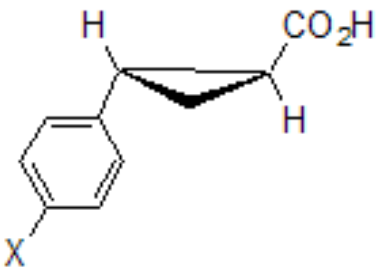
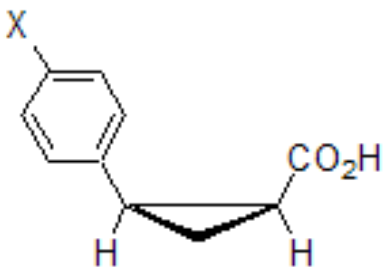
FIGURA 3.8 Valores de pK_a para ácidos carboxílicos halogenados.

Maior o dipolo maior a interação (estabilizante ou não) com a carga negativa

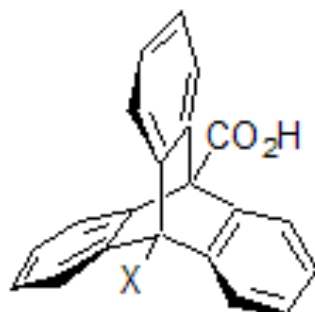


electron-withdrawing groups lowering the $\text{p}K_a$ of alcohols

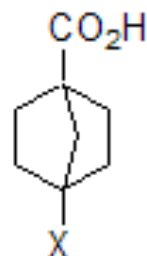


Molécula	pK _a (EtOH/H ₂ O 50% p/p, 25°C)	Molécula	pK _a (EtOH/H ₂ O 50% p/p, 25°C)
	X = H 6,87 X = CH ₃ 6,89 X = OCH ₃ 6,40 X = Cl 6,13 X = Br 6,14 X = CF ₃ 6,25 X = CN 5,85 X = NO ₂ 5,82 X = N(CH ₃) ₃ ⁺ 5,37		X = H 6,54 X = CH ₃ 6,50 X = Cl 5,72 X = CF ₃ 5,79 X = CN 5,49 X = N(CH ₃) ₃ ⁺ 4,84
	X = H 5,94 X = OCH ₃ 5,40 X = Br 5,32 X = CN 5,14		X = H 6,27 X = Br 5,93 X = CN 5,85
	X = H 5,99 X = CH ₃ 6,07 X = OCH ₃ 6,15 X = Cl 6,24 X = CN 6,05		X = H 5,75 X = CH ₃ 5,78 X = OCH ₃ 5,50 X = Cl 5,21 X = Br 5,21 X = CN 6,05 X = NO ₂ 5,21
	X = H 6,33 X = 4-CH ₃ 6,43 X = 4-OCH ₃ 6,40 X = 3-Cl 6,12 X = 4-Cl 6,22 X = 3-NO ₂ 5,96		X = H 5,78 X = 4-OCH ₃ 5,85 X = 3-Br 5,61 X = 4-Br 5,63 X = 3-NO ₂ 5,41 X = 4-NO ₂ 5,33

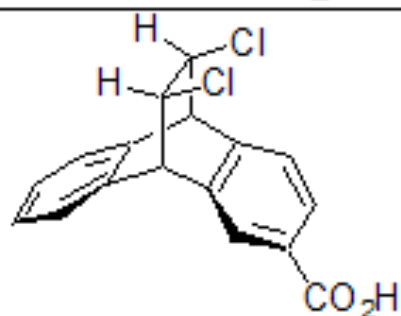
Efeito de campo (Continuação)



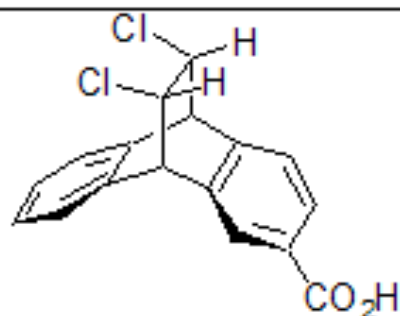
$\text{X} = \text{H}$	5,20
$\text{X} = \text{CH}_3$	5,23
$\text{X} = \text{Cl}$	4,67
$\text{X} = \text{Br}$	4,67
$\text{X} = \text{NO}_2$	4,40



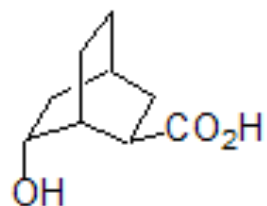
$\text{X} = \text{H}$	6,04
$\text{X} = \text{Br}$	5,39
$\text{X} = \text{CN}$	5,23
$\text{X} = \text{NO}_2$	4,55



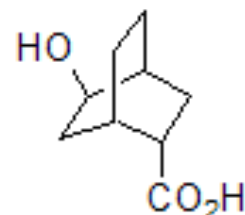
6,07



5,67



6,42

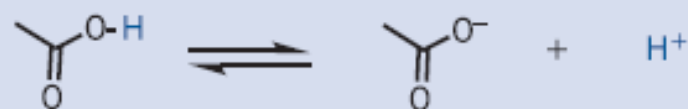


6,47

^a Stock, L. M. *J. Chem. Ed.* **1972**, 94(6), 400-404.

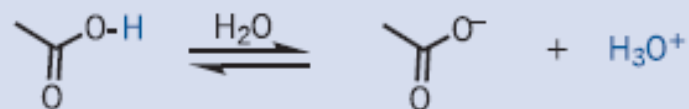
^b Fuchs, R.; Kaplan, C. A.; Bloomfield, J. J.; Hatch, L. F. *J. Org. Chem.* **1962**, 27, 733

dissociação em fase gasosa



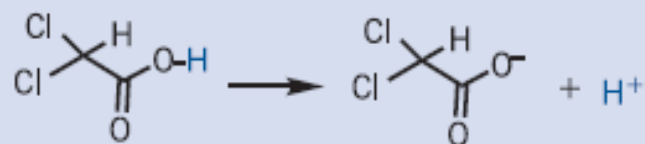
ΔG°	ΔH°	ΔS°	$T\Delta S^\circ$
341,1	348,1	25,6	7,0

dissociação em água



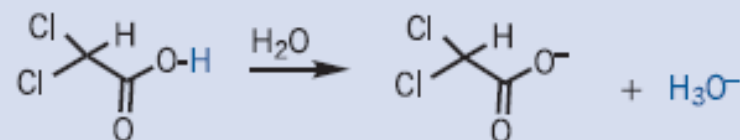
ΔG°	ΔH°	ΔS°	$T\Delta S^\circ$	pK_a
6,5	-0,11	-22,0	-6,55	4,756

dissociação em fase gasosa



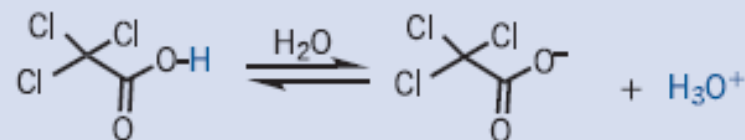
ΔG°	ΔH°	ΔS°	$T\Delta S^\circ$
321,9	328,4	22,18	6,5

dissociação em água



ΔG°	ΔH°	ΔS°	$T\Delta S^\circ$	pK_a
1,8	-6,1	-6,0	-1,78	1,3

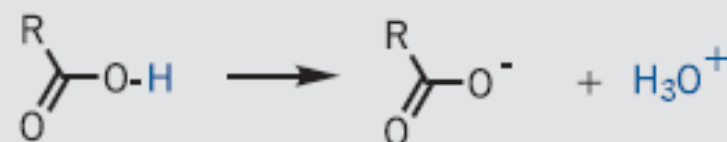
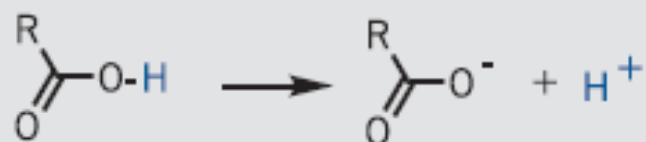
dissociação em água



ΔG°	ΔH°	ΔS°	$T\Delta S^\circ$	pK_a
0,87	1,0	2,0	0,6	0,64

$[\Delta G^\circ] = \text{kcal/mol}$
 $[\Delta H^\circ] = \text{kcal/mol}$
 $[\Delta S^\circ] = \text{cal/mol.K}$
 $[T\Delta S^\circ] = \text{kcal/mol}$

Efeitos de grupos alquila na dissociação de derivados do ácido acético

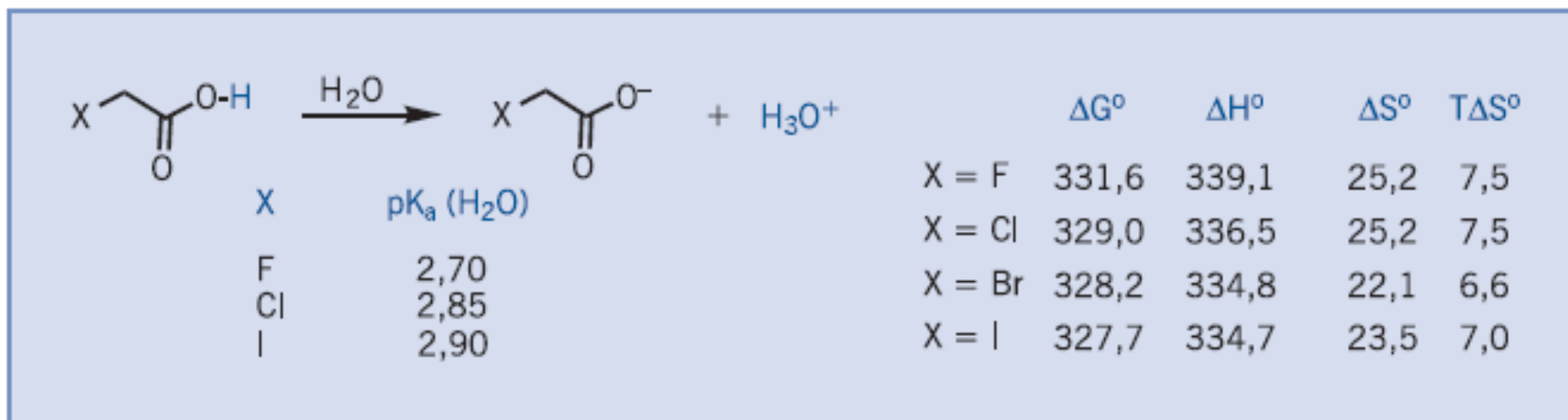


	ΔG°	ΔH°	ΔS°	$T\Delta S^\circ$		ΔG°	ΔH°	ΔS°	$T\Delta S^\circ$	pK_a
R = CH ₃	341,1	348,1	23,5	7,0	R = CH ₃	6,5	-0,11	-22,0	-6,55	4,75
R = CH ₂ CH ₃	340,4	347,4	23,5	7,0	R = CH ₂ CH ₃	6,6	-0,23	-23,0	-6,83	4,87
R = tBu	337,6	344,6	23,5	7,0	R = tBu	6,9	-0,72	25,0	-7,62	5,03

ΔG° , ΔH° e $T\Delta S^\circ$ em Kcal/mol e ΔS° em cal/mol·K

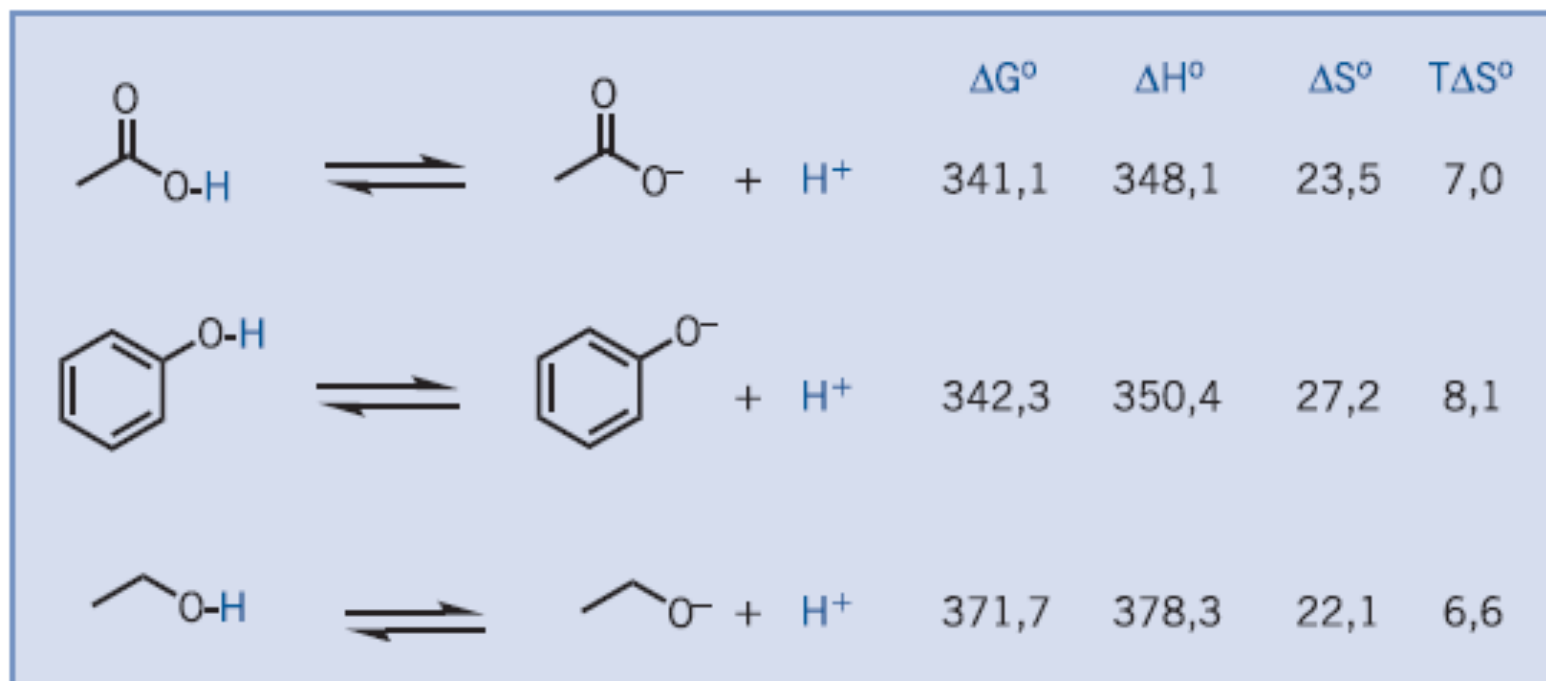
- ❑ Solvatação inverte ordem intrínseca
- ❑ Acidez dominado pelo termo entrópico

Efeitos de substituintes na dissociação de derivados do ácido acético



ESQUEMA 3.21 Dissociações de ácidos carboxílicos halogenados em fase gasosa e pK_a.

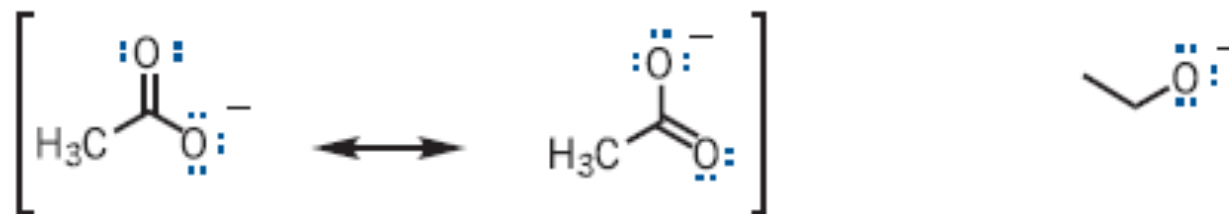
Efeito de ressonância



ESQUEMA 3.22

Dissociações em fase gasosa do ácido acético, fenol e etanol (ΔG° , ΔH° e $T\Delta S^\circ$ em Kcal/mol e ΔS° em cal/mol·K).

Efeito de ressonância (cont.)

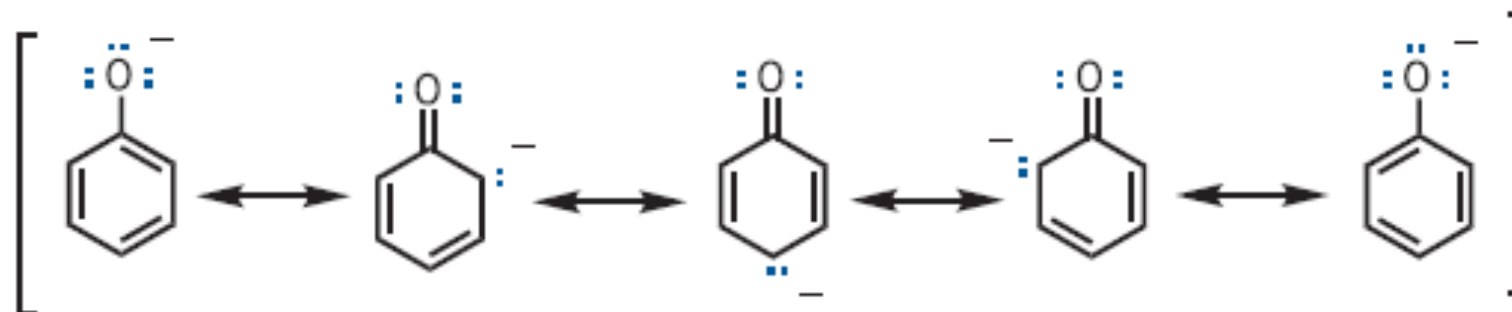


2 estruturas ressonância carboxilato

etóxido

FIGURA 3.9



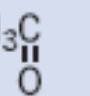
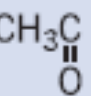
Estruturas canônicas no acetato e no fenolato.

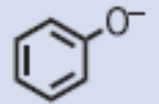


fenóxido

5 estruturas ressonância

Intrínseco x solução aquosa: dominada por efeitos entálpicos

Fase gasosa					Em água					
R-O-H	→	R-O ⁻	+ H ⁺		R-O-H + H ₂ O	→	R-O ⁻	+ H ₃ O ⁺		
		ΔG°	ΔH°	ΔS°	$T\Delta S^\circ$		ΔG°	ΔH°	ΔS°	$T\Delta S^\circ$
R = Et		371,7	378,3	22,1	6,6		—	—	—	—
R = 		342,3	350,4	27,2	8,1	R = 	13,7	5,6	-27,0	-8,0
R = 		341,5	348,1	23,5	7,0	R = 	6,5	-0,11	-22,0	-6,55

EtO⁻  CH₃CO₂⁻

entropia
estabilização intrínseca (ressonância)

←

solvatação eletrofílica

ESQUEMA 3.23 Dissociações em fase gasosa e em água para o etanol, fenol e ácido acético (ΔG° , ΔH° e $T\Delta S^\circ$ em Kcal/mol e ΔS° em cal/mol·K).

Resumo

- Propriedades ácido-base de funções químicas diferentes costumam ser dominadas pelo termo entálpico, que é fortemente influenciado pelo fator intrínseco à estrutura molecular
 - Se a função for a mesma, os fatores entrópicos podem (e usualmente são) os fatores que controla a posição do equilíbrio
-

Ligações C-H ácidas: ressonância em ação

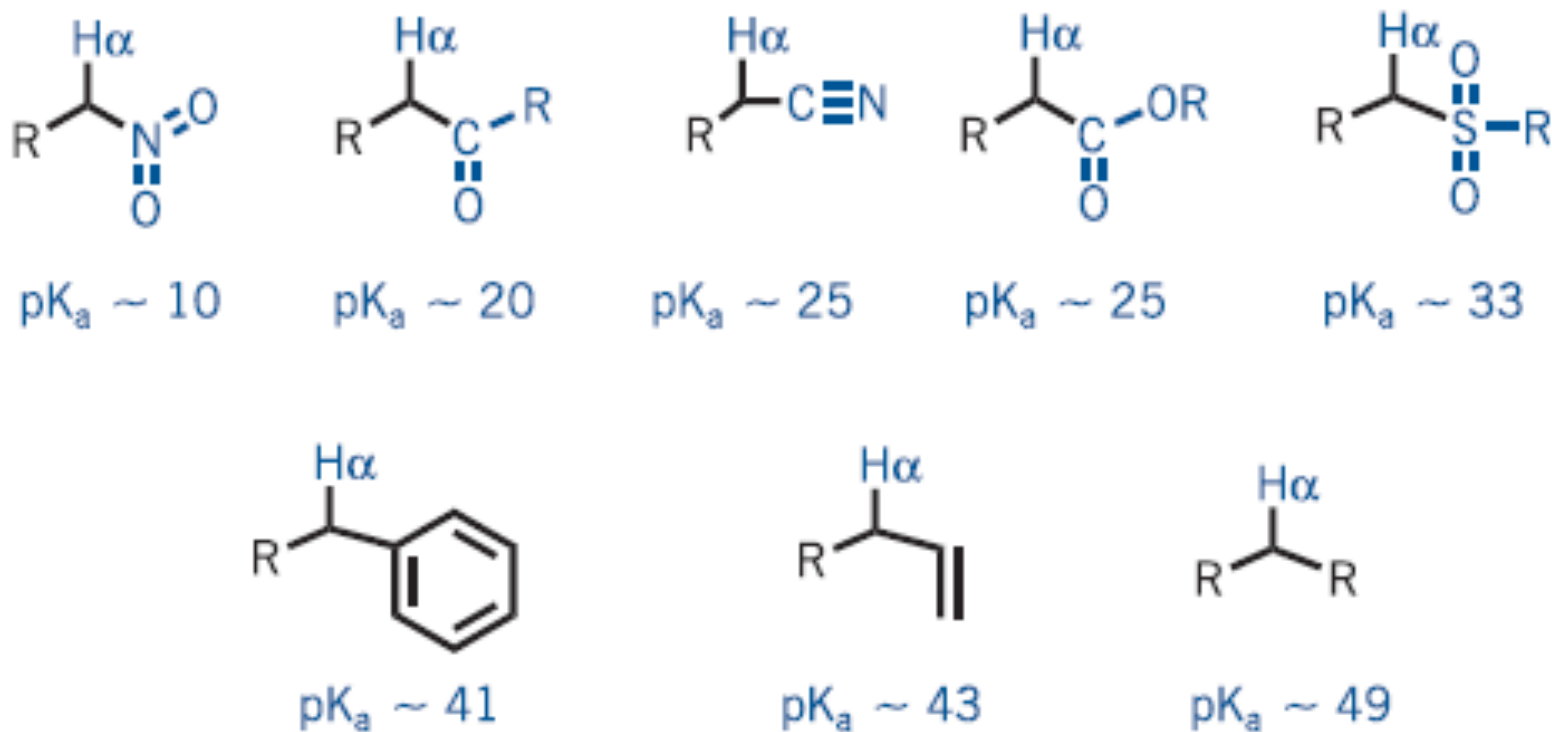
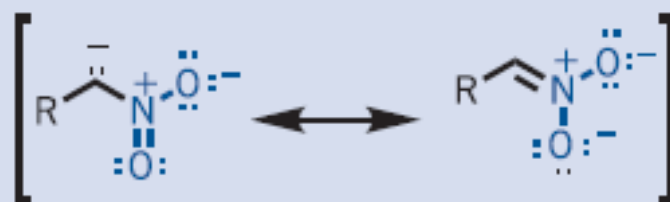
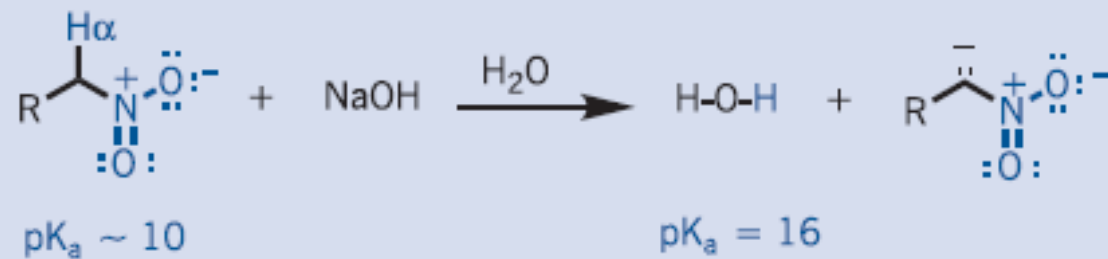
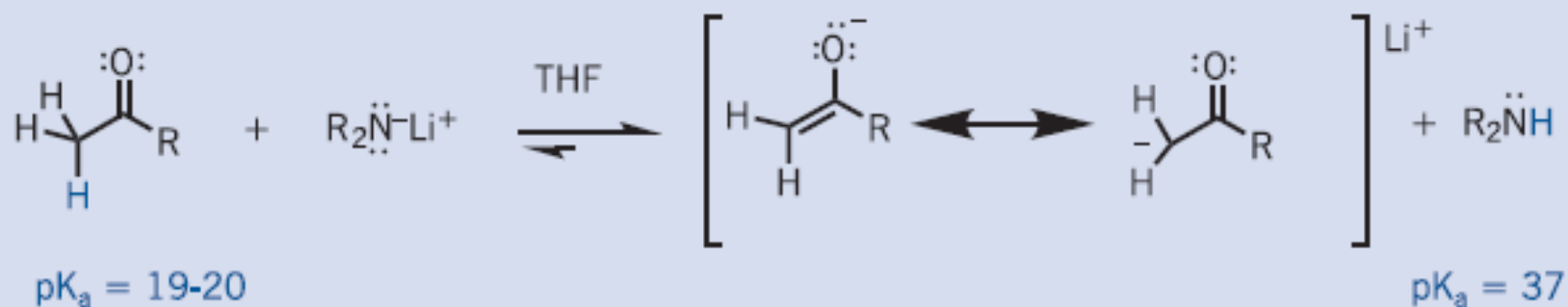
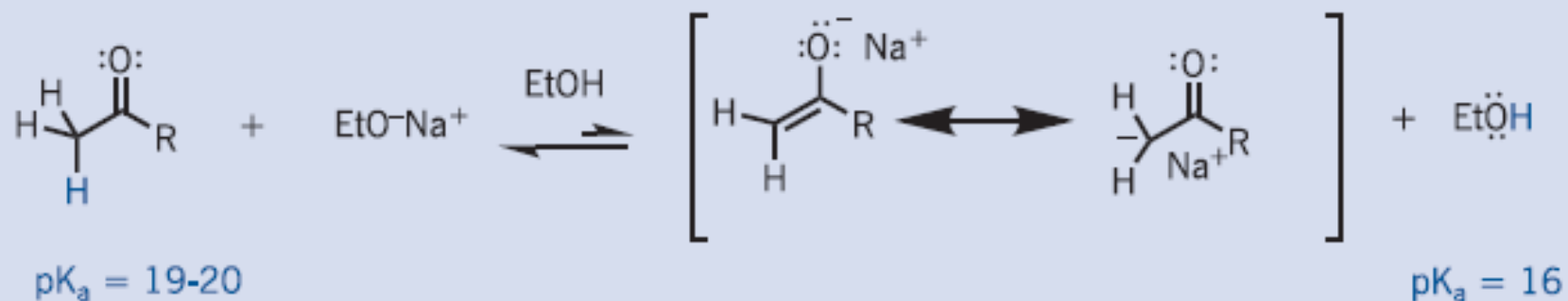


FIGURA 3.10 Efeito do substituinte na acidez (pK_a em água) de ligações C-H.



ESQUEMA 3.24
Dissociação de
nitroalcanos.

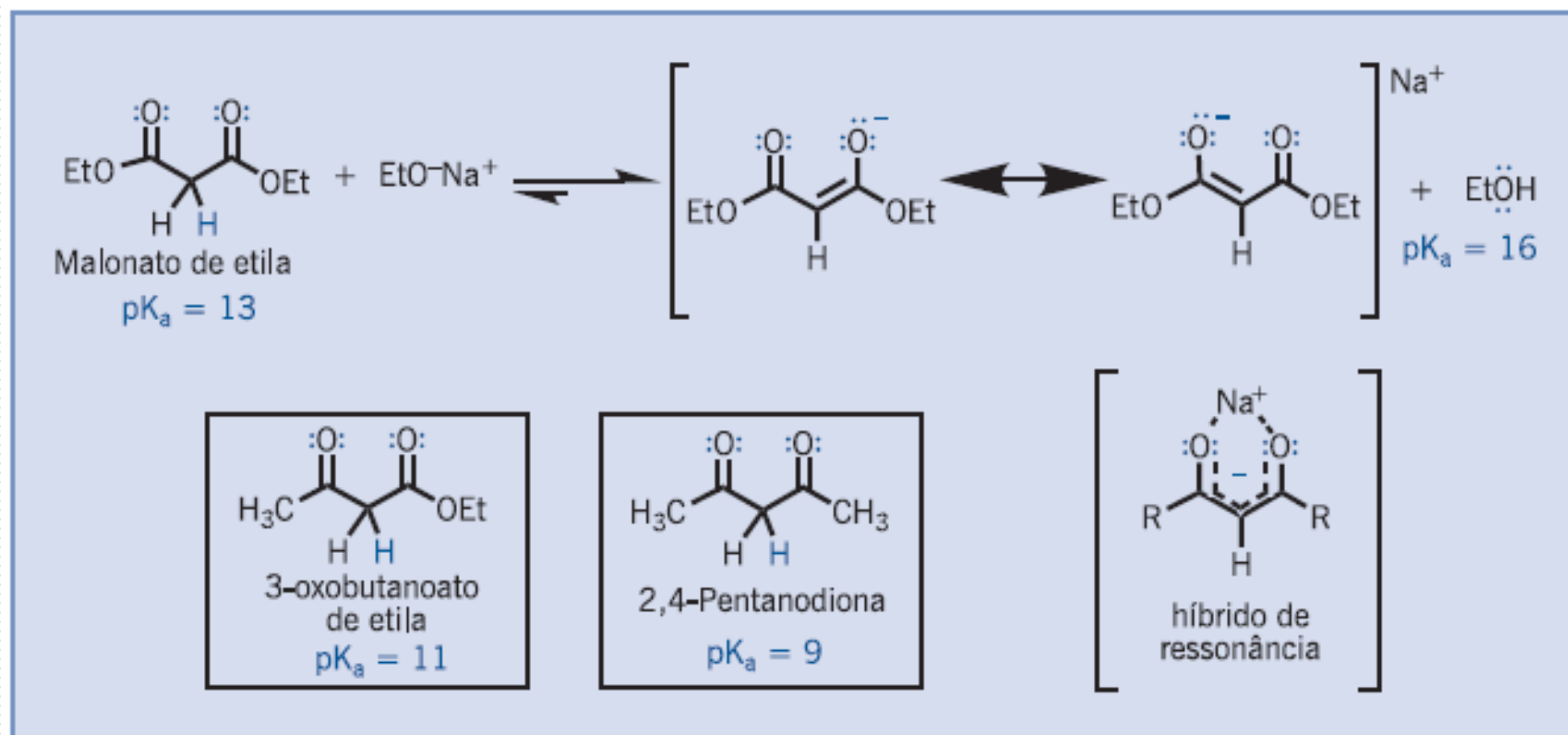
Formação de enolatos



R = H, alquila, OR, NR₂

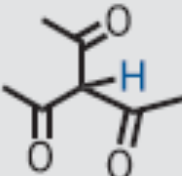
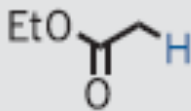
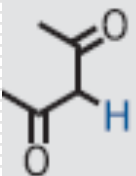
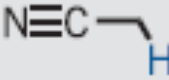
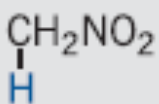
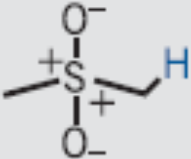
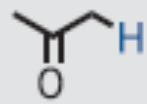
ESQUEMA 3.25 Dissociação de derivados carbonilados: a força da base e a posição do equilíbrio.

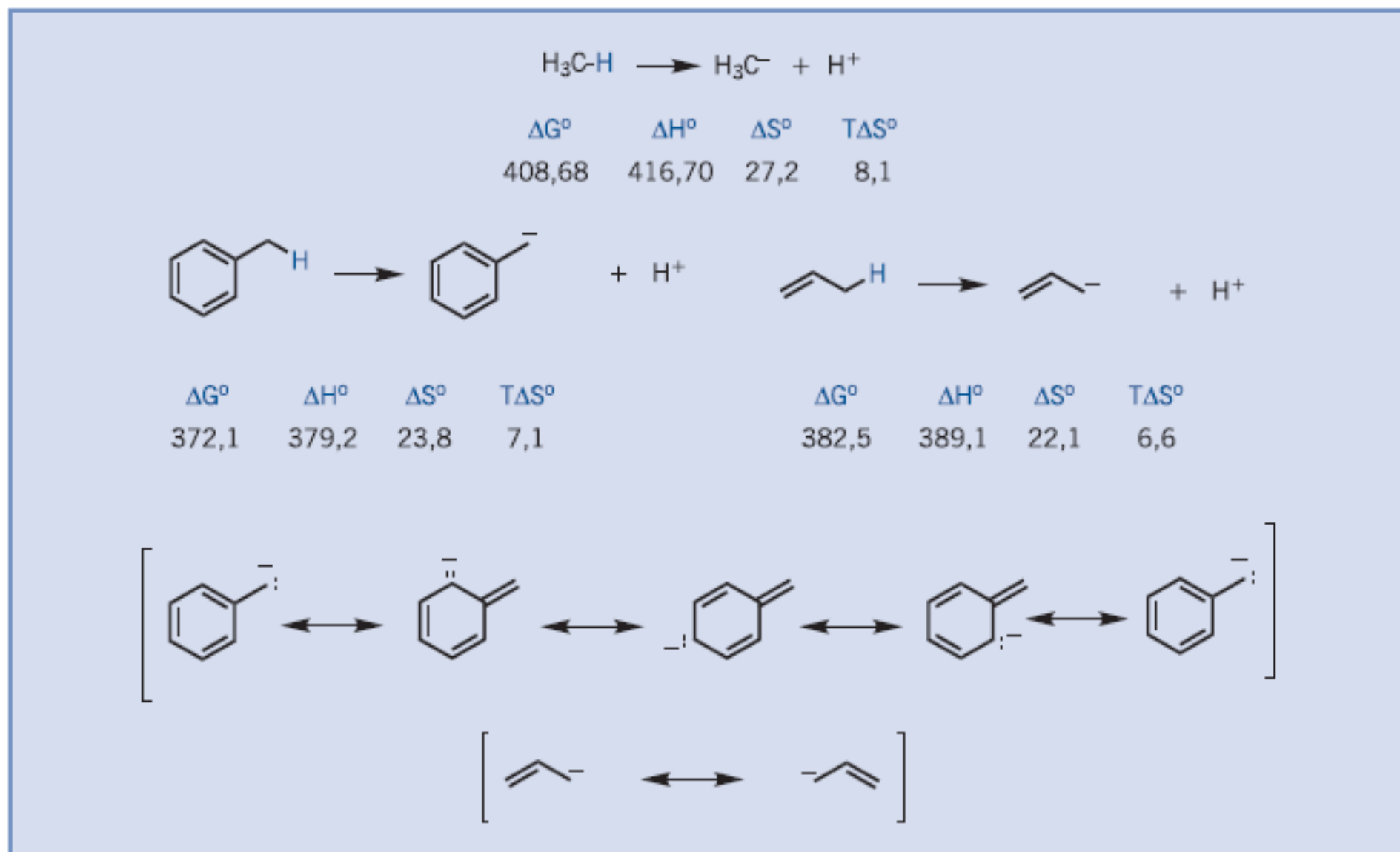
Efeito de mais de uma conjugação



ESQUEMA 3.26 Dissociações do malonato de etila, acetoacetato de etila e β -dicetona.

Dissociação de ligações C-H em água e em DMSO

	pK_a (H ₂ O)	pK_a (DMSO)		pK_a (H ₂ O)	pK_a (DMSO)
	6,0	8,60		24,5	
	9,0	13,33		31,0	31,3
	11,0	17,3		31,0	
	20,0	26,4			



ESQUEMA 3.27 Dissociações de hidrocarbonetos em fase gasosa: a estabilização de ânions benzílicos e alílicos (ΔG° , ΔH° e $T\Delta S^\circ$ em Kcal/mol e ΔS° em cal/mol·K).

Gerando carbânions em solução

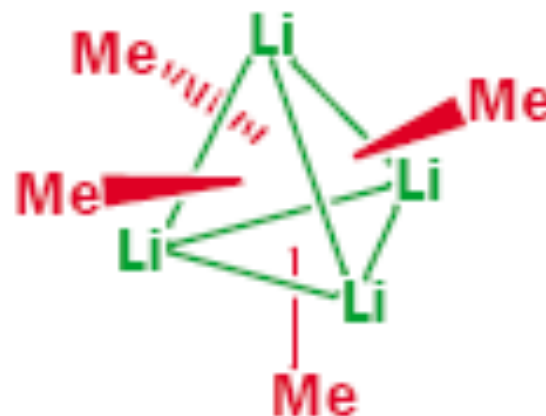
ESQUEMA 3.28

Dissociação de ligações alílicas e benzílicas promovidas por amidetos de lítio em meio apolar anidro.

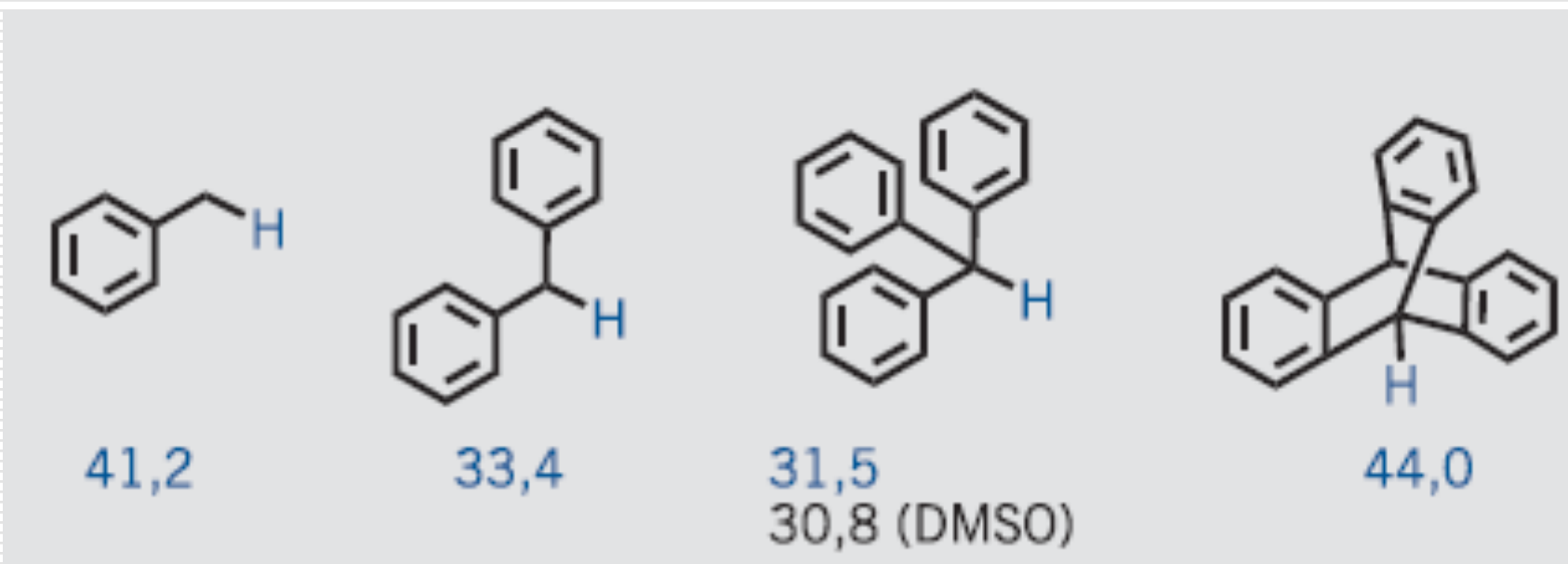


Organolítio usualmente se encontram sob a forma de aglomerados

- Tetrâmeros
- Hexâmeros
- Octâmeros
- etc



Como explicar os valores de pKa?



Métodos de medida de acidez e basicidade na fase gasosa

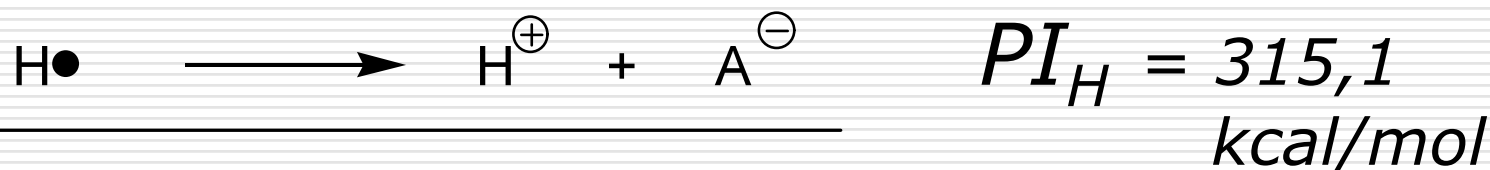
Afinidades Protônicas



onde,

$$\Delta_f H^\circ(MH^+) = \Delta_f H_o(M) + \Delta_f H_o(H^+) - AP$$

Ciclo termodinâmico para obter a Afinidade Protônica (AP) de A^-



$$AP = DH_A - AE_A + PI_H$$

Medindo-se as concentrações,
mede-se K_{eq}



$$K_{eq} = \frac{[M][BH^+]}{[MH^+][B]}$$

Técnicas que medem concentrações

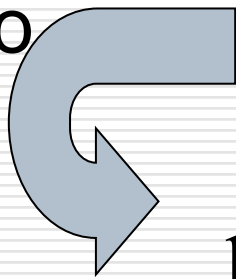
□ Espectroscopia

- UV-Vis
 - RMN
 - IR
 - FT-ICR
 - ESCA
 - XPS
 - etc
-

Tendo-se

$$-RT \ln K_{eq} = \Delta G = \Delta H - T\Delta S$$

Dividindo
por
-RT

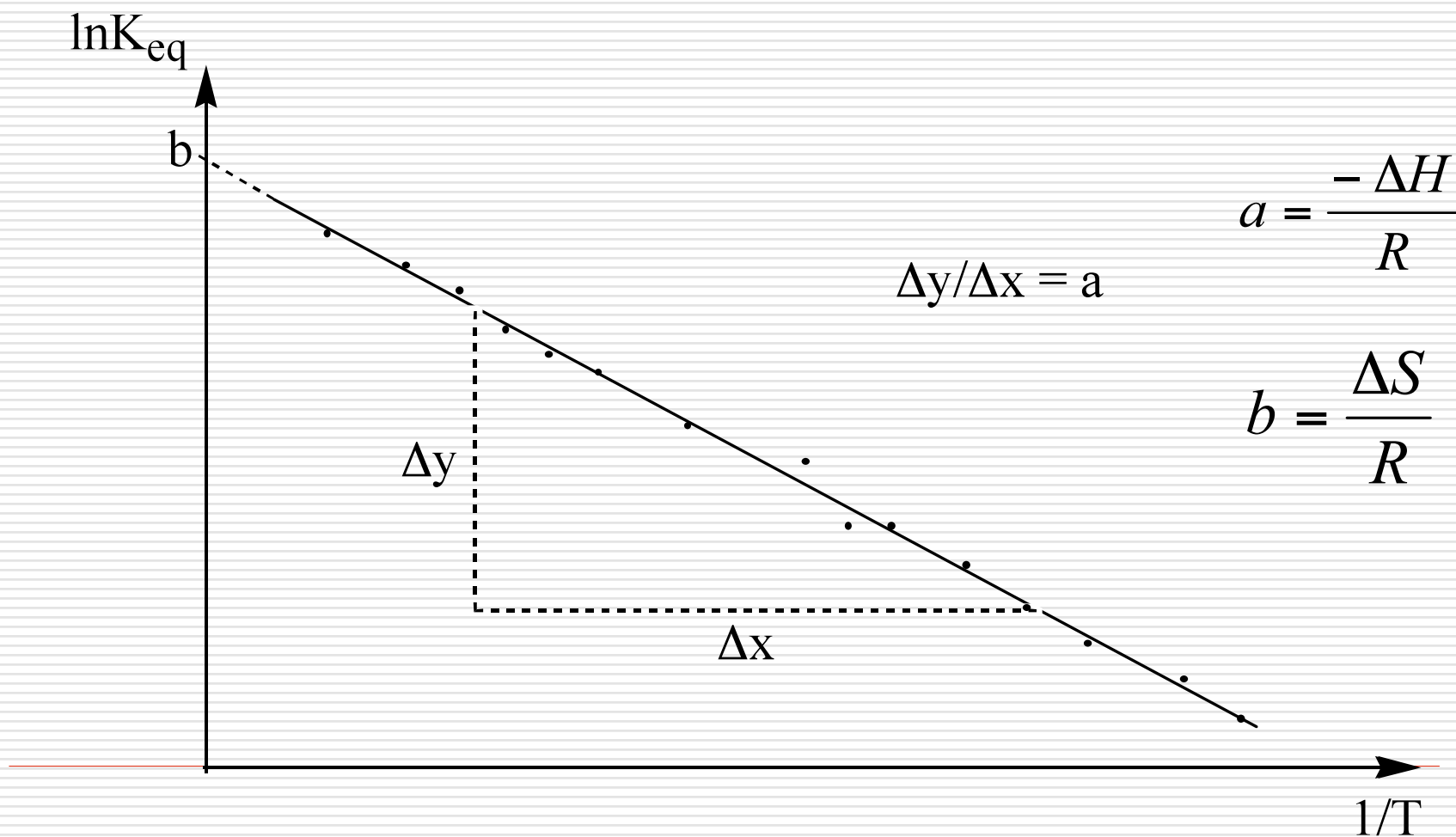


$$-RT \ln K_{eq} = \Delta H - T\Delta S$$

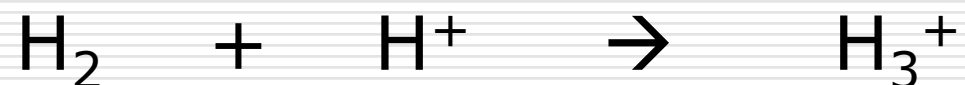
$$\underbrace{\ln K_{eq}}_y = \underbrace{\frac{\Delta H}{R}}_a \times \underbrace{\left(\frac{1}{T}\right)}_x + \underbrace{\frac{\Delta S}{R}}_b$$

$y = a \cdot x + b$

Gráfico de van't Hoff usado para determinar ΔH , ΔG e ΔS de equilíbrios químicos.



Protonação de H₂



$$\Delta_f H^\circ(\text{H}_3^+) = \Delta_f H^\circ(\text{H}_2) + \Delta_f H^\circ(\text{H}^+) - AP$$

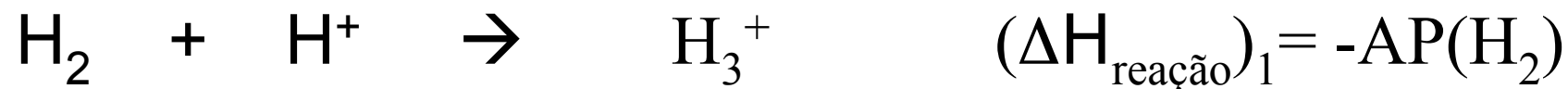
$\Delta_f H^\circ(\text{H}_2) = 0$ kcal/mol (pela definição de entalpia de formação)

$AP(\text{H}_2) = 100,9$ kcal/mol

$\Delta_f H^\circ(\text{H}^+) = 365,7$ kcal/mol (pela convenção do íon),

$$\Delta_f H^\circ(\text{H}_3^+) = 0 + 365,7 - 100,9 = 264,8 \text{ kcal/mol}$$

Usando $\Delta_f H^\circ(\text{H}_3^+)$ para calcular $\Delta_f H^\circ(\text{CH}_5^+)$



e



Temos



$$(\Delta H_{\text{reação}})_3 = (\Delta H_{\text{reação}})_1 + (\Delta H_{\text{reação}})_2 = -\text{AP}(\text{H}_2) + (\Delta H_{\text{reação}})_2$$

$$\text{AP}(\text{CH}_4) = -(\Delta H_{\text{reação}})_3 = \text{AP}(\text{H}_2) - (\Delta H_{\text{reação}})_2$$

-
- Assim, todas os dados de basicidade e afinidades por próton de qualquer molécula podem ser medidas de maneira similar

webbook.nist.gov/chemistry

Medindo pK_a

Titulação Ácido-Base

□ Henderson-Hasselbalch

$$pK_a = pH - \log \frac{[A^-]}{[HA]}$$

$$[A^-] = [HA] \rightarrow [A^-]/[HA] = 1 \rightarrow \log[A^-] / [HA] = 0$$

Assim,

$$pK_a = pH - 0$$

$$pK_a = pH$$

Aspectos práticos

- menos útil do que usualmente possa parecer
 - nem sempre se tem quantidade suficiente de amostra de material altamente puro (~100mg)
 - material nem sempre é solúvel em água
-

Espectroscopia no Ultravioleta-Visível

- Determina-se as concentrações do ácido e sua base conjugada em um dado pH
- Lei de Lambert-Beer: $a_x = \epsilon d[X]$
- $0.1 < [A^-]/[HA] < 10$

$$pK_a = pH - \log \left(\frac{|a_{ion} - a|}{|a - a_{HA}|} \right)$$

Método da Solubilidade

- Solubilidade x pH (obtido com tampão)
- Titulação até que ácido ou base conjugada precipite
- Obtém-se concentrações pelo K_{ps}

$$pK_a = pH - \log\left(\frac{S'}{S} - 1\right)$$

- S = Solubilidade da forma neutra
 - S' = solubilidade aparente, ou seja, da forma neutra + a ionizada
-

Método da Partição

- ❑ Sistema bifásico: Ex. Octanol/água
- ❑ Coeficiente de partição medido em diferentes pH's (tampão)
- ❑ Para ácidos:

$$pK_a = pH - \log\left(\frac{P}{P'} - 1\right)$$

- ❑ P = Coeficiente de partição da forma neutra
- ❑ P' = Coeficiente de partição aparente, ou seja, da forma neutra + a ionizada

Grau de dissociação

$$\%ionizado = \frac{100}{1 + 10^{(pK_a - pH)}}$$

Exemplo

- Um ácido tem $pK_a = 5,2$. Qual o percentual do ácido que está ionizado em pH 6,0?
- O percentual de ionização de um ácido é dado pela equação acima. Assim, em pH=6,

$$\%ionizado = \frac{100}{1 + 10^{(5,2-6,0)}} = \frac{100}{1 + 0,585}$$

$$\%ionizado = 86,3\%$$

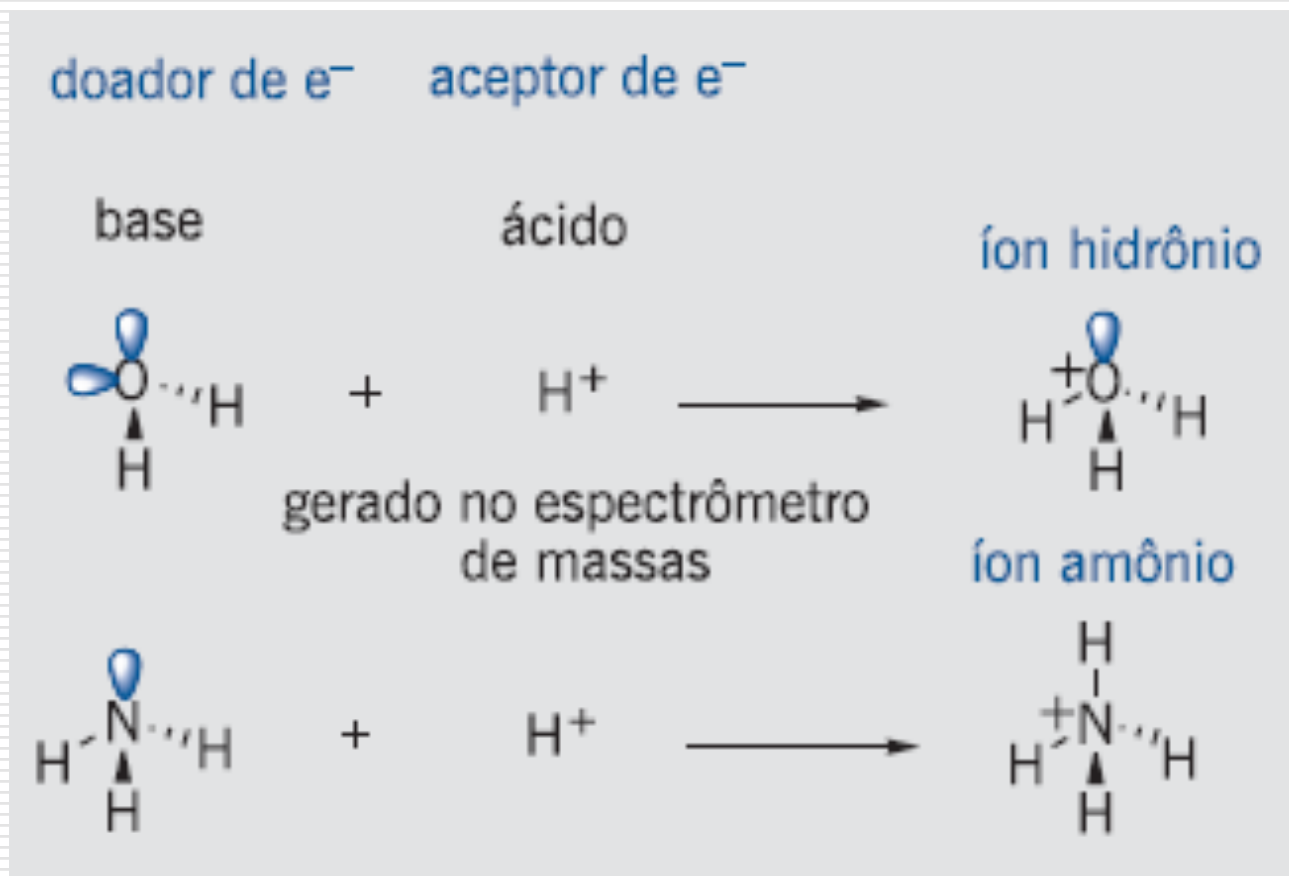
Tipos de Bases

n

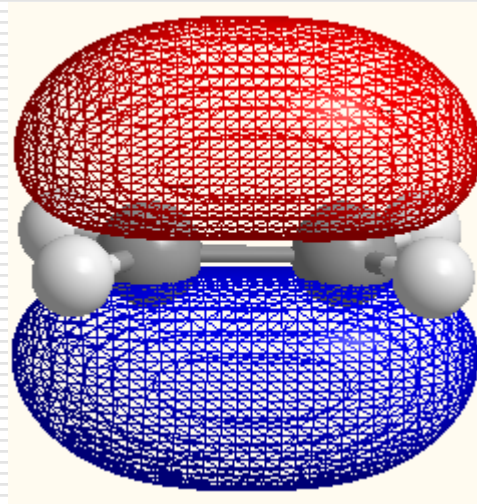
π

σ

Bases n: Espécies com um par de elétrons isolado



Bases π : Espécies com um par de elétrons em uma ligação π

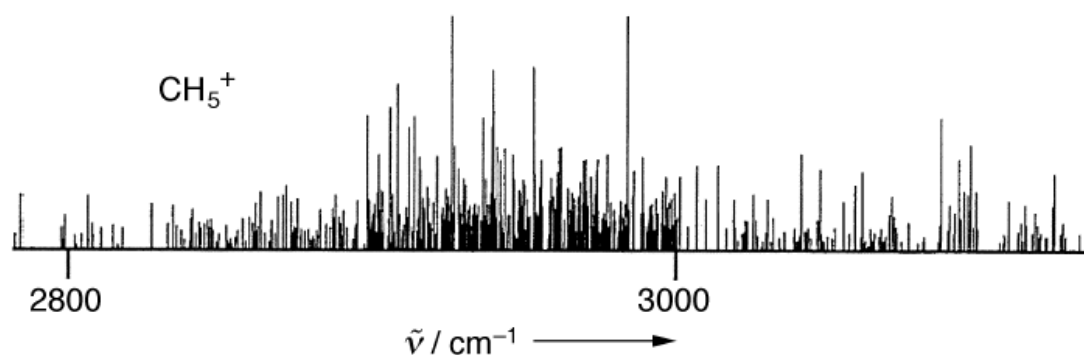


Bases σ : Espécies com um par de elétrons em uma ligação σ

CH₅⁺: Resultante da protonação CH₄



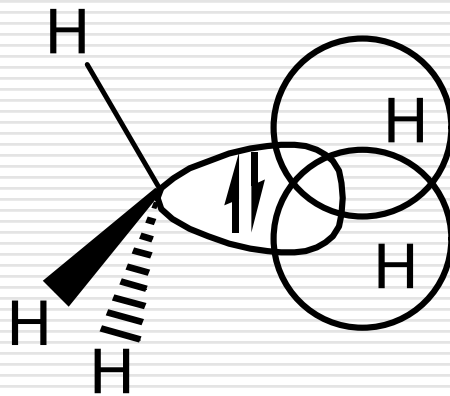
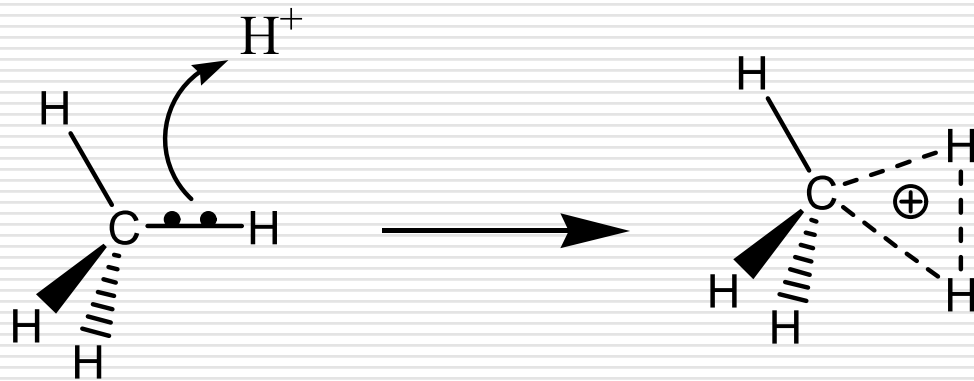
CH₅⁺: Resultante da reação de H₂ com CH₃⁺



Espectro de IV de alta resolução do CH₅⁺

**Oka, Tang and White,
Science 1999,284,
135-137**

Íon carbônio: Metano protonado



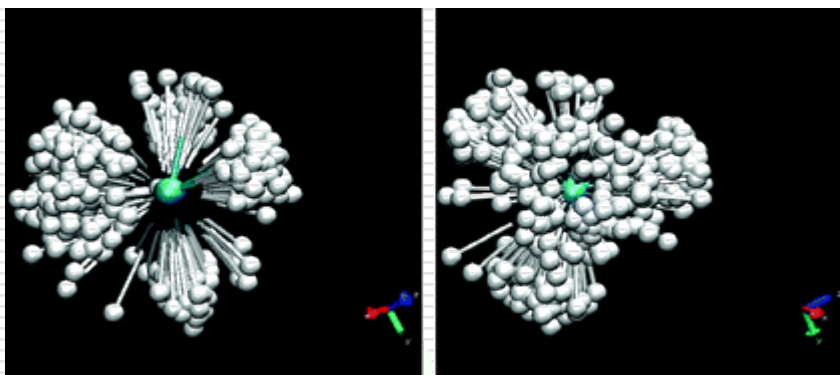
Journal of the American Chemical Society

Volume 127 Issue 13 (April 06, 2005)

CH₅⁺: Chemistry's Chameleon Unmasked

Keiran C. Thompson, Deborah L. Crittenden, and Meredith J. T. Jordan

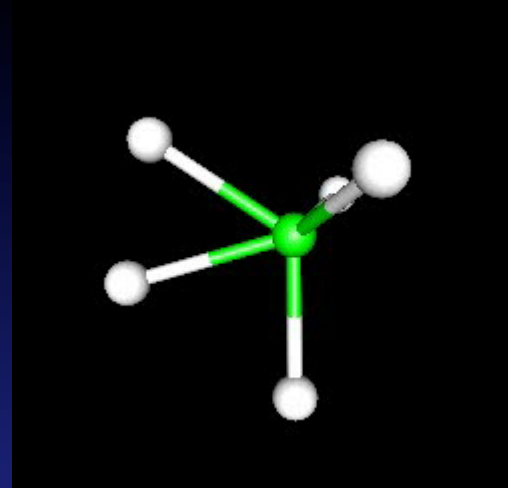
pp 4954 - 4958; **(Article)** DOI: [10.1021/ja0482280](https://doi.org/10.1021/ja0482280)



[Abstract](#) Full: [HTML](#) / [PDF](#) (185K) [Supporting Info](#)

Protonated Methane

CH_5^+ : A fluxional species



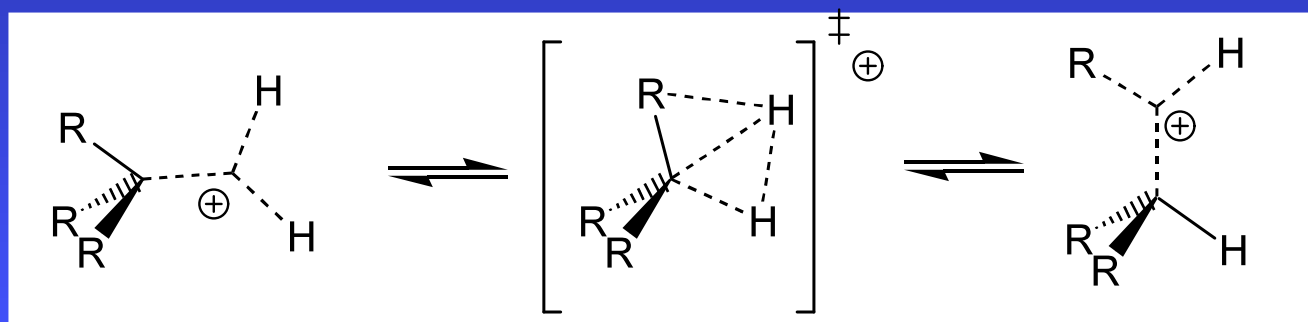
Marx and Parrinello. *Science* **1999**, 284 59 – 6

Oka. Tang and White. *Science* **1999**, 284, 135-137

Asvany *et al.* *Science* **2005**, 309, 1219-1222

Bowman *et al.* *Science* **2006**, 311, 5757, 60 - 63

Fluxionality of CH_5^+ and Rearrangements of Carbonium Ions

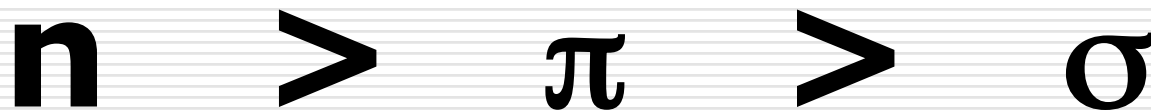


Ordem de basicidade



$$AP = -\Delta H_{\text{reação}}$$

Substância	Afinidade protônica em fase gasosa (Kcal/mol)	
CH ₄	122	σ
H ₂ C=CH ₂	154	π
CH ₃ -O-H	182	n



Ralph G. Pearson: Durezza e Molezza



Maximum Chemical and Physical Hardness, Ralph G. Pearson, *J. Chem. Ed.*, 76, 267, (1999).

Electronic Properties of Some Inorganic Solids, Ralph G. Pearson, *Inorg. Chim. Acta*, 270, 252, (1998).

The HSAB Principle - More Quantitative Aspects, Ralph G. Pearson, *Inorg. Chim. Acta*, 240, 93, (1995).

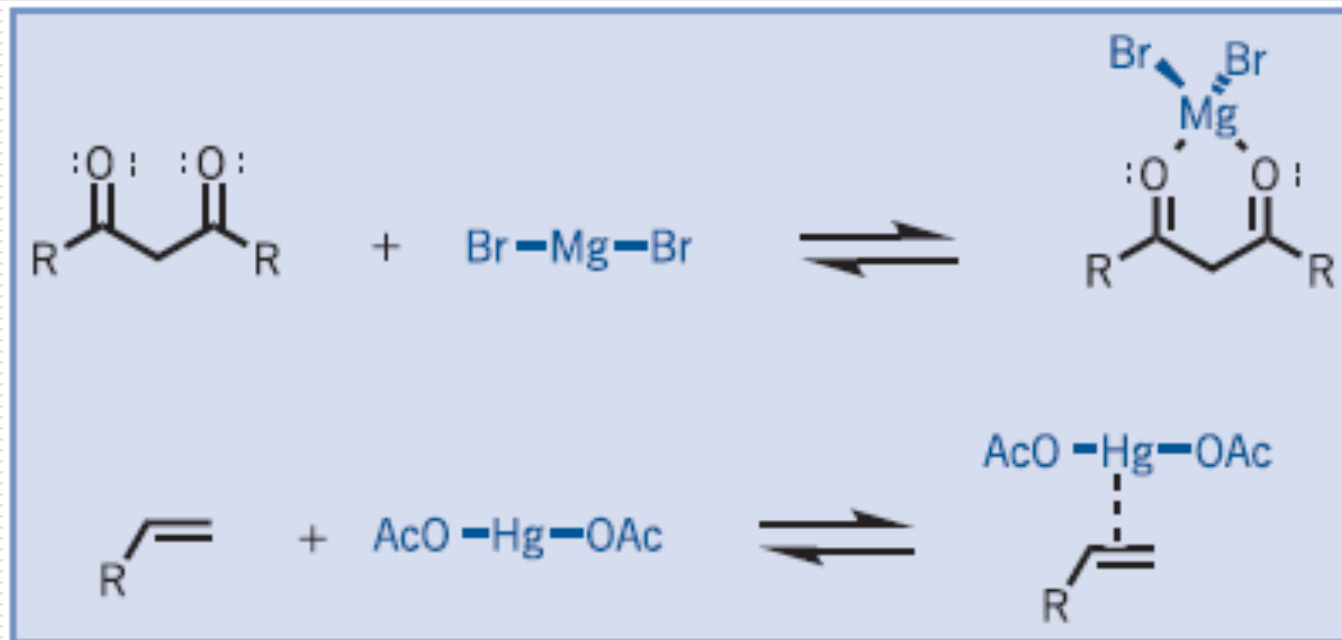
Principle of Maximum Physical Hardness, Ralph G. Pearson, *J. Phys. Chem.*, 98, 1989 (1994).

Bond Energies, Force Constants and Electronegativities, Ralph G. Pearson, *J. Mol. Struct. (Thermochem.)*, 300, 519 (1993).

Berzelius 1796:

Porque alguns metais se encontram na natureza sob a forma de sulfetos e outros sob a forma de óxidos, carbonatos, sulfatos ou silicatos?

Porque alguns metais têm afinidade por carbolinas e outros por ligações duplas?



Testou afinidade de íons metálicos por alguns ânions: Posição do equilíbrio

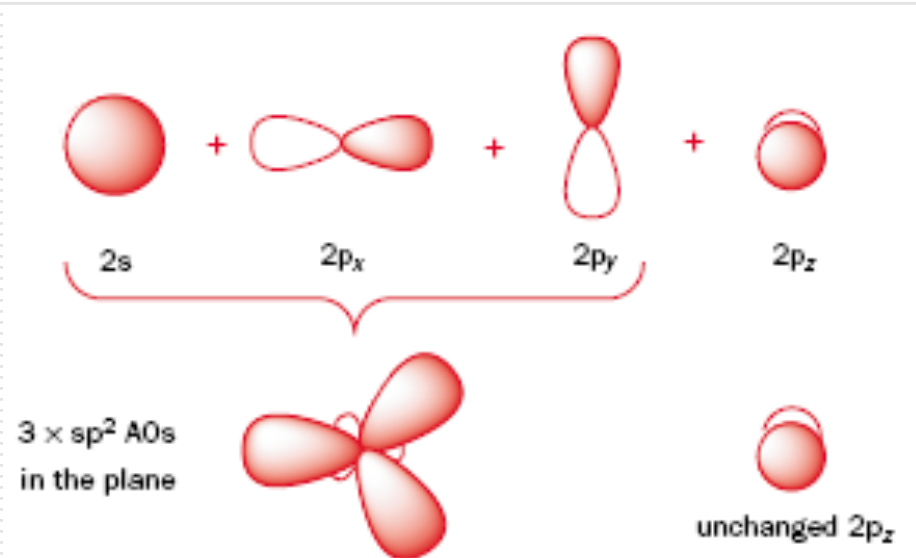


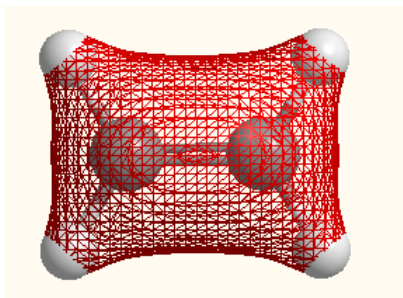
M = metais como B, Al, Fe, Sn, Zn, Hg

X = haletos, oxiânios, amidetos, tioalcóxidos

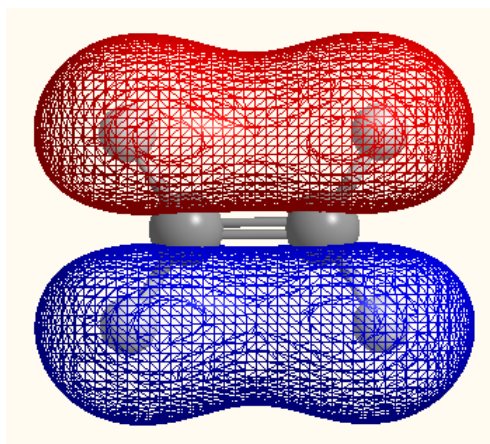
Orbitais Moleculares

- Uma das formas matemáticas de estudar mundo microscópico
- N orb. Atômicos → N Orb. Mol.
- Ex.: Etileno: 12 OA

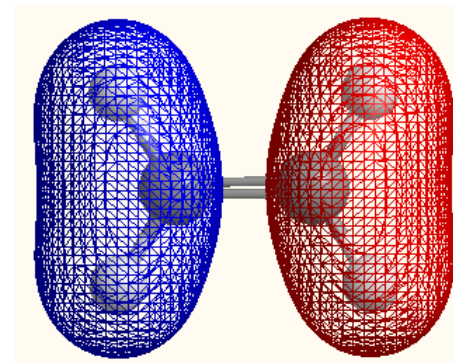




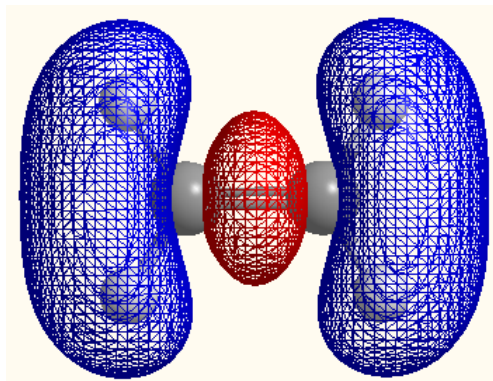
HOMO-5 (N=1)
-33.00 eV



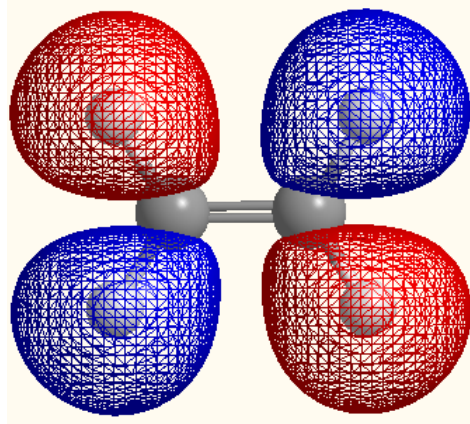
HOMO-4 (N=2)
-21.77 eV



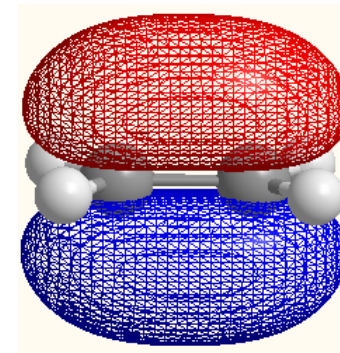
HOMO-3 (N=3)
-15.77 eV



HOMO-2 (N=4)
-14.12 eV

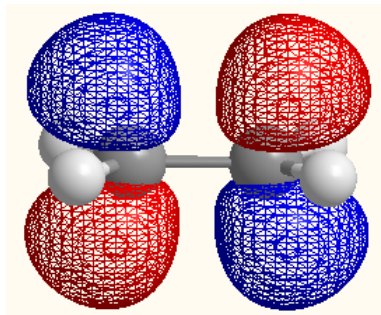


HOMO-1 (N=5)
-11.94 eV

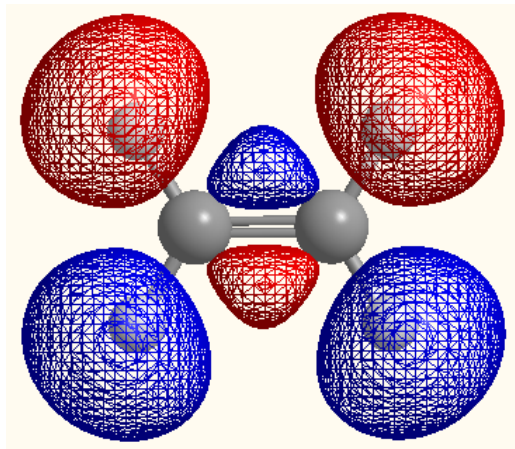


HOMO (N=6)
-10.46 eV

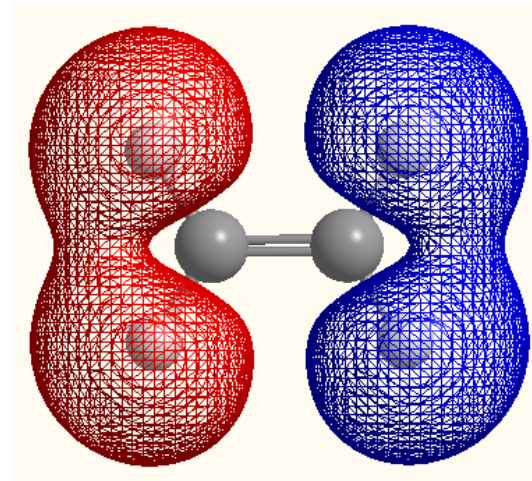




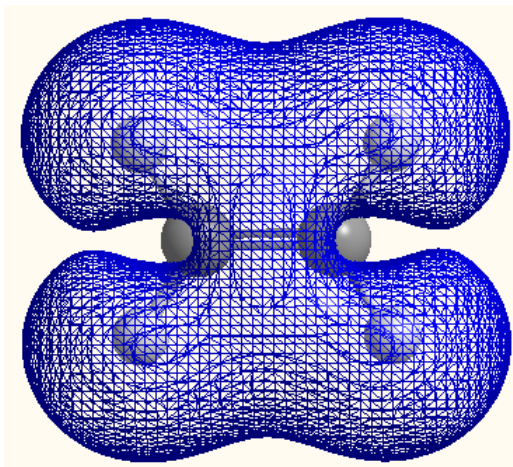
LUMO (N=7)
1.39 eV



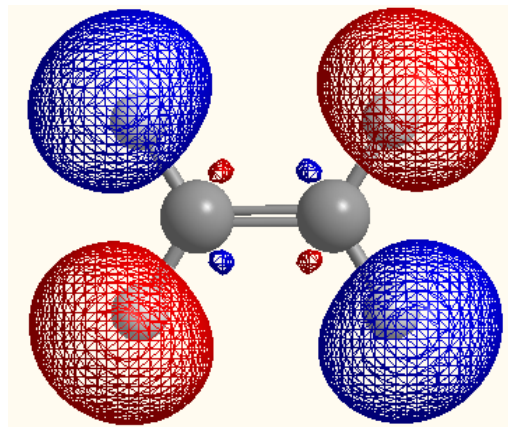
LUMO+1 (N=8)
4.10 eV



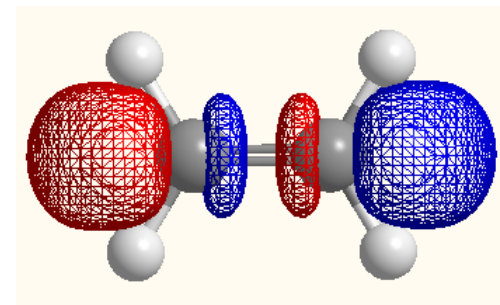
LUMO+2 (N=9)
4.35 eV



LUMO+3 (N=10)
4.98 eV



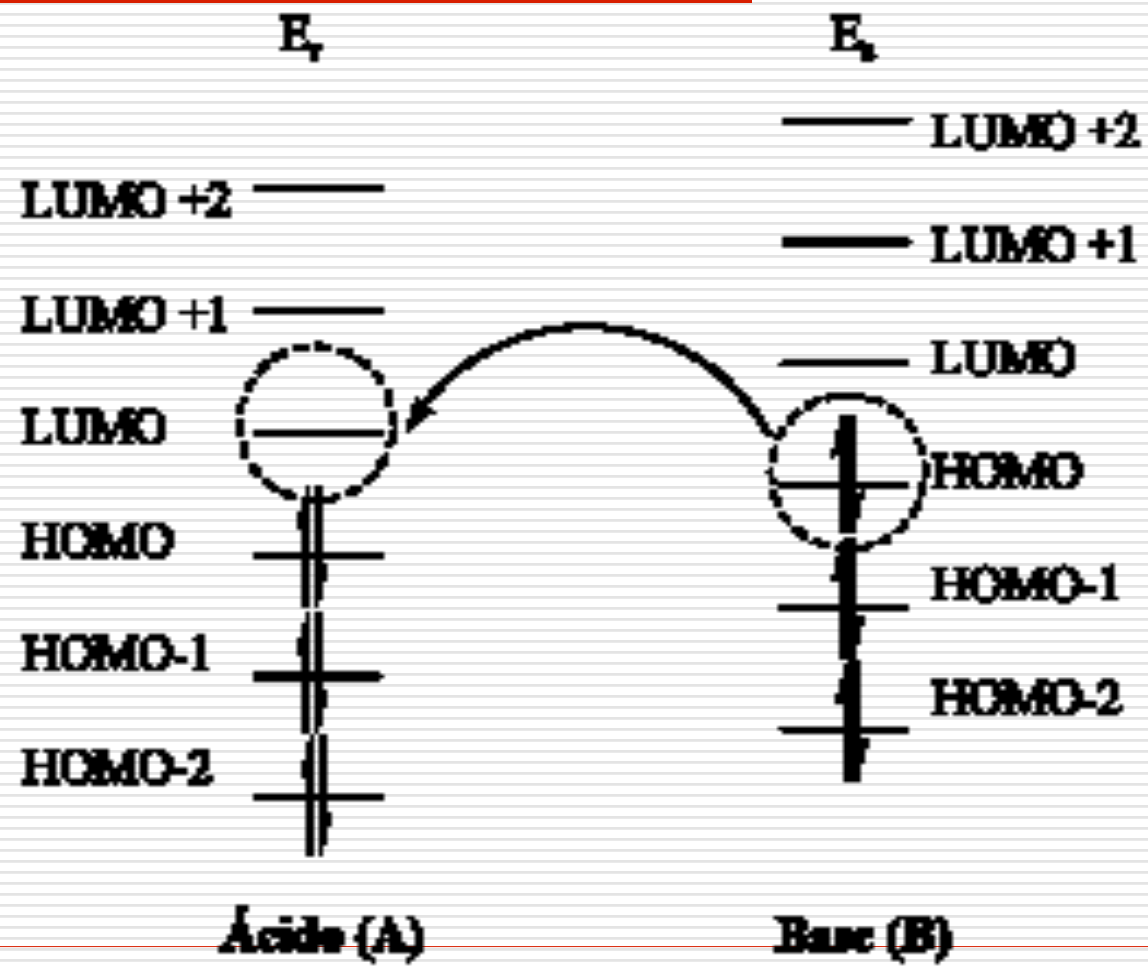
LUMO+4 (N=11)
5.59 eV



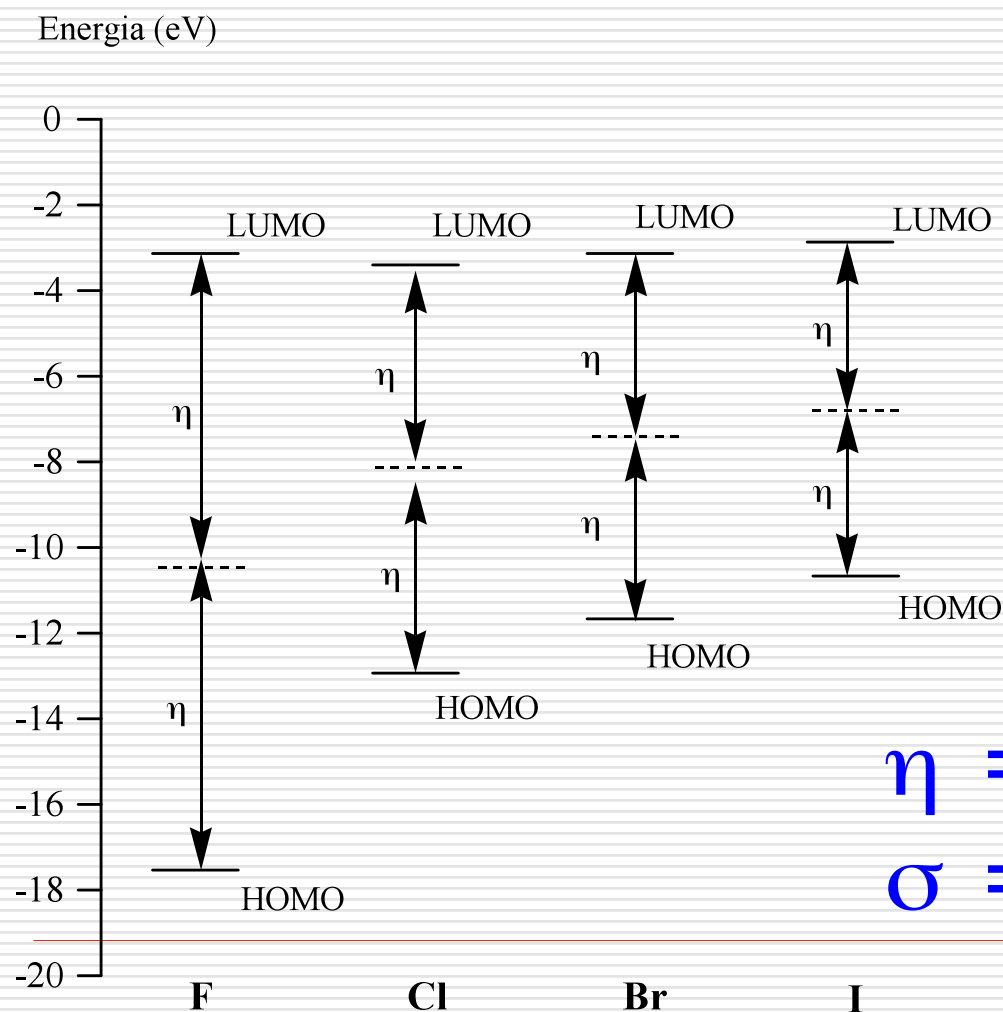
LUMO+5 (N=12)
5.73 eV

Potencial de ionização (PI) = $-E_{\text{HOMO}}$

Afinidade eletrônica (AE) = $-E_{\text{LUMO}}$



Energia do HOMO e LUMO para os halogênios



$$\eta = \frac{PI - AE}{2}$$

$$\sigma = 1/\eta$$

η = dureza global
 σ = moleza global

Ácidos catiônicos	PI (eV)	AE (eV)	η (eV)
Al ³⁺	119,99	28,45	45,77
Li ⁺	75,64	5,39	35,12
Mg ²⁺	80,14	15,04	32,55
Na ⁺	47,29	5,14	21,08
Ca ²⁺	50,91	11,87	19,52
Sr ²⁺	43,6	11,03	16,3
K ⁺	31,63	4,34	13,64
Zn ²⁺	39,72	17,96	10,88
Hg ²⁺	34,2	18,76	7,7
Ag ⁺	21,49	7,58	6,96
Pd ²⁺	32,93	19,43	6,75
Rh ²⁺	31,06	18,08	6,49
Cu ⁺	20,29	7,73	6,28
Sc ²⁺	24,76	12,80	5,98
Ru ²⁺	28,47	16,76	5,86
Au ⁺	20,5	9,23	5,6

□ PI varia mais que AE

Ácidos neutros	PI(eV)	AE(eV)	η (eV)
BF_3	15,81	-3,5	9,7
SO_3	12,7	1,7	5,5
HF	16,0	-6,0	11,0
HCl	12,7	-3,3	8,0
HI	10,5	0,0	5,3
H_2O	12,6	-6,4	9,5
$(\text{CH}_3)_2\text{O}$	10,0	-6,0	8,0
H_2S	10,5	-2,1	6,2

HF x HCl x HI

H_2O x H_2S x $(\text{CH}_3)_2\text{O}$

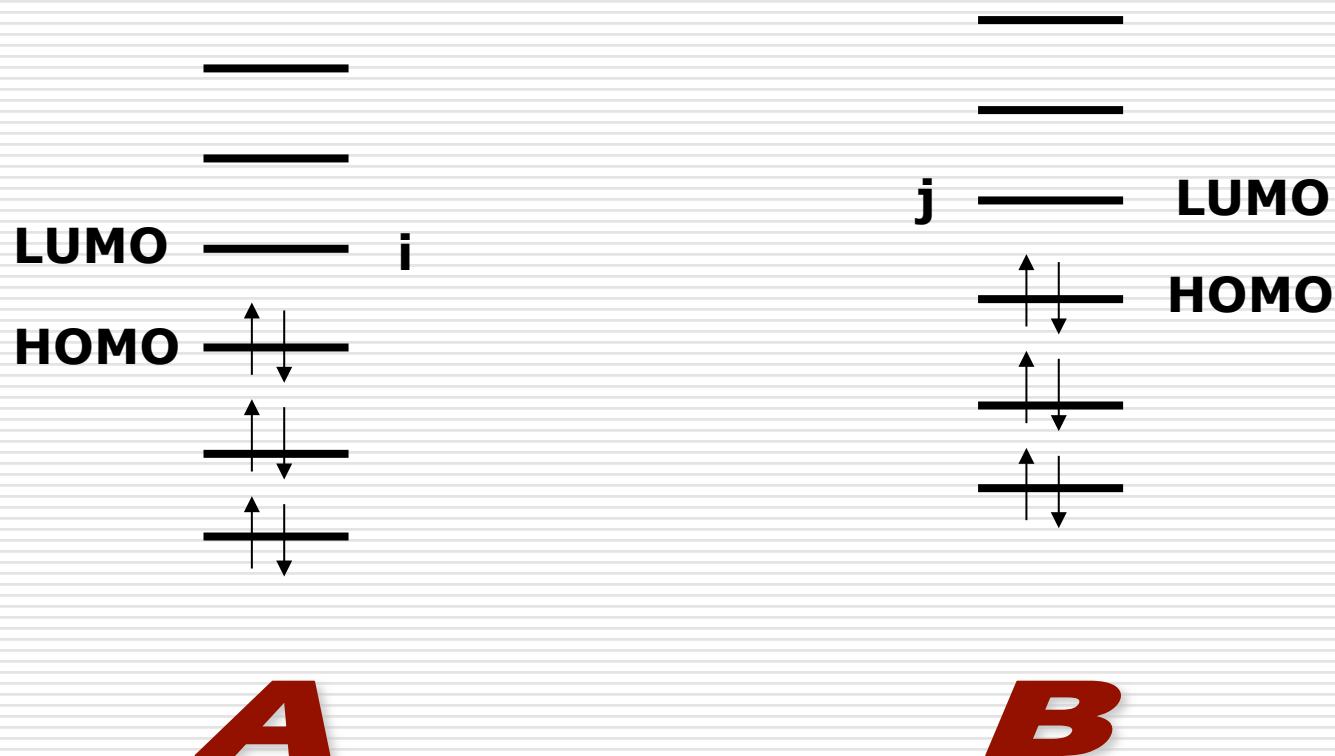
Bases aniônicas	PI(eV)	AE(eV)	η (eV)
F ⁻	17,42	3,40	7,01
OH ⁻	13,17	1,83	5,67
CN ⁻	14,02	3,82	5,10
CH ₃ ⁻	xxxx	xxxx	4,9
Cl ⁻	13,01	3,62	4,70
Br ⁻	11,84	3,36	4,24
NO ₂ ⁻	> 10,1	2,30	> 3,9
I ⁻	10,45	3,06	3,70

F⁻ x Cl⁻ x Br⁻ x I⁻

Bases neutras	PI (eV)	AE (eV)	η (eV)
H ₂ O	12,6	-6,4	9,5
(CH ₃) ₂ O	10,0	-6,0	8,0
NH ₃	10,7	-5,6	8,2
PF ₃	12,3	-1,0	6,7
(CH ₃) ₃ N	7,8	-4,8	6,3
PH ₃	10,0	-1,9	6,0
(CH ₃) ₃ P	8,6	-3,1	5,9

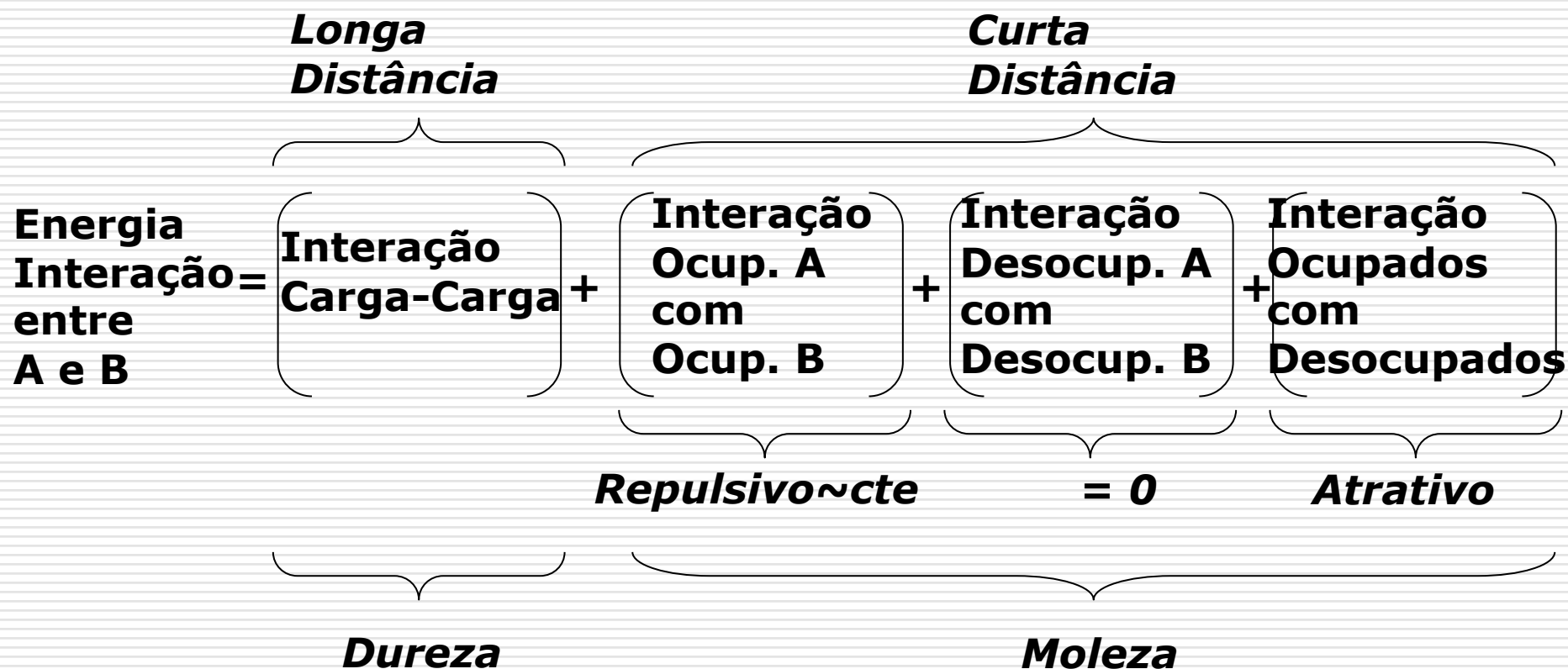


Interação entre Reagentes: MOs



HOMO: Highest Occupied Molecular Orbital
LUMO: Lowest Unoccupied Molecular Orbital

Energia de Interação entre Reagentes



Energia de Interação entre Reagentes

$$\begin{array}{c} \text{Energia} \\ \text{Interação} \\ \text{entre} \\ \text{A e B} \end{array} = \underbrace{\left[\frac{1}{4\pi\epsilon_0} \sum_{k < l} \frac{q_k q_l}{r_{kl}} \right]}_{\text{Lei Coulomb}} + \underbrace{\left[\text{Repulsivo Cte} \right]}_{\text{Longa Distância}} + \mathbf{0} + \underbrace{\left[\sum \sum \frac{\text{Outros}}{E_r - E_s} \right]}_{\text{Atrativo}} \quad \text{Curta Distância}$$

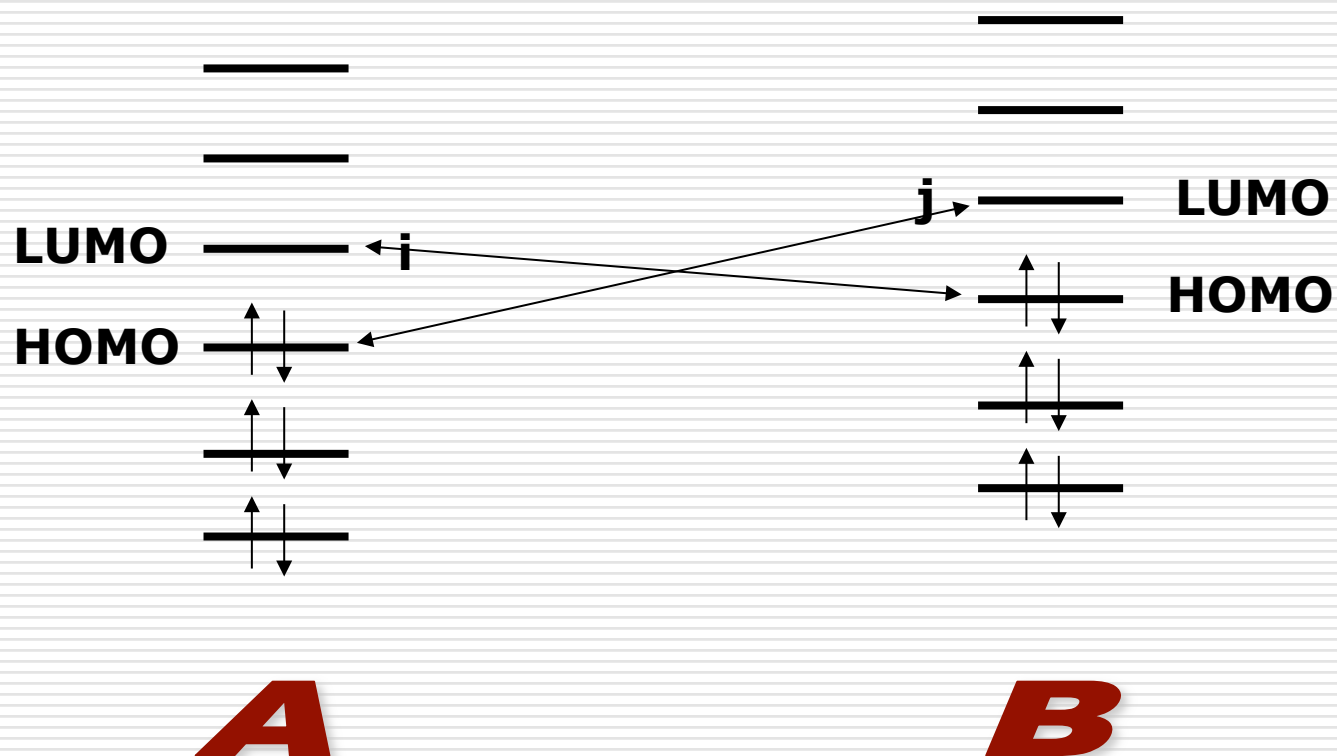
Quanto menor a diferença energia entre orbitais ocupados e desocupados, maior a energia de interação

Equação de Klopman e Salem

$$E_{\text{interação}} = - \sum_{ab} (q_a + q_b) \beta_{ab} S_{ab} + \sum_{k < l} \frac{q_k q_l}{\epsilon r_{kl}} + \sum_r^{\text{ocup}} \sum_s^{\text{não-ocup}} - \sum_r^{\text{ocup}} \sum_s^{\text{não-ocup}} \frac{2(\sum_{ab} c_{ra} c_{sb} \beta_{ab})^2}{E_r - E_s}$$

Ocupado-Ocupado *Eletrostático* *Sobreposição Orbital*

Interação entre Reagentes: MOs



HOMO: Highest Occupied Molecular Orbital
LUMO: Lowest Unoccupied Molecular Orbital

Orbitais de Fronteira: HOMO e LUMO

- Orbitais de menor diferença de energia são o par HOMO de mais alta energia com o LUMO de mais baixa energia entre as duas espécies

HOMO mais alto



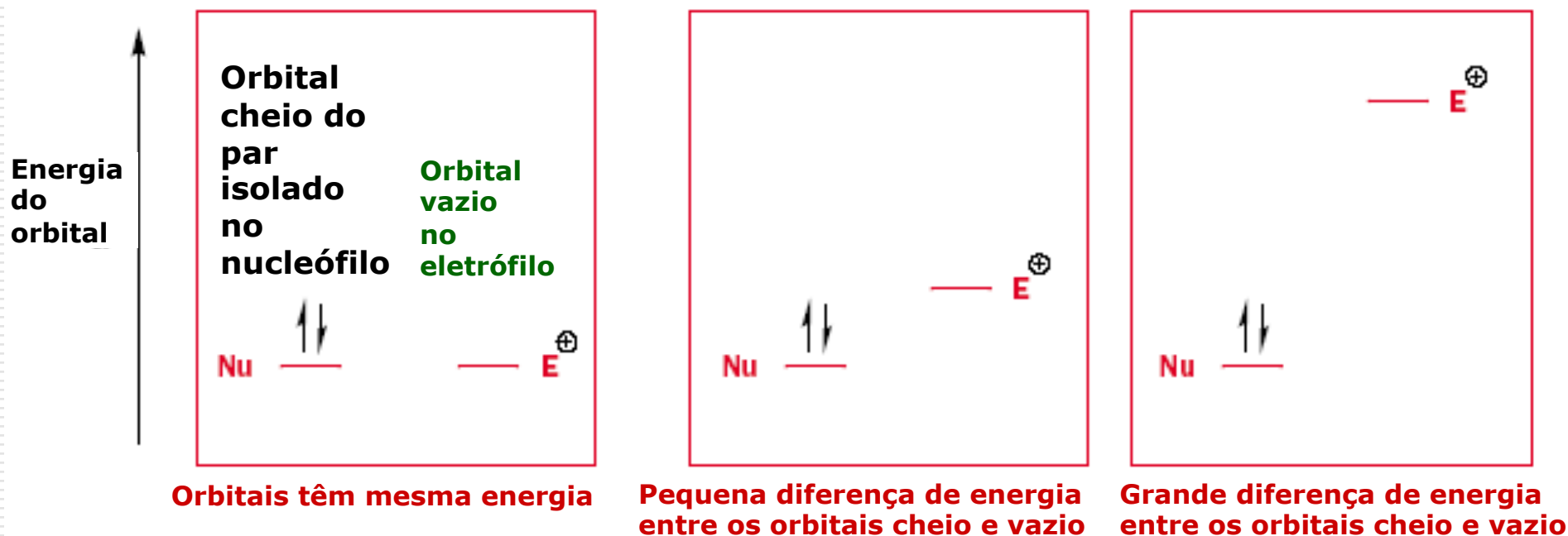
Base/Nucleófilo

LUMO mais baixo



Ácido/Eletrófilo

Orbitais de Fronteira: HOMO e LUMO



Transferência de 1 elétron
Complexos de transferência de carga

Interação mole-mole não desprezível

Interação duro-duro domina

Bases (nucleófilos)**Duros**

H₂O, -OH, F⁻
MeCO₂, PO₄³⁻, SO₄²⁻,
Cl⁻, CO₃²⁻, ClO₄⁻, NO₃⁻
ROH, RO⁻, R₂O
NH₃, RNH₂, N₂O₄

De fronteira

PhNH₂, C₅H₅N, N₃⁻, Br⁻
NO₂⁻, SO₃²⁻

Ácidos (eletrófilos)**Duros**

H⁺, Li⁺, Na⁺, K⁺
Be²⁺, Mg²⁺, Ca²⁺
Al³⁺, Ga³⁺
Cr³⁺, Co³⁺, Fe³⁺
CH₃Sn³⁺
Si⁴⁺, Ti⁴⁺
Ce³⁺, Ti⁴⁺
(CH₃)₂Sn²⁺
BeMe₂, BF₃, B(RO)₃
AlMe₃, AlCl₃, AlH₃
RPO²⁺, ROPO²⁺
RSO₂⁺, ROSO₂⁺, SO₃
I⁷⁺, I⁵⁺, Cl⁷⁺, Cr⁶⁺
RCO⁺, CO₂, NC⁺
HX (moléculas com capacidade de fazer
ligações de hidrogênio)

De fronteira

Fe²⁺, Co²⁺, Ni²⁺, Cu²⁺, Zn²⁺, Pb²⁺, Sn²⁺,
BMe₃, SO₂, NO⁺, R₃C⁺, C₆H₅⁺

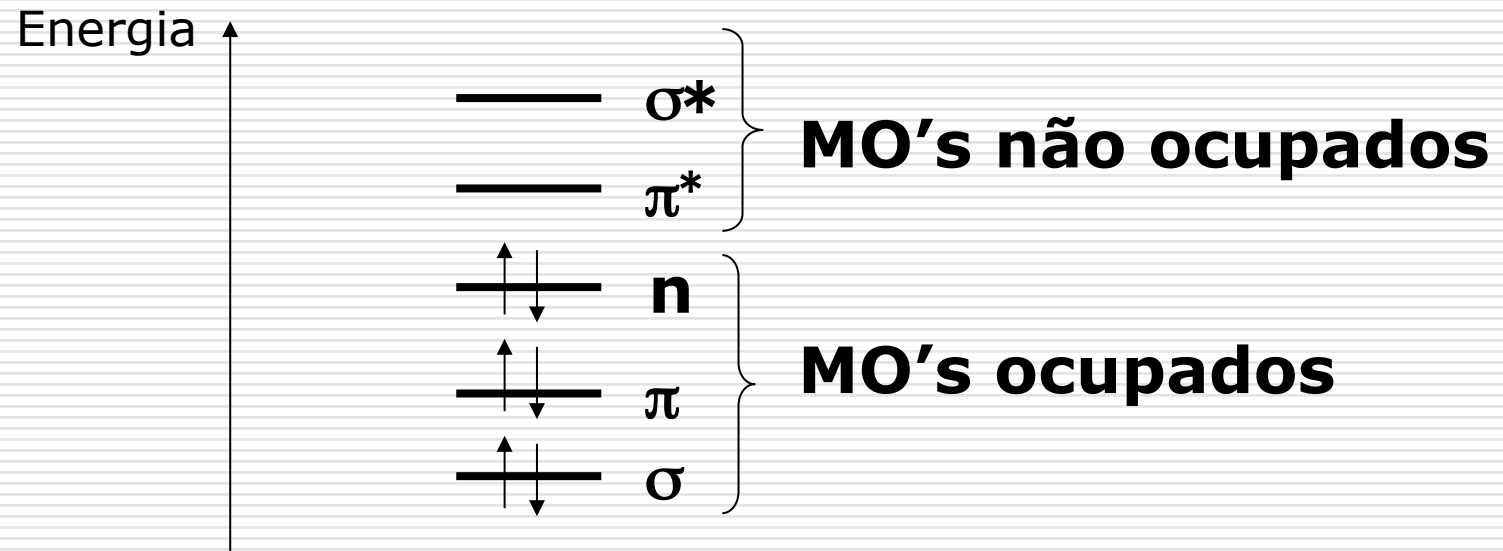
Moles

R_2S , RSH , $-SH$
 $-I$, $-SCN$, $S_2O_3^{2-}$
 R_3P , R_3As , $(RO)_3P$
 $-CN$, RCN , CO
 C_2H_4 , C_6H_6
 $-H$, $-R$

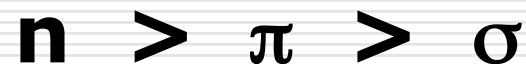
Moles

Cu^+ , Ag^+ , Au , Tl , Hg
 Pd^{2+} , Cd^{2+} , Pt^{2+} , Hg^{2+} , $MeHg^+$, $CO(CN)_5^{2-}$
 Tl^{3+} , $Tl(CH_3)_3$, BH_3
 RS^+ , RSe^+ , RTe^+
 I^+ , Br^+ , HO^+ , RO^+
 I_2 , Br_2 , ICN
Trinitrobenzeno
Cloranil, quinonas
 $(NC)_2=C(CN)_2$, etc.
 O , Cl , Br , I , N , $RO\cdot$, $RO_2\cdot$
 M^0 (metais)
 CH_2 , carbenos

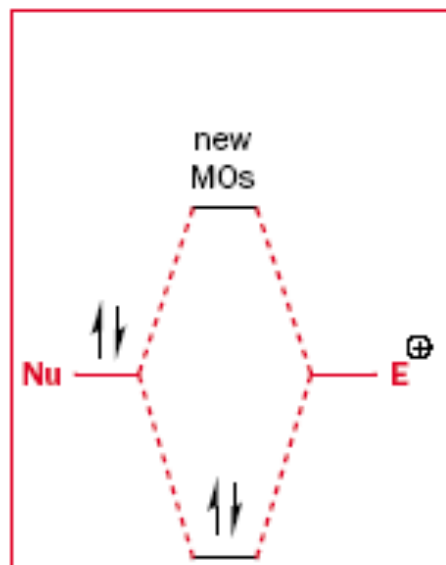
HOMO: O Guardião do par de elétrons



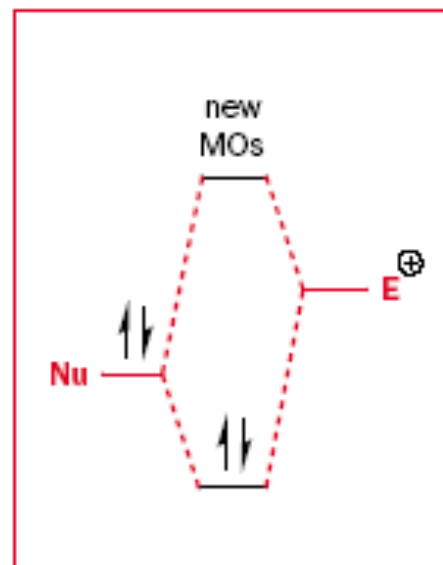
□ Força da base



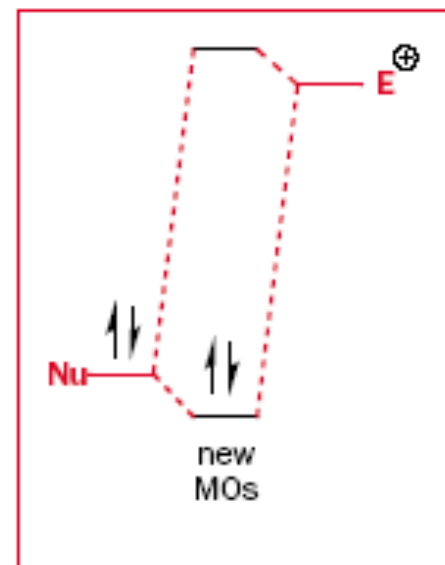
orbital energy ↑



orbitals have the same energy



small difference in energy
of filled and empty orbitals



large difference in energy
of filled and empty orbitals

**A escala de acidez
de Hammett (H_0):
Acidez “efetiva”
além do intervalo
convencional de pH**

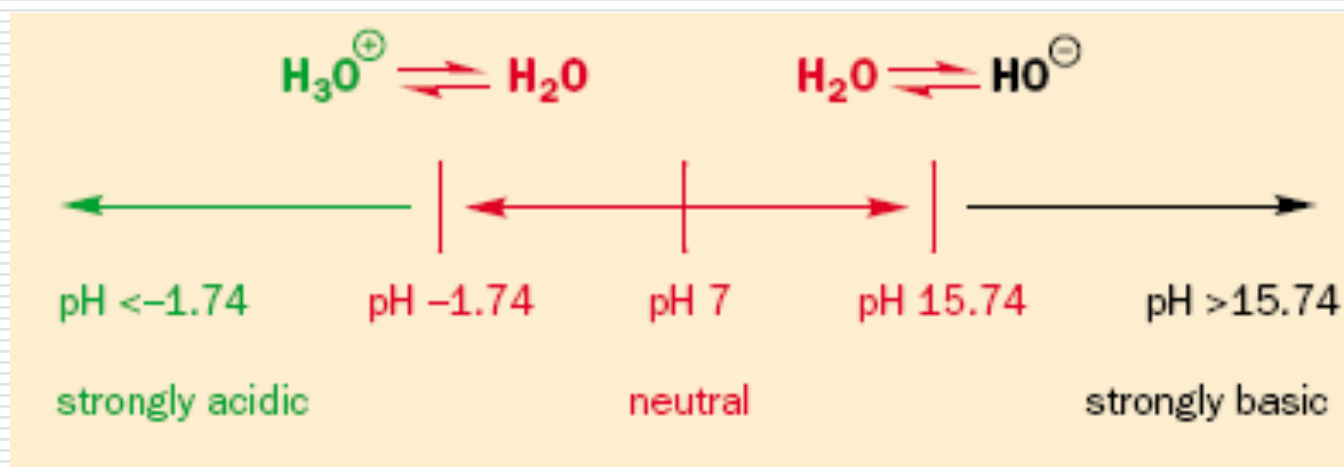
Louis Plack Hammett (1894-1987)



Escala de pH: ácido mais forte em H_2O é o H_3O^+ e a base mais forte é o OH^-

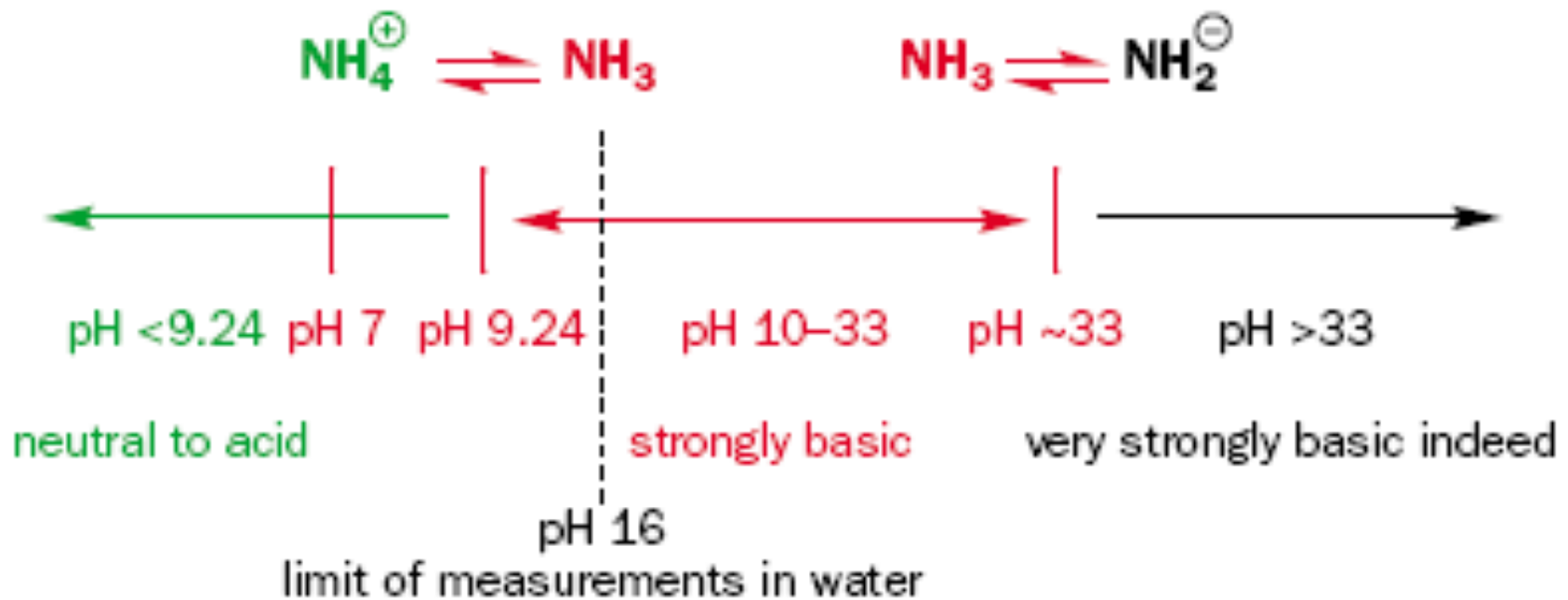
$$\text{pK}_a(\text{H}_2\text{O}) = 15.74$$

$$\text{pK}_a(\text{H}_3\text{O}^+) = -1.74$$



- Adição de base mais forte que OH^- somente dá mais OH^- pela desprotonação da água
- Adição de ácido mais forte que H_3O^+ somente dá mais H_3O^+ pela protonação da água

Em amônia





Equação de Henderson-Hasselbalch

$$\text{pK}_a = \text{pH} + \log \frac{[\text{HB}^+]}{[\text{B}]}$$

Equação de Hammett

$$\text{pK}_a = \text{H}_0 + \log \frac{[\text{HB}^+]}{[\text{B}]}$$

atividade de X



$$a_X = [\text{X}] \cdot \gamma_X$$



concentração de X

coeficiente de
atividade
de X

$$\text{H}_0 = -\log \left(\frac{a_{\text{H}^+} \cdot \gamma_{\text{B}}}{\gamma_{\text{BH}^+}} \right)$$

Função acidez de Hammett H_0

- H_0 de Hammett pode ser pensada como o “pH efetivo” de uma solução não aquosa
 - Escala se refere a uma solução hipotética formada se tivesse a mesma relação de equilíbrio ácido/base conjugada encontrada na solução aquosa
-



$$K_a = (K_a)_{\text{BH}^+} = \frac{a_{\text{H}^+} \cdot a_{\text{B}}}{a_{\text{BH}^+}}$$

$$K_a = \frac{a_{\text{H}^+} \cdot [\text{B}] \cdot \gamma_{\text{B}}}{[\text{BH}^+] \cdot \gamma_{\text{BH}^+}} = K_a \frac{[\text{BH}^+]}{[\text{B}]} = a_{\text{H}^+} \cdot \frac{\gamma_{\text{B}}}{\gamma_{\text{BH}^+}}$$

$$H_o = -\log \left(a_{\text{H}^+} \cdot \frac{\gamma_{\text{B}}}{\gamma_{\text{BH}^+}} \right)$$

**Capacidade de protonação do meio
+ comportamento não ideal**

$$H_o = -\log \left(a_{H^+} \cdot \frac{\gamma_B}{\gamma_{BH^+}} \right) = -\log \left(K_a \cdot \frac{[BH^+]}{[B]} \right)$$

ou

$$H_o = -\log K_a - \log \frac{[BH^+]}{[B]}$$

Como $pK_a = -\log K_a$

$$H_o = pK_a - \log \frac{[BH^+]}{[B]}$$

ou ainda,

$$pK_a = H_o + \log \frac{[BH^+]}{[B]}$$

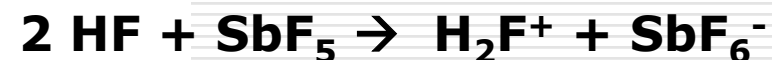
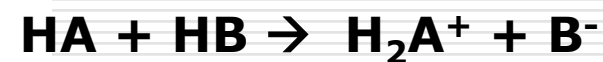
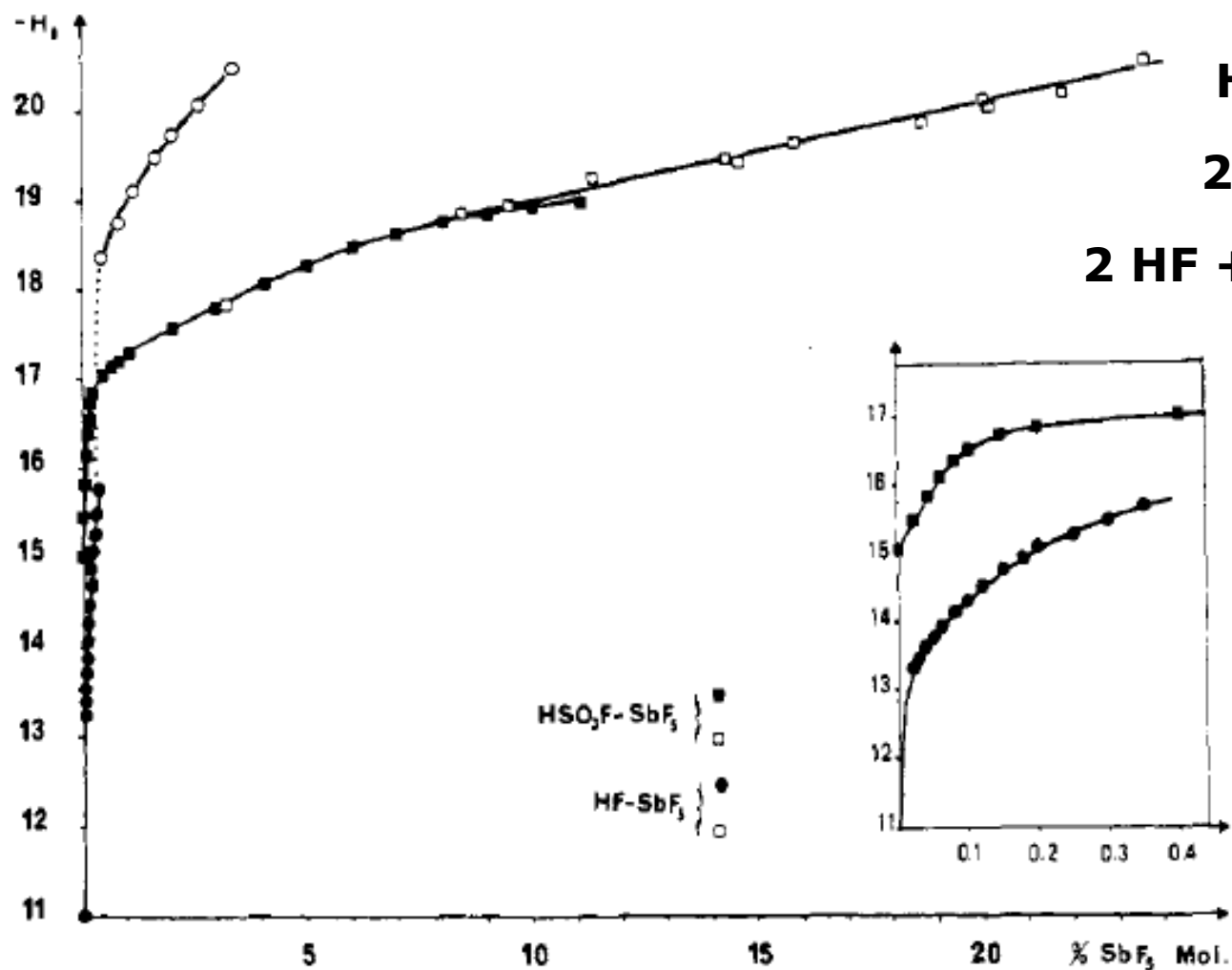
Acidez (H_0) de Misturas de $H_2SO_4/H_2O/SO_3$

H_2SO_4 60%	-4,46
H_2SO_4 90%	-8,92
H_2SO_4 98%	-10,44
H_2SO_4 100%	-11,93
$H_2SO_4 - SO_3$ (1% SO_3)	-12,24
$H_2SO_4 - SO_3$ (5% SO_3)	-12,73
$HClO_4$ 100%	~ -13
$H_2SO_4 - SO_3$ (10% SO_3)	-13,03
$H_2SO_4 - SO_3$ (25% SO_3)	-13,58
$H_2SO_4 - SO_3$ (50% SO_3)	-14,44
$H_2SO_4 - SO_3$ (75% SO_3)	-14,90
H^+ (próton isolado, estimado)	$-50 < H_0 < -60$

Função Acidez de Hammett (H_o) para alguns sistemas ácidos

Ácido	Acidez de Hammett (H_o)
CF_3CO_2H	-2,7
H_2SO_4 98%	-10,44
H_2SO_4 100%	-11,93
HSO_3Cl	-13,8
HSO_3CF_3	-14,1
$HSO_3CF_2CF_3$	-14,0
$HSO_3(CF_2)_3CF_3$	-13,2
$HSO_3(CF_2)_5CF_3$	-12,3
HSO_3F	-15,1
$HF-BF_3$ (7 mol% BF_3)	-16,6
$1H_2O.BF_3$ ($H^+.BF_3OH$)	-11,4
$2H_2O.BF_3$ ($H_3O^+.BF_3OH$)	-6,85
HF anidro	= -11
HBr anidro	$-10 < H_o < -13$
$HClO_4$ 100%	= -13
$HF-SbF_5$ (4 mol% SbF_5)	-21
$HF-SbF_5$ (10 mol% SbF_5)	= -22
HSO_3F-SbF_5 (10 mol% SbF_5)	-18,9
H^+ (próton isolado, estimado)	$-50 < H_o < -60$

Variando H_0 : Mistura de ácidos de Bronsted e de Lewis



Sommer, Schwartz,
Rimmelin, Canivet
JACS **1978**, *100*,
2576

Meios fortemente básicos

Uma função análoga para meios fortemente básicos pode ser obtida através de um raciocínio semelhante.

$$H_- = pK_a - \log [B^-] / [HB]$$

Alguns sistemas superbásicos são mostrados na tabela ao lado.

	H ₋
95%DMSO, 5% EtOH, 10 ⁻² M KOEt	20,68
90%DMSO, 10% EtOH, 10 ⁻² M KOEt	19,68
80%DMSO, 20% EtOH, 10 ⁻² M KOEt	18,97
15M KOH, H ₂ O	18,23
10M KOH, H ₂ O	16,90
5M KOH, H ₂ O	15,44

Acidez e Basicidade são conceitos relativos

- Qualquer espécie com um par de elétrons é potencialmente uma base de Lewis
 - Tudo depende da avidez por elétrons do ácido.
-

□ **Superelectrophilic Solvation**

Olah, G. A.; Klumpp, D. A.;

Acc. Chem. Res.; **(Article); 2004; 37(4);**

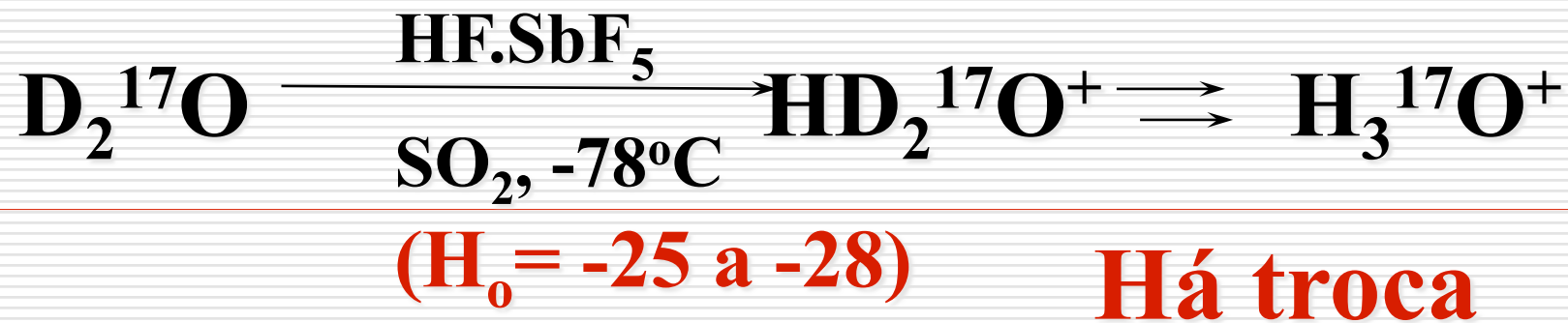
211-220. DOI: [10.1021/ar020102p](https://doi.org/10.1021/ar020102p)

Troca H-D de H₂O em superácidos

■ Gold, 1976 - RMN ¹H e ²H



□ Olah, 1986 - RMN ¹⁷O




Troca H-D de H₂O em superácidos com H₀ entre -25 e -28



acidez

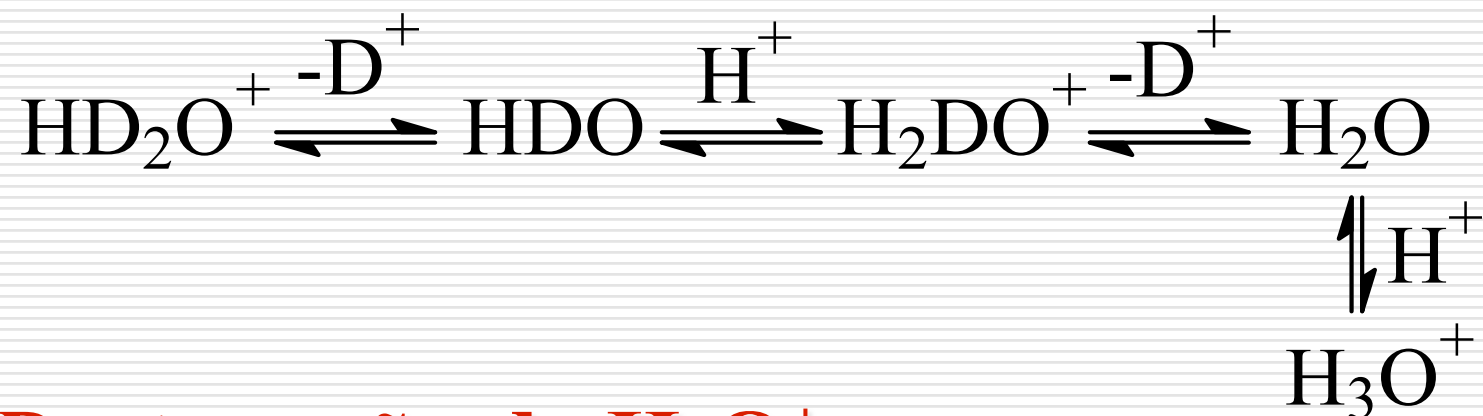


velocidade troca H-D

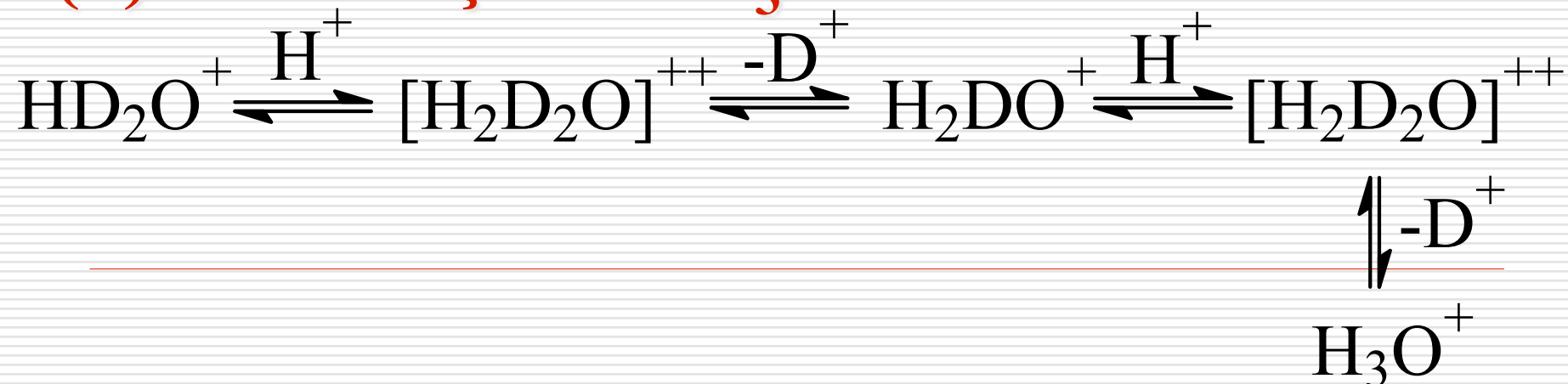
( **H₀**)

Mecanismos Possíveis

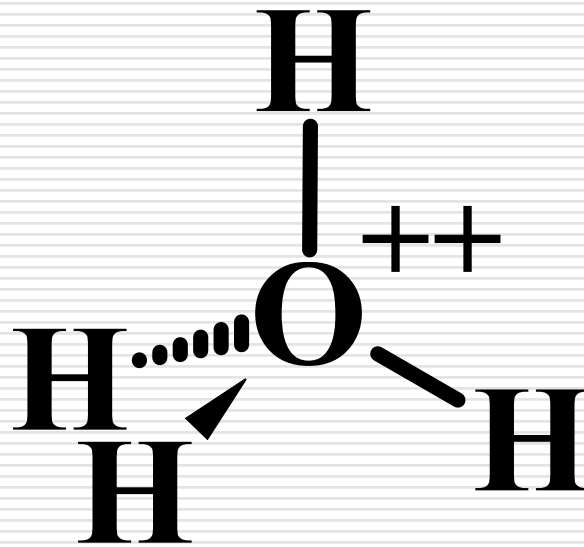
(a) Protonação-desprotonação



(b) Protonação de H_3O^+



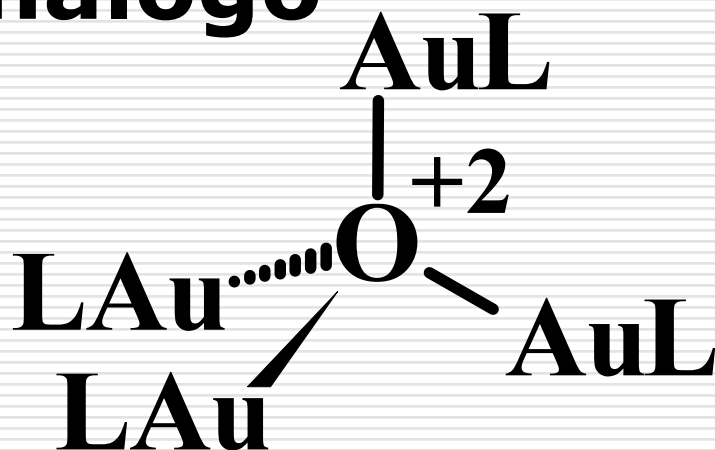
Água diprotonada?!



- É um intermediário (cálculos *ab initio*)
 - barreira desprotonação = 38.2 kcal/mol
 - $\Delta G^\circ = -60.4$ kcal/mol
-

Água diprotonada?! (Cont.)

□ **Schmidbaur, 1995** - síntese de análogo



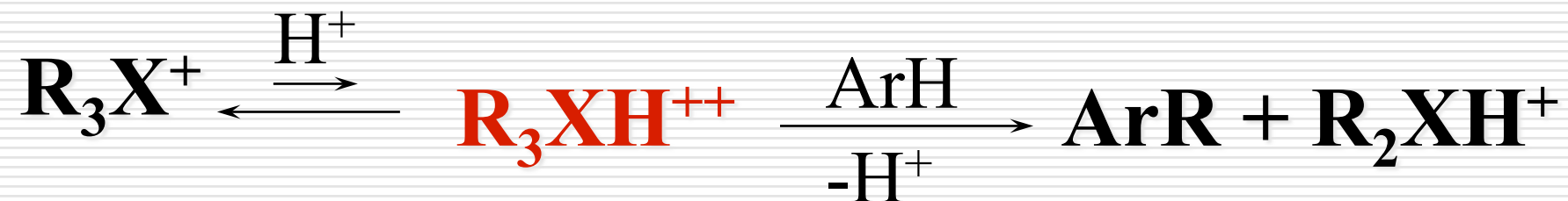
Au^+ é isolobal
a H^+

■ **Olah, 1988** - Estudo do H_4S^{++}

◆ Mesmas observações para DH_2S^+

Outros R_3X^+ ($X=O, S, Se, Te$)

■ **Laali, 1987** - R_3X^+ é muito ativado em presença de superácidos

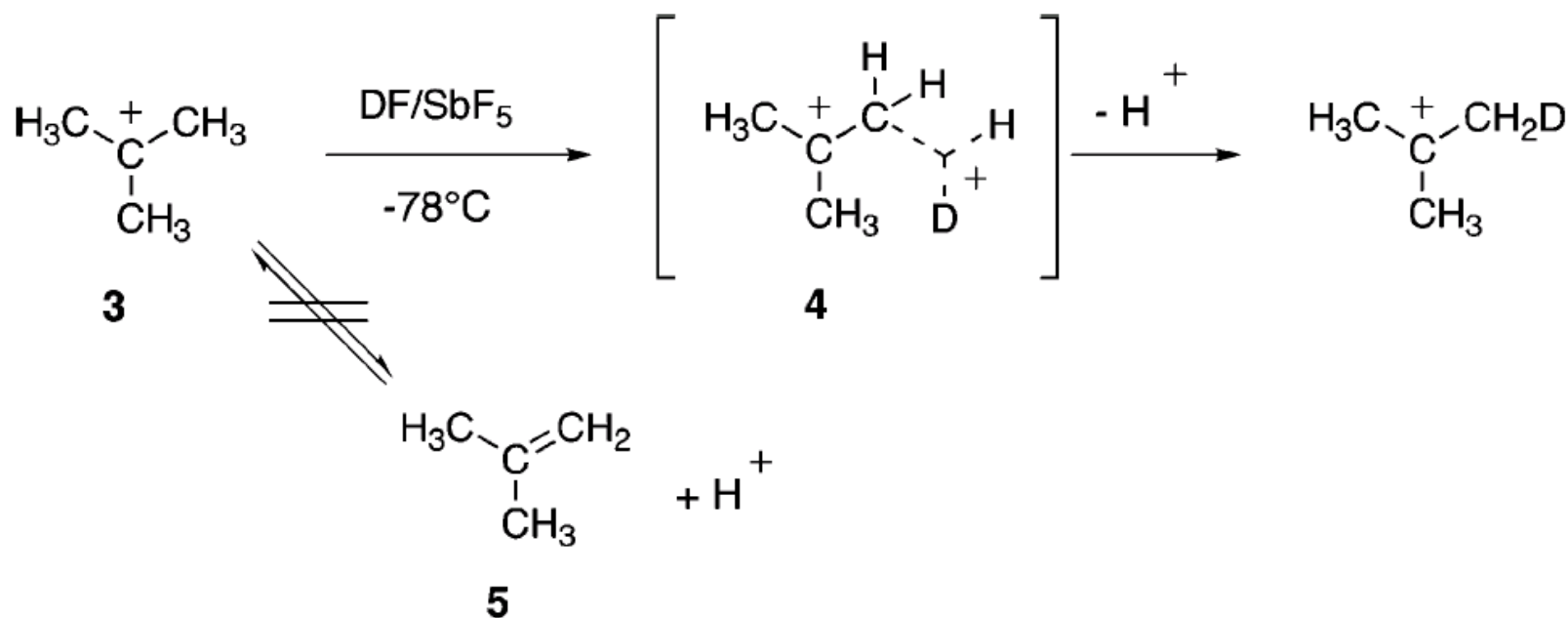


■ **Olah, 1990** - fácil redução de MeOH por H_2 em superácidos



Troca H-D em Íons Carbênio

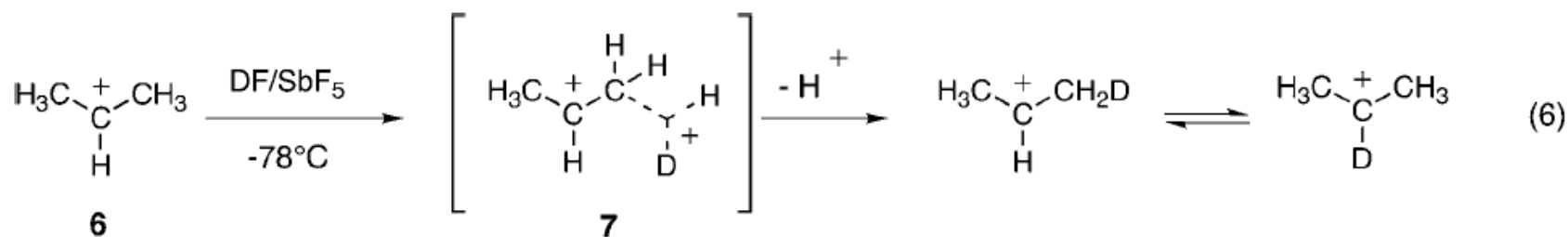
- Olah, Prakash, Hartz, Rasul, 1993/1994 – protonação de íons carbênios



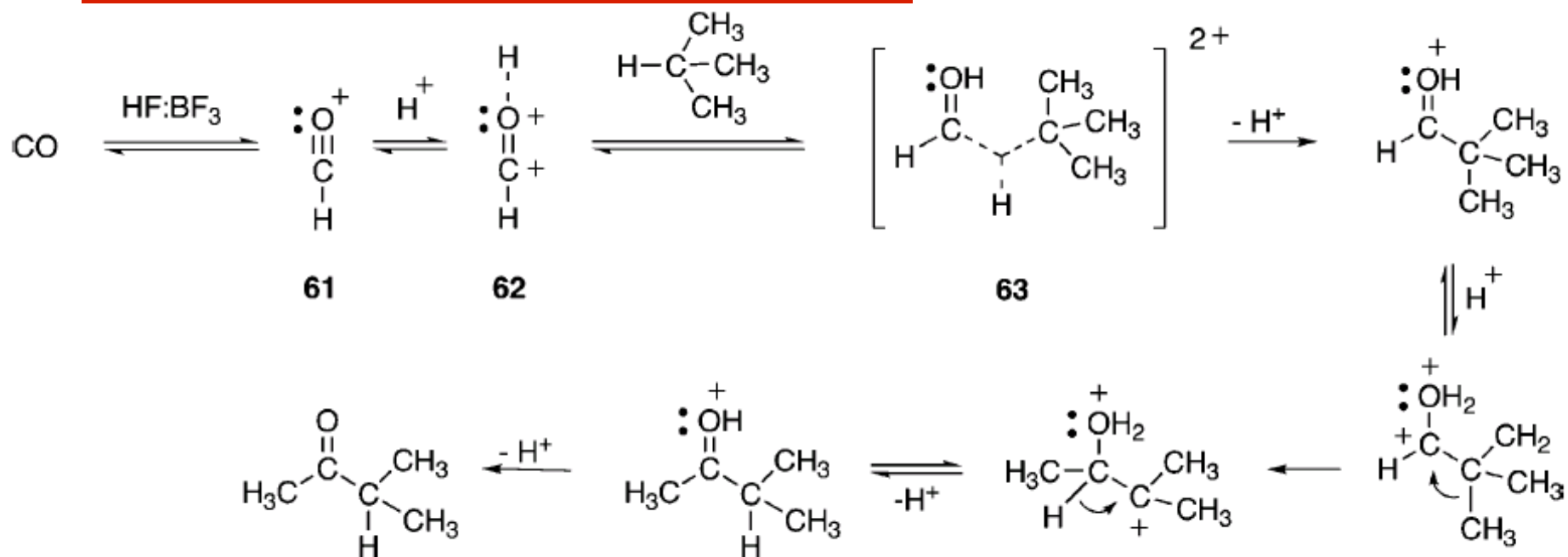
Troca H-D em Íons Carbênio

■ Olah, Prakash, Hartz, Rasul 1994

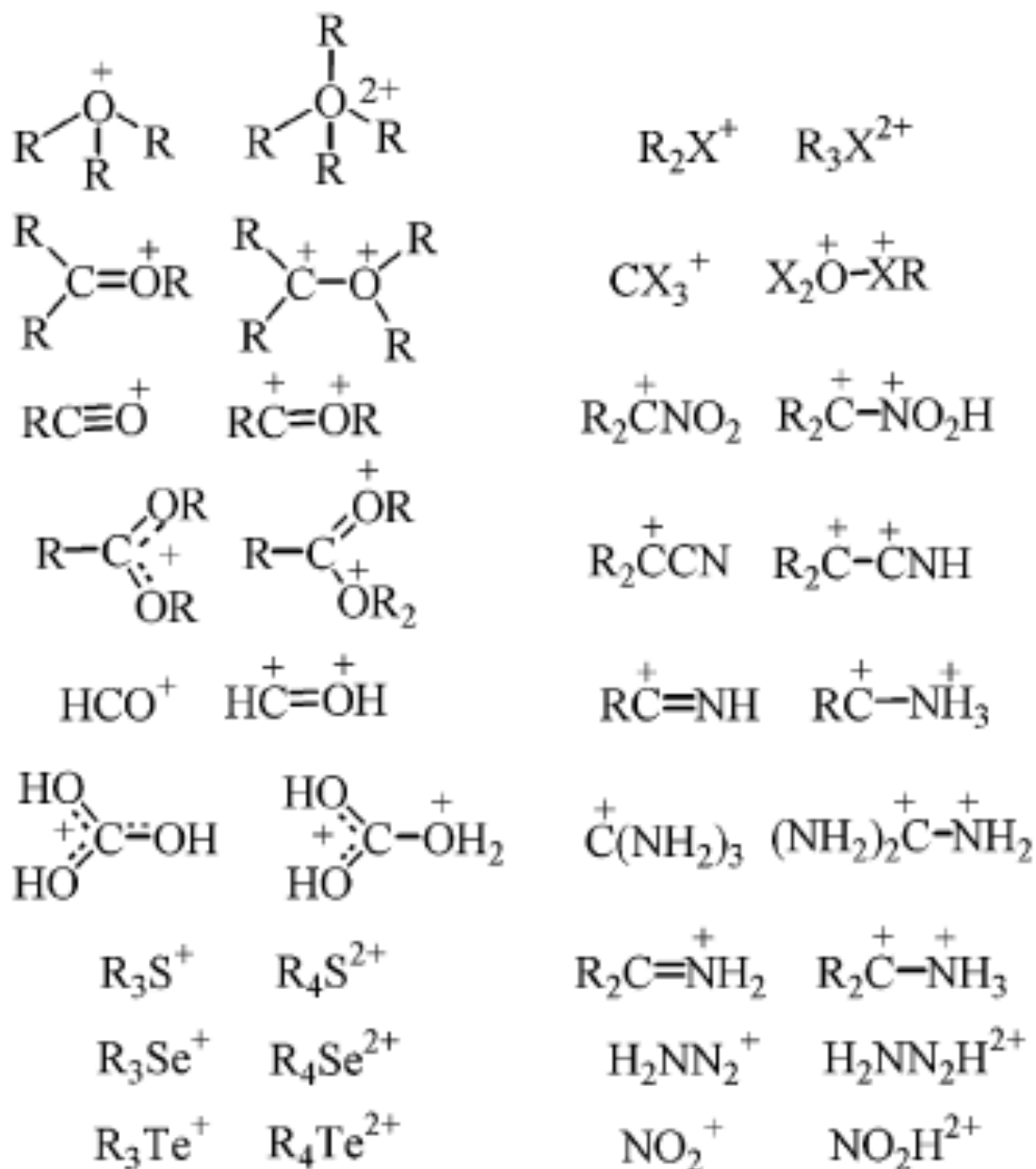
■ 5% de troca H-D após 72h a -78°C



■ Olah, Esteves, Mathew, Prakash 2001

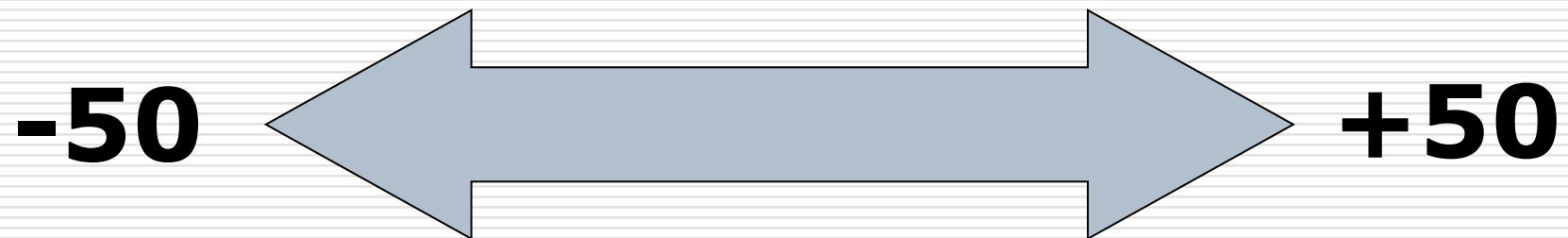


Supereletrófilos



Limites de Acidez-Basicidade

Em tese



Na prática



Estrutura de Raios X de alguns Intermediários reativos



instituto de química

Universidade Federal do Rio de Janeiro

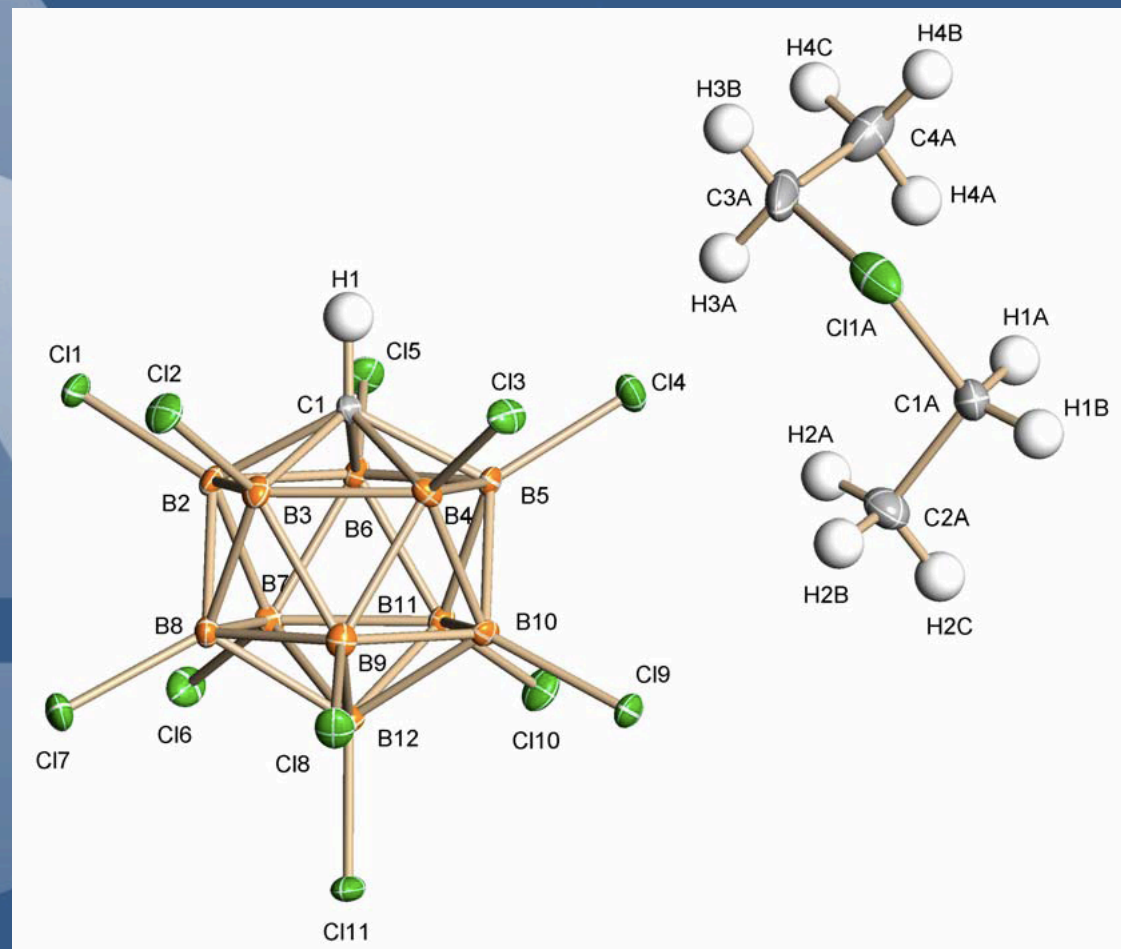
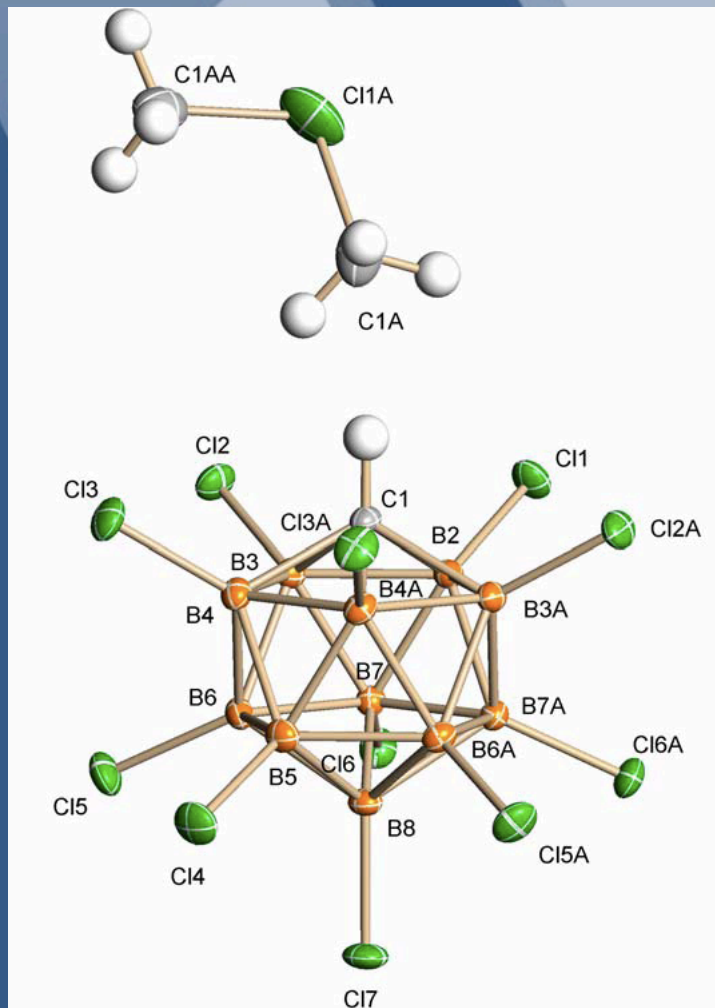
www.iq.ufrj.br

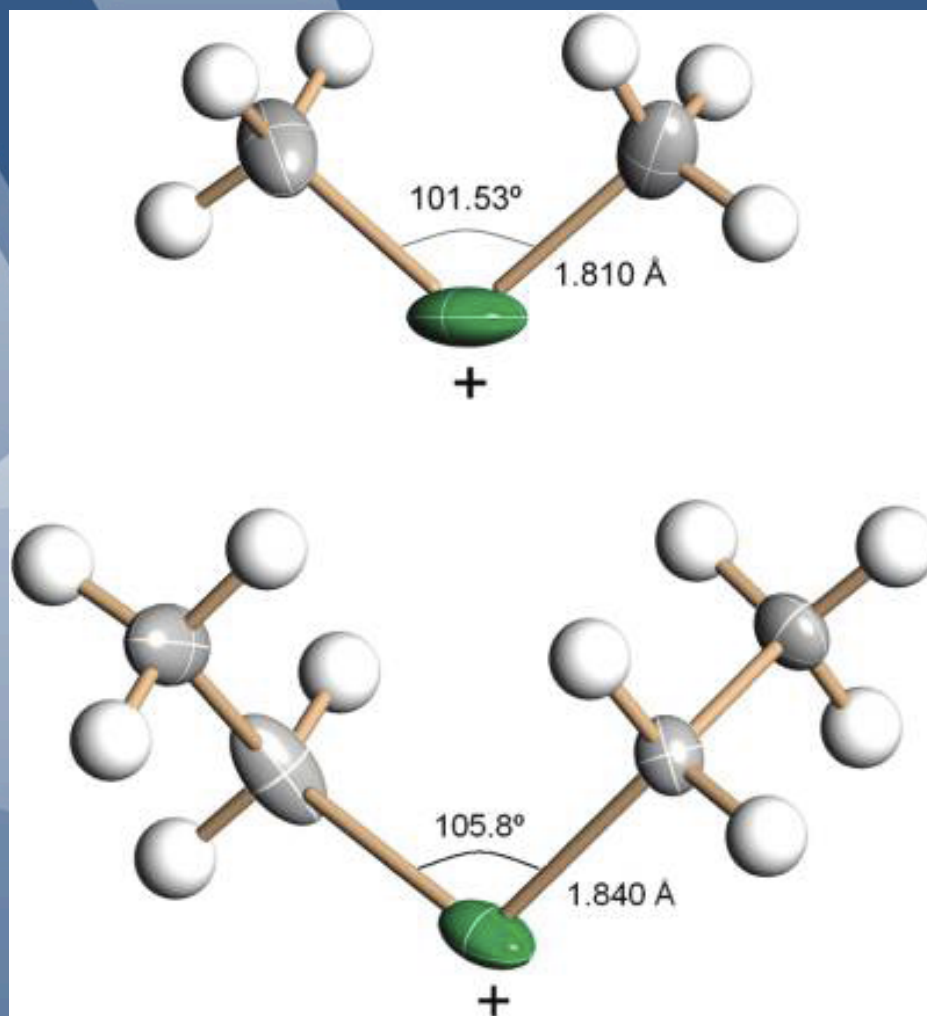
Tel.: 2562-7001 2562-7002

Estrutura de Raios X de alguns Intermediários reativos

- Íons clorônio

Stoyanov, Stoyanova, Tham, Reed
J. Am. Chem. Soc., 2010, 132 (12), pp 4062–4063
DOI: [10.1021/ja100297b](https://doi.org/10.1021/ja100297b)





instituto de química

Universidade Federal do Rio de Janeiro

www.iq.ufrj.br

Tel.: 2562-7001 2562-7002

ACCOUNTS

of chemical research

H^+ , CH_3^+ , and R_3Si^+ Carborane Reagents: When Triflates Fail

CHRISTOPHER A. REED*

Center for s and p Block Chemistry, Department of Chemistry, University of California, Riverside, California 92521

RECEIVED ON MAY 29, 2009

10.1021/ar900159e



instituto de química

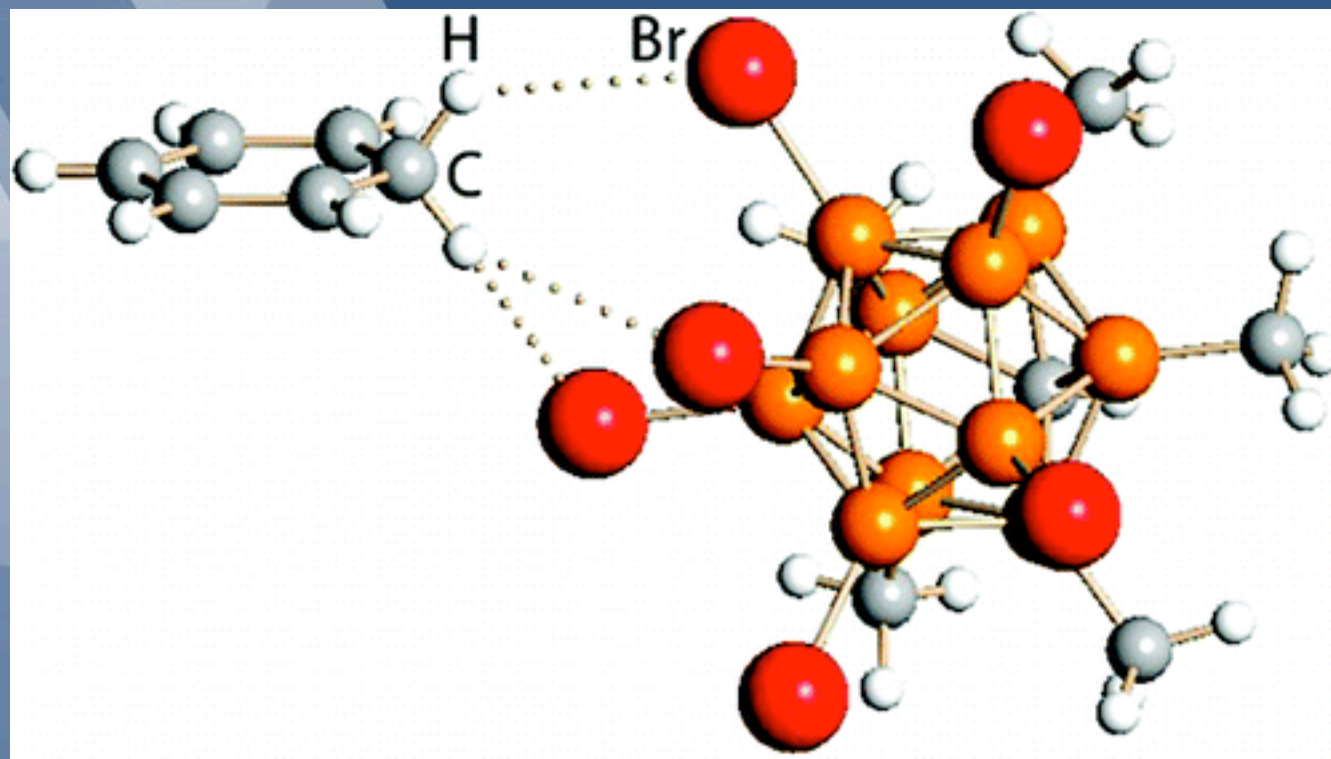
Universidade Federal do Rio de Janeiro

www.iq.ufrj.br

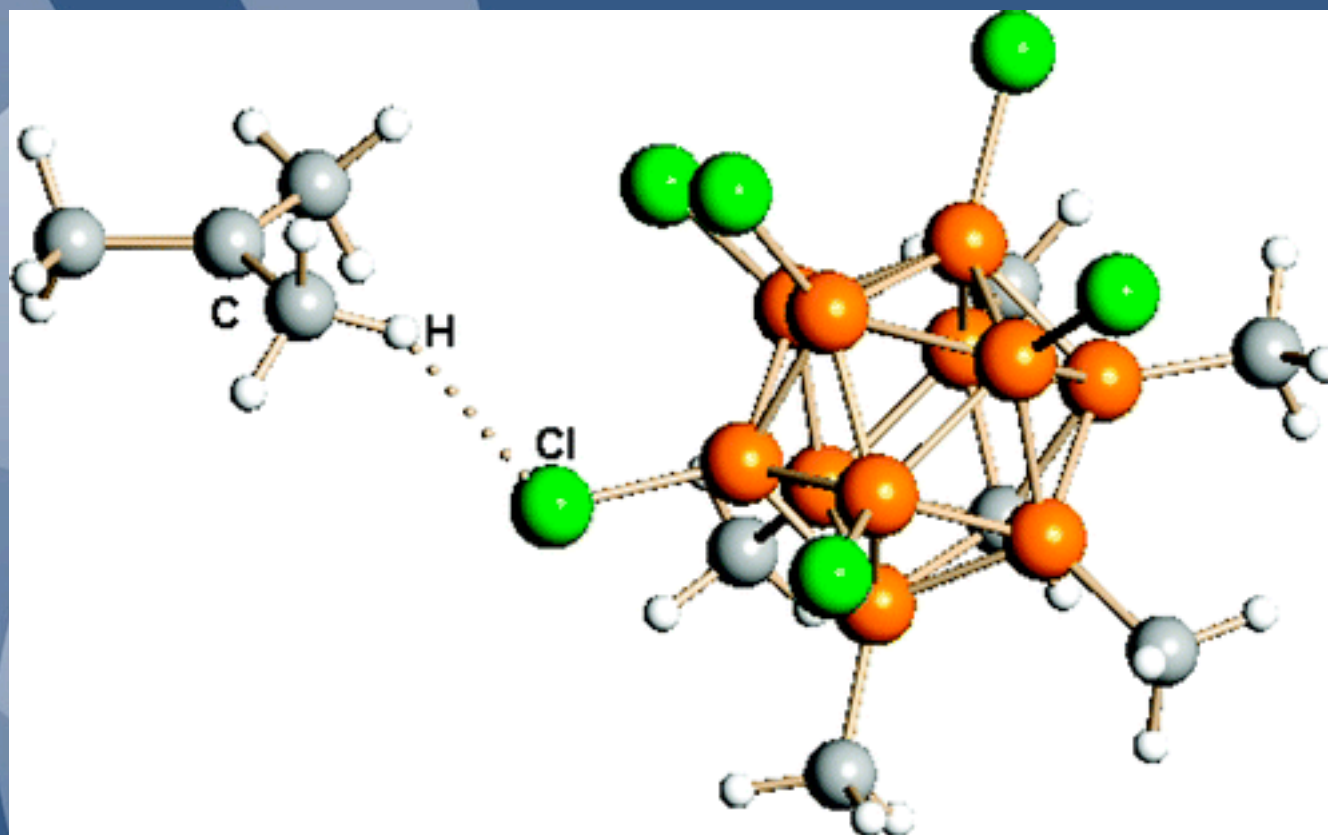
Tel.: 2562-7001 2562-7002

Benzeno protonado: DRX

- $[C_6H_7][CHB_{11}Me_5Br_6]$



Cátion t-butila: DRX



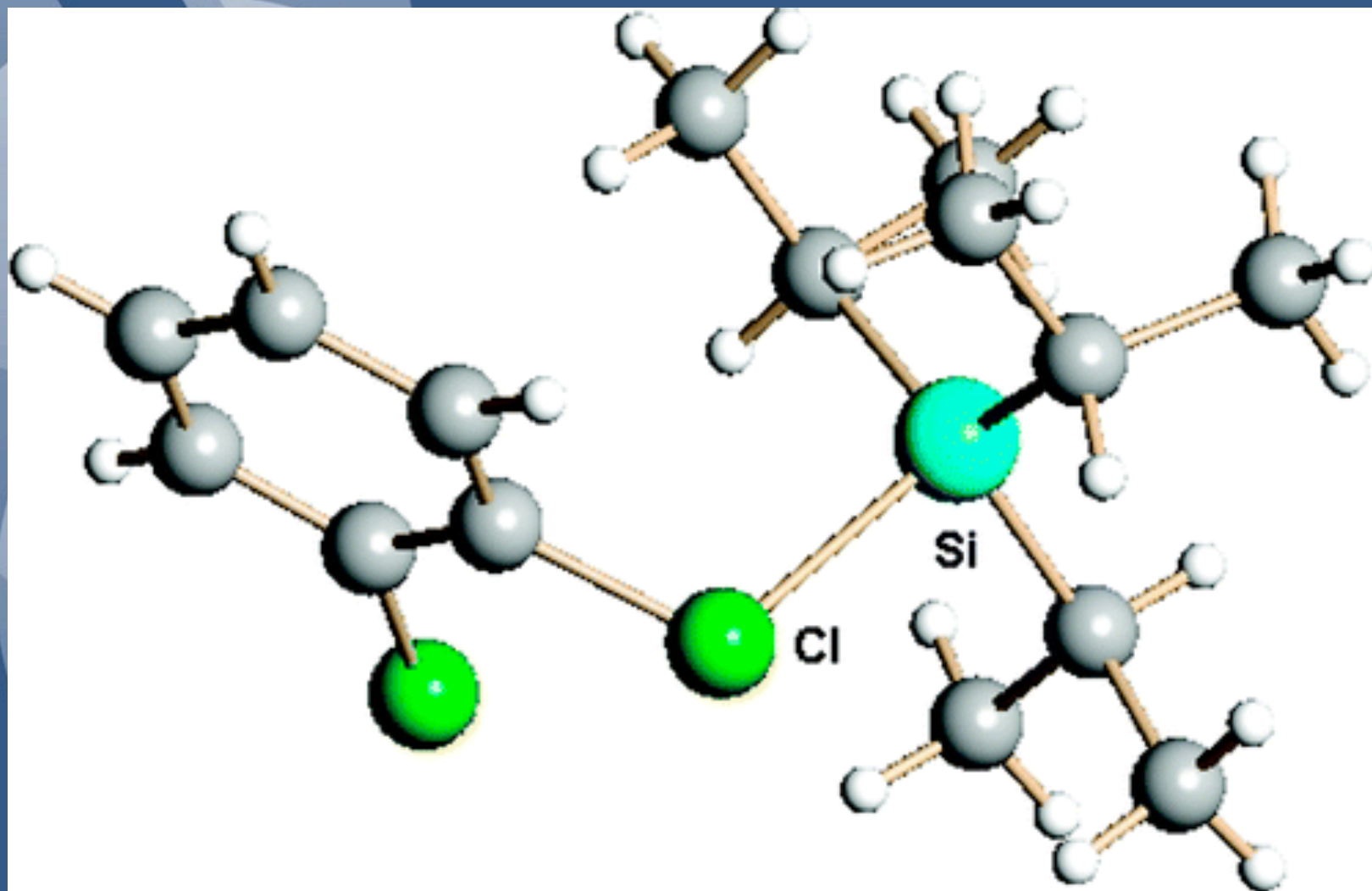
instituto de química

Universidade Federal do Rio de Janeiro

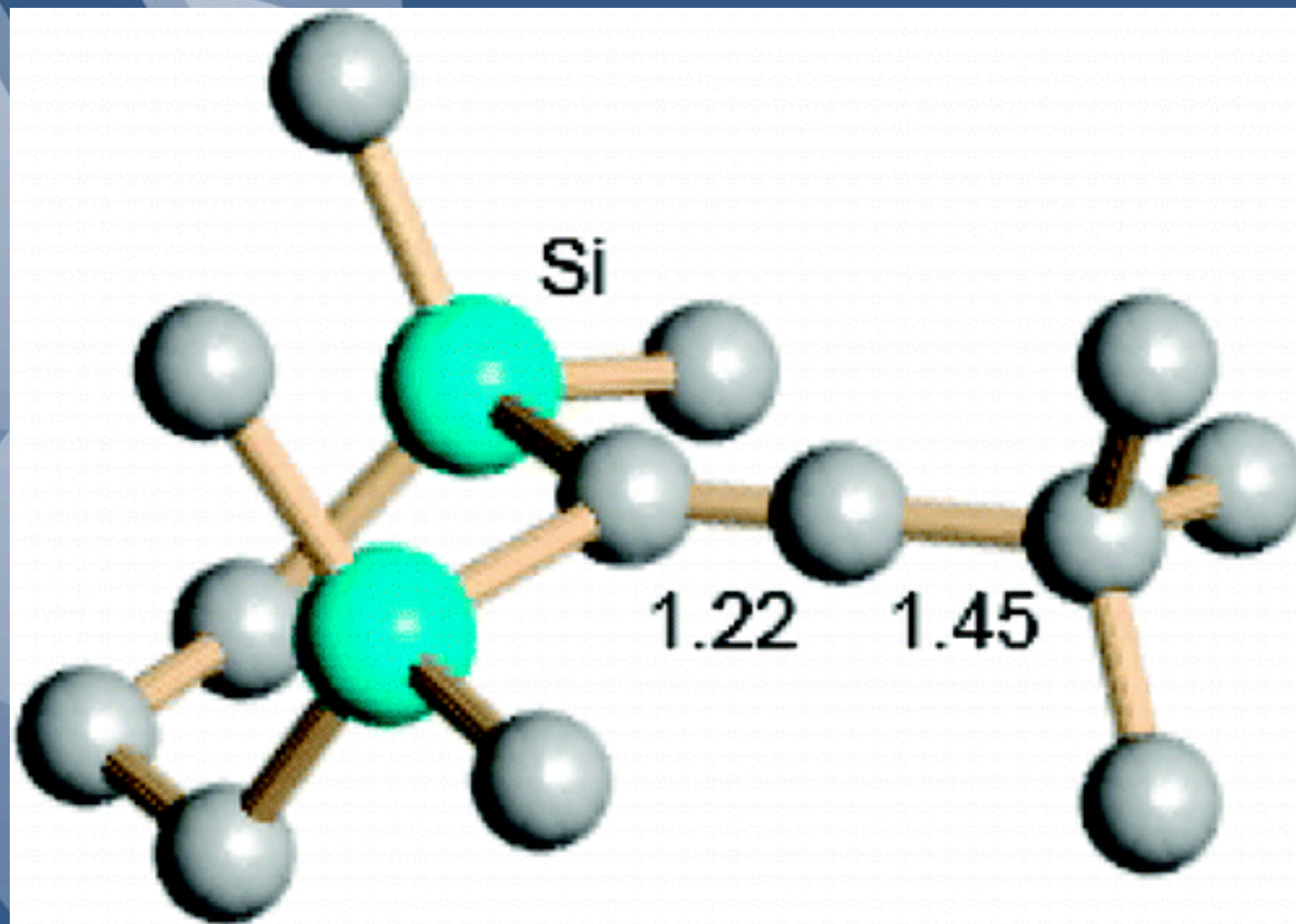
www.iq.ufrj.br

Tel.: 2562-7001 2562-7002

Cátion silênios (R_3Si^+): DRX



Carbênio vinílico β -estabilizado por Silício: DRX



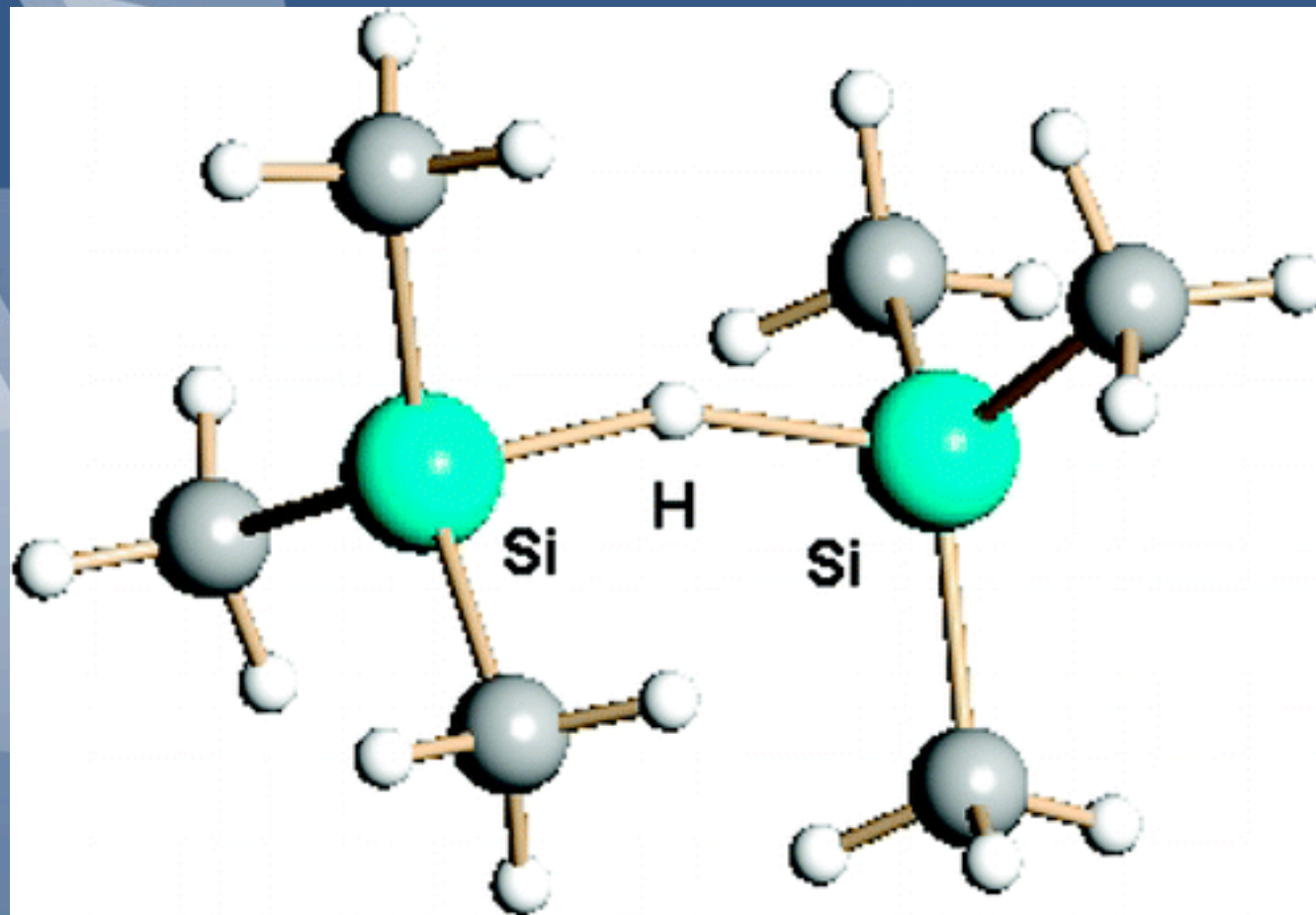
Química

Rio de Janeiro

www.iq.ufrj.br

Tel.: 2562-7001 2562-7002

Ligação μ : DRX



Substituição Eletrofílica Aromática



instituto de química

Universidade Federal do Rio de Janeiro

www.iq.ufrj.br

Tel.: 2562-7001 2562-7002

Scheme 9.1. Electrophiles Active in Aromatic Substitution

Electrophile	Typical means of generation
A. Electrophiles capable of substituting both activated and deactivated aromatic rings	
1 ^a O=N ⁺ =O	$2 \text{H}_2\text{SO}_4 + \text{HNO}_3 \rightleftharpoons \text{NO}_2^+ + 2 \text{HSO}_4^- + \text{H}_3\text{O}^+$
2 ^b Br ₂ or Br ₂ -MX _n	$\text{Br}_2 + \text{MX}_n \rightleftharpoons \text{Br}_2\text{-MX}_n$
3 ^b BrO ⁺ H ₂	$\text{BrOH} + \text{H}_3\text{O}^+ \rightleftharpoons \text{BrO}^+\text{H}_2$
4 ^b Cl ₂ or Cl ₂ -MX _n	$\text{Cl}_2 + \text{MX}_n \rightleftharpoons \text{Cl}_2\text{-MX}_n$
5 ^b ClO ⁺ H ₂	$\text{ClOH} + \text{H}_3\text{O}^+ \rightleftharpoons \text{ClO}^+\text{H}_2$
6 ^c SO ₃ or SO ₂ O ⁺ H	$\text{H}_2\text{S}_2\text{O}_7 \rightleftharpoons \text{HSO}_4^- + \text{SO}_2\text{O}^+\text{H}$
7 ^d RSO ₂ ⁺	$\text{RSO}_2\text{Cl} + \text{AlCl}_3 \rightleftharpoons \text{RSO}_2^+ + \text{AlCl}_4^-$
B. Electrophiles capable of substituting activated but not deactivated aromatic rings	
8 ^e R ₃ C ⁺	$\text{R}_3\text{CX} + \text{MX}_n \rightleftharpoons \text{R}_3\text{C}^+ + [\text{MX}_{n+1}]^-$
9 ^f R ₃ C ⁺	$\text{R}_3\text{COH} + \text{H}^+ \rightleftharpoons \text{R}_3\text{C}^+ + \text{H}_2\text{O}$
10 ^g R ₂ C ⁺ CHR' ₂	$\text{R}_2\text{C}=\text{CR}'_2 + \text{H}^+ \rightleftharpoons \text{R}_2\text{C}^+\text{CHR}'_2$
11 ^e RCH ₂ X-MX _n	$\text{RCH}_2\text{X} + \text{MX}_n \rightleftharpoons \text{RCH}_2\text{X-MX}_n$
12 ^h RC≡O ⁺	$\text{RCOX} + \text{MX}_n \rightleftharpoons \text{RC}\equiv\text{O}^+ + [\text{MX}_{n+1}]^-$
13 ^h RCOX-MX _n	$\text{RCOX} + \text{MX}_n \rightleftharpoons \text{RCOX-MX}_n$
14 ⁱ RC ⁺ =O ⁺ H	$\text{RCOX} + \text{MX}_n + \text{H}^+ \rightleftharpoons \text{RC}^+=\text{O}^+\text{H} + [\text{MX}_{n+1}]^-$
15 ^j H ⁺	$\text{HX} \rightleftharpoons \text{H}^+ + \text{X}^-$
16 ^k R ₂ C=O ⁺ H	$\text{R}_2\text{C}=\text{O} + \text{H}^+ \rightleftharpoons \text{R}_2\text{C}=\text{O}^+\text{H}$
17 ^k R ₂ C=O ⁺ -M ⁻ X _n	$\text{R}_2\text{C}=\text{O} + \text{MX}_n \rightleftharpoons \text{R}_2\text{C}=\text{O}^+-\text{M}^-\text{X}_n$
18 ⁱ HC ⁺ =N ⁺ H ₂	$\text{HC}\equiv\text{N} + 2\text{H}^+ \rightleftharpoons \text{HC}^+=\text{N}^+\text{H}_2$



instituto de química

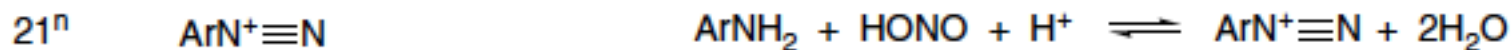
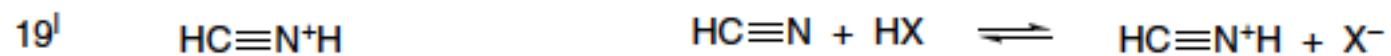
Universidade Federal do Rio de Janeiro

www.iq.ufrj.br

Tel.: 2562-7001 2562-7002

Scheme 2.11 (continued)

C. Electrophiles capable of substitution only strongly activated aromatic rings



instituto de química

Universidade Federal do Rio de Janeiro

www.iq.ufrj.br

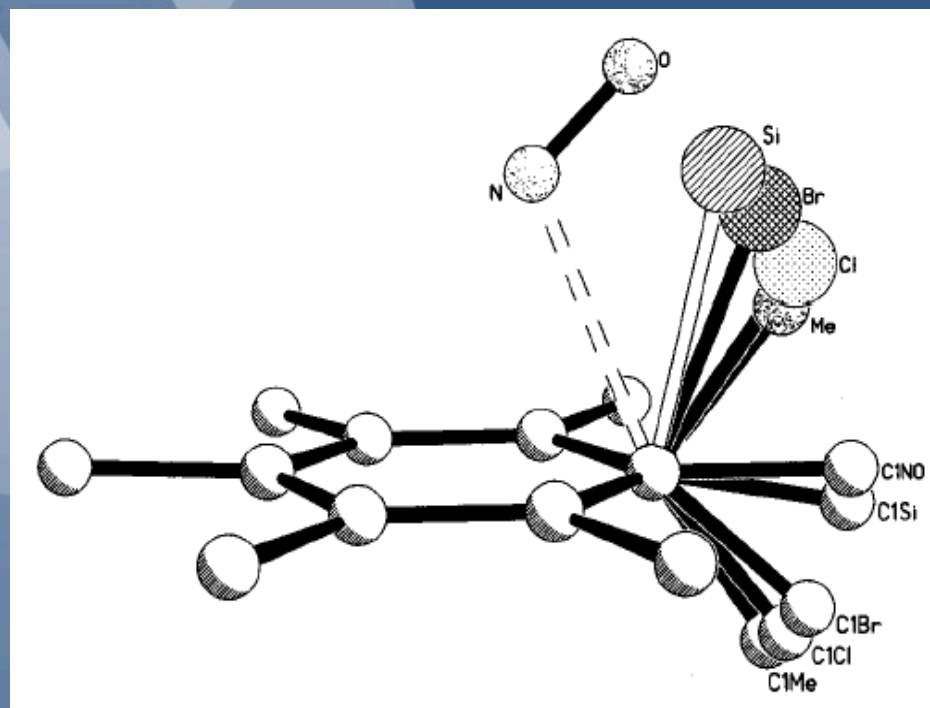
Tel.: 2562-7001 2562-7002

Contínuo $\sigma - \pi$

Complexo π

Contínuo $\sigma - \pi$

Complexo σ



Kochi, J. K., Hubig, S. M. *J. Org. Chem.*, 65, 21, 2002, 6807

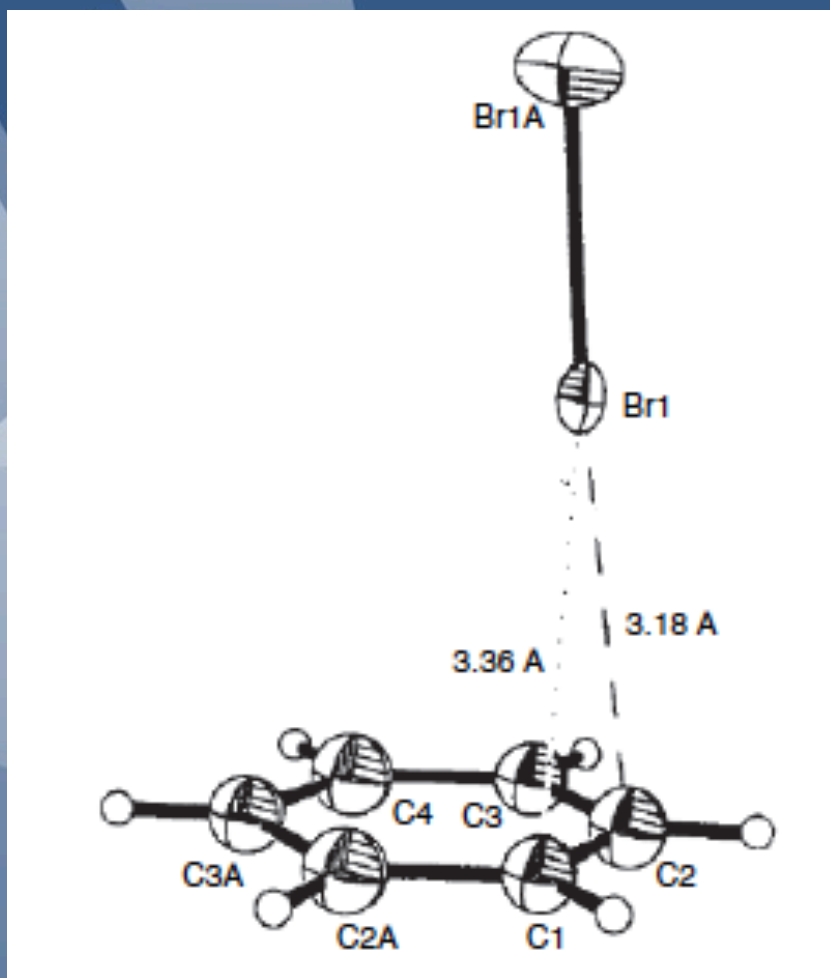
instituto de química

Universidade Federal do Rio de Janeiro

www.iq.ufrj.br

Tel.: 2562-7001 2562-7002

Complexos pi



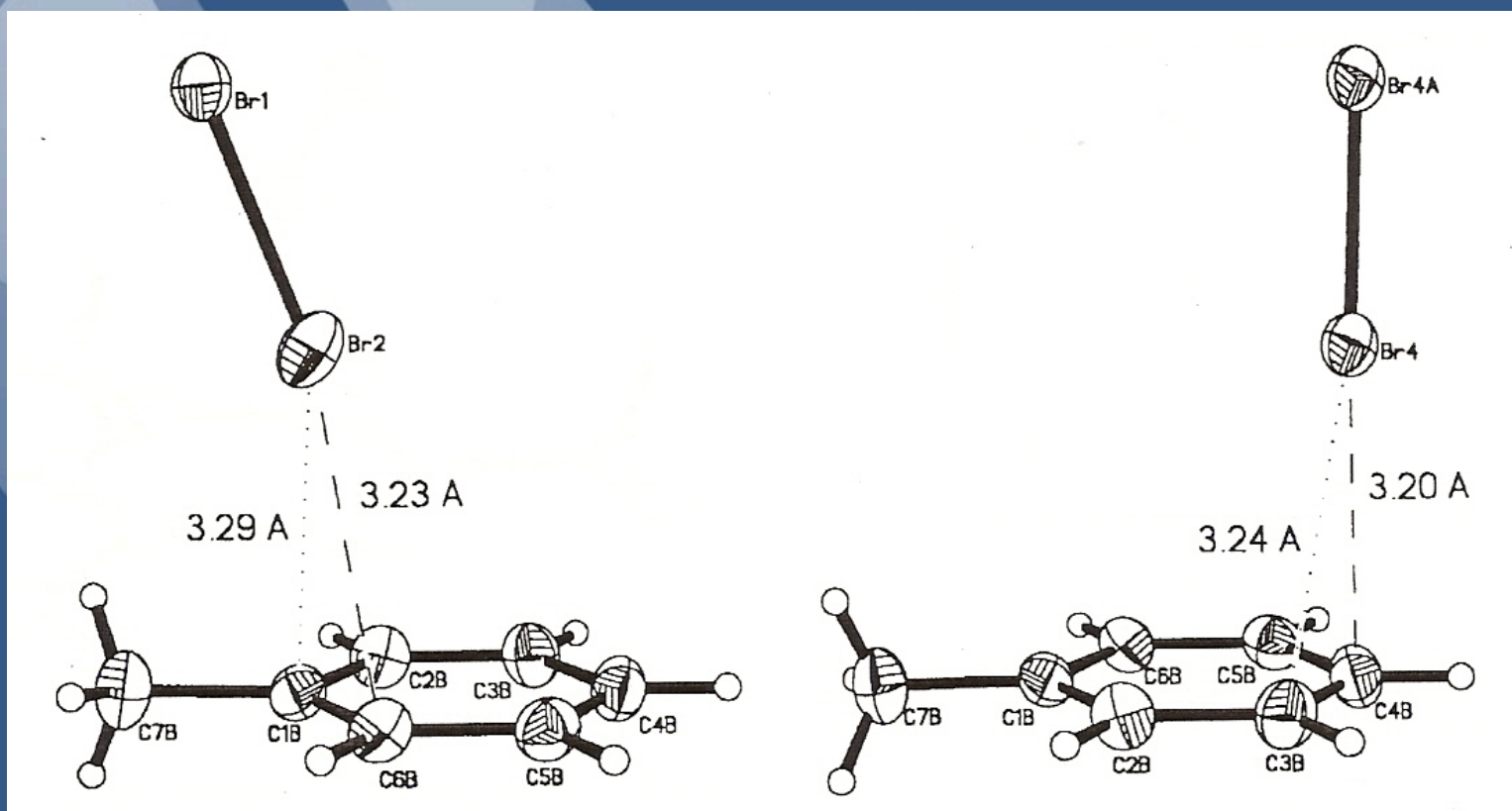
instituto de química
Universidade Federal do Rio de Janeiro

www.iq.ufrj.br

Tel.: 2562-7001 2562-7002

A. V. Vasilyev, S. V. Lindeman, and J. K. Kochi, *Chem. Commun.*, 909 (2001);
S. V. Rosokha and J. K. Kochi, *J. Org. Chem.*, 67, 1727 (2002).

Complexos pi



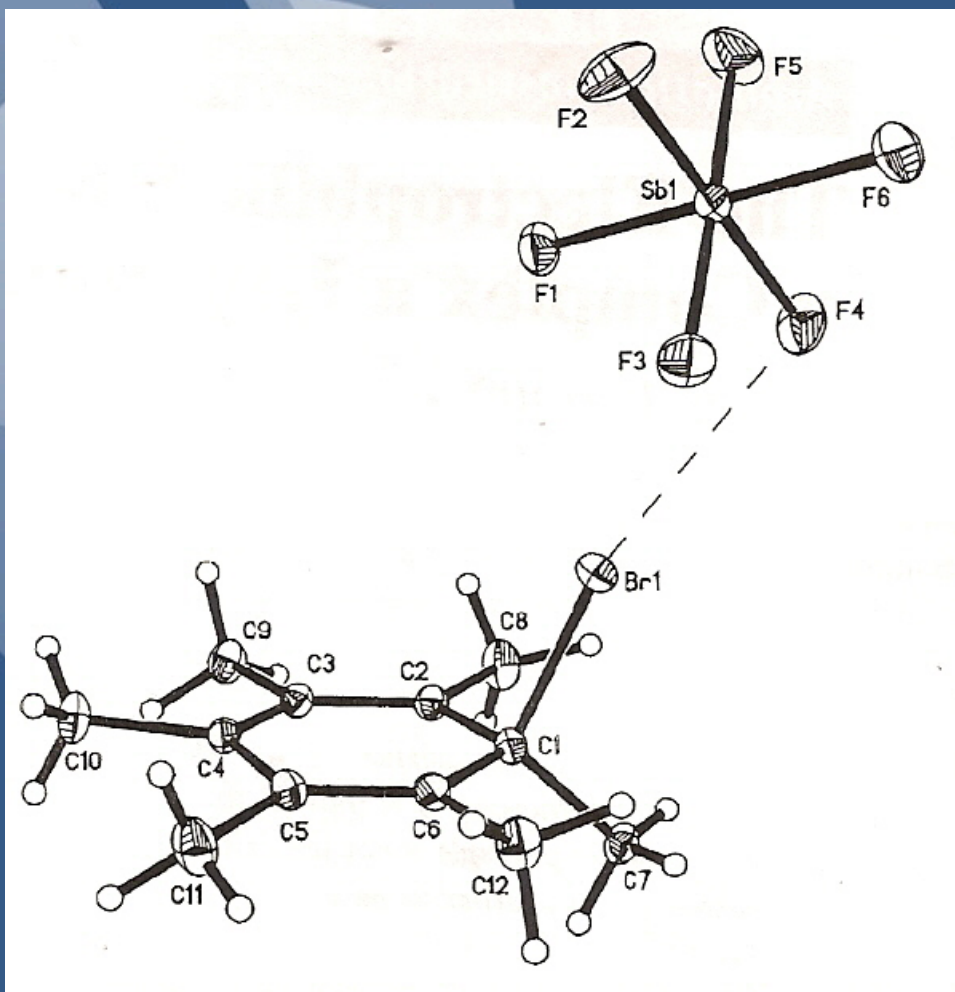
KOCHI, J. K., VASILYEV A. V., LINDEMAN, S. V., *New J. Chem.* 26, (2002a), 582 – 592.

nica
e Janeiro

www.ig.ufrj.br

Tel.: 2562-7001 2562-7002

Complexos sigma



instituto de química

Universidade Federal do Rio de Janeiro

www.iq.ufrj.br

Tel.: 2562-7001 2562-7002

KOCHI, J. K., VASILYEV A. V., LINDEMAN, S. V., *New J. Chem.* 26, (2002a), 582 – 592.

Complexo pi ou Doador-aceptor?

- NO⁺ com mesitileno
- Na verdade é NO com o cation radical do mesitileno

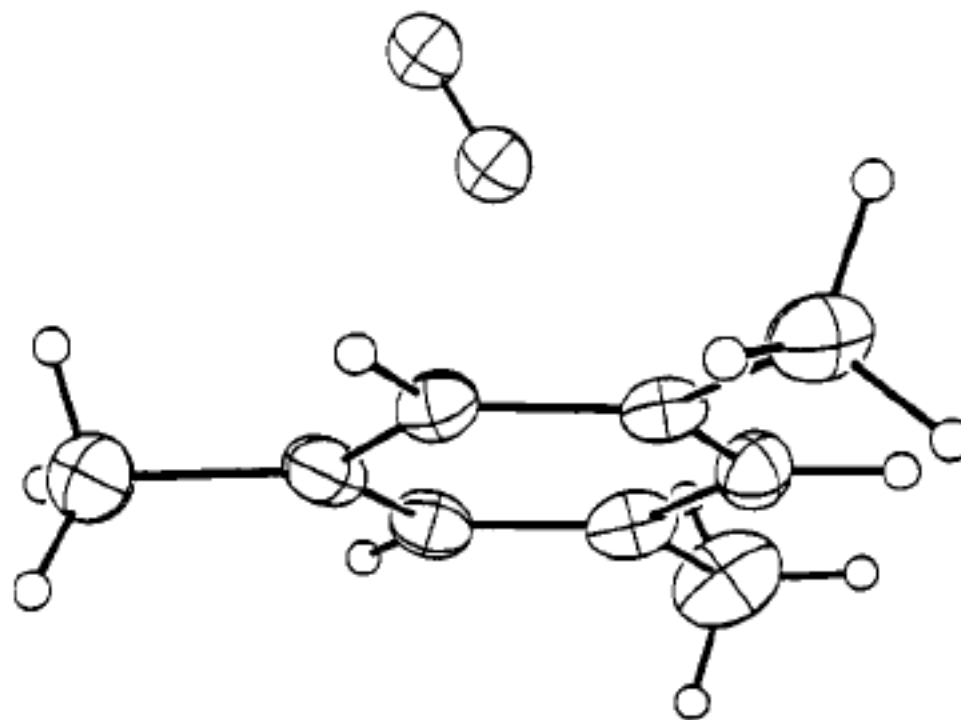


Figure 2. ORTEP diagram of the crystalline 1:1 EDA complex of mesitylene with NO⁺SbCl₆⁻, showing the central location of the NO⁺ acceptor over the benzene plane.

E. K. Kim and J. K. Kochi, *J. Am. Chem. Soc.*, **113**, 4962 (1991).

Tel.: 2562-7001 2562-7002

Espectros

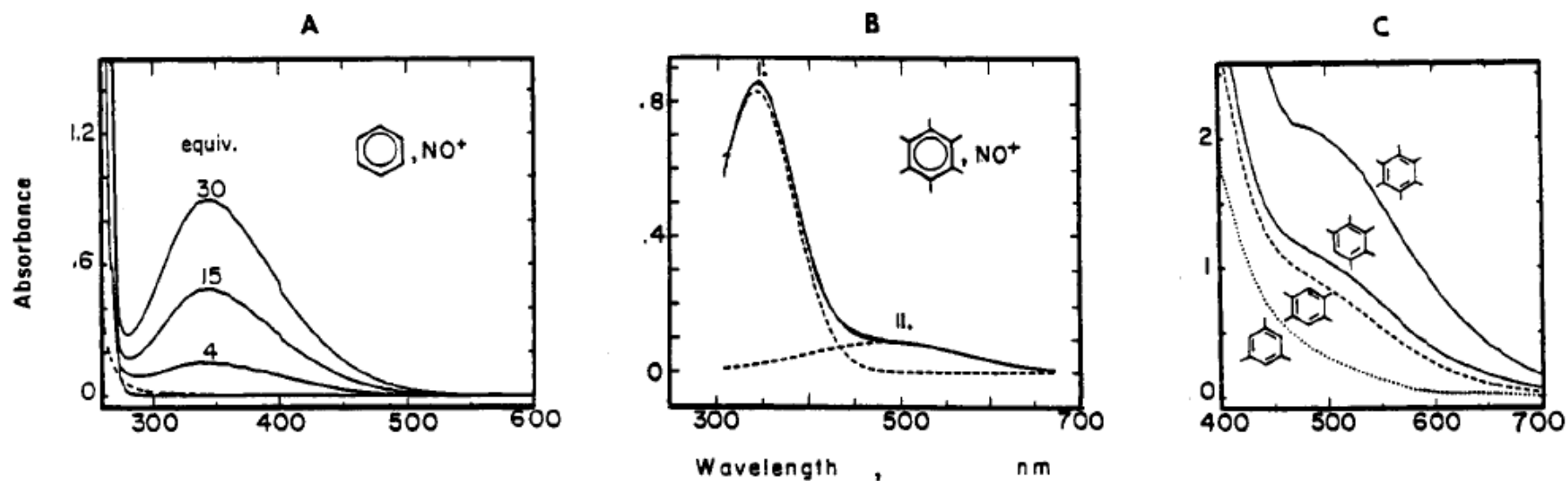


Figure 1. Charge-transfer spectrum of the NO^+ complexes with (A) benzene and (B) hexamethylbenzene in acetonitrile at 25 °C. (C) Bathochromic shift of the low-energy band with increasing donor strength in the order hexamethylbenzene, pentamethylbenzene, durene, and mesitylene, as indicated in nitromethane.



instituto de química

Universidade Federal do Rio de Janeiro

www.iq.ufrj.br

Tel.: 2562-7001 2562-7002

Green Chemistry

- Uso de carbonatos como solventes em síntese orgânica
- [Organic Carbonates as Solvents in Synthesis and Catalysis](#)
- [Benjamin Schffner, Friederike Schffner, Sergey P. Verevkin, and Armin Brner](#)
- **Publication Date (Web): 29 Mar 2010 (Review)**
- **DOI: 10.1021/cr900393d**



instituto de química
Universidade Federal do Rio de Janeiro

www.iq.ufrj.br

Tel.: 2562-7001 2562-7002